

**ЎЗБЕКИСТОН РЕСПУБЛИКАСИ  
ОЛИЙ ВА ЎРТА МАХСУС ТАЪЛИМ ВАЗИРЛИГИ**

**А. А. И С М А Т О В**

**СИЛИКАТ ВА ЗЎРФАСУЮЛУВЧАН  
МАТЕРИАЛЛАР ФИЗИК - КИМЁВИЙ  
ТАҲЛИЛИНИНГ ЗАМОНАВИЙ  
УСУЛЛАРИ**

Ўзбекистон Республикаси Олий ва ўрта маҳсус таълим вазирлиги томонидан олий ўқув юртларининг кимёвий-технология факультетлари талабалари учун ўқув қўлланма сифатида тавсия этилган

**ТОШКЕНТ – 2006**

**А.А.Исматов.** Силикат ва зўрга суюловчан материаллар физик-кимёвий таҳлилиниң замонавий усуллари. Т., «Fan va texnologiya», 2006, 272 б.

Ўқув кўлланмада кимёвий технология, шу жумладан, ноорганик моддалар, силикат ва зўргасуюловчан материаллар, камёб, тарқоқ ва нодир металлар физик-кимёвий таҳлилиниң замонавий усуллари, айниқса, микроскопия, рентгенография, ИК спектроскопия ва термография ҳақида маълумот берилади. Ҳар бир усул алоҳида ёритилиб, унга тааллуқли аппаратлар, уларниң тузилиши, ишлаш иринцини ва уларда иш олиб бориши тартиби ҳақида маълумотлар киритилган. Текширилаётган объект намуналарини тайёрлаш ўйлари ҳам кўрсатилган.

"Физик-кимёвий таҳлилиниң замонавий усуллари" фани ўқув кўлланмаси В 522400 – «Кимёвий технология» йўналишида ўқитиладиган "Силикат ва зўргасуюловчан материаллар технологияси" соҳасида таълим олаётган 4-курс кундузги ва 5-курс сиртқи бўлимларниң талабалари учун мўлжалланган. Ундан «Ноорганик моддалар технологияси», "Камёб, нодир ва тарқоқ металлар технологияси", «Электро-кимёвий ишлаб чиқариш ва коррозиядан сакчаш технологияси» соҳалари талабалари, илмий мугахассислар, магистрантлар, ишлаб чиқаришдаги муҳандис ва техник ходимлар ҳам фойдаланишлари мумкин.

Тақризчилар: **С.Т.Тўхтаев** – Ўзбекистон Республикаси  
Фанлар Академиясининг ҳақиқий аъзоси,  
кимё фанлари доктори, профессор.  
**Н.П.Исмоилов** – кимё фанлари  
доктори, профессор.  
**П.А.Арипов** – техника фанлари номзоди

© «Fan va texnologiya» нашриёти, 2006 й.

## СҮЗ БОШИ

В 522400 — «Кимёвий технология» йўналишининг асосий соҳаларидан бири “Силикат ва қийин суюқланадиган материаллар технологияси” соҳаси бўйича бакалавр қасб фаолиятлари доираси кенг ва обьектлари жуда кўп. Булар қаторига саноат корхоналарида ишлаб чиқарилган буюмлар, ашёлар, уларнинг таркиби ва хусусиятларини аниқловчи усуллар, асбоблар, кўп мақсадларга мўлжалланган боғловчи модда, керамика ҳамда шишасимон буюмлар олишида қўлланиладиган жиҳозлар, юқори самараали технологик жараёнлар, тизимлар, атроф-муҳит ҳолатини баҳолаш услублари, воситалари, саноат ишлаб чиқариши, энергетика ва транспорт таъсиридан атроф-муҳитни ҳимоялаш кабилар киради.

Юқоридаги факторларни аниқлаш, уларга таъсир ўтказиш ва яхшилашда “Физик-кимёвий таҳтилнинг замонавий усуллари” фанининг роли бениҳоят катта. Шунинг учун ҳам силикат ва зўргасуюловчан материаллар технологияси мутахассислигига оид кадрлар тайёрловчи олий ва маҳсус ўрта ўқув юртларининг ўқув режасидан у мустақил фан сифатида ўрин эгаллаган.

Ушбу ўқув қўлланма олий техника ўқув юртлари “Боғловчи материаллар кимёвий технологияси”, “Керамика ва ўтга чидамли материаллар кимёвий технологияси”, “Шиша ва ситалиар кимёвий технологияси” ва “Электрон техника воситалари кимёвий технологияси” ихтиносликлари дастурларига мувофиқ ўзбек тилида ёзилган.

Ўқув қўлланмана бен бобдан ташкил топган. Унинг биринчи бобида “Физик-кимёвий таҳтилнинг асосий усуллари” га оид умумий массалалар қисқача тарзида ёритилган. Иккинчи боб микроскопик, учинги боб инфрақизил спектроскопик, тўртинчи боб термик ва ниҳоят бешинчи боб рентгенографик таҳтилга бағишлиланган.

Ўқув қўлланмани ёзишда муаллиф ўзининг Тошкент кимё-технология институтининг “Силикат материаллар технологияси” кафедрасида узоқ вақт лавомида таалабаларга ўқиган маъруза материалларини асос қилиб олган.

Мазкур ўқув қўлланмани нашрга тайёрлашда фойдали маслаҳатлар ва таңқидий фикр-мулоҳазалар билдирган акад. С.Т. Тўхтаев, т.ф.н. Н.Л. Арипов ва к.ф.д., проф. К.А. Ахмеровларга муаллиф самимий миннадорчилик билдиради.

Ўқув қўлланмана биринчи бор нашр қилинаётганлиги сабабли фойдаланувчиларнинг қўйидаги манзилга юборилган барча истак, фикр ва таңқидий мулоҳазалари мамнуният билан қабул қилинади: 700011, Тошкент, Навоий кўчаси, 32, ТошКТИ.

## **КИРИШ**

Олий таълим йўналишлари ичida В 522400 – «Кимёвий технология» йўналишига кирувчи «Силикат ва зўргасуюлувчан материаллар технологияси», «Ноорганик моддалар технологияси» ва «Камёб, нодир ва тарқоқ металлар технологияси» муҳим ўринни эгаллади.

Силикат ва қийин суюқланадиган материаллар технологияси – физикавий, физик-кимёвий, кимёвий ва биологик жараёнлар ёрдамида кўп мақсадларга мўлжалланган керамика, шишасимон ва боғловчи моддалар ҳамда электрон техникаси буюмларини олиш ва яратиш услублари, усуллари ва воситалари мажмуасини қамраб олевчи фан ва техника соҳасидаги йўналишидир.

Бу йўналиш бўйича бакалавр касб фаолиятлари доираси ва обьектлари қуидагилардан иборат: силикат ва қийин суюқланадиган буюмлар ва ашёлар; уларнинг таркиби ва хусусиятларини аниқловчи усуллар ва асбоблар; кўп мақсадларга мўлжалланган керамика, шиша ва боғловчи моддалар ва ашёлар олишда қўлланиладиган жиҳозлар, юқори самарали технологик жараёнлар ва саноат тизимлари, уларни бошқариш; атрофмуҳит ҳолатини баҳолаш услублари ва воситалари, саноат ишлаб чиқариши, энергетика ҳамда транспорт таъсиридан атрофмуҳитни ҳимоялаш.

Силикат ва қийин суюқланадиган материаллар технологияси соҳаси бўйича бакалавр фундаментал, умумкасб ва маҳсус тайёргарликка мувофиқ равишда қуидаги касбий фаолият турларини юритиши мумкин:

Ў технологик фаолият: цех, бўлим, участка технологи сифатида ишлаш; кўп мақсадларга мўлжалланган керамика, шишасимон ва боғловчи моддалар ишлаб чиқариш соҳаси бўйича ҳаракатдаги ишлаб чиқаришда участкани, цехни эксплуатация қилиш; хом ашё, ёрдамчи материаллар ва тайёр маҳсулотлар сифатини назорат қилиш, ана шу ишлаб чиқаришларни ташкил этиш ва такомиллантириш бўйича технологик ечимларни

ишилаб чиқин; намунавий технологик жараёшларни қўллаш; технологик схемаларни таҳлил қилиш ва технологик кўрсаткичлар ҳисобини юритиш; ҳаракатлаги технологик жиҳо уларнинг ишланини таъминлаш, уларнинг ишга яроқлилигини сақлаш ва тиклан;

ў лойиҳавий фаолият: ностандарт ва намунавий технологик аниараглар, ускуналар, жиҳозларни лойиҳалаш ва лойиҳа хужжатларини расмийлантириши;

- илмий фаолият: янги моддалар ва аниёлар синтези соҳаларида илмий-тадқиқотлар ўтказини; керамика (нафис, курилни, функционал ва манинасозлик керамикаси, чинни, соноп, иссиқлик ҳимояловчи ва ўтга чидамли материаллар – шамот ва динас гиштлари, таркибига магний, хром, цирконий ва бошқа қийин эрувчан элементлар кирган буюмлар ва бошқалар), ишинасимон (шиша, қийин суюқланадиган шиша, шина толаси, толали онтика, лазер шишаси, люминисцент шинласи, ярим ўтказувчан шинса, ўта юқори ўтказувчан шиша, эмаль ва ҳимояловчи қатлам, шишакристалл материаллар ва бошқалар) ва боғловчи материаллар (цемент, асбоцемент буюмлари, гипсли ва оҳакли боғловчи, автоклав материаллар ва ҳоказолар) ҳамда электрон техникаси буюмлари кимёвий технологиясининг янги жараёшларини ишилаб чиқиш; ишилаб чиқариш ускуналарини моделлантириш ва оптималлаштириш, янги яратилган технологик жараённи синаш ва тажрибалар ўтказини; ишилаётган ва олинган моддалар ва аниёларнинг хоссаларини аниқлани ва таҳлил этиш; патент қилируви ишларини олиб бориш ва адабиётлар таҳдилини ўтказини.

Бакалавр В522400 – «Кимёвий технология» йўналишини «Силикат ва қийин суюқланадиган материаллар технологияси» соҳаси бўйича магистратурада камида 2 йил мулдатда қўйидаги мутахассисликлар бўйича ўқиши давом эттирилади:

- |          |  |
|----------|--|
| M 522412 | ў Силикат ва зўргасуюувчан материаллар кимёвий технологияси  |
| M 522413 | ў Керамик ва оловбардош буюмлар кимёвий технологияси         |
| M 522414 | ў Шиша ва ситаллар кимёвий технологияси                      |
| M 522415 | ў Боғловчи материаллар кимёвий технологияси                  |
| M 522424 | ў Электрон техника буюм за материаллари кимёвий технологияси |

Юқорида санаб ўтилган касбий фаолият турларини амалга оширишла, саноат корхоналарида чиқарилаётган маҳсулотларнинг хоссаларини ўрганишда, шунингдек, илмий-текширув ишларини кенг кўламда олиб боришда “Физик-кимёвий таҳлилиниг замонавий усууллари” фанининг роли жуда катта. Бу фанга оид ўзбек тилидаги китобларнинг камлиги туфайли унибу ўқув қўлланмаси ёзилди.

Ўқув қўлланмада физик-кимёвий таҳлилиниг микроскопия, рентгенография, инфрақизил спектроскопия, электрон микроскопия, термография ва бошқа усууллари ҳақидаги маълумотлар келтирилади. Усууларга оид маълумотлар беришда қўйидагиларга аҳамият берилған: усууларнинг кашф этилиш тарихи, уларнинг назарий асослари, ишлатиладиган асбобларнинг тузилиши ва ишлаш ҳолати, ҳисоблаш ҳамда усуулардан фойдаланишга асосланган мисоллар.

## БИРИНЧИ БОБ

### ФИЗИК-КИМЁВИЙ ТАҲЛИЛНИНГ АСОСИЙ УСУЛЛАРИ

**1-§. Физик-кимёвий таҳлил усуларини ривожлантиришда жаҳон, Марказий Осиё ва Ўзбекистон олимларининг ҳиссаси**

Кириш қисмида қайд қилганимиздек, кимёвий модда, камаб, тарқоқ ва нодир металлар, силикат ва зўргасуюловчан материаллар ва уларни ташкил қилган айрим хом ашёларнинг кимёвий-минералогик таркибини мукаммал ўрганиш ва уларнинг вужудга келишини физик-кимёвий қонунлар асосида таъқин этиш физик-кимёвий таҳлил усуларининг асосини ташкил қиласди. Физик-кимёвий таҳлил усуларини ривожлантиришда кўтгина ривожланган мамлакатларнинг олимлари катта ҳисса қўшишган. Масалан, микроскопия усули пайдо бўлишида италиялик Г.Галилей, германиялик И. Кеплар ва Лазо, голландиялик А.Левенгук, anglиялик Р. Гук, франциялик Берtrand, россиялик С.С. Федоров каби ўнлаб олимларнинг илмий изланишлари асос бўлди. Рентгенографик текшириш усулининг яратилишига немис физиги Рентген, инглиз физиклари ота-бала Бретглар, Лауэ, Шеррер каби олимлар асос солинди. Инфрақизил спектроскопия усули Брестер, Леон, Бер, Л.Н.Лазарев каби олимлар иши туфайли ривожланди. Термография усулининг ривож топишига Ле-Шателье, Де Кейзер, А.С. Курнаков, Л.Г. Берг каби жаҳон олимлари ҳисса қўшишди.

Физик-кимёвий таҳлил усуллари ривожида Марказий Осиё давлатлари, шу жумладан, Ўзбекистон олимларининг хизматлари ҳам катта. Қозогистон Фанлар Академиясининг ҳақиқий аъзоси С.Т. Сулайменов, фан докторлари Т.Абдувалиев, Б.О.Есимов, З.А.Естемесов, А.А.Мирзахўжаев, И.С.Аҳметов, Ўзбекистон Фанлар Академиясининг ҳақиқий аъзолари Ҳ.М.Абдулласев, И.Ҳ.Ҳамрабоев, Н.А.Парпиев, М.Н.Набиев, С.Т.Тўхтаев, фан докторлари Н.А.Сироҷиддинов,

Х.Т.Шарипов, Б.И.Нудельман, А.А.Исматов, С.С.Қосимова, М.Ю.Юнусов, А.П.Ирқаҳожасава, Д.Д.Ғуломова, Р.И. Абдуллаева, А.М. Эминов, Д.У. Тұлаганов, М. Искандарова ва бошқалар физик-кимёвий таҳлил усулларининг қўлланиши ва ривожланишига оид кўплаб мақолалар чоп этишли ва асарлар яратишиди.

## 2-§. Физик-кимёвий таҳлил таърифи

Физик-кимёвий таҳлил – тайёр маҳсулот олиш учун ишлаб чиқариш жараёнларида қўлланиладиган усул ва методлар (хом ашё, материал ёки ярим фабрикатларга ишилес бериш, аралаштириш, қолиплаш, қуритиш, куйдириш каби жараёнлар орқали уларнинг ҳолати, шакли ва хусусиятини ГОСТ, ТУ каби техник шароитлар талаблари бўйича ўзгартиш) мажмумини тўла таъминловчи ва шу билан бирга технологик процессларнинг турли босқичларидаги назоратни ҳам ўз ичига олган кимёвий, физик-кимёвий ва физикавий омиллар йигиндиси.

Физик-кимёвий таҳлилда шу кунга қадар инсониятга маълум бўлган барча асосий анализ методлари группасидан, чунончи кимёвий (вазн, ҳажм, колориметрик, газ ҳажмий ва бошқа), физик-кимёвий (электровазний, потенциометрик, амперометрик, полярографик, фотоколориметрик, хроматографик ва бошқа) ва физикавий (рентгеноспектрал, аланга фотометрияси, масса спектроскопик, люминесцент, активацион, магнит каби) анализ методларидан фойдаланилади.

Физик-кимёвий таҳлил маҳсулот ишлаб чиқарувчи корхона талабларидан келиб чиқсан ҳолда бир қатор турларга ажralали. Унинг маркировка методида истеъмолчиларга узатилувчи тайёр материал кимёвий таркибининг маркаси ёки сиртида кўрсатилган таркиб ёки хоссага тўғри келиши-келмаслиги аниқланади. Тезлаштирилган ёки экспресс метод материал кимёвий таркиби ёки унга кирган бирор кимёвий модда миқдорини технологик жараён бўйича текширишида қўлланилади. Назорат ёки арбитраж методи таъминловчи муассаса билан истеъмолчи муассаса ўртасида материалнинг кимёвий таркиби ёки бирор хосса-хусусияти (масалан, пишиқ гишт ва портландцемент маркаси) тўғрисида келишмовчилик юз берган тақдирла ўтказилади.

Физик-кимёвий таҳлил кейинги вақтларда фан ва техника-нинг турли соҳаларида кимёвий бирикма, минерал, тупроқ,

қурилиш материаллари, керамика ҳом ашёси ва бошқаларни текширишда кенг қўлланмоқда. Айниқса, саноатда технологик жараёнлар назорати ва материаллар анализида у жула ҳам қўл келмоқда.

Силикат ва қийин суюқланувчи моддалар, табиий ва сунъий минераллар ҳамда кимёвий бирималарнинг тузилмалари, фазовий таркиблари, микротузилиши, иссиқлик таъсирида хоссаларини ўзgartиришлари физик-кимёвий текширишлар орқали аниқланади. Силикат моддалари асосида олинган барча маҳсулот тури, масалан, цемент кукуни, керамика буюми, шиша ва турли турдаги электрон материаллари (цемент, шифер, гипс, оҳак, гишт, оловбардош буюм, самарадор гишт, кошин, қувур, ойна, шиншакристалл, диэлектрик, ўтказгич ва бошқалар) нинг тузилиши ва хоссалари ҳам физик-кимёвий усулда текшириш орқали амалга оширилади.

Текширилаётган модда ёки минерални чукур таҳлил этишда фақат бир ёки икки параметр маълумотлари бўйича чекланиб қолмаслан, балки уни комплекс равишда таҳлил этиш лозим. Олинган натижалар бир-бирини тўлдириб, текширилаётган обьект ҳақида тўлиқ бир холоса чиқаришга имкон беради.

Фанинг биринчи ва асосий вазифаси физик-кимёвий таҳлилнинг асосий усулларини талабаларга сингдиришдан иборат. Бунинг учун текширилаётган модда ёки минералнинг на-муналарини тўғри тайёрлаш, қўлланилаётган усул талабларини тўғри бажарини лозим.

Анъанавий янги материаллар, янги технологиялар барпо этишида, қайтадан барто этилган технологик жараёнда тажриба иниларни бажаринида тегишли таҳлилларни қўллаш, илмий-тадқиқот ишларни бажарини бўйича талабалар маҳоратини онириши, ишлатиладиган ҳом ашёлар ҳамда олинадиган материаллар, маҳсулотларнинг кимёвий-минералогик таркиби, хоссалари, уларнинг хусусиятларини аниқлаш, таҳлил қилиш, шунингдек, патент излаш, адабиётлардаги маълумотларни тўплаш, ўрганиш ва бошқалар ҳам «Физик-кимёвий таҳлилнинг замонавий усуллари» фанинг асосий вазифалари қаторига киради.

Илмий таҳлилни саноатда қўллаш орқали ишлаб чиқарилаётган маҳсулот сифати яхшиланади ва таннархининг арzonлашишига эришилади.

### 3-§. Фанда қўлланиладиган асосий тушунчалар

Силикат моддалар, минераллар, хом ашёлар ва маҳсулотларни физик-кимёвий усулда таҳдил этишда жиҳозларни тӯғри танлаш ҳамда шу жиҳозлар учун талаб асосида намуналарни тӯғри тайёрлаш лозим бўлади.

Моддаларни микроскопия, электронмикроскопия, рентгенография, термография ва бошқа усулларда текширилаётганла техника хавфсизлиги қоидаларига қаттий риоя қилиши, асбоб ҳамда хоналарни нурлардан ҳимояловчи қоиламалар билан жиҳозлаш, хона ҳавосини янгилаб туриш муҳим аҳамиятга эга.

Физик-кимёвий таҳдилнинг замонавий усулларида қўлланиладиган асосий қоида икки муҳит (физикавий ва кимёвий) - нур (тебраниш) билан кимёвий модда, камёб, тарқоқ ва нолир металл, силикат ёки зўргасуюлувчан материал ўртасидан ўзаро мулоқот ва муносабатдир.

Нурлар (тебранишлар) ва уларнинг тўлқин узунликларида оид маълумотлар I ва 2 жадвалларда берилган.

Ёруғлик нурлари ёки оқ нурларнинг таркиби мураккаб бўлиб, спектрнинг бизга маълум барча ранглари йигиндисидан иборат, кўз билан кўриш мумкин бўлган рангларнинг тўлқини узунликлари 400 ммк дан 760 ммк гачадир. Улардаги узун ва қисқа тўлқинли нурларни кўз билан кўриб бўлмайди.

I-жадвал

**Электромагнит нурларининг тури ва уларга тааллуқли тўлқин узунликлари**

Нур турлари	Тўлқин узунлиги	
	A	Mк
Радиотўлқинлар	$10^{13}$ - $10^7$	$10^9$ -1000
Инфрақизил нурлар	$10^7$ - $7,6 \times 10^3$	1000-0,76
Ёруғлик нурлари	$7,6 \times 10^3$ - $4 \times 10^3$	0,76-0,40
Ультрабинафша нурлар	$4 \times 10^3$ - $10^2$	0,04-0,01
Рентген нурлари	$10^2$ - $10^{-1}$	0,01-0,00001
Гамма нурлари	$10^{-1}$ - $10^{-4}$	0,00001- $10^{-8}$

Усулларда қўлланаладиган асосий қоида - текширилаётган моддага йўналтирилган нурнинг ҳолати. У қисман қайтади, қисман ютилади ва қисман ўтиб кетади. Турли мосламалар ёрдамида уларни ҳисобга олиш ва шу тариқа модданинг тузилиши

ёки хоссаси ҳақида аниқ бир фикрга келиш физик-кимёвий таҳлилнинг замонавий усуллари асосини ташкил этади.

## 2-жадвал

### Ёргулук нурларининг тури ва уларга тааллуқли тўлқин узунликлари

Нур турлари	Тўлқин узунлиги	
	A	Mк
Кизил нурлар	$7,6 \times 10^3 - 6,4 \times 10^3$	0,76 - 0,64
Сариқ нурлар	$6,4 \times 10^3 - 5,8 \times 10^3$	0,64 - 0,58
Кўк нурлар	$5,8 \times 10^3 - 4,95 \times 10^3$	0,58 - 0,495
Ҳаворанг нурлар	$4,95 \times 10^3 - 4,4 \times 10^3$	0,495 - 0,44
Бинафша нурлар	$4,4 \times 10^3 - 4,0 \times 10^3$	0,44 - 0,40

Физик-кимёвий таҳлилнинг микроскопия усулида микроскоплар-поляризацион микроскоп ва металлографик микроскоп, шлиф ва анишлиф, кристалл формалари ва сингониялари каби тушунчалар кўп учрайди.

Рентгенография усулида рентген нури, рентген аппарати, рентген камераси, дифракция, дифрактограмма, рентген-тузилмавий анализ, тузилмавий константалар, фазовий анализ кабиллар кенг қўлланилади.

Термография усулида энло-экзотермик эффектлар, дифференциал термик анализ, термогравиметрия, термограмма, дери-ватограмма, термик эффект каби тушунчалар асосида таҳлил олиб борилади. Эндоэффект ва экзо эффектлар пайдо бўлишининг негизида кимёвий ёки бошқа жараёнларда иссиқлик чиқиши ёки ютилишиётади.

Инфрақизил спектроскопия усулида инфрақизил нури, ютилиш, ўтказиш ва қайтарилиш спектрлари, оптик призмалар ва уларнинг ўтказиш диапозони, спектрофотометрлар, глобар каби тушунчаларга асосланиб тадқиқотлар олиб борилади.

### 4-§. Физик-кимёвий таҳлилнинг асосий усуллари

Кимёвий модда, камёб, нодир ва тарқоқ металлар, силикатлар, зўргасуюлувчан материаллар, тоғ жинслари ҳамда уларга ўхшаш сунъий маҳсулотлар жуда хилма-хил ва мураккаб. Шунинг учун уларнинг хусусиятлари ва таркиблари ҳам турлича-

дир. Бундай материалларни текшириш усуслари ҳам турлича бўлиб, уларни икки катта группага ажратиш мумкин:

**1. Оптика усуслари.** Бу группага умумий номи кристаллооптика деб аталувчи иммерсион таҳдил, металлографик таҳдил, монокристаллар таҳлили кирган бўлиб, улар маҳсус оптика асбоблари-поляризацион ва металлографик микроскоплар орқали олиб борилади.

**2. Кимёвий ва физик-кимёвий усуслар.** Буларга петрографиянинг петрокимё, петрургия, петрофизика каби соҳалари киради. Бу усуслар ёрдамида силикат ва зўргасуюлувчан материалларининг таркибини мукаммал ўрганиш ва уларнинг пайдо бўлиши, хосса-хусусиятларини физик-кимёвий қонунлар нуқтай назаридан талқин этиш мумкин. Ҳозирги вақтда минералогик-геокимёвий текшириш усули номи билан аталувчи тадқиқотларни ўтказишида спектрал, рентген спектрал ва радиометрик анализ усусларидан фойдаланилади.

Петрокимё усули ёрдамида жинс ҳосил қилувчи элементларнинг тақсимланиши ҳисобга олинади. Минералогик - геокимё усулида эса жинслар таркибига кирган тарқоқ ҳолда ва миқдори оз бўлган минераллар аниқланади. Рентгенэлектрон микроанализ методи ёрдамида эса минералларнинг таркиби тез ва сифатли аниқланади. Петрургия усулида сунъий маҳсулотлар ўрганилиб, уларнинг табиий минераллар генезисига ўхшаш-ўхшамаслиги аниқланади. Петрофизика усусларида эса турли аппаратлар ёрдамида тектоник процесслар, уларнинг зичлиги, электр, иссиқлик ҳамда сейсмик тўлқинларнинг ўтказувчанлиги каби хусусиятлари ўрганилади.

Силикат моддалар, бирикмалар ва материалларни физик-кимёвий таҳлилининг асосий усуслари қаторига киради:

- 1) микроскопия;
- 2) электрон микроскопия;
- 3) рентгенография;
- 4) термография;
- 5) ИК спектроскопия;
- 6) ядро магнит резонанси (ЯМР);
- 7) электрон парамагнит резонанси (ЭПР);
- 8) электронография;
- 9) хромотография;
- 10) магнетокимё;
- 11) изотропия;
- 12) кимёвий анализ;

- 13) спектрал анализ;
- 14) бошқа усуллар.

Биринчи - бешинчи усуллар энг кўп қўлланиладиган усуллар қаторига киради.

Хом ашё, маҳсулот ва бошқа иоорганик моддаларнинг кимёвий, минералогик таркиби, микро ва макротузилиш, белгили хосса ва хусусиятларини аниқлашда энг қадимий микроскопияга оид усуллар жуда қўл келади.

Цемент ва шифер, керамика ва оловбардош буом, шиша ва шиша-кристалл ишлаб чиқаришда маҳсулотларнинг хоссалари ва сифатини аниқлашда эса микроскопия усулидан кенг кўламда фойдаланилган.

Фазалар сони, нималиги ва миқдорини аниқлаш, кристалларининг текстураланганлик даражаси, ўлчамини аниқлаш ва документал фиксация қилишда рентгенографик усулга тенг келадиган бошқа усул йўқ.

Термография усули моддаларни қиздириш жараёнида содир бўладиган процесларни ўрганади. Иссиклик ютувчи ва иссиқлик чиқарувчи эндо ва экзоэффектларни фиксация қилиш орқали моддада содир этилган ўзгаришлар (парчаланиш, бирикиш, полиморфик ўзгариш ва ҳоказо) ҳарорати аниқланади.

Термографик текширишларда эндотермик реакциялар дифференциал эгри чизиги абсцисса ўқидан пастга йўналтирилган, экзотермик реакциялар учун эса пол чизигига нисбатан юқорига қараб оғган бўлади. Шу жараёнларнинг бошланиш, максимал равишда ўтиш ва туталланиш температуралари ўта аниқ аниқланади. Лекин бўлиб ўтган ўзгариш моҳиятини аниқлаш учун яна рентгенография, микроскопия каби усулларга мурожаат қилинади.

Кимёвий модда, камёб, тарқоқ ва нодир металл, силикат ва зўргасуюлувчан моддалар таҳлилини ўтказишида инфрақизил спектроскопия усули ҳам кенг қўлланилади. Бу ўринда кимёвий бирикмалар инфрақизил спектрнинг баъзи частоталарида уларни танлаб ютиш хусусиятига эга эканлиги қўл келди. ИК спектрнинг кўриниши модда табиати, молекула ҳосил бўлиш шартшароитлари, улар орасидаги масофа ва кимёвий боғланиш турига боелиқ.

Модда тузилиши, ундаги физик ва кимёвий жараёнларни узунлиги  $10^{13}$ - $10^7$  ә ёки  $10^9$ -1000 мкм бўлган радио тўлқинларнинг резонанс ютилиши асосида ҳам ўрганиш методи-

лари мавжуд. Радиоспектроскопия номи билан аталувчи бундай методлар қаторига ядро магнит резонанси (ЯМР), электрон парамагнит резонанси (ЭПР), циклотрон резонанс (ЦР) кабилар кирган бўлиб, улар оғтик спектроскопия, инфрақизил спектроскопия ва мессбауэр  $\gamma$ -спектроскопиясидан ютилаётган квант энергиянинг кичиклиги билан фарқ қиласди. Жумладан, ЭПР асосида электронларда юз берадиган резонанс ҳодисаси ётган бўлиб, якка электронли орбитаси ёки орбиталари бўлган атом ёки молекула магнит хусусиятига эга эканлиги ва жуфтланмаган электронларнинг магнит моментлари билан ташки магнит майдони Н нинг ўзаро таъсири натижасида ҳосил бўладиган энергия сатҳлари орасидаги ўтишларга асосланган радиотўлқинларнинг резонанс ютилиши ётади.

Номлари юқорида қайд этилган усулларнинг баъзиларини алоҳида-алоҳида қилиб ажратмай умумий кимёвий анализ усуллари қаторига киритиш мумкин. Уларга комплексометрия, фотокалориметрия, ион алмашиниш, потенциометрик титрлаш, полярография, анъанавий фотометрия, люминесценция киради.

## 5-§. Физик-кимёвий, термик ва бошқа таҳлил усуллари ёрдамида аниқланадиган кўрсаткичлар.

Физик-механикавий таҳлил орқали аниқланадиган физик-механик кўрсаткичлар: 1. Зичлик-ўлчов бирлиги -  $\text{kg}/\text{m}^3$  да. 2. Мустаҳкамлик. Чўзилишдаги мустаҳкамлик чегараси - МПа да. сиқилишдаги мустаҳкамлик чегараси - МПа да. 3. Эластиқлик модули -  $\text{kg}/\text{cm}^2 \times 10^{-6}$ . 4. Юнг модули -  $\text{kg}/\text{cm}^2 \times 10^5$ . 5. Қаттиқлик ва микроқаттиқлик -  $\text{kg}/\text{mm}^2$ . 6. Мўртлик. Стандарт намуналар бузилиши - кг см. Зарба ёпишқоқлиги-кг см / $\text{cm}^2$ . Мўртлик кўрсатгичи -  $\text{kg}/\text{cm}^3$ . 7. Едирувчанилийк - % да.

Термик жараёнлар таҳдили орқали аниқланади: 1. Иссиқлик сифими - кал/г град. 2. Иссиқлик ўтказиш коэффициенти - кал/см сек град ёки ккал/м час. град. 3. Ҳарорат ўтказиш коэффициенти - $\text{cm}^2/\text{сек}$  ёки  $\text{m}^3/\text{соат}$ . 4. Иссиқлик кенгайиш коэффициенти -  $1/\text{град} \times 10^{-7}$ . 5. Иссиққа чидамлилик -  $^{\circ}\text{C}$ . 6. Оловбардошлийк -  $^{\circ}\text{C}$ . 7. Кристалланиш -  $^{\circ}\text{C}$ .

Моддаларининг электр таҳлилига асосланган хоссалари: 1. Ҳажмий электртўтказувчаник -  $\text{ом}^{-1}$ ,  $\text{см}^{-1}$ . 2. Юзали электртўтказувчаник -  $\text{ом}^{-1}$ . 3. Диэлектрик ўтказувчаник. 4. Диэлектрик йўқотувчаник. 5. Электр мустаҳкамлик -  $\text{кв}/\text{см}$ .

Модданинг оптик таҳлилига асосланган хоссалари: 1. Нур ўтказувчанлик. 2. Нур ютувчанлик. 3. Нур қайтарувчанлик. 4. Нур синиши. 5. Дисперсия. 6. Нурнинг қўш синиши. 7. Оқлик.

Модданинг кимёвий турғунлиги таҳлилига асосланган хосса-хусусиятлар: 1. Сувга барқарорлик. 2. Кислотага бардошлиқ. 3. Ишқорга турғунлилик. 4. Коррозиябардошлиқ.

Бирималарнинг технологик таҳлилига асосланган хоссалари: 1. Намлик - % да. 2. Сув шимиши - % да. 3. Пластилик - % да. 4. Киришиб кетиш - % да. Ҳавода киришиб кетиш. Олов таъсирида киришиб кетиш. 5. Ёнишқоқчилик. 6. Юза тортилиши. 7. Қўлланиш қобилияти.

### **Такрорлаш учун саволлар**

1. В 522400 – «Кимёвий технология» Олий таълим йўналишининг асосий соҳаларидан бири «Силикат ва зўргасуюлувчан материаллар кимёвий технологияси» соҳасининг моҳиятини тушунтириб беринг.

2. Физик-кимёвий таҳлил таърифини келтиринг ва унинг технологик жараёнларни бошқаришлаги ролини ёритиб беринг.

3. «Физик-кимёвий таҳлилини замонавий усуслари» фанинг вазифаси ва мазмуни қандай?

4. «Физик-кимёвий таҳчилини замонавий усуслари» фанида қандай асосий қоида ва тушунчалар мавжуд?

5. Физик-кимёвий таҳчилини замонавий усуслари бор?

6. Нима учун илмий-тадқиқотлар олиб боришида бир нечта усульнинг бир вақтида қўлланилиши зарур?

7. Физик-механикавий, термик ва бошқа жараёнларни ўрганишда қўлланиладиган яна қандай усусларни биласиз?

8. Электромагнит нурларининг тури ва уларга таалуқли тўлқин узунликларини келтиринг.

9. Ёруғлик нурларининг тури ва уларга таалуқли тўлқин узунликларини ё ва мкм ўлчовларида беринг.

10. Физик-кимёвий таҳчили усусларини ривожлантиришда жаҳон, Марказий Осиё ва Ўзбекистон олимлари қандай ҳисса қўшишган?

11. Марказий Осиё олимларидан кимлар қимматбаҳо тошларнинг таҳчили устида иш олиб боришган ва юксак натижаларга эришган?

## ИККИНЧИ БОБ

### МИКРОСКОПИК ТАҲЛИЛ

#### 6-§. Микроскопик текшириш усули аҳамияти ва ривожи

Анорганик маддалар кимёси ва технологиясида кимёвий маддаларнинг хоссалари ва сифатини ўрганишида кенг қўлланадиган қадимий усул микроскопиядир. Микроскопия илмий-текшириш ишлари олиб боришда микроскопни қўллаш ва микроскопик препаратлар ёрдамида жуда кичик, майда, фақат микроскоп билангина кўринадиган заррачаларнинг специфик хосса-хусусиятларини аниқташга қаратилган усулдир. У аниқ кимёвий методлардан фойдаланиб, жуда оз миқдордаги маддаларни анализ қилиш имконини беради.

Микроскопия усули оптика қонунларига асосланган бўлиб, у ҳақидаги илк маълумотлар эрамиздан аввалги IV-II асрларда яшаган Аристотел, Евклид ва Птолемея асарларида учрайди. Катталашибурувчи шиша ёки лупани эса бу усулнинг энг бирламчи ва ўга содда асбоби деб қарашиб мумкин. Эрамизнинг XI асрида яшаган ва Европада Алхазен номи билан аталган араб олими Ибн Ал-Хайтан, XIII асрда тадқиқотлар олиб борган Роджер Бэкон, XVI аср бошида язаган италиялик рассом Леонардо да Винчи фотометрия назарияси ва амалиётига асос солишиди. Оптика асбобларини кашф этиш ва ясаш эса XVII аср бошлирига тўғри келади. Жумладан, 1609 й. италиялик олим Галилео Галилей томонидан катталашибурувчи труба - дурбин, 1611 й. немис олими Иогани Кеплер томонидан телескоп, 1638 й. У. Гаскойн томонидан окулярли микрометр яратилди.

Майда обьектларни кўрсатувчи маъносини англатувчи “микроскоп” термини ҳаётга 1646 й. немис олими А. Кирхер ва поляк астрономи И. Гавелия томонидан татбиқ этилди. Аммо микроскопия усулининг “отаси” сифатида бутун дунёда голландиялик А. Левенгук ва англиялик тадқиқотчи Р. Гук ҳисобланади. А. Левенгук ўз қўли билан ясаган микроскоп орқали инсоният тарихининг оламшумул ихтиросини яратади.

У сув томчиларида шу даврғача маълум бўлмаган жонли моддадар микроблар борлигини аниқлаб, янги фан “микробиология” га асос солди. Унинг тадқиқотлари француз олим Л.Пастор томонидан давом эттирилди ва натижада турли касалликларнинг найдо бўлиши ва тарқалишида микроблар асосий сабабчи эканлиги исботлаб берилди. Гук эса ўзи яратган нурли микроскоп орқали ўсимлик ва ҳайвонларнинг ҳужайрали тузилишга эга эканлигини каашф этди. Умуман олганда, юз йилча давом этган бу даврда микроскопдан кенгроқ фойдаланилди.

XVIII аср бошларига келиб микроскоп орқали кристаллар дунёсининг тузилиши ўргана бошланди, натижада Урта Осиё (Ўзбекистон) халқларидан чиқсан хоразмлик буюк олим, математик ва астроном Беруний (972-1048) нинг “Қимматбаҳо тошлар”, бухоролик Абу Али ибн Сино (980-1037) нинг “Тошлар ҳақида трактат” ва бошқа олимлар асарларида келтирилган минераллар тавсифи тасдиқ топди. Даниялик олим Эразма Бартолин 1669 й. ёргулар нурини синдириш кўрсатгичи кристалларда иккита бўлиши мумкинлиги, француз муҳандиси Этьен Малиос 1808 й. нурнинг қутбланиши, англиялик физик Уильям Никол қутбланувчи призма, англиялик олим Дэвид Брюстер ўз номи билан аталувчи бурчакларга оид қонунни кашф этиб, микроскопия усули назарияси ва асбобларини та-комиллаштиришга салмоқли ҳисса қўшдилар.

Даниялик олим Э.Бартолин томонидан нурнинг поляризацияга учраши қашфиёт этилганидан икки аср кейин, яъни 1850 йили англиялик оптик Г.Сорби нурли микроскоғда поляризацион нурни ишлатиш мумкинлигини аниқлади. Шу билан нурли микроскоп имкониятлари жуда кенгайди.

Микроскопик таҳдилларнинг такомиллашими кристаллографиянинг ривож топишига олиб келди. 1669 йили даниялик олим Н.Стенсен томонидан кристалларда тегишли бурчакларнинг доимийлигиги, 1783 йили эса француз Рене Жюст Гайю кристаллар тузилишининг умумий назарияси, 1813 йили англиялик кимёгар В.Волластон кристалл панжараси тушунчасини яратдилар. Бу тушунчанинг ривожланиши туфайли 1866 йили француз олими О.Бравэ кристаллар дунёсида 14 элементар ячейкаларнинг мавжудлигини аниқлапди. И.Гессель тадқиқотлари туфайли 1831 йилда кристалларнинг 32 симметрияси, 1891 йили эса рус олими Е.С. Федоров ва немис математиги А.Шенфлис томонидан 230 хил симметриянинг фазовий группалари борлиги тасдиқланди.

бунда:  $n_{\text{абсолют}}$  - маълум сон бўлиб, у нур синдириш кўрсаткичи леб аталаи;  $v_1$  ва  $v_2$  - тушниш ва синдирилиш муҳитларидаги нурнинг тезлиги.

Нисбий нур синдириш кўрсаткичи леб, икки шаффооф оптик муҳитда ёруғлик тарқалиш тезлигининг (ёки  $\lambda=583,3$  мкм,  $15^{\circ}\text{C}$  ва симоб устуининг 760 мм тенг бўлган тўлқин узунлигидаги электромагнит тебраниш) нисбатига айтилади.

Агар иккинчи муҳит сифатида ҳаво ташланса, у ҳолда

$$n_{\text{абсолют}} = n_{\text{модда}} \times n_{\text{хаво}} = n_{\text{модда}} \times 1,0003$$

$$\text{бунда, } n_{\text{хаво}} = v_{\text{бӯшик}} / v_{\text{ҳаво}} = 1,000275 \approx 1,0003.$$

**2. Симметрия ҳақида тушунича.** Симметрия элементлари (симметрия ўқлари, симметрия текислиги, симметрия маркази ёки инверсия).

Симметрик хусусият деганда биз мос тушниш, яъни кристаллнинг ўз-ўзига баъзи фазовий айлантиришда мос тушиши тушунилади.

- a) симметрия ўқлари
- б) акс тасвир
- в) марказли симметрик тасвир.

Бу кўрсаткичлар бўйича ҳамма кристаллар етти (юқори - 1, ўрга -2-4 ва қуий -5-7) сингонияга бўлинади:

- 1) кубик  $a=b=c$ ,  $\alpha=\beta=\gamma=90^{\circ}$ .

Мисол: Алмаз -С. Сингонияси - куб, фазавий группаси -  $Fd3m$ ,  $z=8$ ,  $a=3.567 \text{ \AA}$ ,  $b=3.567 \text{ \AA}$ ,  $c=3.567 \text{ \AA}$ ,  $\alpha=90^{\circ}$ ,  $\beta=90^{\circ}$  ва  $\gamma=90^{\circ}$ .

Альмандин -  $\text{Fe}_3\text{Al}_2\text{Si}_3\text{O}_{12}$ . Сингонияси - куб, фазавий группаси -  $Ia3d$ ,  $z=8$ ,  $a=11.53 \text{ \AA}$ ,  $b=11.53 \text{ \AA}$ ,  $c=11.53 \text{ \AA}$ ,  $\alpha=90^{\circ}$ ,  $\beta=90^{\circ}$  ва  $\gamma=90^{\circ}$ ;

- 2) гексагонал  $a=b\neq c$ ,  $\alpha=\beta=90^{\circ}$  ва  $\gamma=120^{\circ}$ .

Мисол: Берилл - $\text{Be}_3\text{Al}_2\text{Si}_6\text{O}_{18}$ . Сингонияси-гексагонал, фазавий группаси- $P6/mcc$ ,  $z=2$ ,  $a=9.20 \text{ \AA}$ ,  $b=9.20 \text{ \AA}$ ,  $c=9.22 \text{ \AA}$ ,  $\alpha=90^{\circ}$ ,  $\beta=90^{\circ}$  ва  $\gamma=120^{\circ}$ ;

- 3) тетрагонал  $a=b\neq c$ ,  $\alpha=\beta=\gamma=90^{\circ}$ .

Мисол: Геленит- $\text{Ca}_2\text{Al}_2\text{SiO}_7$ . Сингонияси-тетрагонал, фазавий группаси- $P42/m$ ,  $z=2$ ,  $a=7.738 \text{ \AA}$ ,  $b=7.738 \text{ \AA}$ ,  $c=5.045 \text{ \AA}$ ,  $\alpha=90^{\circ}$ ,  $\beta=90^{\circ}$  ва  $\gamma=90^{\circ}$ ;

- 4) тригонал ёки ромбоэдрик  $a=b\neq c$ ,  $\alpha=\beta=\gamma\neq 90^{\circ}$ .

Мисол: Виллемит— $Zn_2SiO_4$ . Сингонияси—тригонал, фазавий группаси—R3,  $z=18$ ,  $a=13.94 \text{ \AA}$ ,  $b=13.94 \text{ \AA}$ ,  $c=9.31 \text{ \AA}$ ,  $\alpha=90^\circ$ ,  $\beta=90^\circ$  ва  $\gamma=120^\circ$ ;

5) ромбик  $a\neq b\neq c$ ,  $\alpha=\beta=\gamma=90^\circ$ .

Мисол: Монтичеллит — $CaMgSiO_4$ . Сингонияси—ромбик, фазавий группаси—Pnma,  $z=4$ ,  $a=4.815 \text{ \AA}$ ,  $b=11.08 \text{ \AA}$ ,  $c=6.37 \text{ \AA}$ ,  $\alpha=90^\circ$ ,  $\beta=90^\circ$  ва  $\gamma=90^\circ$ ;

6) моноклин  $a\neq b\neq c$ ,  $\alpha=\beta=90^\circ$  ва  $\gamma\neq90^\circ$ .

Мисол: Диопсид— $CaMgSi_2O_6$ . Сингонияси—моноклин, фазавий группаси—C2/c,  $z=4$ ,  $a=9.73 \text{ \AA}$ ,  $b=8.91 \text{ \AA}$ ,  $c=5.25 \text{ \AA}$ ,  $\alpha=90^\circ$ ,  $\beta=105.83^\circ$  ва  $\gamma=90^\circ$ ;

7) триклин  $a\neq b\neq c$ ,  $\alpha\neq\beta\neq\gamma\neq90^\circ$ .

Мисол: Апортит— $CaAl_2Si_2O_8$ . Сингонияси—триклин, фазавий группаси—P1,  $z=4 \times 2$ ,  $a=8.18 \text{ \AA}$ ,  $b=12.88 \text{ \AA}$ ,  $c=7.08 \times 2 \text{ \AA}$ ,  $\alpha=93.165^\circ$ ,  $\beta=115.85^\circ$  ва  $\gamma=91.215^\circ$ .

Улар ўз навбатида симметрия бўйича 32 классни, элементар трансляциялари ҳаракати бўйича 14 турли Бравэ панжарасини ва кристаллар классификацияси бўйича 230 Федоров группаси ни беради.

**3. Кристалларнинг иккиланиб синдириш кучи.** Кристалл сингониялари турига қараб ҳар турли бўлади:

1. Юқори кубик сингонияда - нурни иккиланиб синдириш кучи кузатилмайди.

2-4 - ўртача сингонияда бир ўқли, нурни иккиланиб синдириш кучи мавжуд. Улардан бири  $n_o$  ёки  $N_o$  деб белгиланади. У нур тарқалиши қонунларига бўйсунади ва ҳамма йўналишларида бир хил тезликка эга.

Иккинчи нур ўзининг нур синдириш кўрсаткичини ўзгартирадиган йўналишта эга бўлиб,  $n_c$  ёки  $N_c$  ҳарфлари билан белгиланади.

5-7. Қуёйи сингонияда -  $N_g$ ,  $N_m$  ва  $N_p$  мавжуд бўлиб, бунда  $\Delta N = N_g - N_p$  бўлади.

**4. Ҷўзиқ кристалларнинг сўниш тавсифи.** Ёқилған анализа торлар билан ҳар  $90^\circ$  да қайтарилади.

Тўғри сўниш 5 та сингония - кубик, гексагонал, тетрагонал, тригонал, ромбик сингониялар учун хосдир.

Тўғри ва эгри сўниш фақат I сингония - моноклинга тааллуқли.

Фақат эгри сўниш I сингония триклин кристалларига хос.

**5. Узайиш белгиси.** Кристаллар мусбат - агар кристалнинг узунлиги бўйича нур тебраниши ҳосил бўлиб, нур синдириш кўрсаткичи  $N_g$  катта бўлса; манфий - агар  $N_p$  кристалл узунлиги бўйича катта бўлса.

Кристаллар формаси тўғри бўлмаган донсимон ёки ажралиш дарзи йўқ доначалар кўринишида бўлса, бу хусусиятни аниқлаб бўлмайди.

**6. Кристалнинг оптик белгиси.** Бу кўрсаткичлар мусбат ёки манфий бўлиши мумкин. Бир ўқли мусбат кристалларда  $n_o \neq n_c$ , яъни бу ерда  $n_o = n_p$

ва  $n_c = n_g$  бўлади. Манфий белгили кристалларда эса  $n_o = n_g$  ва  $n_c = n_p$  бўлади.

**7. Оптик ўқларнинг бурчак катталиги.** Бу кўрсаткичлар  $2V$  ёки  $2E$  ҳолатида бўлади.

**8. Габитус.** Турли-туман минераллар габитуси, яъни ташки кўриниши бир-биридан тузилишига кўра фарқланади:

кубик сингонияли кристаллар - изометрик ва квадрат кўринишида;

гексагонал сингонияли кристаллар - олтибурчак, думалоқ доначалар ва призматик кўринишида;

тетрагонал сингонияли кристаллар - квадрат, жадвал, думалоқ доначалар, саккизқиррали ва пластинкасимон кўринишида;

тригонал сингонияли кристаллар - учбурчак доначалар шаклида;

ромбик сингонияли кристаллар- ромба, бруск шаклида ва тўғри бурчакли кўринишида;

монохлин сингонияли кристаллар - тангачасимон, тўғри бурчакли, бруск шаклида, игнасимон ва толали кўринишида;.

триклин сингонияли кристаллар - шакли аниқ бўлмаган доначалар кўринишида бўлади.

**9. Кристалларнинг ўлчамлари.** Кристалларнинг ўлчамлари ўта кичик ҳолатида бўлиши мумкин. Бу ҳолат кўпроқ поликристалларга тааллукли. Агар кристаллар монокристалл ҳолатида бўлса, ўлчамлари катта бўлади.

**10. Кристалларнинг ажралиш қобилияtlари.** Ҳамма минераллар ҳам ажралиш қобилиятига эга эмас. Бўлганда ҳам аниқлиги, йўналишлари сони ва улар орасидаги бурчакларнинг катта-кичикилиги билан фарқ қиласи. Шунинг учун минералларнинг бу хусусияти ҳам муҳим диагностик белгилардан бири ҳисобланади.

**11. Қўшалоқликлар.** Икки ёки ундан кўп бир хил кристалларнинг қонуний бирикишига қўшалоқлар дейилади. Оддий қўшалоқ икки индивиднинг бирикишидан иборат. Полисинтетик қўшалоқ кристалларнинг параллел текисликлари бўйлаб ўсимидан, панжаралик қўшалоқлик икки томон йўналишдаги полисинтетик қўшалоқларнинг бирикишидан, секторсимон қўшалоқли тўрт ёки олти қисмларга бўлинган айланда сектор қўшалоқликларидан ташкил топади.

**12. Минераллар ранги ва плеохроизм.** Баъзи-бир анизотроп минералларнинг спектр қисмларини ҳар хил кристаллографик йўналинилар бўйича ютиш қобилиятига плеохроизм леб аталади. Минералларда бу қобилиятнинг бор-йўқлиги поляризатор билан аниқланади. Плеохроизмга мансуб кристаллар ўз ранги ёки рангининг интенсивигини нур тебранишилари таъсирида ўйгартиради. Рангнинг тўқлиги модданинг ютувчанлик қобилияти (абсорбция) ва кристалларнинг қалинлигига боғлиқ. Шунинг учун петрографик шлифларда (уларнинг қалинлиги ҳиммавақт 0,027-0,30 мм га teng) бу ҳолат яхши сезилмайди. Иммерсион препаратларда эса улар қалинроқ ва шу туфайли сезилувчан бўлади.

## 9-§. Усулдан фойдаланишининг имкониятлари

Микроскопик таҳтидан қуйидагиларни билиш мумкин:

- 1) кристалларнинг идентификацияси учун уларнинг оптик константаларини ўлчаш йўли билан ( $N_g, N_p, \Delta N$  ва бошқалар);
- 2) кристалларнинг тузилиши, кристаллокимёвий хусусиятини ластлабки босқичда аниқлаш учун;
- 3) хом ашё материаллари ва уларни куйдириш-асосидаги маҳсулотларнинг шакл ва ўлчамларини ўрганиш учун;
- 4) кристалларнинг ўсиш жараёни ва уларнинг бузилиши;
- 5) моддалардаги фазовий ўзгаришлар;
- 6) диффузия жараёни;
- 7) ишлаб чиқаришнинг технологик жараёнларидаги нуқсонлар ва маҳсулот сифатини ўзгариши (керамик материаллар ва клинкерни пишган – пишмаганлиги, гишт ҳамда бетонлар тузилмасининг етилган-етилмаганлиги) сабабларини аниқлаш учун;
- 8) фазалар миқдорини аниқлаш учун;
- 9) модданинг бир ёки кўп таркиблиги;
- 10) моддаларнинг акс тасвирлаш хусусияти;

- 11) моддаларнинг кимёвий бардошлиги;
- 12) моддаларнинг механик мустаҳкамлиги;
- 13) модда ёки аралашманинг эриш ҳарорати;
- 14) фаза тарқиби миқдорини аниқлаш учун;
- 15) минералларнинг ранг бериш хусусиятини аниқлаш учун;
- 16) минералларнинг ажралиш қобилияtlарини ажралиш текислиги орасидаги бурчаклар қиймати билан;
- 17) минерал ёки кимёвий модданинг узайиш белгиси ёки асосий йўналишини топиш учун;
- 18) сўниш бурчаги C:Ng ни аниқлаб олиш учун;
- 19) қўшалоқ – полисинтетик, панжарали ва секторсизмон.

## 10-§. Усулининг афзаллиги ва камчиликлари

Микроскопик таҳлил усулининг афзалликларига қўйида гиларни кўрсатиш мумкин:

- 1) талқин этишнинг соддалиги;
- 2) олинган натижанинг тўлалиги;
- 3) олинган натижанинг ишончлилиги;
- 4) олинган натижанинг тезкорлиги (1-10 минут);
- 5) 0,3 мкм гача (ёруғлик микроскопларида) бўлган майда заррачаларни фарқлаш имкони (ультрабинафаша микроскопларида 0,2 мкм гача);
- 6) микроскоп тузилишининг оддийлиги (соддалиги);
- 7) фотоматериал, пластиинка ва плёнкалар ёрдамида визуал кузатиласетган микротузилиш ҳолатининг документаллаштириш, яъни фотографиясини олиш мумкинлиги;
- 8) такомиллаштирилган ион проекторли микроскопларда ўлчами 0,1 мм дан то  $10^{-10}$  м (1 Е) гача бўлган дефектларни аниқлай олиши;
- 9) текширишни паст ва юқори ҳароратда, ультрабинафаша ва инфрақизил нурлар иштирокида, ультратовуш таъсирида олиб бориш мумкинлиги.

Микроскопик таҳлил усулининг камчиликлари сифатида қўйидагиларни кўрсатиб ўтиши мумкин:

- 1) расшифровка қилишнинг соддалиги;
- 2) кўпгина микроскопларнинг етарли даражада моддаларни катталаштира олмаслиги;
- 3) микроскопда ишловчининг толиқишиш ва чарчашиб туфайли хоссаларни тўғри қабул қила олмаслиги.

- 4) иммерсион суюқликларни учиши ва ҳар куни уларнинг таъсирини назорат қилишни муҳимлиги;
- 5) ўлчаш ноаниқтигининг катталиги,  $\pm 0,03$ ;
- 6) юқори даражали катталаштиришда юстировка операциясининг мураккаблиги;
- 7) нур синдириш кўрсатгичи яқин бўлган моддалар кимёвий таркибини аниқлаш қийинлиги.

## **11-§. Микроскопия усули аппаратлари**

Микроскопик таҳдилнинг муваффақиятли амалга оширилиши қўлланиладиган аппаратларга кўп жиҳатдан боғлиқ. Тегишили аппаратларсиз илмий-тадқиқот иши, техника ва тибиёт муаммоларини ҳал этиш мумкин эмас.

Микроскопик таҳдил аппаратларининг тури жуда кўп. Улар қаторига А. Левенгук ва Р.Гулларнинг шиша линзаларидан тортиб замонавий микроскопларгача киради.

Замонавий микроскоплар қаторига қўйидагилар киради:

**1. Нурли микроскоплар.** Уларнинг қаторига линзали телескоп - рефракторлардан тортиб икки нурли микроинтерферометрларгача киради. Ҳозирги кунда қўлланиладиган нурли микроскоп поляризацион нурни қўллашга асосланган.

**2. Электрон микроскоплар.** Уларда катод нурларидан фойдаланиш орқали катта ютуқларга эришилди. Улар қаторига 1931 йили немис олимлари М.Кноллем ва Э.Руск томонидан яратилган электрон микроскопларидан тортиб то ҳозирги замонавий интерференцион электрон микроскопларгача киради. Назарий жиҳатдан бундай микроскопларда  $100 \text{ \AA}$  гача, амалий жиҳатдан эса  $500\text{--}1000 \text{ \AA}$  бўлакчаларни кўриш мумкин.

**3. Растро нурли ва электрон микроскоплар.** Улар қаторига растро нурли микроскоп, массив объектларни тадқиқот қилишга мўлжалланган растро электрон микроскопи, кучланиши  $150 \text{ kV}$  бўлган растро электрон микроскопи, катодлюминесцент объектларни текширувчи растро электрон микроскопи, телевизион тасвирили ультратовушли микроскоп ва бошқалар киради.

**4. Рентген микроскопияси ва микрозонд таҳдили.** Рентген проекцияли микроскоп, рентгенли топография, электрон-зондли рентген микроанализатори, ион-зондли масс-спектрал микроанализатор ва бошқалар бу гурухга киради.

**5. Автоэлектрон микроскопияси.** Автоэлектрон микроскоп - зондли анализатор тоза юзалар билан ишлашга мўлжалланган. Улар ёрдамида металл-плёнкали тизимлар ўрганилади.

**6. Автоион микроскопияси.** Паст ҳароратли автоион микроскопи - юқори тасвирга эга атом зонди жуда кичик бўлакчаларнинг микроскопик кўринишини фиксация қилишга мўлжалланган.

1617-1619 йилларда кашф этилган микроскоилар биологик, кимёвий ва бошқа текширишлар учун таалтуқли поляризацион микроскоплардир.

**МП-2, МП-3, МП-4, МИН-4, МИН-5 ва МИН-8 турдаги поляризацион микроскоплар.** Улар ёруғлик остида ишлаш учун мўлжалланган замонавий аппаратлар қаторига киради. Кичик ҳажмни катталашибиришда ёруғлик манбаи бўлиб оддий стол лампаси хизмат қиласи. Ҳажмни жуда катталашибиришда эса ОИ-9 ва ОИ-19 каби сунъий ёриткичлар қўлланилади.

Одатда нур синдириш кўрсаткичи п ёки N ни ўлчашда сариқ нурлар, яъни D - натрий бутлари чизиги (тўлқин узунлиги  $\lambda = 5893 \text{ \AA}$ ) қўлланилади.

Объектив сифатида объектив ва окулярлар тўпламига кирган ва объектларни 17,5 X дан то 1350 X гача катталашибириувчи мосламалар қўлланилади.

Ҳозирги вақтда саноат корхоналари, илмий - текширув институтларида замонавий МИН-8 микроскопи ишлатилиди (4- расм).

МИН- 8маркали поляризацион микроскопнинг асосий деталлари қўйидагича:

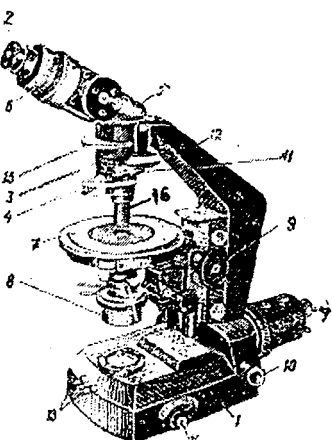
1- микроскоп асоси - массив плитка. Унинг ичига конденсор линза ва буриш призмалари жойлашибирилган;

2-окуляр.УХ ,6Х, 8Х, 5Х ва 20Х марта катталашибиришга имкон беради;

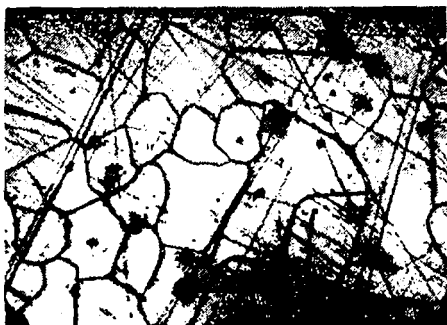
3- тубус. У тутгичнинг юқори қисмига қўзгалмас қилиб маҳкамланади. Тубус ўйигига анализатор ёки бошқа компенсаторлар мосламаси ўрнатилган;

4- опак-илюминатор ОП-12 ни ўрнатиш салазкаси. Бу ўз навбатида микроскопда қайтган нурлар ёрдамида ҳам ишлашга имкон беради;

5- қия монокуляр мослама. Предмет столчасини доимо горизонтал ҳолатда сақлаб объектни кузатиш учун хизмат қиласи;



4-расм. МИН-8 русумли поляризацион микроскопнинг кўриниши.



5-расм.  $\text{SrLaAl}_3\text{O}_7$  – микрофотографияси. МИМ-7 микроскопи пластинкасидан олингган тасвир. 600 марта катталаштирилган.

6- цилиндр шаклидаги металл труба. Унда кўриш учун катталаштириб берувчи система-окуляр ўрнатилган;

7- предмет столчаси. Унинг устига текширилаётган объект ўрнатилган бўлади. Предмет столчаси кронштейнга ўрнатилган бўлиб, катта тишли силжитиш механизми ёрдамида юқорига-пастга ҳаракатланади;

8- конденсор. У ўрнатилиши ёки олиб қўйилиши мумкин;

9- силжитиш механизми. Унинг ёрдамида предмет столчаси юқорига-пастга ҳаракатлантирилади;

10-ҳаракатлантирувчи дасталар. Улар микроскоп асосининг икки томонидаги механизмни ҳаракатлантирадилар;

**7. Иммерсион микрорефрактометр мосламаси.** Бундай асбоб ёрдамида стандарт иммерсион суюқликларининг ва иммерсион препаратларидағи моддаларнинг ёруғлик нурини синдириш кўрсаткичлари аниқланади.

**8. Моддаларнинг нисбий мөқдорини аниқлаш мосламаси.** Улар қаторига окуляр-сетка ва интеграцион столча киради.

### 13-§. Препаратларни тайёрлаш усуллари

Материал, буюм ва тажриба намунасини микроскопик текширишга қуруқ ёки хўл усулларда тайёрлаш ва тадқиқотлар ўтказиш учун асосан қуйида батафсил баён қилинган уч усулдан фойдаланилади.

**1. Иммерсион препаратларни тайёрлаш.** Бу усул энг қадимий ва энг осон усуллардан бири бўлиб, унда иммерсион препаратларни тайёрлаш қуйидаги соддалаштирилган схема бўйича тайёрланади:

Шишадан намуна турадиган бўлакча ясаш (узунлиги 6 см, эни 2 см) ва уни спиртланган пахта ёки дока ёрдамида тозалаш.



Микроскоп предмет столи юзасига тоза шиша бўлагини ўрнатиш ва иммерсион суюқликни суртиш (ёйини).



Текширилаётган молдан майдалаш ва туйинш.



Майда туйилган модда (10-20мг)ни уни иммерсия суюқлиги билан хўлланган нина, пичноқ ёки сим ёрдамида шиша бўлагидаги суюқликка ўтказиш.



1,5x1,5 см<sup>2</sup> юзали предмет столидаги иммерсион суюқлигини ингичка шишадан ясалган шаффофф материал билан қоплаш.



Фильтр коғоз ёрдамида предмет столи ва қопловчи ингичка шаффофф шиша орасидан чиққан ортиқча суюқликни тортиб олиш.



Тайёр иммерсион препаратни МИН-8 микроскопига ўрнатиш.



МИН-8 микроскопи ёрдамида турли хосса ва хусусиятларни аниқлаш, керак бўлса, тасвирини фотография усулида тушириш.

**2. Шаффоф шлифлар тайёрлаш.** Шаффоф шлиф тайёрга иммерсия усулида шлиф тайёрлашдан тубдан фарқ қиласи. Иммерсия усулида суюқликни тез-тез алмаштириб туриш мумкин. Бу ерда эса шаффоф шлиф тайёрлаш анчагина мураккаб жараёндир. Уни қуйидаги тизим бўйича амалга оширилади:

Диаметри 300 мм ли шлифовка станогида силлиқлантирувчи суюқлик иштирокида (богловчи моддалар учун спирт, керосин ва бензин) қалинлиги 3-4 мм гача бўлган намуна пластинкаларни тайёрлаш ва силлиқлаш.



Предмет столи (шиша) га канада ёки пихтов бальзами ёрдамида намунани ёпишириш.



Намунанинг очиқ юзасини 150 мк қалинликкача шлифовкалаш (силлиқлаш).



Намуна юзасини ювиш.



Намуна юзасини қуритиши.



Иситиш ва юзага бальзам томчиларини томизиши.



Ингичка шиша қоплама билан юзани беркитиш (ёпиш).



Шаффоф шлифни микроскопнинг предмет столчасига ўрнатиш.



Тегишли тадқиқотларни олиб бориши.

**3. Силлиқланган (полировка қилинган) шлифларни тайёрлаш.** Бундай шлифлар металлографик микроскоплари учун қуйидаги тартибда амалга оширилади:

Қаттиқ, мўрт бўлмаган  
текширилувчи жисм

Фовак ёки мўрт  
текширилувчи жисм.



Канифол, канада бальзами  
ёки олтингугурт ёрдамида  
материални қотириш



ШПС-73, ШС-1000 станокларининг чўян дискларда шлифовка қилиш. Шлифовка вақтида кукун сифатида абразив

куми  $\text{SiO}_2$ , корунд  $\alpha\text{-Al}_2\text{O}_3$ , карборунд  $\text{SiC}$ , наждак-тоғ жинси, пемза  $\text{Fe}_2\text{O}_3$ , алмаз С кабилар ишлатилиди. Одатда кукун сув билан аралашган (пульна) ҳолда бўлади.



Сукно билан қопланган дисклар ёрдамида силлиқ қилини. Дискнинг айланиш тезлиги минутига 400-500 марта. Силлиқловчи суспензия-хром оксиди  $\text{Cr}_2\text{O}_3$ , крокус  $\text{Fe}_2\text{O}_3$ , полирит( $\text{CeO}_2$ ,  $\text{TR}_2\text{O}_3$ ) ва чанглар ёрдамида тайёрланади.



Ювиш -  $\text{H}_2\text{O}$



Кимёвий бирикмалар ёрдамида ўйиш. Масалан,  $\text{CaO}$  2-Зек дистилланган сув билан;  $3\text{CaO SiO}_2$  2-3 соат  $\text{C}_4\text{H}_{10}\text{O}$  нинг  $\text{C}_2\text{H}_5\text{OH}$  даги эритмаси билан ёки 3 секунд  $\text{HF}$  буғлари билан;  $2\text{CaO SiO}_2$  2-3 сек  $\text{HNO}_3$  нинг 1%ли спиртли эритмаси билан.



Полировкаланган шлиф металлографик микроскопга ўрнатилади.



Металлографик микроскоплар ёрдамида тадқиқотлар олиб борилади.

#### **14-§. Микрофотография намуналари**

Микрофотография усули орқали тасвир ҳужжат мақомини олади. Шунинг учун магистрлик, номзодлик ва докторлик диссертация ишлари олиб борища, солишиши этиалонлари ясашда ва корхона маҳсулотлари сифатини тасвир орқали белгилашда ишлатишда у бебаҳодир.

Барча микроскопларга фотоаппаратлар ўрнатиш мумкин. Тасвир қайтган ва ўтувчан нур асосида найдо бўлиши ва олиниши мумкин. Куйидаги 5-8-расмларда ўзига хос кристалларнинг микрофотолари берилган.

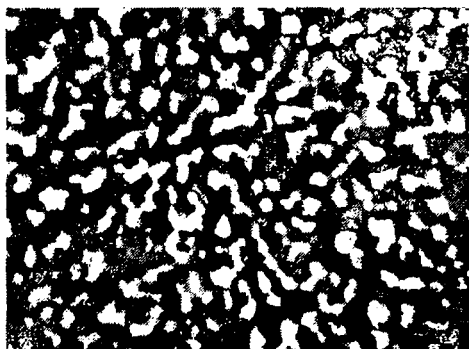
5-расмлаги фото стронций-лантан алюминати  $\text{SrLaAl}_3\text{O}_7$  га таалуқли. Шу минералга оид шихта электр ёили печида эритилган бўлиб, у совитилаётган пайтда кристаллизацияга учраган. Микрофото металлографик микроскоп МИМ-7 да қайтган нурлар ёрлами ва 600 марта катталаштирилган ҳолда ҳосил қилинган ҳамда фотопластинкага туширилган. Аншлиф олдиндан махсус кимёвий эритма ёрдамида ишланган. Шу туфайли тетрогонал сингонияга эга бўлган мелилитсимон кристалл до-

налааринин кўриниши ва ўлчами ҳақида аниқ маълумотга эга бўлинди.

6-расмда  $\text{SrSiO}_3$  –  $\text{CaMgSi}_2\text{O}_6$  эвтектик диаграмм холатига оид фото келтирилган. Бу диаграмма 37,5  $\text{SrSiO}_3$  холатига  $1310^{\circ}\text{C}$  ли эвтектика ҳосил қилиади. Расмдаги оқ майдон дионсиц минералига тааллуқли бўлиб, призма шаклидаги кристаллар  $\text{SrSiO}_3$  қаттиқ қотишмасига тўғри келади. Фото олишга тайёрланган намуна  $1450^{\circ}\text{C}$  ли ҳароратда 5 соат ушланган. Эритувчи молда сифатида махсус аралашма ( $10\text{мл } \text{H}_2\text{SiF}_6 + 10 \text{ мл } \text{H}_2\text{O} + 1 \text{ мг } \text{CoCl}_2$ ) инплацилган. Араланманинг таъсир этиши вақти - 10 сек. Катталаштирини 400 марта.



6-расм. “ $60 \text{ SrSiO}_3 + 40 \text{ CaMgSi}_2\text{O}_6$ ” ли шихта асосида олинган шишани  $1450^{\circ}\text{C}$  ли ҳароратда 5 соат давомида ушлаш натижасида пайдо бўлган тасвир. 400 марта катталаштирилган.



7-расм. “ $60 \text{ SrSiO}_3 + 40 \text{ CaMgSi}_2\text{O}_6$ ” асосида олинган шишани  $1150^{\circ}\text{C}$  ли ҳароратда 5 соат давомида ушлаш натижасида пайдо бўлган квазиэвтектикага оид тасвир. 600 марта катталаштирилган.

7-расмда “60 SrSiO<sub>3</sub> + 40 CaMgSi<sub>2</sub>O<sub>6</sub>” таркибли шишани эвтектика нүктаси (1310°C) дан настда, яъни 1150°C ли ҳароратда 5 соат ушлап иштижасида ҳосил бўлған квазиэвтектика кўриниши берилган. Қора майдон SrSiO<sub>3</sub> қаттиқ қотищмасига тегинли, оқ доналар эса лионисид минерали доначаларидир. Олтингуругуртга қотирилган намуна юқорида таркиби келтирилган маҳсус модда ёрламида 3-4 сек давомида ишланган.



8 - расм. CaTRGa<sub>3</sub>O<sub>7</sub> га оид микрофотография. Анишлиф. 600 X



9-расм. Шаффофф катынит-исланл шинати кристалларининг кўриниши.



10-расм. Камкирралли кристаллар-нинг шакллари: а-дендритлар; б-скелетлар; в-сферолитлар; г-ипсисмон кристаллар.

Ўтган нурлар ва ёқилган анализатор ёрдамида анишлифдан юлишган CaTRGa<sub>3</sub>O<sub>7</sub> кристалларига оид фото 8-расмда берил-

ган.  $\text{CaTRGa}_3\text{O}_7$  шихтаси  $1250\text{-}1300^\circ\text{C}$  ли ҳароратда қаттиқ фазали реакциялар усули бўйича иширилган. Катталаштириш миқдори 600. Намуна маҳсус бирикма ёрдамисиз олинган. Кристалл доначаларининг чегаралари сув таъсирила пайдо бўлган. Умумлаштириб олинганда кристалларнинг шакли уларниң турғун ҳолати ёки реал ҳолатига боғлиқ, шу жумладан, кристалларнинг ташқи қиёфаси ёки кристалларнинг ўсиши ташқи муҳитга ўта боғлиқдир.

Кристалларнинг турғун ҳолати ўсаётган кристалл атрофида «хом ашё» нинг етарили даражада бўлиши билан боғлиқ. Бу холда кристалларга хос бўлган қирралли полизэдрик шакл пайдо булади. Турғун кристалларнинг пайдо бўлиши 1878 йили У. Гиббс, 1885 йили П. Кюри ва 1901 йили Г.В. Вульф томонидан ишлаб чиқилган қоидаларга амал қиласди:

$$\Sigma S_i f_i = \min, \quad V=\text{const},$$

бу ерда  $S_i$  – кўпқирралли кристалл;  $i$  – қиррасининг майдони;  $f_i$  – бу қирранинг солиштирма ташқи энергияси;  $V$  – кристалл ҳажми.

Кристалларнинг реал шакли юқорида айтилган шартларга амал қилинмаган ҳолатда рўй беради. Унинг тузилиши фақат сингониясига боғлиқ бўлиб қолмай, шу билан бирга уларниң тўйинини даражаси, ҳарорати, ташқи муҳит таркиби ва боинқа параметрларга боғлиқ.

Юқорида қайд қилинганлардан ташқари кристалларга хос бўлган ташқи қиёфа фақат турғунли шароитла, яъни кристаллизация жараёни ўта секин амалга оширилганда рўй беради. 9-расмда шундай шароитда ўстирилган шаффоф кальцит-исланд шпати кристалларининг кўриниши келтирилган.

Кристаллар ўсиши турғун ҳолатидан реал ҳолатига ўтганда дендрит, скелет, сферолит ва ичи кристаллар ҳосил бўллади (10-расм). Бир қараганда бир-бирига ўхшаш тўйилган дендрит ва скелет шакллари тубдан фарқ қиласди: скелетли кристаллар монокристаллардир, дендритлар эса – поликристалл агрегатлардир.

## 15-§. Тупроқ минераллари, баъзи бир оксидлар ва кальций оксиди – кремний оксиди тизимидағи фазаларнинг оптик тавсифлари

Ҳар қандай ноорганик модда, шу жумладан, табиий ва сунъий силикат моддаларининг ўзига хос оптик константалари бўллади. Масалан, улар нур синдириш кўрсаткичи, сингонияси,

габитуси ва бошқа хусусиятлари билан бир-бирларидан фарқланади. Шунинг учун номаълум модданинг оптик хоссалирини аниқлаш ва уларни этalon ёки маълум моддалар кўрсаткичларига таққослаш асосида унинг қайси модданинг кристали эканлигини айтиш мумкин.

5-жадвал

### Муҳим ва кўп тарқалган тупроқ минералларининг оптик хусусиятлари

№	Минералнинг номи	Нур синдиришин кўрсаткичи			Габитус
		Np	Ng	Ng-Np	
1.	Каолинит (три- клин, Z=2) $\text{Al}_2\text{O}_3 \cdot 2\text{SiO}_2 \cdot 2\text{H}_2\text{O}$	1.553	1.560	0.007	Оғзи бурчак шактида- ти пластинкалар
2.	Галлюазит $2[\text{Al}_2\text{O}_3 \cdot 2\text{SiO}_2 \cdot 2\text{H}_2\text{O}] \cdot (4\text{H}_2\text{O})$	1.526- 1.532	-	-	Майдо доначалар
3.	Галлюазит $2[\text{Al}_2\text{O}_3 \cdot 2\text{SiO}_2 \cdot 2\text{H}_2\text{O}] \cdot 2\text{H}_2\text{O}$	1.548- 1.556	-	-	Майдо доначалар
4.	Монтморилло- нит ( $\text{Ca}, \text{Mg}$ ) $\text{O} \cdot \text{Al}_2\text{O}_3 \cdot (4-5)\text{SiO}_2 \cdot x\text{H}_2\text{O}$	1.480- 1.590	1.516-1.630	0.036-0.040	Жуда майдо доналар қирримсимон
5.	Нонгронит* $\text{Fe(OH)}\text{Si}_2\text{O}_5 \cdot 2\text{H}_2\text{O} \cdot \text{Fe}_2\text{O}_3 \cdot 4\text{SiO}_2 \cdot 5\text{H}_2\text{O}$	1.565- 1.600	1.600-1.640	0.035-0.040	Майдо доначалар, чўзилган пластинка майдончалари
6.	Ильмит	1.45	1.57	0,12	Слюдасимон, яхши ри- вожланмаган гексаго- нал шактидаги танталар
7.	Моноклерит 0,2 ( $\text{K}, \text{Na}, \text{Mg}, \text{Ca}$ ) $\text{O} \cdot \text{Al}_2\text{O}_3 \cdot 3\text{SiO}_2 \cdot 2\text{H}_2\text{O}$		$\text{N}_{\text{m}} =$ 1.55-1.57	-	Нозик ташасимон
8.	Пирофиллит (моноклин, Z=4) $\text{Al}_2\text{O}_3 \cdot 4\text{SiO}_2 \cdot \text{H}_2\text{O}$	1.552	1.600	0.008	Радиат-пластинкали, япроқсимон, донача- ларининг тўла агрегатлари.

\*Нонгронит:  $\text{m}[\text{Mg}_3(\text{Si}_2\text{O}_5)_2(\text{OH})_2]\text{p}[(\text{Fe}, \text{Al})_2(\text{Si}_2\text{O}_5)_2(\text{OH})_2]\text{nH}_2\text{O}$

Юқоридаги жадвалларда тупроқ минераллари, оксидлар ва бир муҳим тизим оид моддаларнинг оптик тавсифлари келтирилган.

Кўйилаги б-жадвалда оксидлар кўрсаткичига оид маълумотлар берилган.

6-жадвал

### Баъзи оксидларининг оптик тавсифи

№	Оксиднинг номи	Тарқиби	Нур синлириниң кўрсаткичи		Ng-Np	Габитус
			Ng	Np		
1.	α-Кварц	α-SiO <sub>2</sub>	1.541	1.533	0.008	Бипирамидали
2.	α-Трилимит	α-SiO <sub>2</sub>	-	-	Кучиз	-
3.	β-Кристобалит	β-SiO <sub>2</sub>	1.487	1.484	0.003	Октаэдрлар, доначалар, кўшалюқлар
4.	α-Кристобалит	α-SiO <sub>2</sub>		1.466	-	Тангачалар, доналар
5.	γ-Глиназём	γ-Al <sub>2</sub> O <sub>3</sub>		1.696	-	-
6.	β-Глиназём	β-Al <sub>2</sub> O <sub>3</sub>	1.655	1.630	0.025	-
7.	α-Глиназём	α-Al <sub>2</sub> O <sub>3</sub>	1.768	1.760	0.008	Устунсимон, пирамидасимон
8.	Магний оксили	MgO		1.736	-	Думалоқ доначалар
9.	Кальций оксили	CaO		1.837	-	Думалоқ доначалар
10.	Темир оксили	Fe <sub>2</sub> O <sub>3</sub>	, 2.95	2.77	0.18	-
11.	Литий оксили	Li <sub>2</sub> O		1.644	-	Донача ва кублар
12.	Мис оксили	Cu <sub>2</sub> O		2.705	-	Октаэдрлар
13.	Марганец оксили	MnO		2.23	-	Октаэдрилар
14.	Никель оксили	NiO		2.27	-	Октаэдрлар
15.	Стронций оксили	SrO		1.870	-	Кублар
16.	Калмий оксили	CdO		2.49	-	Октаэдр ва кублар
17.	Барий оксили	BaO		1.980	-	Кублар
18.	Бериллий оксили	BeO	1.733	1.719	0.014	Призмалар
19.	Цинк оксили	ZnO	2.029	2.013	0.016	Гексагонал кристалилар
20.	Қўргонин оксили	PbO	2.665	2.535	0.130	Таблицилар

5-жадвалдан тупроқ минералларининг оптик кўрсаткичлари бир-бираига яқинлиги кўриниб турибди. Тупроқ минералларидан оксилиларга ўғадиган бўлсақ, хоссаларидағи фарқ сезилиларик даражала бўлади. Айниқса, SiO<sub>2</sub>, Al<sub>2</sub>O<sub>3</sub>, MgO, CaO ва Fe<sub>2</sub>O<sub>3</sub> орасидаги тафоввут ўга сезилиувчандир (6-жадвал).

Силикатларнинг фазовий диаграмма ҳолатларини текширишда ҳам оптик кўрсаткичларга таяниш ижобий натижা берали. Айниқса, кремний - кислород, магний оксили - кремнезем, кальций оксили-кремнезем каби тизимларни таҳдил қилишда у қўл келади.

Күйидаги 7-жадвалда  $\text{CaO}-\text{SiO}_2$  тизимиға оид маълумотлар берилган.

7-жадвал  
 **$\text{CaO}-\text{SiO}_2$  системасининг кристаллик фазалари**

Биримка	Кристалл тизим	Габитус	Ажраплиш қобиляти	$\text{Ng}$	$\text{Nr}$	$2\text{ V}^\circ$	Оптик белги
$\text{Ca}_3\text{SiO}_5$ (алит)	Гексагонал	Оятбиурчакли пластиника ва доначалар	Аниқ эмас	1.723	1.717	0	(-)
$\alpha\text{-Ca}_2\text{SiO}_4$	Гексагонал	Олтибиурчакли пластиника ва доначалар	-	-	-	-	-
$\alpha^1\text{-Ca}_2\text{SiO}_4$ (бредигит)	Ромбик	-	-	-	-	-	-
$\gamma\text{-Ca}_2\text{SiO}_4$	Ромбик (оливин туриладиги гузилма)	Призматар	(010) текислиги бўйича аниқ	1.654	1.642	60	(+)
$\beta\text{-Ca}_2\text{SiO}_4$ (истастабил, белит, фелит, ларит)	Моноклин	-	(010) ва (100) бўйича аниқ	1.735	1.717	Катта	(+)
$\text{Ca}_3\text{Si}_2\text{O}_7$ (ранкинит)	Моноклин	Призматар	-	1.650	1.641	Катта	(+)
$\alpha\text{-CaSiO}_3$	Псевдогексагонал, триклини	Узун призма, доначалар	(001) бўйича, бальзан (001) бўйича кўшилоқлар	1.654	1.610	0-8	(+)
$\beta\text{-CaSiO}_3$ (волластонит)	Триклини	Доскасимон индивидлар	(100) бўйича аниқ	1.631	1.616	39	( - )

**16-§ Диагностика мақсадларида фойдаланиладиган микроскопик кўрсаткичлар**

В 5222400 – «Кимёвий технология» йўналишининг «Силикат ва зўргасуюувчан материаллар технологияси» соҳаси хом

ашёлари, яримфабрикатлари, материаллари ва буюмларини бир-биридан ажратиб олишда микроскоп ва унинг ёрдамида аниқланадиган параметрларнинг роли жуда катта. Бундай мақсадларда оддий микроскопдан ҳам, электрон микроскопидан ҳам унумли фойдаланиш мумкин.

Диагностика мақсадларида фойдаланиладиган микроскопик кўрсаткичлар қаторига моддаларнинг нур синдириш кўрсаткичлари биринчи навбатда киради. Аморф таркибли қаттиқ модда ҳамда куб қисмига мойил бўлган кимёвий моддалар учун нур синлириш кўрсаткичи барча йўналишларда бир хил қийматта эга. Тузилиши бўйича гексагонал, тетрагонал ва ромбикли тузилмаларга тааллуқли моддаларда бундай қиймат икки турли бўлиб, улар Ng ва Nr кўрсаткичлари номи билан аталади. Тузилиши жиҳатидан ўта мураккаб бўлган моноклин, тригонал ва триклин тузилмали сунъий ҳамда табиий кристалл моддаларида бундай кўрсаткичлар сони учтага стади.

Диагностика кўрсаткичлари ичida кристалл моддаларига хос бўлган  $\Delta N$  ва  $2V$  ларнинг қийматлари гоҳида рақам ҳолатида, гоҳида шартли белгилар орқали берилган (8-жадвал).

8-жадвал

### Ng – Nr ва 2V лар қийматини нисбий аниқлаш шкаласи

Нурнинг иккиланиб синиш шкаласи	Оптик ўқларнинг бурчак каттагиши
Ng-Nr ни нисбий аниқлаш	2Vнинг нисбий қиймати
Жуда кучсиз	Жуда кичик
Кучсиз	Кучсиз
Ўртача	Ўртачадан кичик
Бироз кучсиз	Ўртача
Кучли	Ўртачадан катта
Жуда кучли	Катта
Жуда-жуда кучли	Жуда катта

**Табиий ва сунъий кремнийли кимёвий бирикмаларнинг бир қисмига оид асосий микроскопик кўрсаткичлар**

Модула	Нур синдириш кўрсаткичлари			Бошқа кўрсаткичлар
	Ng	Np	ΔN	
$2\text{Li}_2\text{O}\cdot\text{SiO}_2$	1.610 $N_m=1.608^*$	1.602	0.008	Ромбик (псевдогексагонал) сингонияли. Донсимон ва кўшалоқ кристаллар. Оптик белгиси (+), $2V$ кичик, $\rho_{\text{такр}}=2.39 \text{ г}/\text{см}^3$ , $1255^\circ\text{C}$ да инконгруэнт эриди ( $\text{Li}_2\text{O}$ ва суюқликка ажралади)
$\text{Li}_2\text{O}\cdot\text{SiO}_2$ - I	1.670 $N_m=1.650^*$	1.650	0.020	Ромбик (псевдогексагонал) сингонияли, $a=9.361$ , $b=5.395$ , $c=4.675 \text{ \AA}$ , $Z=4$ , $\text{Li}_{\text{k.c.}}=4$ . Кристаллари нинасимон ва призмалар кўринишида. Оптик белгиси (+), $2V=0^\circ$ , ажралиши узун томон бўйлаб, $\rho_{\text{такр}}=2.524$ ва $\rho_{\text{хис}}=2.535 \text{ г}/\text{см}^3$ . Эриш нуқтаси $1200^\circ\text{C}$
$\text{Li}_2\text{O}\cdot\text{SiO}_2$ - II	1.599	1.587	0.012	Тетрагонал сингонияли, $a=9.39$ , $c=5.92 \text{ \AA}$ , Кристаллар габитуси-ни-насимон. Бир ўқли, мусбат
$\text{Li}_2\text{O}\cdot2\text{SiO}_2$	1.558 $N_m=1.550$	1.547	0.011	Ромбик сингонияли, $a=5.800\pm0.02$ , $b=14.660\pm0.05$ , $c=4.8060\pm0.015$ , $Z=4$ . Донсимон ва тўғри бурчакли жадвалсимон кристаллар. Оптик белгиси (+), $2V=50-60^\circ$ . Ажралиши-уч йўналишиша 90° ли бурчак остида, $\rho_{\text{такр}}=2.454$ ва $\rho_{\text{хис}}=2.438 \text{ г}/\text{см}^3$ . Эриш нуқтаси $1032^\circ\text{C}$ .
$\alpha$ - Эвклиптигт - $\text{Li}_2\text{O}\cdot\text{Al}_2\text{O}_3\cdot2\text{SiO}_2$	1.5870 0.002	1.5720 0.002	0.015	Гексагонал сингонияли, $a=13.54$ ва $c=9.01 \text{ \AA}$ . Кристалларининг габитуси – пирамидалар ҳолида. Бир ўқли, мусбат, $\rho_{\text{такр}}=2.64 \text{ г}/\text{см}^3$ . Эриш нуқтаси $1388^\circ\text{C}$ .
$\beta$ - Эвклиптигт - $\text{Li}_2\text{O}\cdot\text{Al}_2\text{O}_3\cdot2\text{SiO}_2$	1.5240 0.003	1.5200 0.003	0.004	Гексагонал сингонияли, $a=5.27$ , $c=11.25 \text{ \AA}$ , $Z=3$ . Кристаллари бинирамида кўринишида. Бир ўқли, манфий, $\rho_{\text{такр}}=2.35 \text{ г}/\text{см}^3$ .

$\alpha$ - Сиодумен – $\text{Li}_2\text{O}\cdot\text{Al}_2\text{O}_3\cdot 4\text{SiO}_2$	1.750 $N_m=1.730$	1.720 $N_m=1.730$	0.030	Моноклин сингонияли, $a=9.50$ , $b=8.30$ , $c=5.24 \text{ \AA}$ , $\beta=110^0 28'$ , $Z=4$ . Нинасимон кристаллар. Икки ўқли, мусбат, сўнин бурчаги 30° атрофига, $\rho_{\text{тажр.}}=3.2 \text{ г/см}^3$ . Эриш нуқтаси $1380^0\text{C}$ .
$\beta$ - Сиодумен – $\text{Li}_2\text{O}\cdot\text{Al}_2\text{O}_3\cdot 4\text{SiO}_2$	1.522	1.516	0.006	Тетрагонал сингонияли. Билирамидасимон кристаллар. Бир ўқли, мусбат, $\rho_{\text{тажр.}}=2.41 \text{ г/см}^3$ . Эриш нуқтаси $1423^0\text{C}$ .
Песталит – $\text{Li}_2\text{O}\cdot\text{Al}_2\text{O}_3\cdot 8\text{SiO}_2$	1.516 $N_m=1.510$	1.504	0.012	Моноклин сингонияли, $a=11.77$ , $b=5.13$ , $c=15.17 \text{ \AA}$ , $\beta=112^0 44'$ . Кристаллар габитуси-нинасимон. Икки ўқли, мусбат. $2V=83^0 34'$ , $\rho_{\text{тажр.}}=2.42 \text{ г/см}^3$ , қаттиқлигі 6.5, кислоталарда (HF дан ташқари) эримайди.
$\text{Li}_2\text{O}\cdot\text{K}_2\text{O}\cdot 4\text{SiO}_2$	1.540 $N_m=1.538^*$	1.536	0.004	Ромбик сингонияли, икки ўқли, $2V=53^0$ . Эриш нуқтаси $870^0\text{C}$ .
$\text{Li}_2\text{O}\cdot 2\text{K}_2\text{O}\cdot 6\text{SiO}_2$	1.515 $N_m=1.512$	1.510	0.005	Ромбик сингонияли, икки ўқли, $2V=85-90^0$ . Эриш нуқтаси $815^0\text{C}$ .
$\text{Li}_2\text{O}\cdot 5\text{K}_2\text{O}\cdot 4\text{SiO}_2$	1.520 $N_m=1.517^*$	1.515	0.005	Ромбик сингонияли, икки ўқли. Эриш нуқтаси $830^0\text{C}$ .
$\text{Li}_2\text{O}\cdot 5\text{K}_2\text{O}\cdot 7\text{SiO}_2$	1.555 $N_m=1.552^*$	1.550	0.005	Ромбик сингонияли, икки ўқли. $2V=13^0$ . Эриш нуқтаси $880^0\text{C}$ .
$2\text{Li}_2\text{O}\cdot 5\text{K}_2\text{O}\cdot 7\text{SiO}_2$	1.540	-	-	Кубик сингонияли. Эриш нуқтаси $900^0\text{C}$
$\text{Li}_2\text{O}\cdot\text{Na}_2\text{O}\cdot 2\text{SiO}_2$	1.571 $N_m=1.557$	1.552	0.019	Ромбик сингонияли. Кристаллари призма кўринишида. Икки ўқли, мусбат, $2V$ катта. Эриш нуқтаси $847^0\text{C}$
$\text{Li}_2\text{O}\cdot\text{La}_2\text{O}_3\cdot 2\text{SiO}_2$	1.870	1.843	0.027	Гексагонал сингонияли, бир ўқли, манфий
$\text{Li}_2\text{O}\cdot\text{Al}_2\text{O}_3\cdot 2\text{SiO}_2\cdot 2\text{H}_2\text{O}$	1.535 $N_m=1.528^*$	1.525	0.010	Ромбик сингонияли. Кристаллари столба кўринишида, икки ўқли
$2\text{LiF}\cdot\text{SiF}_4\cdot 2\text{H}_2\text{O}$	1.300 $N_m=1.298^*$	1.296	0.004	Моноклин сингонияли, $\rho_{\text{тажр.}}=2.33 \text{ г/см}^3$

$\alpha - 2\text{Na}_2\text{O}\cdot\text{SiO}_2$	1.537 $N_m=1.530^*$	1.524 $N_{\text{прач}}=1.536$	0.013 Куч-сиз	Моноклин сингонияли. Полисинтетик қўшалоқ кристаллар ҳоли-да. Икки ўқли, сўниш бурчаги 8грача. $1089^0\text{C}$ да парчаланади, $960^0\text{C}$ да бошқа формага ўтади
$\beta - 2\text{Na}_2\text{O}\cdot\text{SiO}_2$				Пластишка шаклли кристаллар. Икки ўқли, оптик белгиси (-), сўниш бурчаги $15p$ атрофида. $\rho_{\text{тажр.}}=2,58 \text{ г}/\text{см}^3$
$\text{Na}_2\text{O}\cdot\text{SiO}_2$	1.528 $N_m=1.520$	1.513 $N_{\text{прач}}=1.513$	0.015	Ромбик сингонияли, $a=10.43$ , $b=6.02$ , $c=4.81 \text{ \AA}$ , $Z=4$ . Призма ва пина шаклли кристаллар. $2V$ жуда катта, оптик белгиси (-), тўғри сўниш бурчагига эга, ажралиши-призма бўйича, $\rho_{\text{тажр.}}=2.500$ ва $\rho_{\text{хис.}}=2.685 \text{ г}/\text{см}^3$ . Эриш нуқтаси $1089^0\text{C}$
$\alpha - \text{Na}_2\text{O}\cdot2\text{SiO}_2$	1.508 $N_m=1.505$	1.497 $N_{\text{прач}}=1.497$	0.011	Ромбик сингонияли, $a=6.43$ , $b=15.46$ , $c=4.91 \text{ \AA}$ , $\alpha=\beta=\gamma=90^\circ$ , $Z=4$ . Кристаллари пластинкалар ҳолида. $2V=50-55$ , оптик белгиси (-), узайиш белгиси (+), ажралиши қобилияти (100) ва (010) бўйича. $\rho_{\text{тажр.}}=2.47 \text{ г}/\text{см}^3$ . Эриш нуқтаси $874^0\text{C}$
$\beta - \text{Na}_2\text{O}\cdot2\text{SiO}_2$	1.515 $N_m=1.510$	1.500 $N_{\text{прач}}=1.500$	0.015	Моноклин сингонияли элемстар панжара ўлчамлари, $a=12.26$ , $b=4.80$ , $c=8.07 \text{ \AA}$ , $\beta=104.018^\circ$ , $Z=4$ . Кристаллари ингичка пессодогскагональ пластишка шаклида, $\rho_{\text{тажр.}}=2.56$ ва $\rho_{\text{хис.}}=2.628 \text{ г}/\text{см}^3$ .
$3\text{Na}_2\text{O}\cdot2\text{SiO}_2$	1.529 $N_m=1.526^*$	1.524 $N_{\text{прач}}=1.526^*$	0.005	Ромбик сингонияли. Пластинка-симон кристаллар. Икки ўқли, оптик белгиси (+), $\rho_{\text{тажр.}}=2.96$ ва $\rho_{\text{пшиша}}=2.60 \text{ г}/\text{см}^3$ , ажралиш дарзликлари-яқд. Эриш нуқтаси $1122^0\text{C}$
$\text{Na}_2\text{O}\cdot3\text{SiO}_2$ ( $3\text{Na}_2\text{O}\cdot8\text{SiO}_2$ )	1.502 $N_m=1.499^*$	1.496 $N_{\text{прач}}=1.499^*$	0.006	Моноклин сингонияли, $a=4.90\pm0.02$ , $b=23.4\pm0.1$ , $c=15.4 \text{ \AA}$ , $Z=4$ . Моноклин сингонияга хос кристаллар. Икки ўқли, фазовий групласи $C_2h\cdot P2_1/c$ , $\rho_{\text{тажр.}}=2.47$ ва $\rho_{\text{хис.}}=2.50 \text{ г}/\text{см}^3$ . Инконгруэнт эриши $808\pm2^0\text{C}$

Жадист - $\text{Na}_2\text{O}\cdot\text{Al}_2\text{O}_3\cdot 4\text{SiO}_2$	1.667 1.655 $N_m=1.659$	0.012	Моноклин сингонияли, $a=9.45$ , $b=8.57$ , $c=5.25 \text{ \AA}$ , $\beta=107^0 15.5^1$ , $Z=4$ $\text{NaAlSi}_2\text{O}_6$ . Призматик кристаллар. Икки ўқли, мусбат, $2V=70$ ; $cNg=34.5^0$ . Ажралиши $87^0$ ли бурчак остила. Қаттиқлиги 6-7, $\rho_{\text{тажр}}=3.3-3.5 \text{ г/см}^3$
$3\text{Na}_2\text{O}\cdot 6\text{BeO}\cdot 14\text{SiO}_2$	1.545 1.532 $N_m=1.533$	0.013	Ромбик сингонияли, икки ўқли, мусбат, $2A=60^0$ , $2V=38^0$ , $\rho_{\text{тажр}}=2.55 \text{ г/см}^3$
$\text{Na}_2\text{O}\cdot 2\text{CaO}\cdot \text{Al}_2\text{O}_3\cdot 4\text{SiO}_2$	1.580 1.575	0.005	Тетрагонал сингонияли, $a=8.511$ , $c=4.807 \text{ \AA}$ . Бир ўқли, манфий. $1080^0$ да парчаланади
Лейкофан - $\text{NaF}\cdot\text{BeO}\cdot\text{CaO}\cdot 2\text{SiO}_2$	1.598 1.571 $N_m=1.595$	0.027	Ромбик (песселотетрагонал) сингонияли, $a=7.39$ , $b=7.39$ , $c=9.97 \text{ \AA}$ . Кристаллари базаль табличка күринишида. Икки ўқли, манфий. $2V=39^0$ . Қаттиқлиги 4, $\rho_{\text{тажр}}=2.96 \text{ г/см}^3$
$\text{Na}_2\text{O}\cdot 2\text{CaO}\cdot 2\text{SiO}_2$	$N_{\text{уртас}}=1.665$	0.003	Моноклин сингонияли. Кристаллари тланкасимон ва қўшалоқ ҳолатда. Қийшиқ сўнади, $2V$ катта
$\text{Na}_2\text{O}\cdot 2\text{MgO}\cdot 2\text{SiO}_2$	1.654 1.641 $N_m=1.646$	0.013	Моноклин сингонияли, $cNg=38^0$ , икки ўқли мусбат, $2V$ катта
$\text{Na}_2\text{O}\cdot 2\text{CaO}\cdot \text{SiO}_2$	1.60	-	Куб сингонияли, $a=7.50 \text{ \AA}$ , $\rho_{\text{тажр}}=2.79 \text{ г/см}^3$ . Осон эрийди
$\text{Na}_2\text{O}\cdot 2\text{CaO}\cdot 3\text{SiO}_2$	1.599 1.596 $N_m=1.597^*$	0.003	Паст категорияли сингонияга эга. Кристаллари тўғрибурчакли шаклда. Пластикасимон ва қўшалоқ кристаллар ҳам учрайди. Эриш нуқтаси $1284^0\text{C}$
Девитрит - $\text{Na}_2\text{O}\cdot 3\text{CaO}\cdot 6\text{SiO}_2$	1.579 1.564 $N_m=1.570$	0.015	Ромбик сингонияли. Призматик кристаллар. Икки ўқли, мусбат, $2V=75^0$ , $Ng$ кристалларнинг узунасига параллел. $1045^0\text{C}$ да $\text{CaSiO}_3$ ва суюқликка айланади
$2\text{Na}_2\text{O}\cdot\text{CaO}\cdot 3\text{SiO}_2$	1.571	-	Куб сингонияли. Кристалларнинг шакли-октаэдр. $1141^0\text{C}$ да парчаланади

$4\text{Na}_2\text{O} \cdot 3\text{CaO} \cdot 5\text{SiO}_2$	$N_{\text{уртacha}}=1.620$	0.002	Ромбик сингонияли. Пинакоид ва призматик қирраларга эга түгри бурчакли кристаллар ҳосил қиласи. Икки ўқли, мусбат, $2V$ катта, $1125^{\circ}\text{C}$ да инкоингруэнт эрийди
Акмит, эгирин - $\text{Na}_2\text{O} \cdot \text{Fe}_2\text{O}_3 \cdot 4\text{SiO}_2$	$1.827 \quad 1.771$ $N_m=1.810$	0.056	Моноклин сингонияли, $a:b:c=1.099:1.0601$ , $\beta=106^{\circ}49'$ . Кристаллари узайтирилган призма ҳолиси. Икки ўқли, манфий, $2V=60^{\circ}$ . Ажралиши – $87^{\circ}$ ли бурчак остида. Қаттиқлиги 6-6.5, $\rho_{\text{тажр.}}=3.584 \text{ г/см}^3$ , $cNg=104^0$ . Эриш нуқтаси = $990^{\circ}\text{C}$
$5\text{Na}_2\text{O} \cdot \text{Fe}_2\text{O}_3 \cdot 8\text{SiO}_2$	$1.625 \quad 1.609$	0.016	Гексагонал сингонияли, кристаллари призматик қиёфада. Бир ўқли, мусбат. Эриш нуқтаси $838^{\circ}\text{C}$
$\text{Na}_2\text{O} \cdot 2\text{MgO} \cdot 2\text{SiO}_2$	$1.654 \quad 1.641$ $N_m=1.646$	0.013	Моноклин сингонияли, $cNg=38^0$ , (+), $2V$ катта
$\text{Na}_2\text{O} \cdot 2\text{MgO} \cdot 6\text{SiO}_2$	$1.546 \quad 1.540$ $N_m=1.542$	0.006	Моноклин сингонияли, $cNg=24^0$ , икки ўқли, (+), $2V$ катта.
$\alpha - \text{Na}_2\text{O} \cdot \text{Al}_2\text{O}_3 \cdot 2\text{SiO}_2$	1.510	-	Кубик сингонияли. $1248^{\circ}\text{C}$ дан юқорида барқарор. $687^{\circ}\text{C}$ да Карнсгниитта айланали.
Карнсгниит – $\text{Na}_2\text{O} \cdot \text{Al}_2\text{O}_3 \cdot 2\text{SiO}_2$	$1.514 \quad 1.509$ $N_m=1.514$	0.005	Триклин сингонияли мстастабил фаза. Полисингителик қўшалоқлар ҳосил қиласи, икки ўқли, (-), $2V=12-15^{\circ}$ , $\rho_{\text{тажр.}}=2.51 \text{ г/см}^3$ . Совитиши жараёни ( $227^{\circ}\text{C}$ ли ҳолати)да нефелинга айланади
Нефелин – $\beta - \text{Na}_2\text{O} \cdot \text{Al}_2\text{O}_3 \cdot 2\text{SiO}_2$	1.537 1.533	0.004	Гексагонал сингонияли, $a=9.98$ , $c=8.44 \text{ \AA}$ . Кристаллари базал табличка ва қалға призма ҳолиси. Бир ўқли, манфий. Ажралиши (1010) ва (0001) бўйича, $\rho_{\text{тажр.}}=2.619 \text{ г/см}^3$ . Эриш нуқтаси $1526^{\circ}\text{C}$
Альбит – $\alpha - \text{Na}_2\text{O} \cdot \text{Al}_2\text{O}_3 \cdot 6\text{SiO}_2$	$1.534 \quad 1.527$ $N_m=1.532$	0.007	Триклин сингонияли, $a=8.23$ , $b=13.00$ , $c=7.25 \text{ \AA}$ , $\alpha=94^{\circ}31'$ , $\beta=116^{\circ}20'$ , $\gamma=88^{\circ}9'$ . Кристаллари – таблетка ва призма қўринишида, икки ўқли, (-), $2V=45-55^{\circ}$ . Ажралиши (001) ва (010) бўйича. Сўниш бурчаги $9-12^{\circ}$ дан $26-37^{\circ}$ гача. Қаттиқлиги 6-6.5, $\rho_{\text{тажр.}}=2.61-2.62 \text{ г/см}^3$

$\beta\text{-Na}_2\text{O}\cdot\text{Al}_2\text{O}_3\cdot 6\text{SiO}_2$	1.539 $N_m=1.533$	1.528 $N_m=1.533$	0.011	Икки ўқли, мусбат, $2V=75-83^{\circ}$ . Сўниш бурчаги $7-20^{\circ}$ . $\rho_{\text{шина}}=2.382 \text{ г}/\text{см}^3$
$\text{Na}_2\text{O}\cdot\text{B}_2\text{O}_3\cdot 2\text{SiO}_2$	1.572	-	-	Кубик сингонияли. Эриш нуқтаси $760^{\circ}\text{C}$ . Изотрон хусусиятта эга
$\text{Na}_2\text{O}\cdot\text{Ga}_2\text{O}_3\cdot 6\text{SiO}_2$	1.558 $N_m=1.555^*$	1.552 $N_m=1.555^*$	0.006	Триоклин сингонияли. Эриш нуқтаси $1015^{\circ}\text{C}$ . $N_{\text{шина}}=1.519$
Лорсенднит- $\text{Na}_2\text{O}\cdot 2\text{TiO}_2\cdot 2\text{SiO}_2$	2.02 $N_m=2.01$	1.91	0.11	Ромбик сингонияли. $a=8.66$ , $b=14.42$ , $c=5.18 \text{ \AA}$ . Нинасимон кристаллар. Икки ўқли, манфий, $2V=38-40^{\circ}$ , $N_p=b$ , $N_m=a$ . Қаттиқилиги 6, $\rho_{\text{тажр.}}=3.43 \text{ г}/\text{см}^3$
$\text{Na}_2\text{O}\cdot\text{ZrO}_2\cdot 2\text{SiO}_2$	1.710 $N_m=1.690^*$	1.688 $N_m=1.690^*$	0.022	Моноклин сингонияли. Узун-узун нинасимон кристаллар. Сўниши паст бурчак остида.
$2\text{Na}_2\text{O}\cdot 2\text{ZrO}_2\cdot 3\text{SiO}_2$	1.715	1.692	0.023	Гексагонал сингонияли. Ромбоэдрик обликга эга, $\rho_{\text{тажр.}}=2.88 \text{ г}/\text{см}^3$ . Эриш нуқтаси $1540^{\circ}\text{C}$ .
Фтор-эдинит- $\text{Na}_2\text{O}\cdot 10\text{MgO}\cdot 4\text{CaO}\cdot\text{Al}_2\text{O}_3\cdot 13\text{SiO}_2\cdot\text{SiF}_4$	1.624 $N_m=1.617$	1.605 $N_m=1.617$	0.019	Моноклин сингонияли, $a=9.85$ , $b=18.00$ , $c=5.28 \text{ \AA}$ , $\beta=104^{\circ}50'$ . Кристаллар пинасимон ва призма кўрининшида. (-) $2V=69^{\circ}$ , $\rho_{\text{тажр.}}=3.077 \text{ г}/\text{см}^3$
Фтор-бор-эдинит - $\text{Na}_2\text{O}\cdot 10\text{MgO}\cdot 4\text{CaO}\cdot\text{B}_2\text{O}_3\cdot 13\text{SiO}_2\cdot\text{SiF}_4$	1.605 $N_m=1.598$	1.588 $N_m=1.598$	0.017	Моноклин сингонияли. $a=9.81$ , $b=17.96$ , $c=5.27 \text{ \AA}$ , $\beta=104^{\circ}27'$ . Кристаллари нина қиёфасида. (-) $2V=75^{\circ}$ , $N_m=b$ , $cNg=12^{\circ}$ , $\rho_{\text{тажр.}}=3.042 \text{ г}/\text{см}^3$
$\text{K}_2\text{O}\cdot\text{SiO}_2$	1.528 $N_m=1.521$	1.520 $N_m=1.521$	0.008	Ромбик сингонияли. Донасимон кристаллар. Икки ўқли. Оптик белгиси (+), $2V=35^{\circ}$ , $\rho_{\text{тажр.}}=2.538$ , $\rho_{\text{шина}}=2.474 \text{ г}/\text{см}^3$ . Эриш нуқтаси $976^{\circ}\text{C}$
$\text{K}_2\text{O}\cdot 2\text{SiO}_2$	1.513 $N_m=1.509$	1.503 $N_m=1.509$	0.010	Ромбик сингонияли, олти томонли пластиника, полисингистик қўшалоқлар. Оптик белгиси (-), $2V_p$ катта. Эриш нуқтаси $1045^{\circ}\text{C}$
$\text{K}_2\text{O}\cdot 4\text{SiO}_2$	1.482 $N_m=1.479$	1.477 $N_m=1.479$	0.005	Моноклин сингонияли. Жадваллар ва қўшалоқлар. Оптик белгиси (+), $2V_p$ катта, кия сўниш, $\rho_{\text{тажр.}}=2.335$ ва $\rho_{\text{шина}}=2.384 \text{ г}/\text{см}^3$ . Эриш нуқтаси $770^{\circ}\text{C}$ . $N_{\text{шина}}=1.495$ .

$K_2O \cdot Al_2O_3 \cdot 2SiO_2$	1.537 $N_m=1.536$	0.009	Ромбик сингонияли, $a=9.01$ , $b=15.67$ , $c=8.57 \text{ \AA}$ . (-), $2V=40^\circ$ . Кристаллари псевдогексагонал құндақ қолида. Ажралиши (001) ва (100) орқали. $N_p=a$ , $N_m=b$ , $\rho_{тажр}=2.60 \text{ г/см}^3$ . Эриш нүктаси $1800^\circ C$ . $1540^\circ C$ да бишкә формага ўтады
Калиофилит – $K_2O \cdot Al_2O_3 \cdot 2SiO_2$	1.537 1.533	0.004	Метастабил гексагональ форма, $a=27.0$ , $c=8.51 \text{ \AA}$ . Кристаллари призмалар қолида. Бир ўқли, манфий. Қаттиқлиги 6, $\rho_{тажр}=2.61 \text{ г/см}^3$
Кальцилит – $K_2O \cdot Al_2O_3 \cdot 2SiO_2$	1.542 1.537	0.005	Гексагональ сингонияли, $a=5.17$ , $c=8.67 \text{ \AA}$ . Бир ўқли, манфий. $\rho_{тажр}=2.59 \text{ г/см}^3$
Лейцит – $\alpha-K_2O \cdot Al_2O_3 \cdot 4SiO_2$	1.495	-	Куб сингонияли, $a=13.40 \text{ \AA}$ . Қаттиқлиги 5.5-6, $\rho_{тажр}=2.47 \text{ г/см}^3$ . Эриш нүктаси $1686^\circ C$
$\beta-K_2O \cdot Al_2O_3 \cdot 4SiO_2$	1.509 1.508	0.001	Тетрагонал сингонияли, $a=12.92$ , $c=13.70 \text{ \AA}$ . Кристаллари құшалқ бұлғани сабабли псевдокуб қиёфасида
Fe-лейцит – $K_2O \cdot Fe_2O_3 \cdot 4SiO_2$	1.619	-	Куб сингонияли, $\rho_{тажр}=2.59 \text{ г/см}^3$ .
К-акмит – $K_2O \cdot Fe_2O_3 \cdot 4SiO_2$	$N_{90\text{тата}}=1.800$	0.030	Моноклин сингонияли. Кристаллар призма күрнишида. Иккى ўқли, манфий
Санидин – $K_2O \cdot Al_2O_3 \cdot 6SiO_2$	1.525 1.520 $N_m=1.525$	0.005	Моноклин сингонияли юқори температурали форма (Ортоклаз), $a=8.4$ , $b=12.9$ , $c=7.1 \text{ \AA}$ , $\beta=115^\circ 35'$ , $Z=4$ $KAIS_3O_8$ . Кристаллари табличкасімой. Ажралиши (001) ва (010) бүйіча. Иккى ўқли, манфий, $2V$ жуда кичик. Қаттиқлиги 6, $\rho_{тажр}=2.57 \text{ г/см}^3$
Адуляр – $K_2O \cdot Al_2O_3 \cdot 6SiO_2$	1.524 1.519 $N_m=1.523$	0.005	Моноклин сингонияли паст температурали форма (Ортоклаз), $a=8.45$ , $b=12.9$ , $c=7.15 \text{ \AA}$ , $\beta=116^\circ 31'$ . Иккى ўқли, мусбат, $2V=50-70^\circ$ . Қаттиқлиги 6, $\rho_{тажр}=2.57 \text{ г/см}^3$

Микроклин — $K_2O \cdot Al_2O_3 \cdot 6SiO_2$	1.525 $N_m=1.522$	1.518 0.007	Триклин сингонияли ўта паст температурали форма, $a=8.44$ , $b=13.00$ , $c=7.21 \text{ \AA}$ , $\alpha=90^\circ$ , $\beta=115^\circ$ , $\gamma=89^\circ 55'$ , $Z=4$ $KAIS_3O_8$ . Икки ўқли, манфий, $2V=83^\circ$ . Қаттиқлиги 6, $\rho_{\text{тәжр.}}=2.55 \text{ г/см}^3$ . $1170^\circ C$ да лейцит ҳосил қилиш билан парчаланади. Бутунлайин $1530^\circ C$ да эрийди
$K_2O \cdot Fe_2O_3 \cdot 6SiO_2$	1.609 $N_m=1.605^*$	1.601 0.008	Моноклин сингонияли. Кристаллари құшалоқ ҳолда учрайди. Сүниш бурчаги (010)га нисбатан $7-8^\circ$ , $N_m=b$ , $\rho_{\text{тәжр.}}=2.712 \text{ г/см}^3$
$K_2O \cdot Al_2O_3 \cdot SiO_2$	1.540	-	Кубик сингонияли. Кристаллари октаэдрил формага этә
Гисератит — $2KF \cdot SiF_4$	1.339	-	Кубик сингонияли. $a=8.18 \text{ \AA}$ , $Z=4$ . Кристаллари октаэдрик шакли, $\rho_{\text{тәжр.}}=2.665 \text{ г/см}^3$
$K_2O \cdot CaO \cdot SiO_2$	1.605 1.600	1.600 0.005	Гексагонал сингонияли. Кристаллари гексагонал бипирамида шаклида. Бир ўқли, мусбат. Эриш нүктаси $1630^\circ C$
$4K_2O \cdot CaO \cdot 10SiO_2$	1.548 1.537	0.011	Гексагонал сингонияли. Кристаллари пластинка күринишида. Бир ўқли, манфий
$\beta-K_2O \cdot 3CaO \cdot 6SiO_2$	1.570 $N_m=1.565^*$	1.560 0.010	Ромбик сингонияли. Кристаллари призма ва пластинка шаклида. Икки ўқли, манфий, $960^\circ C$ да $K_2Ca_2Si_6O_{15}$ ва шишага ажрапади
$K_2O \cdot 2CaO \cdot 6SiO_2$	1.590 $N_m=1.580^*$	1.575 0.015	Кристаллари қалин призма ҳолатида. Икки ўқли, мусбат, $2V$ катта $1115^\circ$ да $CaSiO_3$ ва шишага ажрапади
$2K_2O \cdot CaO \cdot 6SiO_2$	1.543 $N_m=1.541$	1.535 0.008	Кристаллари паст категорияли сингонияга этә, призма ва пластинка габитусли, (-), $2V=60^\circ 5'$ . Эриш нүктаси $959^\circ C$
$2K_2O \cdot CaO \cdot 9SiO_2$	1.535 $N_m=1.526$	1.515 0.020	Паст категорияли сингонияга этә. Габитуси — призма ҳолатида. (-), $2V$ катта

$\alpha\text{-K}_2\text{O}\cdot3\text{CaO}\cdot6\text{SiO}_2$	1.590 1.575 $N_m=1.582$	0.015	Ромбик сингонияли. Кристаллари призма ҳолатида. Сўниши-тўгри, (+), 2V катта. 1115°C да парчаланади
$2\text{K}_2\text{O}\cdot\text{CaO}\cdot3\text{SiO}_2$	1.572	-	Кубик сингонияли. Кристаллари октаэдр шаклида. 1005° да парчаланади
$\text{K}_2\text{O}\cdot23\text{CaO}\cdot12\text{SiO}_2$	1.703 1.695	0.008	Гексагонал сингонияли. Кристаллари кўшалоқлар ҳолатида. Бир ўқли, мусбат
$\text{K}_2\text{O}\cdot\text{MgO}\cdot3\text{SiO}_2$	1.530 1.524	0.006	Гексагонал сингонияли, бир ўқ-ли. манфий. Эриш нуқтаси 1134°C
$\alpha\text{-K}_2\text{O}\cdot\text{MgO}\cdot5\text{SiO}_2$	1.501.	-	Куб сингонияли, $a=13.39 \text{ \AA}$ . Кристалларининг шакли – куб, октаэдр ва бошқа. Эриш нуқтаси 1089°C
$\beta\text{-K}_2\text{O}\cdot\text{MgO}\cdot5\text{SiO}_2$	$N_{уртаса}=1.505$	0.002	Кристаллари тола кўринишда. $\rho_{тажр}=2.395$ ва $\rho_{ниша}=2.38 \text{ г}/\text{см}^3$ $N_{ниша}=1.498$
$\text{K}_2\text{O}\cdot5\text{MgO}\cdot12\text{SiO}_2$	1.550 1.543	0.007	Гексагонал сингонияли Кристаллари олтиқиррали табличка ҳолатида. Ахралиш кўринмайди. Бир ўқли, мусбат, $\rho_{тажр}=2.58 \text{ г}/\text{см}^3$ , Эриш нуқтаси 1174°C
$\text{K}_2\text{O}\cdot\text{PbO}\cdot4\text{SiO}_2$	1.650 1.590 $N_m=1.612$	0.060	Кристаллари тўғри бурчакли пластиналар ҳолатида. Сўниши-тўгри. Икки ўқли, мусбат, $2V=75^\circ$ . $N_{ниша}=1.606$ ва юмшаши 463°C
$\text{K}_2\text{O}\cdot2\text{PbO}\cdot2\text{SiO}_2$	1.93 1.72	0.21	Гексагонал сингонияли. Габитуси-гексагонал пластиналар. Бир ўқли, манфий. Эриш нуқтаси 918°C. $N_{ниша}=1.775$ , юмшаши – 395°C
$\text{K}_2\text{O}\cdot4\text{PbO}\cdot8\text{SiO}_2$	1.790 1.690 0.01 0.01	0.10	Кристаллари-тола ва пластишка шаклида. Сўнили-тўгри
$\text{K}_2\text{O}\cdot\text{ZnO}\cdot\text{SiO}_2$	1.622	-	Кубик сингонияли. Кристаллар шакли – куб ва бошқалар
$\text{K}_2\text{O}\cdot\text{Ga}_2\text{O}_3\cdot6\text{SiO}_2$	1.539 1.533 $N_m=1.535^\circ$	0.006	Моноклин сингонияли. Кристалларининг эриш нуқтаси 1000-1020°C. $N_{ниша}=1.513$
$\text{K}_2\text{O}\cdot\text{La}_2\text{O}_3\cdot2\text{SiO}_2$	1.867 1.840	0.027	Гексагонал сингонияли, $a=11.1$ , $c=9.05 \text{ \AA}$ . Бир ўқли, манфий

$2\text{K}_2\text{O} \cdot 3\text{BeO} \cdot 4\text{SiO}_2$	1.523	-	Куб сингонияли, $\rho_{\text{тажр.}} = 2.53 \text{ г/см}^3$
$\text{Rb}_2\text{O} \cdot 2\text{SiO}_2$	1.513 $N_m = 1.510^*$	1.507 0.006	Нина ва призма кристаллар. Икки ўқли, оптик белгиси (+), $\rho_{\text{тажр.}} = 3.254 \text{ г/см}^3$ . Эриш нуқтаси $1090^\circ\text{C}$
$\text{Rb}_2\text{O} \cdot 4\text{SiO}_2$	1.539	1.532 0.007	Гексагонал пластинкалар. Икки ўқли, оптик белгиси (-), $\rho_{\text{тажр.}} = 3.022 \text{ г/см}^3$ . Эриш нуқтаси $900^\circ\text{C}$
Рубидийский лейцит – $\text{Rb}_2\text{O} \cdot \text{Al}_2\text{O}_3 \cdot 4\text{SiO}_2$	$N_{\text{уртава}} = 1.526$	Куч-сиз	Тетрагонал сингонияли, $a = 13.37$ , $c = 13.73 \text{ } \overset{\circ}{A}$
$\text{Rb}_2\text{O} \cdot \text{Al}_2\text{O}_3 \cdot 2\text{SiO}_2$	1.530	1.526 0.004	Гексагонал сингонияли, бир ўқ-ли, манфий
Рубидийский полевой шпат – $\text{Rb}_2\text{O} \cdot \text{Al}_2\text{O}_3 \cdot 6\text{SiO}_2$	1.529 $N_m = 1.526^*$	1.524 0.005	Паст категорияли сингонияга эга. Икки ўқли, манфий.
$\alpha\text{-} \text{Rb}_2\text{O} \cdot \text{Al}_2\text{O}_3 \cdot 4\text{SiO}_2 \cdot \text{H}_2\text{O}$	$N_{\text{уртава}} = 1.521$	Куч-сиз	Тетрагонал сингонияли, $a = 13.64$ , $c = 13.33 \text{ } \overset{\circ}{A}$ .
$\beta\text{-} \text{Rb}_2\text{O} \cdot \text{Al}_2\text{O}_3 \cdot 4\text{SiO}_2 \cdot \text{H}_2\text{O}$	$N_{\text{уртава}} = 1.481$	Куч-сиз	Тетрагонал сингонияли, $a = 13.20$ , $c = 13.60 \text{ } \overset{\circ}{A}$ .
$\text{Cs}_2\text{O} \cdot 2\text{SiO}_2$	1.563 $N_m = 1.562^*$	1.560 0.003	Донасимон кристаллар. Икки ўқли, оптик белгиси (-), $\rho_{\text{тажр.}} = 3.852 \text{ г/см}^3$ , кучли гигроскопик хусусият.
$\text{Cs}_2\text{O} \cdot 4\text{SiO}_2$	1.579	1.573 0.006	Гексагонал пластинкалар. Оптик белгиси (-), сўниши - тўғри, $\rho_{\text{тажр.}} = 3.452 \text{ г/см}^3$ , кучли гигроскопик хусусият.
$\text{Cs}_2\text{O} \cdot \text{Al}_2\text{O}_3 \cdot 2\text{SiO}_2$	1.574	-	Кубик сингонияли
$\text{Cs}_2\text{O} \cdot \text{Al}_2\text{O}_3 \cdot 4\text{SiO}_2$	1.523	-	Кубик сингонияли, $a = 13.66 \text{ } \overset{\circ}{A}$ .
Бромеллит – $\text{BeO}$	1.733	1.719 0.014	Гексагонал сингонияли. Призмалар. Оптик белгиси (+), $2V = 0^\circ$ , ажралиш дарзликлари-базис бўйича, $\rho_{\text{тажр.}} = 3.00 \text{ г/см}^3$ . Эриш нуқтаси $2500^\circ\text{C}$

Фенакит - $2\text{BeO}\cdot\text{SiO}_2$	1.668 1.654	0.014	Тригонал сингонияли. Ромбоэдрлар, призмалар, (1010) бўйича қўшалоқлар. Оптик белгиси (+), $2V=0^\circ$ , ажралиш қобилиялтлари (1120) бўйича, $\rho_{\text{тажр}}=3,00 \text{ г}/\text{см}^3$ . Иконогруэнт парчаланиши 1560°C ( $2\text{BeO}+\text{SiO}_2$ )
Берил - $2\text{BeO}\cdot\text{Al}_2\text{O}_3\cdot6\text{SiO}_2$	1.568 1.602 1.564 1.594	0.004- 0.008-	Гексагонал сингонияли, $a=9.21$ ва $c=9.17 \text{ \AA}$ . Габитуси-призма ҳолида. Бир ўкли, манфий, $2E = 10^\circ$ -тacha боради. Қаттиқлиги 7.5-8.0, $\rho_{\text{тажр}}=2.66-2.85 \text{ г}/\text{см}^3$ . Эриш нуқтаси 1420°C
Форстерит - $2\text{MgO}\cdot\text{SiO}_2$	1.668 $N_m=1.652^*$ 1.636	0.032	Ромбик сингонияли. Призмалар. Оптик белгиси (+), оптик ориентировкаси $Z=c$ , $2V = 85^\circ$ <sup>61</sup> , ажралиши (001) ва (010).. бўйича, $\rho_{\text{тажр}}=3,216 \text{ г}/\text{см}^3$ . Эриш нуқтаси 1890°C
Энстатит - $\text{MgO}\cdot\text{SiO}_2$	1.658 $N_m=1.652$ 1.650	0.008	Ромбик сингонияли, фазовий группаси Рвса, $a=18.230$ , $b=8.814$ ва $c=5.178 \text{ \AA}$ , волокноли агрегатлар. Оптик белгиси (+), оптик ориентировкаси $Z=c$ , $2V=60^\circ$ , ажралиши 90°ли (110) юзаси бўйича, $\rho_{\text{тажр}}=3,175$ ва $\rho_{\text{шиша}} = 2.758 \text{ г}/\text{см}^3$ . Иконогруэнт эриши 1557°C ( $2\text{MgO}\cdot\text{SiO}_2$ +сулоқлик)
Клиноэнстатит- $\text{MgO}\cdot\text{SiO}_2$	1.660 $N_m=1.654$ 1.651	0.009	Моноклин сингонияли, фазовий группаси Р2 <sub>1</sub> /c, $a=9.618$ , $b=8.828$ ва $c=5.186 \text{ \AA}$ , $\beta=108^\circ$ <sup>30</sup> <sup>1</sup> . Кристалл агрегатлар, (010) бўйича полисинтетик қўшалоқлар. Оптик белгиси (+), оптик ориентировкаси $Z=c=22^\circ$ , $2V = 53^\circ$ <sup>30</sup> <sup>1</sup> , ажралиши 88°ли (110) бўйича, $\rho_{\text{тажр}}=3,19 \text{ г}/\text{см}^3$
Протоэнстатит- $\text{MgO}\cdot\text{SiO}_2$	Энстатитдан o0.002 га фарқ қиласди	Куч- сиз	Ромбик сингонияли, фазовий группаси Рвсп, $a=9.25$ , $b=8.74$ , $c=5.32 \text{ \AA}$ . Брусл шакли кристаллар. Оптик белгиси (+), оптик ориентировкаси $Z=c$ , $2V=70^\circ$ , сўниши тўғри.

Клинохлор - 5MgO·Al <sub>2</sub> O <sub>3</sub> · 3SiO <sub>2</sub> ·4H <sub>2</sub> O	1.579 N <sub>m</sub> =1.575	1.572 0.007	Моноклин сингонияли, a=5.3, b=9.3, c=28.6 Å, β=96°50'. Кри- стали пластинка күри-нишида. Икки ўқли, мусбат, 2V=0-40°, N <sub>m</sub> =b, N <sub>p</sub> ⊥ (010). Қаттиқлиги 2- 2.5, ρ <sub>тажр.</sub> =2,7 г/см <sup>3</sup>
α-2MgO·2Al <sub>2</sub> O <sub>3</sub> · 5SiO <sub>2</sub> - I	1.528	1.524 0.004	Үрга категорияли сингонияга эга, a=9.782 Å, c=9.365 Å. Бир ўқли, манфий
β-2MgO·2Al <sub>2</sub> O <sub>3</sub> · 5SiO <sub>2</sub> - II	1.541	1.537 0.004	Гексагонал сингонияли, a=9.792, c=9.349 Å. Бир ўқли, манфий.
α-Кордисріт - 2MgO·2Al <sub>2</sub> O <sub>3</sub> · 5SiO <sub>2</sub> - III	1.550 N <sub>m</sub> =1.545	1.540 0.010	Ромбик сингонияли, a=9.7, b=17.1, c=9.3 Å. Призма күринишидаги кристаллар. (-), 2V=70-100°
β-Кордисріт - 2MgO·2Al <sub>2</sub> O <sub>3</sub> · 5SiO <sub>2</sub> - IV	1.53- 1.57 N <sub>m</sub> =1.525- 1.526	1.52- 1.55 0.010 0.020	Ромбик сингонияли. Құшалоқ кристаллар. (-) 2V=40-105°. Қаттиқлиги 7-7.5, ρ <sub>тажр.</sub> =2,57-2,66 г/см <sup>3</sup>
Пироп - 3MgO·Al <sub>2</sub> O <sub>3</sub> · 3SiO <sub>2</sub>		1.705 -	Кубик сингонияли, a=11.44 Å. Қаттиқлиги 7-7.5, ρ <sub>тажр.</sub> =3.51 г/см <sup>3</sup>
Сапфирин - 4MgO·5Al <sub>2</sub> O <sub>3</sub> · 2SiO <sub>2</sub>	1.711 N <sub>m</sub> =1.709	1.705 0.006	Моноклин сингонияли, a=9.70, b=14.55, c=10.05 Å, β=111°27'. (-) 2V=68°49'. Қаттиқлиги 7.5, ρ <sub>тажр.</sub> =3.4-3.6 г/см <sup>3</sup>
Хризолит - MgO·FeO·SiO <sub>2</sub>	1.792 N <sub>m</sub> =1.778	1.748 0.044	Паст категорияли сингонияга эга. Икки ўқли, манфий, 2V=69°
Fe- Клиноистратит- MgO·FeO·2SiO <sub>2</sub>	1.70 1.754 N <sub>m</sub> =1.69-1.71	1.69 1.71 0.01 0.04	Моноклин сингонияли. Таркибига Ca ҳам киради. (+), 2V=0-30°
Хризотил - 3MgO·2SiO <sub>2</sub> · 2H <sub>2</sub> O	1.555 N <sub>m</sub> =1.543	1.542 0.013	Моноклин сингонияли, a=14.66, b=9.24, c=5.33, β=93°16', Z=1 Mg <sub>6</sub> (OH) <sub>8</sub> Si <sub>4</sub> O <sub>10</sub> . Кристаллари призма ва волокно ҳолатида. Икки уюқли, мусбат, 2V=30-35°, N <sub>m</sub> =b, cN <sub>p</sub> =0°. Қаттиқлиги 2-2.5, ρ <sub>тажр.</sub> =2,43 г/см <sup>3</sup>

Сепиолит - $3\text{MgO}\cdot 4\text{SiO}_2\cdot \text{nH}_2\text{O}$	1.529 $N_m=1.529$	0.009	Моноклин сингонияли, $a=23.2$ , $b=15.7$ , $c=5.32 \text{ \AA}$ , $\beta=90-93^\circ$ . Кристаллари волокно шаклида. Икки ўқли, манфий, $2V=0^\circ$ , Қаттиқлиги 2-2.5, $\rho_{тажр.}=2 \text{ г}/\text{см}^3$
Серпентин, антигорит - $3\text{MgO}\cdot 2\text{SiO}_2\cdot 2\text{H}_2\text{O}$	1.565 $N_m=1.565$	0.007	Моноклин сингонияли, $a=5.3$ , $b=9.25$ , $c=13.52 \text{ \AA}$ , $\beta=91^\circ 41'$ , $Z=2$ . Кристаллари пластинка ҳолида, ажралиши (001) бўйича. Икки ўқли, манфий, $2V$ ўртacha. Қаттиқлиги 2-2.5, $\rho_{тажр.}=2.62 \text{ г}/\text{см}^3$
Вермикулит - $(\text{Mg}, \text{Fe})_3 [\text{Al}, \text{Si}]_4\text{O}_{10}]\cdot (\text{OH})_2\cdot 2\text{H}_2\text{O}$	1.545 $N_m=1.545$	0.020	Моноклин сингонияли, $a=5.33$ , $b=9.18$ , $c=28.85 \text{ \AA}$ , $\beta=93^\circ 15'$ . Кристаллари пластинкалар ҳолатида, (-), $2V=0-8^\circ$
Тальк - $3\text{MgO}\cdot 4\text{SiO}_2\cdot \text{H}_2\text{O}$	1.575 $N_m=1.575$	0.035	Моноклин сингонияли, $a=5.27$ , $b=9.13$ , $c=18.88 \text{ \AA}$ , $\beta=100^\circ 15'$ , $Z=4$ . (-), $2V=0-30^\circ$ . Қаттиқлиги 1, $\rho_{тажр.}=2.82 \text{ г}/\text{см}^3$
Алит - $3\text{CaO}\cdot \text{SiO}_2$	1.723 $N_{\text{уртacha}}=1.707$	0.006	Гексагонал сингонияли. Олтибурчакли пластинкалар ва донсимон доналар. Оптик белгиси (-), $2V=0$ , ажралиши аниқ эмас, $\rho_{тажр.}=3.20 \text{ г}/\text{см}^3$
$\alpha\text{-}2\text{CaO}\cdot \text{SiO}_2$	$N_{\text{уртacha}}=1.707$	Куч-сиз	Гексагонал сингонияли, $a=5.45$ ва $c=7.03 \text{ \AA}$ . Олтибурчакли ва тўғри бўлмаган донсимон кристаллар. $1500^\circ$ ли ҳароратда $\rho_{тажр.}=3.07 \text{ г}/\text{см}^3$ . Конгрэнт эриш нуктаси $2130^\circ\text{C}$
Бредигит - $\alpha'\text{-}2\text{CaO}\cdot \text{SiO}_2$	1.725 $N_m=1.716$	0.013	Ромбик сингонияли, $a=6.76$ , $b=5.45$ , $c=9.28 \text{ \AA}$ , (+), $2V=30^\circ$ . $700^\circ$ ли ҳароратда $\rho_{тажр.}=3.31 \text{ г}/\text{см}^3$
Шенонит - $\gamma\text{-}2\text{CaO}\cdot \text{SiO}_2$	1.654 $N_m=1.645$	0.012	Ромбик сингонияли. $a=6.78$ , $b=5.06$ , $c=11.28 \text{ \AA}$ . Призмалар. Оптик белгиси (+), $2V=60^\circ$ , ажралиши (010) бўйича, $20^\circ$ ли ҳароратда $\rho_{тажр.}=2.97 \text{ г}/\text{см}^3$

Белит (феллит, ларнит) - $\beta\text{-CaO}\cdot\text{SiO}_2$	1.730 $N_m=1.715$	1.707 0.023	Моноклин сингонияли, $a=5.49$ , $b=6.77$ , $c=9.29 \text{ \AA}$ , $\beta=94^{\circ}50'$ , полисинтетик күшалоқлар, (+), $2V=$ катта, ажралиши (010) ва (100) бўйича
Ранкинит - $3\text{CaO}\cdot2\text{SiO}_2$	1.650	1.641 0.009	Моноклин сингонияли. Призмалар. Оптик белгиси (+), $2V^0$ катта
Псевдоволластонит - $\alpha\text{-CaO}\cdot\text{SiO}_2$	1.654 $N_m=1.611$	1.610 0.044	Триклин сингонияли, $a=6.90$ , $b=11.58$ , $c=19.65 \text{ \AA}$ , $\alpha=90^{\circ}$ , $\beta=90^{\circ}48'$ , $\gamma=90^{\circ}$ , $Z=8$ . Донсимон доналар ва узайтирилган призмалар, баъзида (001) бўйича күшалоқлар. Оптик белгиси (+), $2V=0-8^{\circ}$ , ажралиши (001) бўйича, $\rho_{тажр.}=2.905 \text{ г}/\text{cm}^3$ , конгрюэнт эриш нуқтаси $1544^{\circ}\text{C}$
Волластонит - $\beta\text{- CaO}\cdot\text{SiO}_2$	1.631 $N_m=1.628$	1.616 0.015	Триклин сингонияли, $a=7.88$ , $b=7.27$ , $c=7.03 \text{ \AA}$ , $\alpha=90^{\circ}$ , $\beta=95^{\circ}16'$ , $\gamma=103^{\circ}22'$ . Доскасимон индивидлар. Оптик белгиси (-), $2V=39^{\circ}$ , ажралиши (100) ва (001) бўйича, $\rho_{тажр.}=2.915 \text{ г}/\text{cm}^3$
Параволлас-тонит - $\gamma\text{- CaO}\cdot\text{SiO}_2$	1.631 $N_m=1.629$	1.614 0.017	Моноклин сингонияли, $a=15.33$ , $b=7.28$ , $c=7.07 \text{ \AA}$ , $\beta=95^{\circ}25'$ . Қаттиқлиги 4.5-5, $\rho_{тажр.}=2.915 \text{ г}/\text{cm}^3$
Окерманит - $2\text{CaO}\cdot\text{MgO}\cdot2\text{SiO}_2$	1.639	1.632 0.007	Тетрагонал сингонияли, $a=7.840$ , $c=5.015 \text{ \AA}$ . Кристаллар калта призма кўринишида. Бир ўқли, мусбат. Қаттиқлиги 5-6, $\rho_{тажр.}=2.95 \text{ г}/\text{cm}^3$ . Эриш нуқтаси $1458^{\circ}\text{C}$
Геленит - $2\text{CaO}\cdot\text{Al}_2\text{O}_3\cdot\text{SiO}_2$	1.669	1.658 0.011	Тетрагонал сингонияли, $a=7.69$ , $c=5.10 \text{ \AA}$ . Кристаллар қисқа призма кўринишида. Бир ўқли, манфий. Қаттиқлиги 5-6, $\rho_{тажр.}=3.04 \text{ г}/\text{cm}^3$ . Эриш нуқтаси $1590^{\circ}\text{C}$
Ферроокерманит - $2\text{CaO}\cdot\text{FeO}\cdot2\text{SiO}_2$	1.690	1.673 0.017	Тетрагонал сингонияли. Бир ўқли, манфий. Ажралиши (001) бўйича, $\rho_{тажр.}=3.23 \text{ г}/\text{cm}^3$

Ферритоленит - $2\text{CaO}\cdot(\text{Fe},\text{Ac})_2$ $\text{O}_3\cdot\text{SiO}_2$	1.666 1.661	0.005	Тетрагонал сингонияли. $a=7.54$ , $c=4.855 \text{\AA}$ . Бир ўқли, манфий. Эриш нуқтаси $1285^\circ\text{C}$
Гардистонит - $2\text{CaO}\cdot\text{ZnO}\cdot$ $2\text{SiO}_2$	1.671 1.662	0.009	Тетрагонал сингонияли. $a=7.83$ , $c=4.99 \text{\AA}$ . Қаттиқлиги 3-4, $\rho_{\text{тажр.}}=3.40$ г/см <sup>3</sup> . Бир ўқли, манфий
$\text{CaO}\cdot\text{Al}_2\text{O}_3\cdot$ $2\text{SiO}_2$ - I	1.590 1.585	0.005	Гексагонал сингонияли, метастабил форма, $a=5.11$ , $c=14.74 \text{\AA}$ , $Z=1$ . Кристаллари пластинка күренишида. Бир ўқли, мусбат, қаттиқлиги 5-6, $\rho_{\text{тажр.}}=2.74$ г/см <sup>3</sup>
$\text{CaO}\cdot\text{Al}_2\text{O}_3\cdot$ $2\text{SiO}_2$ - II	1.584 1.553 $N_m=1.580$	0.031	Ромбик сингонияли, метастабил форма, $a=8.224$ , $b=8.606$ , $c=4.836 \text{\AA}$ , $Z=2$ . Икки ўқли, манфий, $2V=39^\circ$ . Қаттиқлиги 6, $\rho_{\text{тажр.}}=2.70$ г/см <sup>3</sup>
Анортит - $\text{CaO}\cdot\text{Al}_2\text{O}_3\cdot$ $2\text{SiO}_2$	1.589 1.576 $N_m=1.583$	0.013	Триклин сингонияли, $a=8.21$ , $b=12.95$ , $c=14.16 \text{\AA}$ , $\alpha=93^\circ 13'$ , $\beta=115^\circ 56'$ , $\gamma=91^\circ 12'$ . Табличкасimon кристаллар. Икки ўқли, манфий, $2V=77^\circ$ . Қаттиқлиги 6, $\rho_{\text{тажр.}}=2.765$ г/см <sup>3</sup> . Эриш нуқтаси $1550^\circ\text{C}$
$\text{CaO}\cdot\text{CuO}\cdot4\text{SiO}_2$	1.635 1.605	0.030	Тетрагонал сингонияли, Бир ўқли, манфий, $\rho_{\text{тажр.}}=3.04$ г/см <sup>3</sup>
Диопсид - $\text{CaO}\cdot\text{MgO}\cdot2\text{SiO}_2$	1.695 1.666 $N_m=1.672$	0.029	Моноклин сингонияли, $a=9.750$ , $b=8.926$ , $c=5.252 \text{\AA}$ , $\beta=105^\circ 55'$ , $Z=4$ . Кристаллар призма ҳолида. Икки ўқли, (+), $2V=58^\circ$ . Қаттиқлиги 5-6, $\rho_{\text{тажр.}}=3.275$ г/см <sup>3</sup> . Эриш нуқтаси $1391^\circ\text{C}$
Геденбергит - $\text{CaO}\cdot\text{FeO}\cdot2\text{SiO}_2$	1.755 1.726 $N_m=1.732$	0.029	Моноклин сингонияли, $a=9.873$ , $b=9.049$ , $c=5.264 \text{\AA}$ , $\beta=104^\circ 14'$ , $\rho_{\text{тажр.}}=3.538$ г/см <sup>3</sup>
Иоганиссенит - $\text{CaO}\cdot\text{MnO}\cdot2\text{SiO}_2$	1.738 1.710 $N_m=1.719$	0.028	Кристаллари призма ва волокно ҳолида. Призматик ажralиш. $\rho_{\text{тажр.}}=3.5$ ва $\rho_{\text{хис.}}=3.6$ г/см <sup>3</sup>

Уваровит - $3\text{CaO}\cdot\text{Cr}_2\text{O}_3\cdot$ $3\text{SiO}_2$	1.86	-	Куб сингонияли, $a=12.05 \text{\AA}$ . Қаттиқлиги 7.5, $\rho_{\text{тажр.}}=3.78 \text{ г/см}^3$
Гроссуляр - $3\text{CaO}\cdot\text{Al}_2\text{O}_3\cdot$ $3\text{SiO}_2$	1.735	-	Куб сингонияли, $a=11.84 \text{\AA}$ . Қаттиқлиги 6.5-7, $\rho_{\text{тажр.}}=3.53 \text{ г/см}^3$
Ангидрит - $3\text{CaO}\cdot\text{Fe}_2\text{O}_3\cdot$ $3\text{SiO}_2$	1.895	-	Куб сингонияли, $a=12.04 \text{\AA}$ . Қаттиқлиги 6.5-7, $\rho_{\text{тажр.}}=3.83 \text{ г/см}^3$
$\text{CaO}\cdot\text{FeO}\cdot\text{SiO}_2$	1.743 $N_m=1.734$	1.696 $N_m=1.734$	0.047  Ромбик сингонияли, $a:b:c=0.437:1:0.577$ , (-), $2V=49^\circ$ , $\rho_{\text{тажр.}}=3.33 \text{ г/см}^3$ , Эриш нүктаси $1208^\circ\text{C}$
Монтичеллит - $\text{CaO}\cdot\text{MgO}\cdot\text{SiO}_2$	1.653 $N_m=1.646$	1.639 $N_m=1.646$	0.014  Ромбик сингонияли, $a=4.815$ , $b=11.08$ , $c=6.37 \text{\AA}$ . Кристаллари призма ва донсимон. (+), $2V=85^\circ$ , $\rho_{\text{тажр.}}=3.2 \text{ г/см}^3$ , $1300^\circ\text{C}$ да парчаланади
Глаукохроит - $\text{CaO}\cdot\text{MnO}\cdot\text{SiO}_2$	1.736 $N_m=1.723$	1.685 $N_m=1.723$	0.051  Ромбик сингонияли, $b=11.12$ , $c=6.49 \text{\AA}$ . Призмасимон кристаллар. (-), $2V=61^\circ$ , $\rho_{\text{тажр.}}=3.48$ $\text{г/см}^3$ . Эриш нүктаси $1355^\circ\text{C}$
$3\text{CaO}\cdot\text{Al}_2\text{O}_3\cdot$ $\text{SiO}_2$	1.685 $N_m=1.679$	1.675 $N_m=1.679$	0.010  Ромбик сингонияли, Кристаллари тола ҳолида. (+), $2V$ катта. $1335^\circ\text{C}$ да парчаланади
Мервинит - $3\text{CaO}\cdot\text{MgO}\cdot$ $2\text{SiO}_2$	1.724 $N_m=1.712$	1.706 $N_m=1.712$	0.018  Моноклин сингонияли, $a=5.20$ , $b=9.20$ , $c=6.78 \text{\AA}$ . Полисинтетик құшалоқ кристаллар. (+), $2V=66^\circ$ . Қаттиқлиги 6, $\rho_{\text{тажр.}}=3.15 \text{ г/см}^3$ . Эриш нүктаси $1598^\circ\text{C}$
Титанит, сферулит - $\text{CaO}\cdot\text{TiO}_2\cdot\text{SiO}_2$	2.092 $N_m=1.970$	1.950 $N_m=1.970$	0.142  Моноклин сингонияли, $a=6.55$ , $b=8.70$ , $c=7.43 \text{\AA}$ , $\beta=119^\circ 43'$ , (+), $2V=23-35^\circ$ . Қаттиқлиги 5-5.5, $\rho_{\text{тажр.}}=3.4-3.6 \text{ г/см}^3$
Гугиант - $2\text{CaO}\cdot\text{BeO}\cdot2\text{SiO}_2$	1.672	1.664	0.008  Тетрагонал сингонияли, $a=7.48$ , $c=5.044 \text{\AA}$ . Бир ўқли, мусебат. $\rho_{\text{тажр.}}=3.0336 \text{ г/см}^3$
Мелифантит - $(\text{Ca},\text{Na})_2\text{Be}(\text{Si},\text{Al})_2(\text{O},\text{F})_7$	1.612	1.593	0.019  Тетрагонал сингонияли, $a=10.58$ , $c=9.88 \text{\AA}$ . Бир ўқли, манғий, $\rho_{\text{тажр.}}=3.006 \text{ г/см}^3$

Яйкофанит – $(\text{Ca}, \text{Na})_2\text{BeSiO}_7 \cdot (\text{OH}, \text{F})_7$	1.598 $N_m=1.595$	1.571 0.027	Тетрагонал сингонияли, $a=7.39$ , $c=9.98 \text{ \AA}$ . Бир ўқли, манғий, $2V=39^\circ$ , $\rho_{\text{тажр.}}=2.96 \text{ г/см}^3$
Аминофит – $\text{Ca}_2(\text{Be}, \text{Al})\text{Si}_2\text{O}_7 \cdot (\text{OH}) \cdot \text{H}_2\text{O}$	1.647	1.637 0.010	Тетрагонал сингонияли, $a=13.8$ , $c=9.8 \text{ \AA}$ . Бир ўқли, манғий, $\rho_{\text{тажр.}}=2.94 \text{ г/см}^3$
Мелилит – $(\text{Ca}_{0.7}\text{Na}_{0.2}\text{K}_{0.1})_2(\text{Mg}_{0.5}\text{Al}_{0.5})\text{Si}_2\text{O}_7$	1.638	1.634 0.004	Тетрагонал сингонияли, $a=7.789$ , $c=5.018 \text{ \AA}$ . Бир ўқли, манғий, $\rho_{\text{тажр.}}=2.95 \text{ г/см}^3$
$2\text{SrO} \cdot \text{SiO}_2$	1.756 $N_m=1.732$	1.727 0.029	Моноклин сингонияли, (100) бўйича қўшалоқлар. Оптик белгиси (+), $2V=32.5^\circ$ , $\rho_{\text{тажр.}}=3.84 \text{ г/см}^3$
$\text{SrO}$		1.870	- Куб сингонияли, $a=5.15 \text{ \AA}$ . Куб шаклини кристаллар, $\rho_{\text{тажр.}}=4.75 \text{ г/см}^3$
$\text{SrO} \cdot \text{SiO}_2$	1.637	1.599 0.038	Гексагонал сингонияли, (0001) бўйича пластинкалар ва қўшалоқлар. Оптик белгиси (+), $2V=0^\circ$ , $\rho_{\text{тажр.}}=3.65 \text{ г/см}^3$ . Эриш нуқтаси $1578^\circ\text{C}$
$2\text{SrO} \cdot \text{Al}_2\text{O}_3 \cdot \text{SiO}_2$	1.665	1.660 0.005	Тетрагонал сингонияли, $a=7.831$ , $c=5.276 \text{ \AA}$ . Габитуси-призма, $\rho_{\text{тажр.}}=3.80$ ва $\rho_{\text{хис.}}=3.82 \text{ г/см}^3$
$\text{SrO} \cdot \text{Al}_2\text{O}_3 \cdot 2\text{SiO}_2$	1.586 $N_m=1.582$	1.574 0.012	Триклин сингонияли, тола габитусга эга. Икки ўқли, манғий, $2V=70^\circ$ , $\rho_{\text{тажр.}}=3.12 \text{ г/см}^3$
$2\text{SrO} \cdot \text{Ga}_2\text{O}_3 \cdot \text{SiO}_2$	1.728	1.717 0.011	Тетрагонал сингонияли, $a=7.92$ , $c=5.33 \text{ \AA}$ , $\rho_{\text{тажр.}}=4.49 \text{ г/см}^3$ . Эриш нуқтаси $1590^\circ\text{C}$
$2\text{SrO} \cdot \text{MgO} \cdot 2\text{SiO}_2$	1.638	1.609 0.029	Тетрагонал сингонияли, $a=8.06$ , $c=5.19 \text{ \AA}$ , $\rho_{\text{тажр.}}=3.64 \text{ г/см}^3$ .
$2\text{SrO} \cdot \text{ZnO} \cdot 2\text{SiO}_2$	1.710	1.678 0.032	Тетрагонал сингонияли, $a=8.04$ , $c=5.20 \text{ \AA}$ , $\rho_{\text{тажр.}}=3.99 \text{ г/см}^3$ .
$\text{Sr}_4\text{La}_6\text{Si}_6\text{O}_{24}\text{F}_2$	1.838	1.827 0.011	Гексагонал сингонияли, $a=9.69$ , $c=7.13 \text{ \AA}$ , $\rho_{\text{тажр.}}=5.03$ ва $\rho_{\text{хис.}}=5.05 \text{ г/см}^3$ . Эриш нуқтаси 2063 K

$\text{Sr}_4\text{Nd}_6\text{Si}_6\text{O}_{24}\text{F}_2$	1.843 1.829	0.014	Гексагонал сингонияли, $a=9.59$ , $c=7.07 \text{ \AA}$ , $\rho_{\text{тажр.}} = 5.26$ ва $\rho_{\text{хис.}} = 5.29$ г/см <sup>3</sup> . Эриш нуқтаси 2023 К
$\text{Sr}_4\text{Sm}_6\text{Si}_6\text{O}_{24}\text{F}_2$	1.854 1.842	0.012	Гексагонал сингонияли, $a=9.52$ , $c=6.99 \text{ \AA}$ , $\rho_{\text{тажр.}} = 5.50$ ва $\rho_{\text{хис.}} = 5.54$ г/см <sup>3</sup> . Эриш нуқтаси 2023 К
$\text{Sr}_4\text{Gd}_6\text{Si}_6\text{O}_{24}\text{F}_2$	1.862 1.850	0.012	Гексагонал сингонияли, $a=9.49$ , $c=6.96 \text{ \AA}$ , $\rho_{\text{тажр.}} = 5.71$ ва $\rho_{\text{хис.}} = 5.74$ г/см <sup>3</sup> . Эриш нуқтаси 2083 К
$\text{Sr}_4\text{Dy}_6\text{Si}_6\text{O}_{24}\text{F}_2$	1.871 1.858	0.013	Гексагонал сингонияли, $a=9.42$ , $c=6.92 \text{ \AA}$ , $\rho_{\text{тажр.}} = 5.90$ ва $\rho_{\text{хис.}} = 5.95$ г/см <sup>3</sup> . Эриш нуқтаси 2083 К
$\text{Sr}_4\text{Er}_6\text{Si}_6\text{O}_{24}\text{F}_2$	1.892 1.880	0.012	Гексагонал сингонияли, $a=9.30$ , $c=6.78 \text{ \AA}$ , $\rho_{\text{тажр.}} = 6.15$ ва $\rho_{\text{хис.}} = 6.17$ г/см <sup>3</sup> . Эриш нуқтаси 2103 К
$\text{Sr}_4\text{Y}_6\text{Si}_6\text{O}_{24}\text{F}_2$	1.773 1.759	0.014	Гексагонал сингонияли, $a=9.46$ , $c=6.89 \text{ \AA}$ , $\rho_{\text{тажр.}} = 4.40$ ва $\rho_{\text{хис.}} = 4.42$ г/см <sup>3</sup> . Эриш нуқтаси 2048 К
BaO	1.980	-	Куб сингонияли, $a=5.53 \text{ \AA}$ . Куб күрнишили кристаллар. $\rho_{\text{тажр.}} = 5.72$ г/см <sup>3</sup>
$2\text{BaO} \cdot \text{SiO}_2$	1.830 1.810 $N_m = 1.820^*$	0.020	Ромбик сингонияли. Донсимон доналар. $\rho_{\text{тажр.}} = 5.21$ г/см <sup>3</sup>
BaO·SiO <sub>2</sub>	1.678 1.673 $N_m = 1.674$	0.005	Ромбик сингонияли. Донсимон ва нинасимон агрегатлар. Оптик белгиси (+), $2V = 29^\circ$ , акрелиши (010) бўйича, $\rho_{\text{тажр.}} = 4.40$ г/см <sup>3</sup> . Эриш нуқтаси 1604°C
$2\text{BaO} \cdot 3\text{SiO}_2$	1.645 1.620 $N_m = 1.625$	0.025	Ромбик сингонияли, $a=12.50$ , $b=4.69$ , $c=13.92 \text{ \AA}$ , $\beta=93.3^\circ$ , $Z=2$ . Донсимон доналар, пластинкасимон қўшалоқлар. Оптик белгиси (+), $2V = 54^\circ$ , акрелиши (010), (100) ва (010) бўйича, $\rho_{\text{тажр.}} = 3.93$ г/см <sup>3</sup> . Эриш нуқтаси 1450°C.
BaO·2SiO <sub>2</sub>	1.621 1.597 $N_m = 1.616$	0.027	Ромбик ёки триклин сингонияли. Призмалар. Оптик белгиси (-), $2V = 75^\circ$ , акрелиши (010), (100) ва (001) бўйича, $\rho_{\text{тажр.}} = 3.73$ г/см <sup>3</sup> . Эриш нуқтаси 1420°C

$\alpha$ - $BaO \cdot Al_2O_3 \cdot 2SiO_2$	1.571 1.567	0.004	Юқори ҳароратли гексагонал фаза, $a=5.25$ , $c=7.84 \text{ \AA}$ . Пластиинкасимон кристаллар. Ажралиши (0001) бўйича, $\rho_{тажр.}=3.03 \text{ г/см}^3$ . Эриш нуқтаси $1715^\circ C$
Цельзиан - $BaO \cdot Al_2O_3 \cdot 2SiO_2$	1.600 1.587 $N_m=1.593$	0.013	Паст ҳароратли моноклин фаза, $a=8.63$ , $b=13.10$ , $c=7.29 \text{ \AA}$ , $\beta=116^\circ$ . Кўшалоқ кристаллар, (+), $2V=80^\circ$ , $\rho_{тажр.}=3.57 \text{ г/см}^3$
Парацельзиан - $BaO \cdot Al_2O_3 \cdot 2SiO_2$	1.587 1.570 $N_m=1.582$	0.017	Моноклин сингонияли, $a:b:c=0.947:1:0.895$ , $\rho=90^\circ 10^1$ . Призма кўринишили кристаллар. Йикки ўқли, манфий, $2V=50-53^\circ$ , $\rho_{тажр.}=3.315 \text{ г/см}^3$
Бенитонт - $BaO \cdot TiO_2 \cdot 3SiO_2$	1.804 1.757	0.047	Гексагонал сингонияли, $a=6.60$ , $c=9.71 \text{ \AA}$ . Кристаллари пирамида ва табличка кўринишида. Бир ўқли, мусбат. Қаттиқлиги 6-6.5, $\rho_{тажр.}=3.65 \text{ г/см}^3$
$2BaO \cdot MgO \cdot 2SiO_2$	1.710 1.650	0.060	Тетрагонал сингонияли, $a=8.32$ , $c=5.52 \text{ \AA}$ . $\rho_{тажр.}=3.80 \text{ г/см}^3$
$2BaO \cdot ZnO \cdot 2SiO_2$	1.722 1.698	0.024	Тетрагонал сингонияли, $a=8.40$ , $c=5.68 \text{ \AA}$ . $\rho_{тажр.}=4.02 \text{ г/см}^3$
$Ba_4Nd_6Si_6O_{24}F_2$	1.873 1.866	0.007	Гексагонал сингонияли, $a=9.72$ , $c=7.19 \text{ \AA}$ , $\rho_{тажр.}=5.36$ ва $\rho_{хис.}=5.36 \text{ г/см}^3$ . Эриш нуқтаси $1923 \text{ K}$
$Ba_4Y_6Si_6O_{24}F_2$	1.848 1.826	0.022	Гексагонал сингонияли, $a=9.60$ , $c=6.98 \text{ \AA}$ , $\rho_{тажр.}=4.66$ ва $\rho_{хис.}=4.68 \text{ г/см}^3$ . Эриш нуқтаси $1973 \text{ K}$
$Ba_4Gd_6Si_6O_{24}F_2$	1.881 1.870	0.011	Гексагонал сингонияли, $a=9.62$ , $c=7.10 \text{ \AA}$ , $\rho_{тажр.}=5.78$ ва $\rho_{хис.}=5.79 \text{ г/см}^3$ . Эриш нуқтаси $1963 \text{ K}$
$Ba_4Dy_6Si_6O_{24}F_2$	1.892 1.878	0.014	Гексагонал сингонияли, $a=9.58$ , $c=6.97 \text{ \AA}$ , $\rho_{тажр.}=5.98$ ва $\rho_{хис.}=6.00 \text{ г/см}^3$ . Эриш нуқтаси $1963 \text{ K}$

<chem>Ba4La6Si4P2O26</chem>	1.796 1.782	0.014	Гексагонал сингонияли, $a=9.97$ , $c=7.35 \text{ \AA}$ , $\rho_{\text{тажр.}} = 5.12 \text{ г/см}^3$ ва $\rho_{\text{хис.}} = 5.16 \text{ г/см}^3$ . Эриш нуқтаси 2023 K
<chem>Ba4Nd6Si4P2O26</chem>	1.848 1.829	0.019	Гексагонал сингонияли, $a=9.80$ , $c=7.25 \text{ \AA}$ , $\rho_{\text{тажр.}} = 5.45 \text{ г/см}^3$ . Эриш нуқтаси 2028 K
Цинкит - <chem>ZnO</chem>	2.029 2.013	0.016	Гексагонал сингонияли, $a=3.25$ , $c=5.19 \text{ \AA}$ , $Z=2$ . Бир ўқли, мусбат. Қаттиқлиги 4, $\rho_{\text{тажр.}} = 5.66 \text{ г/см}^3$ . 1670°C да эрийди
Веллимит - $\alpha - 2\text{ZnO}\cdot\text{SiO}_2$	1.715 1.695	0.020	Үрта сингонияга таалуқли кристаллар. Бир ўқли, $2V=0^\circ$
$\beta - 2\text{ZnO}\cdot\text{SiO}_2$	1.712 1.703 $N_m=1.700$	0.009	Ромбик сингонияли, $a=8.40$ , $b=5.10$ , $c=3.22 \text{ \AA}$ . Икки ўқли, $2V=49^\circ$ , $\rho_{\text{хис.}} = 4.29 \text{ г/см}^3$ . Эриш нуқтаси 1420°C.
$\gamma - 2\text{ZnO}\cdot\text{SiO}_2$	1.703 1.685 $N_m=1.700$	0.018	Икки ўқли кристаллар, $2V = -40^\circ$
<chem>ZnO\cdot SiO2</chem>	1.623 1.616	0.007	Нинасимон кристаллар, $\rho_{\text{тажр.}} = 3.52 \text{ г/см}^3$ . Эриш нуқтаси 1429°C
Гемиморфит - $\text{Zn}_4(\text{OH})_2\text{Si}_2\text{O}_7\cdot\text{H}_2\text{O}$	1.636 1.614 $N_m=1.617$	0.022	Ромбик сингонияли, $a=8.40$ , $b=10.72$ , $c=5.13 \text{ \AA}$ . Икки ўқли, мусбат, $2V=46^\circ$ . Қаттиқлиги 5, $\rho_{\text{тажр.}} = 3.45 \text{ г/см}^3$
<chem>ZnSiF6\cdot H2O</chem>	1.395 1.382	0.013	Тригонал сингонияли, $c:a=0.517$ . Призма кристаллар. Бир ўқли, мусбат, $\rho_{\text{тажр.}} = 2.14 \text{ г/см}^3$
<chem>CdO</chem>	2.49	-	Куб сингонияли, $a=4.70 \text{ \AA}$ , $Z=4$ . Кристаллар октаэдр ва куб кўринишида. Қаттиқлиги 3, $\rho_{\text{тажр.}} = 8.15 \text{ г/см}^3$
<chem>CdO\cdot SiO2</chem>	-	-	Эриш нуқтаси 1246 °C, $\rho_{\text{тажр.}} = 5.833 \text{ г/см}^3$
$2\text{CdO}\cdot\text{SiO}_2$	$N_{\text{уртаж}} = 1.74$	Уртacha	Оливинга ўхшаш структурали, $\rho_{\text{тажр.}} = 4.928 \text{ г/см}^3$ , эриш нуқтаси 1252°C

Паст температурали $\beta - \text{Al}_2\text{O}_3$	1.665 1.680	1.630 1.650	0.035- 0.030	Гексагонал сингонияли, барқарор бўлмаган, бир ўқли, манфий, $\rho_{\text{тажр.}} = 3.31 \text{ г/см}^3$
$\gamma - \text{Al}_2\text{O}_3$		1.696	-	Куб сингонияли, $\rho_{\text{тажр.}} = 3.47 \text{ г/см}^3$
Корунд $\alpha - \text{Al}_2\text{O}_3$	1.768	1.760	0.008	Гексагонал сингонияли, $a=4.76$ , $c=13.00 \text{ \AA}$ . Бир ўқли, манфий. Қаттиқлиги 9, $\rho_{\text{тажр.}} = 4 \text{ г/см}^3$ . 2050°C да эриди.
Кианит - $\text{Al}_2\text{O}_3 \cdot \text{SiO}_2$	1.728 $N_m = 1.722$	1.713	0.015	Триклин сингонияли, Фазовий группаси PI, $a=7.121$ , $b=7.861$ , $c=5.574 \text{ \AA}$ , $\alpha=90.03^\circ$ , $\beta=101.08^\circ$ , $\gamma=105.95^\circ$ , $V=294 \text{ \AA}^3$ , $Z=4$ $2V=83^\circ$
Силлиманит - $\text{Al}_2\text{O}_3 \cdot \text{SiO}_2$	1.678 $N_m = 1.658$	1.658	0.020	Ромбик сингонияли. Фазовий группаси Pbnm, $a=7.481 \pm 0.002$ , $b=7.672 \pm 0.002$ , $c=5.769 \pm 0.002 \text{ \AA}$ , $V=331 \text{ \AA}^3$ . $2V=25^\circ$ , $\rho_{\text{тажр.}} = 3.255 \pm 0.015 \text{ г/см}^3$
Андалузит- $\text{Al}_2\text{O}_3 \cdot \text{SiO}_2$	1.641 $N_m = 1.639$	1.630	0.011	Ромбик сингонияли. Фазовий группаси Pnmm, $a=7.797 \pm 0.002$ , $b=7.898 \pm 0.002$ , $c=5.551 \pm 0.002$ , $V=341.8 \text{ \AA}^3$ . $2V=83$ дан 86° гача
Муллит- $3\text{Al}_2\text{O}_3 \cdot 2\text{SiO}_2$	1.654	1.642	0.012	Ромбик сингонияли. Фазовий группаси Pmmm, $a=7.5794 \pm 0.005 \text{ \AA}$ , $b=7.6873$ , $c=2.8878 \pm 0.0004 \text{ \AA}$ , $V=168.26 \text{ \AA}^3$ . $2V=45$ дан 50° гача, $\rho_{\text{тажр.}} = 3.0 \text{ г/см}^3$ . Конгруэнт эриш нуқтаси 1910°C
Пирофиллит - $\text{Al}_2\text{O}_3 \cdot 4\text{SiO}_2 \cdot \text{H}_2\text{O}$	1.601 $N_m = 1.558$	1.552	0.048	Моноклин сингонияли, $a=5.15$ , $b=8.88$ , $c=18.60 \text{ \AA}$ , $\beta=99.055^\circ$ , $Z=8$ . Призматик кристаллар. (-), $2V=53-60^\circ$ . Қаттиқлиги 1-1.15, $\rho_{\text{тажр.}} = 2.84 \text{ г/см}^3$
Леверръесрит - $\text{Al}_2\text{O}_3 \cdot 4\text{SiO}_2 \cdot 5\text{H}_2\text{O}$	1.513	1.488 $N_m = 1.513$	0.025	Паст категорияли сингонияга эга бўлган монтмориллонит туруги вакили, $a=5.15$ , $b=8.95$ , $c=15.25 \text{ \AA}$ , Кристаллари юпқа пластиинка ҳолида. (-), $2V=0-33^\circ$ . Қаттиқлиги 1.5, $\rho_{\text{тажр.}} = 2.84 \text{ г/см}^3$

Топаз - $\text{Al}_2\text{SiO}_4\text{V}$ $\text{FeOH}_2$	1.618- 1.638 $N_m = 1.610-$ 1.631	1.607- 1.629 $N_m = 1.610-$ 1.631	0.011- 0.009	Ромбик сингонияли, $a=4.61$ , $b=8.78$ , $c=8.38 \text{ \AA}$ , Кристаллар призма кўришишида. Ажralиши (001) бўйича. Қаттиқлиги 8, $\rho_{\text{тажр.}} = 3.50 - 3.57 \text{ г}/\text{см}^3$
Каолин - $\gamma$ - форма $\text{Al}_2\text{O}_3 \cdot 2\text{SiO}_2 \cdot 2\text{H}_2\text{O}$	1.566 $N_m = 1.565$	1.561	0.006	Моноклин сингонияли паст тэмп-ратуралари фаза, $a=5.14$ , $b=8.93$ , $c=7.37 \text{ \AA}$ , $\alpha = 91^\circ 48'$ , $\beta = 104^\circ 30'$ , $\gamma = 90^\circ$ , $Z = 2\text{Al}_4(\text{OH})_8\text{Si}_4\text{O}_{10}$ . Кристаллари псевдогексагонал чешуйкалар ҳолида. (-), $2V = 20-55^\circ$ . Қаттиқлиги 2-2.5, $\rho_{\text{тажр.}} = 2.61 \text{ г}/\text{см}^3$
Диккит - $\beta - \text{Al}_2\text{O}_3 \cdot 2\text{SiO}_2 \cdot 2\text{H}_2\text{O}$	1.566 $N_m = 1.562$	1.560	0.006	Моноклин сингонияли, $a=5.15$ , $b=8.95$ , $c=28.70 \text{ \AA}$ , $\beta = 96^\circ 49'$ , $Z = 4\text{Al}_4(\text{OH})_8\text{Si}_4\text{O}_{10}$ . Кристаллар тангачасимон кўринишда. (+), $2V = 68-80^\circ$ . Қаттиқлиги 2.5-3, $\rho_{\text{тажр.}} = 2.62 \text{ г}/\text{см}^3$
Накрит - $\alpha - \text{Al}_2\text{O}_3 \cdot 2\text{SiO}_2 \cdot 2\text{H}_2\text{O}$	1.563 $N_m = 1.562$	1.557	0.006	Моноклин сингонияли, $a=5.15$ , $b=8.95$ , $c=28.70 \text{ \AA}$ , $\beta = 91^\circ 43'$ , $Z = 4$ $\text{Al}_4(\text{OH})_8\text{Si}_4\text{O}_{10}$ . Кристаллар псевдогексагонал қиёфага эга. (-), $2V = 40^\circ$ . Қаттиқлиги 2.5-3, $\rho_{\text{тажр.}} = 2.5 \text{ г}/\text{см}^3$
Монтмориллонит - $(\text{Al}, \text{Mg})_2(\text{OH})_2 \cdot [\text{Si}_4\text{O}_{10}] \cdot \text{H}_2\text{O}$	$N_m = 1.516-1.526$		Куч-сиз	Моноклин сингонияли, $a=5.10$ , $b=8.33$ , $c=15.2 \text{ \AA}$ . Кристаллари тангача ҳолида, улар (001) бўйича уланган.
Бейцеллит - $\text{Al}_2[\text{Si}_4\text{O}_{10}] \cdot (\text{OH})_2 \cdot n\text{H}_2\text{O}$	Кўрсаттичлар сув миқдорига кўра ўзгарувчан		Куч-сиз	Моноклин сингонияли. Ромбга ўшаш пластинкалар ҳолида. Уланиш текислиги (001) бўйича. Қаттиқлиги 1.5, $\rho_{\text{тажр.}} = 2.6 \text{ г}/\text{см}^3$
Галуазит (сицеллит) - $\text{Al}_2\text{O}_3 \cdot 2\text{SiO}_2 \cdot 4\text{H}_2\text{O}$	$N_{\text{тажр.}} = 1.547-1.550$		Куч-сиз.	Моноклин сингонияли, $a=5.20$ , $b=8.92$ , $c=10.25 \text{ \AA}$ , $\beta = 100^\circ$ Шаффор гелсимон масса, қамчи шакли. Қаттиқлик 1-2, $\rho_{\text{тажр.}} = 2.0-2.2 \text{ г}/\text{см}^3$
Аллофан - $m \text{Al}_2\text{O}_3 \cdot n\text{SiO}_2 \cdot n\text{H}_2\text{O}$	$N = 1.470-1.510$		-	Қаттиқ псевдо эритма. У нотскис ёки чиганоқсимон юзалар ҳосил қилувчи типек шишиасимон масса. Қаттиқлиги 3, $\rho_{\text{тажр.}} = 1.85-1.89 \text{ г}/\text{см}^3$
$\text{Sc}_2\text{O}_3$	1.990		-	Куб сингонияли, $\rho_{\text{тажр.}} = 3.860 \text{ г}/\text{см}^3$ . Эриш нуқтаси $2470 \pm 50^\circ\text{C}$

$\text{Sc}_2\text{O}_3 \cdot \text{SiO}_2$	1.850    1.835	0.015	Икки ўқли, оптик белгиси (+), $\rho_{\text{тажр.}} = 3.490 \text{ г/см}^3$ . Эриш нуқтаси $1950^\circ\text{C}$
$\text{Sc}_2\text{O}_3 \cdot 2\text{SiO}_2$	1.803    1.754 $N_m = 1.785$	0.049	Икки ўқли, оптик белгиси (-), $\rho_{\text{тажр.}} = 3.390 \text{ г/см}^3$ . Эриш нуқтаси $1850^\circ\text{C}$
$\text{Y}_2\text{O}_3$	1.910	-	Куб сингонияли. Кристаллари түғри чизикли пластинка күринишида.
$\text{Y}_2\text{O}_3 \cdot \text{SiO}_2$	1.825    1.807 $N_m = 1.815^*$	0.018	Икки ўқли, мусбат. Эриш нуқтаси $1980^\circ\text{C}$
$2\text{Y}_2\text{O}_3 \cdot 3\text{SiO}_2$	1.780    1.765	0.015	Гексагонал сингонияли, оптик манфий. Эриш нуқтаси $1950^\circ\text{C}$
$\text{Y}_2\text{O}_3 \cdot 2\text{SiO}_2$	1.747    1.737 $N_m = 1.742^*$	0.010	Моноclin сингонияли, икки ўқли, оптик мусбат, сұниши қия, $2V = 60^\circ$
$\text{La}_2\text{O}_3 \cdot \text{SiO}_2$	1.875    1.855 $N_m = 1.865^*$	0.020	Икки ўқли, мусбат, $\rho_{\text{тажр.}} = 5.72 \text{ г/см}^3$ . Эриш нуқтаси $1930^\circ\text{C}$
$2\text{La}_2\text{O}_3 \cdot 3\text{SiO}_2$	1.852    1.837	0.015	Гексагонал сингонияли, оптик манфий, $\rho_{\text{тажр.}} = 5.31$ ва $\rho_{\text{хис.}} = 5.303 \text{ г/см}^3$ . Эриш нуқтаси $1975^\circ\text{C}$ .
$\text{La}_2\text{O}_3 \cdot 2\text{SiO}_2$	1.762    1.752	0.010	Оптик мусбат, $\rho_{\text{тажр.}} = 4.85 \text{ г/см}^3$ . $1750^\circ\text{C}$ да инконгруэнт парчаланади ( $2\text{La}_2\text{O}_3 \cdot 3\text{SiO}_2 + \text{суюқлик}$ )
$\text{Ce}_2\text{O}_3 \cdot \text{SiO}_2$	$N_{\text{уртаса}} = 1.880$	0.025	-
$2\text{Ce}_2\text{O}_3 \cdot 3\text{SiO}_2$	$N_{\text{уртаса}} = 1.850$	0.020	Гексагонал сингонияли, $a = 11.36$ ва $c = 4.71 \text{ \AA}$
$\text{Ce}_2\text{O}_3 \cdot 2\text{SiO}_2$	$N_{\text{уртаса}} = 1.770$	0.015	-
$\text{Nd}_2\text{O}_3 \cdot \text{SiO}_2$	1.888    1.871 $N_m = 1.883^*$	0.017	Икки ўқли, мусбат, $\rho_{\text{тажр.}} = 4.476 \text{ г/см}^3$ . Эриш нуқтаси $1980^\circ\text{C}$

$2\text{Nd}_2\text{O}_3 \cdot 3\text{SiO}_2$	1.854	1.835	0.019	Гексагонал сингонияли, бир ўқли. манфий, $\rho_{\text{тажр.}} = 4.424 \text{ г}/\text{см}^3$ Эриш нуқтаси $1960^\circ\text{C}$
$\text{Nd}_2\text{O}_3 \cdot 2\text{SiO}_2$	1.760 $N_m = 1.755^*$	1.745	0.015	Икки ўқли, мусбат, $\rho_{\text{тажр.}} = 5.242 \text{ г}/\text{см}^3$ $1750^\circ\text{C}$ да парчаланиб эрийди.
$\text{Sm}_2\text{O}_3 \cdot \text{SiO}_2$	1.885 $N_m = ?$	1.863	0.022	Икки ўқли, мусбат, $\rho_{\text{тажр.}} = 6.36 \text{ г}/\text{см}^3$ Эриш нуқтаси $1940^\circ\text{C}$
$2\text{Sm}_2\text{O}_3 \cdot 3\text{SiO}_2$	1.860	1.840	0.020	Бир ўқли, манфий, $\rho_{\text{тажр.}} = 5.77 \text{ г}/\text{см}^3$ Эриш нуқтаси $1920^\circ\text{C}$
$\text{Sm}_2\text{O}_3 \cdot 2\text{SiO}_2$	1.775 $N_m = ?$	1.765	0.010	Икки ўқли, мусбат, $\rho_{\text{тажр.}} = 5.20 \text{ г}/\text{см}^3$ $1775^\circ\text{C}$ да ҳароратда парчаланиб эрийди
$3\text{EuO} \cdot \text{SiO}_2$	1.870	1.855	0.015	Тетрагонал сингонияли, бир ўқли кристаллар, оптик манфий, ферромагнит
$2\text{EuO} \cdot \text{SiO}_2$	1.860 $N_m = ?$	1.840	0.020	Ромбик сингонияли, икки ўқли кристаллар, оптик мусбат, кон- груэнт эриши - $2000^\circ\text{C}$ , ферромаг- нит
$3\text{EuO} \cdot 2\text{SiO}_2$	1.835	1.820	0.015	-
$\text{EuO} \cdot \text{SiO}_2$	1.805	1.775	0.030	Гексагонал сингонияли, бир ўқли кристаллар, оптик манфий. Эриш нуқтаси $1700^\circ\text{C}$
$\text{Eu}_2\text{O}_3 \cdot \text{SiO}_2$	1.890 $N_m = ?$	1.870	0.020	Икки ўқли, оптик мусбат, түғри сүнади. Эриш нуқтаси $1980 \text{--} 30^\circ\text{C}$
$2\text{Eu}_2\text{O}_3 \cdot 3\text{SiO}_2$	1.865	1.845	0.020	Гексагонал сингонияли, бир ўқли, оптик манфий. Эриш нуқтаси $1970 \text{--} 30^\circ\text{C}$
$\text{Eu}_2\text{O}_3 \cdot 2\text{SiO}_2$	1.775 $N_m = ?$	1.763	0.012	Икки ўқли, оптик мусбат, $1760 \text{--} 30^\circ\text{C}$ да $2\text{Eu}_2\text{O}_3 \cdot 3\text{SiO}_2$ ва суюкликка айланади.
$\text{Dy}_2\text{O}_3 \cdot \text{SiO}_2$	1.865	1.847	0.018	Икки ўқли, оптик ўқлар орасида- ти бурчак $88^\circ$ . Эриш нуқтаси $1930^\circ\text{C}$

$2\text{Dy}_2\text{O}_3 \cdot 3\text{SiO}_2$	1.853 1.838	0.015	Бир ўқли, манфий. Эриш нуқтаси $1920^{\circ}\text{C}$
$\text{Dy}_2\text{O}_3 \cdot 2\text{SiO}_2$	1.765 1.757	0.008	Икки ўқли, мусбат. $1720^{\circ}\text{C}$ да $2\text{Dy}_2\text{O}_3 \cdot 3\text{SiO}_2$ ва суюқликка айланади
$\text{Er}_2\text{O}_3 \cdot \text{SiO}_2$	1.825 1.807	0.018	$\rho_{\text{плжр.}} = 6.80 \text{ г/см}^3$ . Конгруэнт эриш нуқтаси $1980^{\circ}\text{C}$
$2\text{Er}_2\text{O}_3 \cdot 3\text{SiO}_2$	1.800 1.780	0.020	$\rho_{\text{плжр.}} = 6.22 \text{ г/см}^3$ . Конгруэнт эриш нуқтаси $1900^{\circ}\text{C}$
$\text{Er}_2\text{O}_3 \cdot 2\text{SiO}_2$	1.768 1.740	-	$\rho_{\text{плжр.}} = 6.10 \text{ г/см}^3$ . Конгруэнт эриш нуқтаси $1800^{\circ}\text{C}$
$3\text{YbO} \cdot \text{SiO}_2$	1.815 1.805	0.010	-
$2\text{YbO} \cdot \text{SiO}_2$	1.800 1.780	0.020	-
$3\text{YbO} \cdot 2\text{SiO}_2$	1.780 1.760	0.020	-
$\text{YbO} \cdot \text{SiO}_2$	1.770 1.745	0.025	-
$\text{Yb}_2\text{O}_3 \cdot \text{SiO}_2$	1.827 1.807	0.020	Икки ўқли, мусбат. Эриш нуқтаси $1950^{\circ}\text{C}$ .
$2\text{Yb}_2\text{O}_3 \cdot 3\text{SiO}_2$	1.800 1.782	0.018	Бир ўқли, манфий. Эриш нуқтаси $1920^{\circ}\text{C}$ .
$\text{Yb}_2\text{O}_3 \cdot 2\text{SiO}_2$	1.770 1.740	0.030	Икки ўқли, мусбат. Эриш нуқтаси $1850^{\circ}\text{C}$ .
Глёт – $\text{PbO}$	2.665 2.535	0.030	Квадрат сингонияли. Жадваллар, пластинкалар. Оптик белгиси (-), $2V = 0^{\circ}$ . Эриши – $886^{\circ}\text{C}$
$\alpha - 4\text{PbO} \cdot \text{SiO}_2$	2.380 2.310 $N_m = 2.34$	0.070	Призмалар. Оптик белгиси (+), $2V = 40^{\circ}$ , Эриш температураси $725^{\circ}\text{C}$ .
$\beta - 4\text{PbO} \cdot \text{SiO}_2$	$N_{\text{үртаза}} = 2.340$	Куч-сиз	$720-155^{\circ}\text{C}$ ли оралиқда барқарор. Кристаллар призма ва донсимон күрнишіда
$\gamma - 4\text{PbO} \cdot \text{SiO}_2$	$\beta$ -формага ўшаш	Куч-сиз	$155^{\circ}\text{C}$ ли ҳароратдан пастда барқарор. Күрсаттылары $\beta$ -фаза кабидир
$2\text{PbO} \cdot \text{SiO}_2$	2.180 2.130 $N_m = 2.150$	0.050	Ромбик сингонияли. Призмалар. (-), $2V = 80^{\circ}$ , сұниши – тұғри. Эриш нуқтаси $723^{\circ}\text{C}$
$\text{PbO} \cdot \text{SiO}_2$	$N_{\text{үртаза}} = 1.950$	Куч-сиз	Призмалар. Оптик белгиси (-), $2V = 60^{\circ}$ . Эриш нуқтаси $764^{\circ}\text{C}$

Барисилит - $3\text{PbO}\cdot 2\text{SiO}_2$	$N_{\text{права}}=2.040$	0.005	Призмалар, жадваллар. Бир ўқли, Оптик беғлиси (-), $2V = 0^{\circ}$
Аламозит - $\text{PbO}\cdot \text{SiO}_2$	1.968 1.947 $N_m=1.961$	0.023	Моноклин сингонияли, $a:b:c=1.375:1:0.924$ , $\beta=95^{\circ}50'$ . Волокноли кристаллар. (-), $2V = 65^{\circ}$ . Қаттиқлиги 4.5, $\rho_{\text{тажр.}}=6.49$ г/см <sup>3</sup> . Эриш нүктаси $764^{\circ}\text{C}$ .
Казолит - $\text{Pb}_2(\text{UO}_2)\cdot \text{SiO}_4\cdot \text{H}_2\text{O}$	1.967 1.890 $N_m=1.900$	0.077	Моноклин сингонияли, $a=13.28$ , $b=7.01$ , $c=6.71\text{ \AA}$ , $\beta=103^{\circ}42'$ . Кристаллар майды призмалар холида. (+), $2V = 42^{\circ}58'$ . Қаттиқлиги 4-5, $\rho_{\text{тажр.}}=6.46$ г/см <sup>3</sup>
Бадслит - $\text{ZrO}_2$	2.200 2.130 $N_m=2.190$	0.070	Моноклин сингонияли. $a=5.22$ , $b=7.27$ , $c=5.59\text{ \AA}$ , $\beta=99^{\circ}7'$ . Жадвал-симон кристаллар. Ажралиши (001) бўйича. (-), $2V = 30^{\circ}$ . $\rho_{\text{тажр.}}=5.6$ г/см <sup>3</sup> . Эриш нүктаси $2715^{\circ}\text{C}$
Циркон - $\text{ZrO}_2\cdot \text{SiO}_2$	1.968 1.923 2.015 1.960	0.045 0.055	Квадрат сингонияли, $a=6.61$ , $c=5.89\text{ \AA}$ . Призмалар, пирамидалар, қўшалоқлар. Ажралиши – призма бўйлаб, қаттиқлиги 7.5, $\rho_{\text{тажр.}}=4.7$ г/см <sup>3</sup>
$\text{HfO}_2\cdot \text{SiO}_2$	1.950 1.940	0.010	Тетрагонал симметрияли, $a = 6.60$ ва $c = 5.97\text{ \AA}$ . $\rho_{\text{тажр.}}=3.27$ г/см <sup>3</sup>
Гуттонит - $\text{ThO}_2\cdot \text{SiO}_2$	1.930 о 1.900 о 0.005 0.003 $N_m=?$	0.030	Моноклин сингонияли стабил форма, $a = 6.80$ , $b = 6.96$ ва $c = 6.54\text{ \AA}$ , $\rho_{\text{тажр.}}=7.20$ о 10 г/см <sup>3</sup> . 1975 о 50 <sup>0</sup> С да $\text{ThO}_2$ ва суюқликка парчаланади
Торит - $\text{ThO}_2\cdot \text{SiO}_2$	1.885 о 1.827 о 0.003 0.003	0.058	Тетрагонал сингонияли метастабил форма, $a = 7.03$ , $c = 6.25\text{ \AA}$ . $\rho_{\text{тажр.}}=6.63$ о 0.10 г/см <sup>3</sup>
$\alpha - \text{SiO}_2\cdot \text{P}_2\text{O}_5$	- -	-	-
$\beta - \text{SiO}_2\cdot \text{P}_2\text{O}_5$	- -	-	1030 <sup>0</sup> С да $\beta$ -формадан $\alpha$ -формага ўтади.
$2\text{SiO}_2\cdot \text{P}_2\text{O}_5$	- -	-	1120 <sup>0</sup> С да $\text{SiO}_2\cdot \text{P}_2\text{O}_5$ ва суюқликка айланади.
$3\text{SiO}_2\cdot \text{P}_2\text{O}_5$	- -	-	-

$\alpha$ - SiC	2.689- 2.647- 2.693 2.649	0.042- 0.043	Гексагонал сингонияли. Ингичка базал пластинкалар. Бир ўқли, мусбат. Қаттиқлиги 9.5, $\rho_{\text{тажр.}} = 3.2 \text{ г/см}^3$ . $3400^\circ\text{C}$ да эримай диссоциацияга учрайди.
$\beta$ - SiC	2.63	-	Куб сингонияли, $a = 4.349 \text{ \AA}$ , $Z = 4$ , $\rho_{\text{тажр.}} = 3.216 \text{ г/см}^3$ .
Кремний монооксиди - SiO	2.00	-	Куб сингонияли, $a = 7.135 \text{ \AA}$ . Кристаллари бир турли пластинкалар ҳолида учрайди, $\rho_{\text{тажр.}} = 2.146 \text{ г/см}^3$
$\alpha$ -кристобалит- SiO <sub>2</sub>	1.486	-	Куб сингонияли юқори температурали фаза. Кристалларининг формаси-октаэдр ва куб. Қаттиқлиги 6-7, $\rho_{\text{тажр.}} = 2.27-2.35 \text{ г/см}^3$ . $1710^\circ\text{C}$ да эрийди
$\beta$ -кристобалит- SiO <sub>2</sub>	1.487 1.484	0.003	Тетрагонал сингонияли, паст температурали. Полисинтетик күшалоқлар. Бир ўқти, манфий
$\alpha$ -Тридимит- SiO <sub>2</sub>	- -	-	Гексагонал сингонияли, $117^\circ\text{C}$ дан юқорида барқарор, $c : a = 1.653$
$\beta$ -Тридимит- SiO <sub>2</sub>	1.473 1.469 $N_m = 1.469$	0.004	Ромбик сингонияли, $117^\circ\text{C}$ дан пастда барқарор, $a = 9.88$ , $b = 17.1$ , $c = 16.3 \text{ \AA}$ , $Z = 64$ . $870-1470^\circ\text{C}$ ли оралиқдан ташқарида полиморфизма учрайди. (+), $2V = 35^\circ$ . Қаттиқлиги 7, $\rho_{\text{тажр.}} = 2.27 \text{ г/см}^3$ .
$\alpha$ -Кварц- SiO <sub>2</sub>	1.540 1.533	0.007	Гексагонал сингонияли, $a = 5.01$ , $c = 5.47 \text{ \AA}$ , $Z = 3$ . $870-573^\circ\text{C}$ оралиғида барқарор.
$\beta$ -Кварц- SiO <sub>2</sub>	1.553 1.544	0.009	Тригонал сингонияли, $a = 4.903$ , $c = 5.393 \text{ \AA}$ , $Z = 3$ . Қысқа призматик кристаллар, $573-20^\circ\text{C}$ да оралиғида барқарор. Бир ўқли, мусбат. Қаттиқлиги 7, $\rho_{\text{тажр.}} = 2.65 \text{ г/см}^3$
Китит-SiO <sub>2</sub>	1.522 1.513	0.009	Тетрагонал сингонияли, $a = 7.46$ , $c = 8.59 \text{ \AA}$ , $Z = 12$ . Бир ўқли, манфий, $\rho_{\text{тажр.}} = 2.50 \text{ г/см}^3$ . $1100^\circ\text{C}$ гача барқарор

Коусит- $\text{SiO}_2$	1.604 $N_m=1.593$	1.599 0.014	Моноклин сингонияли, $a = 7.23$ , $b = 12.52$ , $c = 7.23 \text{ \AA}$ , $\beta = 120^\circ$ , $Z = 17$ . Қаттиқлиги 8, $\rho_{\text{тажр.}} = 3.01 \text{ г/см}^3$ , (+), $2V = 54^\circ$
Лешательерит- $\text{SiO}_2$		1.459 -	Аморф шаффофф модда
Хашелон- $\text{SiO}_2$	1.537 -	1.530 0.007	Кварц структурасига ўхшаш, қаттиқлиги 6, $\rho_{\text{тажр.}} = 2.55-2.63$ $\text{г/см}^3$
$\text{P}_2\text{O}_5 - I$	1.624 -	1.599 0.025	Тетрагонал сингонияли стабил фаза. Бир ўқли, мусбат, $\rho_{\text{тажр.}} = 2.89$ $\text{г/см}^3$
$\text{P}_2\text{O}_5 - II$	1.589 $N_m=1.578$	1.545 0.044	Ромбик сингонияли метастабиль фаза. Икки ўқли, манфий, $2V = 65^\circ$
$\text{P}_2\text{O}_5 - III$	1.471 -	1.469 0.002	Гексагонал сингонияли метастабил фаза. Бир ўқли, мусбат, $\rho_{\text{тажр.}} = 2.28-2.32 \text{ г/см}^3$
$\text{Cr}_2\text{O}_3$		$N_{\text{уртча}}=2.5$	Гексагонал сингонияли, $a = 4.95$ , $c = 13.57 \text{ \AA}$ , Кристаллари призма ва табличка ҳолида. Бир ўқли, мус- бат, $\rho_{\text{тажр.}} = 5.2 \text{ г/см}^3$
$2\text{CrO}\cdot\text{SiO}_2$	2.03 $N_m=1.94$	1.93 0.10	Паст категорияли сингонияга мансуб, икки ўқли, $\rho_{\text{тажр.}} = 4.0 \text{ г/см}^3$
$\text{Cr}_2\text{O}_3\cdot3\text{SiO}_2$	1.905o1.790o 0.05 0.05	0.115	Ромбик сингонияли, икки ўқли, түғри сўнади. Эриш нуқтаси $1995^\circ\text{C}$
Коффинит – $\text{UO}_2\cdot\text{SiO}_2$		$N_{\text{уртча}} =$ $\sim 1.83) 1.88$	Уртча Тетрагональ сингонияли, $a = 6.981o$ $0.004$ , $c = 6.250o0.005 \text{ \AA}$ . Иссиқлик- дан кентайиш коэффициенти $80\cdot10^{-7}$ га тенг
Тефроит – $2\text{MnO}\cdot\text{SiO}_2$	1.820 $N_m=1.805$	1.780 0.040	Ромбик сингонияли, $a = 4.86$ , $b = 10.62$ , $c = 6.22 \text{ \AA}$ . Икки ўқли, манфий, $2V = 50^\circ$ . Қаттиқлиги 4.2. Конгруэнт эриш нуқтаси $1345^\circ$
Родонит – $\text{MnO}\cdot\text{SiO}_2$	- -	- -	$1291^\circ\text{C}$ да инконгруэнт эриш туфайли тридимит ва супокликка айланади

Манганозит - MnO	2.230	-	Куб сингонияли, а = 4.45 $\text{\AA}$ , Z=4. Кристаллари оқтаэдрик қиёфада, ажралиши куб бўйича. Қаттиқлиги 5.5, $\rho_{\text{тажр.}}=5.36 \text{ г}/\text{см}^3$
Mn-кордисерит - 2MnO·2Al <sub>2</sub> O <sub>3</sub> ·5SiO <sub>2</sub>	1.558 $N_m=1.558$	0.021	Кристаллари нинасимон. Икки ўқли, манфий, 2V кичик. Эриш температураси 1200°C
Спессартин - 2MnO·Al <sub>2</sub> O <sub>3</sub> ·3SiO <sub>2</sub>	1.800	-	Куб сингонияли, а = 11.59 $\text{\AA}$ . Додекаэдрик кристаллар. Қаттиқлиги 7-7.5, $\rho_{\text{тажр.}}=4.18 \text{ г}/\text{см}^3$ . Эриш нуктаси 1200°C. $N_{\text{нишн}}=1.655$
Пикротифроит - 2(Mn,Mg)O·SiO <sub>2</sub>	1.740 $N_m=1.727$	0.030	Ромбик сингонияли, икки ўқли, манфий, 2V = 85°
MnO·Al <sub>2</sub> O <sub>3</sub> ·2SiO <sub>2</sub>	1.626 $N_m=?$	0.021	Триклин сингонияли, икки ўқли, манфий, сўниш бурчаги 43°
MnF <sub>2</sub> ·SiF <sub>4</sub> ·6H <sub>2</sub> O	1.374 1.357	0.017	Тригонал сингонияли, с:а = 0.504. Призматик кристаллар. Ажралиши (1120) бўйича. Бир ўқли, мусбат, $\rho_{\text{тажр.}}=1.86 \text{ г}/\text{см}^3$
Фаялит - 2FeO·SiO <sub>2</sub>	1.875 $N_m=1.864$	0.051	Ромбик сингонияли, а = 4.80, b=10.59, c = 6.16 $\text{\AA}$ . (100) бўйича жадваллар. Ажралиши (010) бўйича яқъол ва (100) бўйича сесилар-сезилмас, 2V = 57°, оптик ориентири x=b, $\rho_{\text{тажр.}}=4.32 \text{ г}/\text{см}^3$
Виостит - FeO	2.32	-	Куб сингонияли, а = 4.30 $\text{\AA}$ . Z=4. $\rho_{\text{тажр.}}=5.5 \text{ г}/\text{см}^3$ Эриш нуктаси 1380°C
Гематит - $\alpha$ - Fe <sub>2</sub> O <sub>3</sub>	3.010 2.780	0.230	Гексагонал сингонияли, а = 5.04, c = 13.75 $\text{\AA}$ . Габитуси-ромбоэдр ва пластинка. Бир ўқли, манфий, $\rho_{\text{тажр.}}=5.2 \text{ г}/\text{см}^3$ . 1350°C да эрийди
Клиноферросилит - FeO·SiO <sub>2</sub> - I	- -	-	Фазавий группаси P <sub>2</sub> / <sub>1</sub> c, а = 9.70850·0.0008, b=9.08720·0.0011, c = 5.22840·0.0006 $\text{\AA}$ , β=108.432° 0.004°, V=437.60·0.1 $\text{\AA}^3$ , Z=8
Ортоферросилит - FeO·SiO <sub>2</sub> - II	- -	-	Фазавий группаси Pbca. a=18.4310 0.004, b=9.0800·0.002, c = 5.2380 0.001 $\text{\AA}$ , V=876.60·0.5 $\text{\AA}^3$ , Z=16

Ферросилит - $\text{FeO}\cdot\text{SiO}_2$ - III	-	-	-	Элементтар панжара ўлчамлари: $a = 6.57$ , $b = 7.51$ , $c = 22.68 \text{ \AA}$ , $\alpha = 115.3^\circ$ , $\beta = 80.5^\circ$ , $\gamma = 95.5^\circ$
Fe-кордирит - $2\text{FeO}\cdot 2\text{Al}_2\text{O}_3\cdot 5\text{SiO}_2$	1.574 $N_m = 1.564$	1.551 $N_m = 1.564$	0.023	Ромбик сингонияли, икки ўқли, манфий, $2V$ катта
Альмандин - $3\text{FeO}\cdot\text{Al}_2\text{O}_3\cdot 3\text{SiO}_2$		1.830	-	Куб сингонияли, $a = 11.53 \text{ \AA}$ . Қаттиқлиги 7-7.5, $\rho_{\text{тажр.}} = 4.32 \text{ г}/\text{см}^3$
Джилессит - $\text{FeO}\cdot\text{BaO}\cdot 4\text{SiO}_2$	1.621	1.619	0.002	Тригонал сингонияли, $a = 7.495$ , $c = 16.05 \text{ \AA}$ , $Z = 4$ . Бир ўқли, манфий. Қаттиқлиги 3, $\rho_{\text{тажр.}} = 3.4 \text{ г}/\text{см}^3$
Антофиллит - $7(\text{Fe},\text{Mg})\text{O}\cdot 8\text{SiO}_2\cdot \text{H}_2\text{O}$	1.597 $N_m = 1.590$	1.584 $N_m = 1.590$	0.013	Ромбик сингонияли, $a = 18.52$ , $b = 18.04$ , $c = 5.27 \text{ \AA}$ . Призма шаклли кристаллар. Икки ўқли, мусбат, $2V$ -катта
$7(\text{Fe},\text{Mg})\text{O}\cdot 8\text{SiO}_2\cdot \text{H}_2\text{O}$	1.665 $N_m = 1.647$	1.640 $N_m = 1.647$	0.025	Моноклин сингонияли, $a = 19.4$ , $b = 17.8$ , $c = 17.8 \text{ \AA}$ . Икки ўқли, мусбат, $2V = 95^\circ$
Миннесотит- $3\text{FeO}\cdot 4\text{SiO}_2\cdot \text{H}_2\text{O}$	1.618 $N_m = 1.618$	1.586 $N_m = 1.618$	0.032	Моноклин сингонияли, $a = 5.4$ , $b = 9.4$ , $c = 19.1 \text{ \AA}$ . Пластикасимон кристаллар. Икки ўқли, манфий, $2V = 5^\circ$ . Қаттиқлиги 2.5, $\rho_{\text{тажр.}} = 3 - 3.1 \text{ г}/\text{см}^3$
Нонтронит - $\text{Fe}(\text{OH})\text{Si}_2\text{O}_5\cdot 2\text{H}_2\text{O}$	1.640 $N_m = 1.637$	1.617 $N_m = 1.637$	0.023	Моноклин сингонияли, $a = 5.23$ , $b = 9.11$ , $c = 15.25 \text{ \AA}$ . Юпқа пластинкасимон кристаллар, (-), $2V = 40^\circ$ , $\rho_{\text{тажр.}} = 2.6 \text{ г}/\text{см}^3$
$\text{FeF}_2\cdot\text{SiF}_4\cdot 6\text{H}_2\text{O}$	1.384	1.364	0.020	Тригонал сингонияли, $a = 0.503$ . Бир ўқли, мусбат
Кобальтовый оливин - Фаялит - $2\text{CoO}\cdot\text{SiO}_2$	1.940	1.890	0.050	Ромбик сингонияли, сўниши- түғри, $\rho_{\text{тажр.}} = 4.677 \text{ г}/\text{см}^3$ ва $\rho_{\text{хис.}} = 4.74 \text{ г}/\text{см}^3$ . $2V$ -ўргача. Элементтар панжара ўлчамлари: $a = 5.99$ , $b = 4.77$ , $c = 10.27 \text{ \AA}$
Шпинел - $2\text{CoO}\cdot\text{SiO}_2$	-	-	-	Шпинел структурали, $a = 8.140 \pm 0.005 \text{ \AA}$ ва $\rho_{\text{хис.}} = 5.17 \text{ г}/\text{см}^3$
$\text{CoO}\cdot\text{SiO}_2$ - I	-	-	-	Ромбик пироксен структурали кристаллар
$2\text{CoO}\cdot\text{SiO}_2$ - II	-	-	-	Моноклин пироксен структурали кристаллар

Кобальтовый монтичеллит – $\text{CdO} \cdot \text{CaO} \cdot \text{SiO}_2$	1.748 $N_m = 1.738$	1.698 $N_m = 1.738$	0.050	Паст категорияли сингонияга эга, $a = 6.39$ , $b = 4.81$ , $c = 11.06 \text{ \AA}$ . Бипирамидал – призматик кристаллар, $2V = 53^\circ$ , $\rho_{\text{тажр.}} = 3.69 \text{ г/см}^3$
$\text{CoF}_2 \cdot \text{SiF}_4 \cdot 6\text{H}_2\text{O}$	1.387	1.381	0.006	Тригонал сингонияли, $a:c = 0.522$ . Призматик ва ромбоэдр кристаллар. Бир ўқли, мусбат, $\rho_{\text{тажр.}} = 2.09 \text{ г/см}^3$
Никельевый оливин – $2\text{NiO} \cdot \text{SiO}_2 - I$	2.019 $N_m = 1.987$	1.976 $N_m = 1.987$	0.043	Ромбик сингонияли, фазавий группаси $Pnma$ , оливин структурали, $a = 4.724$ , $b = 10.105$ ва $c = 5.928 \text{ \AA}$ , $Z = 4$ , оптик мусбат, узайиши мусбат, сўниши-тўғри, $2V$ -ўртада, $\rho_{\text{тажр.}} = 4.72 \text{ г/см}^3$
$\text{NiO} \cdot \text{SiO}_2 - II$	-	-	-	Шинисл структуралари, $a = 8.044 \text{ \AA}$ , $\rho_{\text{тажр.}} = 5.34 \text{ г/см}^3$
$\text{NiO} \cdot \text{SiO}_2 - I$	1.661 $N_m = 1.656$	1.653 $N_m = 1.656$	0.008	Моноклин сингонияли, $a = 7.75$ , $b = 9.02$ ва $c = 5.35 \text{ \AA}$ , ва $\beta = 91^\circ 39'$
$\text{NiO} \cdot \text{SiO}_2 - II$	1.665 $N_m = 1.661$	1.655	0.010	Ромбик сингонияли, $a = 8.66$ , $b = 17.74$ ва $c = 4.99 \text{ \AA}$
Гарнйерит – $(\text{Ni}, \text{Mg})_6(\text{OH})_6 \cdot \text{Si}_4\text{O}_{11} \cdot \text{H}_2\text{O}$	1.630 $N_m = 1.630$	1.622 $N_m = 1.630$	0.008	Моноклин сингонияли, (+), $2V = 0-10^\circ$
Бунзенит – $\text{NiO}$	2.270		-	Куб сингонияли, $a = 4.18 \text{ \AA}$ , $Z = 4$ . Кристаллари октаэдрик қиёфада. Қаттиқиги 3.5, $\rho_{\text{тажр.}} = 6.8 \text{ г/см}^3$
$\text{NiF}_2 \cdot \text{SiF}_4 \cdot 6\text{H}_2\text{O}$	1.406	1.391	0.015	Тригонал сингонияли, $c:a = 0.514$ . Кристаллари узайтирилган призмалар кўринишсида. Бир ўқли, мусбат, $\rho_{\text{тажр.}} = 2.13 \text{ г/см}^3$
Шееллит – $\text{CaWO}_4$	1.936	1.920	0.016	Тетрагонал сингонияли, $a = 5.25$ , $c = 11.36 \text{ \AA}$ , $Z = 4$ , Кристаллари пирамида ва жадвал кўринишсида. Бир ўқли, мусбат, $\rho_{\text{тажр.}} = 6.10 \text{ г/см}^3$ . Эриш цуктаси – $1570^\circ\text{C}$ .
Повеллит – $\text{CaMoO}_4$	1.984	1.974	0.010	Тетрагонал сингонияли, $a = 5.24$ , $c = 11.46 \text{ \AA}$ , $Z = 4$ , Кристаллари пирамида ва пластинка кўринишсида. Бир ўқли, мусбат, $\rho_{\text{тажр.}} = 4.20 \text{ г/см}^3$

Стронцийлии повеллит – $SrMoO_4$	1.926	1.921	0.005	Тетрагонал сингонияли, $c:a=1.574 \text{ \AA}$ , $Z=4$ , Кристаллари пирамида кўринишида. Бир ўқли, мусбат, $\rho_{\text{такр.}} = 4.15 \text{ г/см}^3$
Вулыфенит – $PbMoO_4$	2.405	2.283	0.122	Тетрагонал сингонияли, $a=5.41$ , $c=12.1 \text{ \AA}$ , $Z=4$ , Кристаллари пирамида ва жадвал кўринишида. Бир ўқли, манфий, $\rho_{\text{такр.}} = 6.75 \text{ г/см}^3$ Эриш нуқтаси – $1065^\circ\text{C}$ .
Штолынит – $PbWO_4$	2.27	2.19	0.08	Тетрагонал сингонияли, $a=5.46$ , $c=12.05 \text{ \AA}$ , $Z=4$ , Кристаллари пирамида кўринишида. Бир ўқли, манфий, $\rho_{\text{такр.}} = 7.9-8.3 \text{ г/см}^3$
Гюбнерит – $MnWO_4$	2.283	2.150	0.133	Моноклин сингонияли, $a=4.85$ , $b=5.77$ , $c=4.98 \text{ \AA}$ , $\beta=90^\circ 53'$ , Кристаллари призма кўринишида. Икки ўқли, мусбат, $\rho_{\text{такр.}} = 7.10 \text{ г/см}^3$

### Такрорлаш учун саволлар

1. Микроскоп термини нимани англатади?
2. Кристаллар дунёсини ўрганишида микроскопнинг ўрни қандай бўлган?
3. Таҳлилда аниқланадиган асосий хусусиятлар – нур синдириш кўрсаткичи ва бошқалар қандай изоҳланади?
4. Қаттиқ моддаларининг асосий хусусиятлари – симметрия ўқлари, симметрия текислиги, симметрия маркази, кристалларининг иккиланиб синиш кучи, чўзиқ кристалларининг сўниши, узайиш белгиси, кристалларининг оптик белгиси ва бурчак катталиги, габитус, кристалл ўлчами, ажралиш қобилияtlари, қўшалоқликлари, ранг ва плеохроизм ҳақида тунунча беринг.
5. Минераллар, хом ашёлар, ярим маҳсулотлар ва тайёр маҳсулотларнинг оптик хусусиятлари қандай асбоблар ёрдамида аниқланади?
6. Кристаллооптика усулида табиий ва сунъий кимёвий бирикмалар, хом ашё, материал ва буюмлар, минерал ва композицияларнинг оптик кўрсаткичлари қандай қонунларга бўйсунади ва аниқланади?
7. Микроскопнинг қандай турларини санаб бера оласиз?
8. Микроскоплар учун қандай мосламалар мавжуд?
9. МИН-8 маркали поляризацион микроскопининг асосий деталлари номини айтиб беринг.

10.Микроскопларнинг катталаштириши даражаси қандай аниqlанади?

11.Шлифларнинг қандай турлари бор?

12.Микроскопия препаратларини тайёrlаши усулини келтиринг.

13.Тупроқ минераллари, баъзи бир оксидлар ва кальций оксиidi — кремний оксиidi тизимидағи фазаларнинг оптик характеристикалари фарқи қандай?

14.Корхона шароитидаги маҳсулотлар сифатини назорат қилишида микроскопия усулидан фойдаланиш мүмкінми?

15.Усулдан фойдаланишининг имкониятларига оид маълумотларни келтириңг.

16.Усунинг афзалиги ва камчиликлари ҳақида қандай фикрдасиз?

## УЧИНЧИ БОБ

### ИНФРАҚИЗИЛ СПЕКТРОСКОПИК ТАҲЛИЛ

#### 17-§. Инфрақизил нурларининг табиати

ИҚ нурланиш биринчи марта 1800 йилда инглиз олими Уильям Герцель томонидан очилган. У термометрни қўёш спектри бўйлаб ҳаракат қўлдирганда 0.86 мкм дан юқорироқда симоб столбининг юқорилаб кетганлигини аниқлаган. Бу ҳодиса рўй берган макон инфрақизил нурланишнинг пастки чегараси эди холос. «Инфрақизил» термини Стокс томонидан 1852 йили киритилган «ультрабинафша» терминидан фарқли равишда Беккерель томонидан 1869 йили киритилади.

1834 йили Меллона томонидан ўтказилган тадқиқотлар натижасида инфрақизил нурларининг қайтарилиш ва синиш табиати ёруғлик нурланишиг табиатига ўхшаш эканлиги тасдиқланди. Бундан бироз кейинроқ Ампер ва Кноблаух томонидан янги кашф этилган нурларининг тарқалиши, қайтарилиши, поляризация ҳамда интерференцияси худди ёруғлик нурларидек кечиши, аммо улардан тўлқин узунлигининг катталиги билан фарқданиши исботланди.

Инфрақизил нурланиш спектрининг юқори чегарасига етиб бориш узоқ давом этган тадқиқотлар натижасида рўй берди. Бунинг учун жуда кўп нурланиш манбаалари текширилди, турли материаллардан ясалган призмалар ўрганилди. Натижада бу рақам 350 мкм атрофида бўлиб, у радиотўлқинлари билан чегарадош эканлиги тасдиқ тонди.

Молекуляр спектроскопия спектрал таҳлил усуслари туркумiga киради. Спектрал таҳлилда моддаларнинг кимёвий таркиби ва тузилиши атом ва молекулаларни нур ўтказиш ва қайтариш спектрларини текшириш орқали олиб борилади.

Моддаларнинг квант тузилиши назарияси, атом ва молекула ҳолатини ўзгариши, электромагнит энергия ютилиши ва нурланиши уларда фақат дискрет улушларда содир бўлиши мумкинлигини кўрсатади. Бунга модданинг атом ва молекулаларини

мураккаб тузилмали энергия даражаси мос келади. Энергия квантлар ҳолатида ютилади ва нурланади. Бу ҳолат  $h\nu$  га тенг. Бу формуладаги  $h$  - универсал константа, яъни Планк доимийлиги бўлиб, у  $6,6 \cdot 10^{-27}$  эрг. сек га тенг.  $\nu$  эса нурланиш майдони частотасидир (ИКС макони  $\nu=4 \cdot 10^{14} - 3 \cdot 10^{11}$  Гц). Атом ядроларининг ҳолатини ўзгаришида бу  $h\nu$  катта қийматга эга бўлиши зарур.  $h\nu$  энергияси электрон қобигларни ўзгаришида кичик ва молекулаларнинг ҳолатини ўзгаришида - жуда кичик катталикка эга бўлиши керак. Майдон частотаси  $\nu$  ҳам турлича бўлади: биринчи ҳолда у  $\gamma$ -нурланиш ( $0,00001-10^{-8}$  мк), иккинчи ҳолда - рентген ( $0,01-0,00001$  мк), ультрабинафша ( $0,01-0,40$  мк), кўриналигани ( $0,40-0,76$  мк) нурланиш ва ниҳоят охирги ҳолда ИК маконидаги нурланиш ( $0,76-1000$  мк).

Маълумки, электромагнит майдон билан муҳитнинг ўзаро таъсири нурланиш тўлқин узунликларида кучли тарзда ўзгарали. Масалан, ультрабинафша нурланиш фотокимёвий таъсирга, рентген ва  $\gamma$ -нурланиш- катта сингили (кириб кетиш) хусусиятига эга. ИК нурланиш фақат молекула ёки молекуладаги атомларнинг алоҳида гуруҳлари билан мулоқотда бўлади, ҳамда моддадаги кучсиз боғланган ёки “озод” ташувчи зарядлар билан ўзаро таъсирилашади.

Юқоридагиларга асосланган ҳолда ИКС усули асосида турли органик ва иоорганик гуруҳларнинг (қаттиқ бўлак ёки жисм) хоссаларини аниқлаш, нур ютилиши ёки кайтиши полосаларнинг аниқ хусусиятини бериш устида ишлар қизиб кетди. Одатий полосалар гуруҳларнинг энергетик ўзгаришида тебранма ёки айлантима даражака орасидаги энергия ҳамда электронларнинг кузатилган ҳолатидаги валент ўзгаришига боғлиқлиги аниқланди.

Органик бирикмаларнинг тузилишини ИКС усулида текшириш бундан 70 йил аввал нур қайтариш спектрларини олиш ва ўрганиш билан бошланган. Кварц 8,5 мк да 80% атрофида ИК радиация қайтаришини Никольс топган. Асримиз бошида Кобленц турли хил силикатлар тури ИК спектрларига эга эканлигини аниқлаган. Силикатларнинг нур қайтариш спектрлари бўйича Шефер, Матосси (1930-1938 й.), нур ютиш спектрлари бўйича Тарт (1950-60 й.), Флоринская (1960-1970 й.), Лазарев (1960-1970 й.) ва бошқалар (Колесова В.А., Шевяков А.М., Плюснина И.И., Солнцева Л.С.) систематик ишлар олиб боришган.

ИК нурланиш табиати кўринадиган ва радио нурланишлар табиатига ўхшандир.

ИК нурланиш- бу 0,76 дан 1000 мк гача тўлқин узунлигига (ёки тўлқин сонлари  $13160 \cdot 10 \text{ см}^{-1}$ ) электромагнит нурланиш бўлиб - ёргулук спектрлари ( $0,40 - 0,76 \text{ мк}$ ) ва радиотўлқинлар [ $\lambda > 1 \text{ см}^{-1}$  ( $1000\text{мк}$ )] оралиғидаги нурланишдир. Ҳозирги вақтда силикатларни ўрганишда кўпинча ИК нурланишининг 2дан 25-40мк гача бўлган маконлари қўлланилади.

Нормал ИК нур оқими силлиқланган, ясси модда юзасига тушганда:

- ундан қайтали;
- модда заррачаларида ютилади ва ёйилади;
- нур ўтказади.

ИК нурларини қайтариш спектрлари қўйилдаги формула орқали топилади:

$$I_p = \rho \cdot I_o.$$

бу ерда,  $I_p$  - қайтган нурлар оқими;

$\rho$  - модданинг нур қайтариш коэффициенти;

$I_o$ - модда юзасига тушаётган нормал нур оқими.

ИК нурларнинг ўтқазиш спектрлари қўйидагича топилади:

$$I = (1 - \rho^2) I_o \cdot e^{-kt},$$

бу ерда,  $k$  - модданинг нур ютиш коэффициенти;

$t$  - нур ютаётган қаватнинг қалинлиги.

Нур қайтиш ва ўтқазиш спектрларининг қиймати қўйидагиларга боғлиқ:

1) нур ютиш коэффициенти  $k$ , нур қайтариш коэффициенти  $\rho$  ва модданинг нур синдириш кўрсаткичи  $n$  га;

2) кристалл панжара сингонияларига;

3) тузилмаларнинг массалар ва ион радиусларига, бунда масса қанча кўп бўлса, бир сингония кристаллари нур ютишининг асосий полосалари шунча кўп узун тўлқинли макон тарафига силжайди;

4) панжарарадаги изоморф қўшилмалар ва бошқа факторларга.

## 18-§. Моддаларнинг инфрақизил спектрлари

ИК маконида нур ютилиши, асосан ИК нурланиши таъсирида модда молекулалари ёки ионларининг айланма ва тебранма ҳаракат ўзгариши, баъзан уларнинг электрон қобиблари деформацияга учраши билан изоҳданади. Энг кўп ИК нурининг ютиши кристалл панжара ва унинг компонентлари (молекула,

ионлар)нинг тебраниш частоталарига амалий жиҳатдан мос келади. Бу тебранишларнинг ҳолати ва частоталари модданинг табиатига, молекулалари (ионлари) жойлашишига, улар орасидаги масофа ва бошқаларга боғлиқ.

Модда ҳолатига тебраниш частоталарининг боғлиқлигини умумий кўринишда қўйидагича ифодалаш мумкин:

$$v = 1/2\pi c \gamma / k,$$

бу ерда,  $v$  - тебраниш частотаси;

$k$  - келтирилган мураккаб анионнинг атом массаси;

$\gamma$  - кучланиш доимийлиги.  $XO_4$  тетраэдр учун  $1,86 \times 10^5 / R - d_i$  га тенг бунда,  $R$  - ион радиуси;

$d_i$  -  $XO_4$  тетраэдрга кирувчи,  $X$  атоми учун одатий ва берилган атомни элементлар даврий жадвали ўрнига боғлиқ константа;

$C$  - модданинг константаси.

Валент боғлар бўйича содир бўладиган тебранишлар валент тебранишлари, уларга перпендикуляр бўлганлари эса деформациян тебранишлар дейилади.

ИК нурларни ютиш спектрлари ёрдамида тузилишини ўрганиш ва текшириш усусларидан келиб чиқсан ҳолда (препарат тайёрлаш, текшириш учун апарат танлаш) қаттиқ моддалар икки синфга бўлинади:

1) Бир тартибли мураккаб бўлмаган гуруҳ компонентлари (ионлари, молекулалари) орасидаги масофа ва энергияга боғлиқ бўлган кристалл модданинг ИК нурларни ютиш спектрлари.

Кристалл модда умумий равишида бир молекулани намоён этади. Бундай моддаларда фактат оддий панжараларнинг бошқаларга нисбатан тебраниши базис ячейкаларининг айланиси панжаранинг бузилишига олиб келади. Бундай панжара тебранишларини ҳисоблаш мураккаб, бунда кўп сонли ионларнинг боғлиқлигини ҳисобга олиш лозим. Бир қанча соддланиширишлардан мумкин бўлган тебранишлар сони ёки нур ютиш полосаларини аниқлаш мумкин. Бундай кристаллар таркибига нисбатан оғир ионлар киради, шунинг учун уларнинг тебраниш частоталари узун тўлқинли спектрларда (12-15 мк дан катта ёки  $800-700 \text{ см}^{-1}$  дан кичик) намоён бўлади.

Моддаларнинг аморфлик ҳолатининг уларнинг ИК спектрларга таъсири етарлича ўрганилмаган. Аморфизацияда ютилиш полосалари кенгайиб, уларнинг нозик тузилмаси йўқолиши мумкин.

Ҳозирги кунда бирорта маълум кристалл тузилма ёки аморф модданинг ҳамма тебранишларини аниқлаш (модданинг барча ютиш полосалари ҳолати) ва аксинча, маълум бўлган ИК нурларини ютиши спектрлари орқали ионларнинг кристалл панжараларида жойлашишини олдиндан айтишнинг имконияти йўқ ва моддаларнинг тузилишидаги бальзи ҳолатларнигина ИК нур ютиш спектрларини ўрганиш орқали аниқлаш мумкин.

Масалан, кубик сингонияга эга кристаллар (Шефер, Матосси, 1935 й.) ўзининг биттадан тебраниш частотасига эга. Улар массасининг тебранувчи атомлари массаси қанча кўп бўлса, бу полоса шунча узун тўлқинли маконда сурилган бўлади:

$$\text{MgO } \lambda = 14,2 \text{ мк (704 см}^{-1}) \quad \text{KCl} = 63 \text{ мк (159 см}^{-1})$$
$$\text{CaO } \lambda = 22 \text{ мк (455 см}^{-1}) \quad \text{NaCl} = 52 \text{ мк (192 см}^{-1})$$

Кубик сингонияга эга бўлган кристалларнинг бир қанчасида битта ўринига иккита максимумли нур ютиш полосалари мавжуд (масалан, NaCl учун иккинчи нур ютилиш  $\lambda=39$  мк га мос келади (Лекоント, 1958 й.). Бу фақат шартли равишда Борннинг кристаллодинамик назариясининг тахмини бўйича - панжаранинг қўшимча тебрапишлари, қўшни элементар ячейкаларнинг атомлари эквивалент ҳолатда қарши фазада тебраниши орқали тущунтирилади. Бундай тебранишлар сони катта бўлиши мумкин. Масалан, юқори панжарали кварц учун назарий жиҳатдан 189 тебраниш бўлиши мумкинлигини кўриш мумкин.

ZnO ва BeO (гексагонал сингонияда) типидаги оксидлар мураккаб нур ютиш спектрига эга. Бундай кристалларнинг элементар ячейкасида 4 атом мавжуд ва шахсий тебранишлар сони  $3\times 4 - 6 = 6$  ни ташкил этади, улардан Брестер бўйича фақат 2 таси актив, Тольксдарф бўйича эса учтаси: BeO= 8,2 мк (1222 см<sup>-1</sup>); 10,7 мк (935 см<sup>-1</sup>) ва 14 мк (713 см<sup>-1</sup>); ZnO= 15,2 мк (658 см<sup>-1</sup>); 22 мк (455 см<sup>-1</sup>) ва 28 мк (357 см<sup>-1</sup>).

2) Ички кучларининг боғланиши группаларро боғланишга нисбатан кучли бўлган, ўзининг тузилмасида мураккаб гурухга (ионлар, молекулалар) эга бўлган кристалл моддаларнинг ИК нур ютиш спектрлари.

Агар панижарада анион ва катионлар комплекси ёки гурух атомлари ўзаро мустаҳкам боғланган бўлса, интерпретация ва тебранишлар ҳисоби ёки уларга мос келувчи нур ютиш полосаларини аниқлаш ва модданинг тузилишини ИК спектрлар орқали ўрганиш жуда осон бўлади. Бу гуруҳларни (масалан,

$[SiO_4]^{4-}$ ) старли даражада изолировка қилинган ва уларни катта бўлмаган атомлар сонидан ташкил топган молекула деб қараши мумкин.

Мураккаб гуруҳдан ташкил топган моддаларнинг тебранишини:

а) ички тебраниш, яъни комплекс гуруҳ атомларининг ички тебраниши;

б) ташкил тебраниш, яъни бошқа гуруҳ ёки атомларга нисбатан комплекс гуруҳ тебранишига киритиш мумкин.

Кристалларнинг айрим бўлакларини ажратиш ва уларнинг тебранишини тажриба билан кўриш исботлайдики: агар гуруҳни ташкил этувчи элементларнинг атом оғирлиги қўшни гуруҳ элеменларининг атом оғирлигидан маълум равишда фарқ қиласа.

Бундай ҳолларда гуруҳ учун барча шахсий тебраниш ва уларни симметрияга таъсиirlарини назарий жиҳатдан ҳисоблаш мумкин. Полосалар кўриниши, ҳолати ва сони бўйича умумий ҳолда қайси гуруҳ бирикма таркиби (кристалл панжара)га кириши ва унинг тузилиши ёки кристалл панжара таъсиридаги унинг деформациясини аниқлаш мумкин. Гуруҳ тузилиши (деформацияси) кўпроқ ундаги атомларнинг сони ва жойлашишига боғлиқ. Бундан ташқари, баъзан қаттиқ моддаларда гуруҳлар, бошқа ион ёки нейтрал зарралар орасидаги ўзаро таъсири билан комплекс гуруҳ тузилишида (унинг симметрияси ва баъзи боғларда тебраниш частотаси ўзгариши) комплекс гуруҳ тузилишида ўз аксини топади.

Шунга жавобан 2 - синф қаттиқ моддалар тузилишининг аҳамиятига кўра, амалий жиҳатдан ИҚ нур ютиш спектрлари ўртасидаги боғланиши қўйидагича белгиланади:

1) нур ютиш полосасининг сони гуруҳ симметрияси ва атомлари сонига боғлиқ;

2) Гуруҳларнинг нур ютиш полосалари ва уларнинг силжишлиари ҳамда бошқа гуруҳлар (ёки катионлар ва нейтрал заррачалар) ва бир хил гуруҳларнинг ўзаро жойлашишига боғлиқ.

Гуруҳларнинг маълум даражада қонуний жойлашиши масаласига келсак, масалан, бир турли сингония кристаллари учун, текширилаётган мураккаб гуруҳнинг нур ютиш полосаси ҳолати қўшни гуруҳ ўлчамлари ва массаси билан аниқланади. Бу ҳолат модданинг инденификацияси ёки модда синфини (масалан, кислота, альдегидларнинг тузи, катионлар ва бошқалар) аниқлаш учун асос бўлиб хизмат қиласи.

Баъзи минераллар (доломит, людвигит, гранат, хлорит) учун ИҚ нур ютиш полосаси изоморф гуруҳлар ҳолатига тўғри про- порционал равишда силжиши топилган (Архипенко, 1963 й.; Александров, 1965 й.; Ковалев ва бошқалар, 1965 й.). Бу шуни билдирадики, изоморф гуруҳ (ион) текширилаётган гуруҳ нур ютиш полосасини силжишини юзага келтиради. Минералнинг механик қўшилмалари эса текширилаётган модданинг нур ютиш полосаси ҳолатида ўзгаришлар содир этмайли. Кўринишидан нур ютиш спектри бўйича моддадаги компонентларнинг шаклини чиқиши ва полосанинг силжиш катталиги бўйича изоморф қўшимчалар сонини аниқлаш имконини беради.

Модданинг кристаллигини ИҚ нур ютиш спектрларига таъсири, баъзи гуруҳларнинг нур ютиш полосаларини сони ва парчаланиши билан ифодаланади, чунки парчаланиш таъсифи кристалл панжара тури билан аниқланади. Аморф моддаларда парчаланиш полосаси кузатилмайди.

Кристалл ва аморф моддаларда гуруҳ (ион, нейтрал заррача)нинг ўзгариши (изоморфилиги)ни текширилаётган гуруҳнинг нур ютиш полосасини бироз силжишига олиб келади. Бунда кўпинча ҳар бир полосанинг парчаланиш ҳолати сақланади. Баъзан полосанинг интенсивлик нисбати ўзгаради.

$\text{XU}_4$  гуруҳ ( $\text{SiO}_4^{4-}$ ,  $\text{SO}_4^{2-}$ ,  $\text{PO}_4^{3-}$  ва бошқалар) тўғри тетраэдрда намоён бўлса, иккита тебраниш частотасига эга ва агар тетраэдр қайишганроқ бўлса, тўртта тебранишга эга. Чунки мос келувчи нур ютиш полосалари бу ҳолда парчаланади. Берилган намунадан нур ютиш полосалариниң сони ва кўриниши бўйича гуруҳ тузилиши ҳақида хulosа қилиш мумкин.

Тетраэдрларнинг деформацияга учраши ва унинг натижасида инфрақизил нурларни ютиш чизиқлари ўзгариши мумкинлигини биринчи маротаба Бресстер қайд этган. Модда таркиби-га кирган элементнинг атом оғирлиги, радиуси, атомлар орасидаги масофа ва кимёвий боғланиш тури – ионли, ковалентли, металли, водородли ва ҳоказога қараб ютилиш чизиқларининг қиймати ва ҳолати ўзгаради. Шунинг учун инфрақизил нурларини ютиш даражаси, полосалар сони ва кўринишига қараб қайси гуруҳ ёки модда устида гап кетаётганлиги ҳақида фикр юритиш мумкин.

Масалан, ютилиш полосалари тааллуқли: силикатлар ва  $\text{SiO}_4$  га- 1100-900, 830-740 ва 500-400  $\text{cm}^{-1}$ ; боратлар,  $\text{BO}_3$  ва  $\text{BO}_4$  ларига- 1300-1150, 1050-900 ва 780-660  $\text{cm}^{-1}$ ; фосфатлар ва

$\text{PO}_4$  га-1100-1000, 830-780 ва 650-500  $\text{cm}^{-1}$ ; арсенатлар ва  $\text{AsO}_4$  га-900-780, 550-400 ва 350  $\text{cm}^{-1}$ ; сульфатлар ва  $\text{SO}_4$  га-1250-1000, 650-610 ва 450  $\text{cm}^{-1}$ ; карбонатлар ва  $\text{CO}_3$  га-1450-1410, 880-860 ва 740-680  $\text{cm}^{-1}$ ; нитратлар ва  $\text{NO}_3$  га-1380-1350 ва 840-815  $\text{cm}^{-1}$ ; вольфраматлар ва  $\text{WO}_4$  га-930-810, 450-400 ва 320  $\text{cm}^{-1}$ ; молибдатлар ва  $\text{MoO}_4$  га-950-810, 450-400 ва 320  $\text{cm}^{-1}$ ; ванадатлар ва  $\text{VO}_4$  га-1150-730, 480-450 ва 350  $\text{cm}^{-1}$ .

## 19-§. Кальцит минералининг инфрақизил спектрлари ҳақида

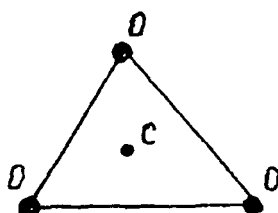
Кальцит минерали  $\text{CaCO}_3$  табиатда кўп тарқалган табиий минераллар туркумига киради. У боғловчи ва шиша маҳсулотлари ишлаб чиқаришда кенг қўлланиладиган хом ашё бўлиб хизмат қиласди.

Сувсиз карбонатлар, шу жумладаң, кальцит минералининг инфрақизил спектрларини ўрганиш 1950-1963 йиллар давомида Адлер, Келлер ва Кэрр томонидан амалга оширилган. Кальцит — доломит аралашмасидан минералларни ажратиб олиш методикаси Хант ва Тернер томонидан 1962 йили ҳал этилди. Турли карбонат минераллари микдорини уларнинг аралашмаси спектрларидан аниқлашга Честер томонидан 1967 йили уриниб кўрилди.

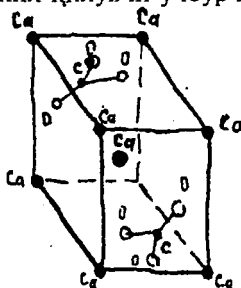
Табиий ва синтетик карбонатлар ИК спектрини текшириш 1952-1971 йиллар ичida Миллер, Вайт, Анжино, Ле Наво, Харитонов ва бошқалар томонидан систематик равишда олиб борилди. Натижада карбонат минераллари спектрларининг асосий частоталари аниқланди:

Модда	$\nu_1$	$\nu_2$	$\nu_3$	$\nu_4$
Кальцит- $\text{CaCO}_3$	-	879	1429-1492	706
Арагонит- $\text{CaCO}_3$	1080	866-852	1492-1504	706
Магнезит- $\text{MgCO}_3$	1096	886-851	1460	735
Доломит- $\text{CaMg}(\text{CO}_3)_2$	-	880-857	1460	727-697
Стронцианит- $\text{SrCO}_3$	1070	841-871	1461	702
Родохрозит- $\text{MnCO}_3$	-	848-871	1430	727
Смитсонит- $\text{ZnCO}_3$	-	859-858	1428	743
Ватерит- $\text{BaCO}_3$	1060	837-840	1435	687
Церусит- $\text{PbCO}_3$	1051	839	1397	678-668

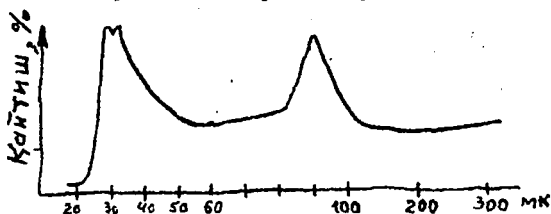
Куйида  $\text{CaCO}_3$  минералининг ИК спектрлари баталасилроқ кўриб чиқилади.  $\text{CaCO}_3$  - кальцит: У  $\text{CO}_3^{2-}$ - группасидан ташкил топган ва С атомлари ясси бир хил томонли учбурчак марказини ҳосил қиласди. Бу ерда тўртта шахсий тебраниш, ҳар бирига мос келувчи ўзининг нур ютиш полосаси бўлиши мумкин. Углероднинг координацион сони 6 га тенг. Куйида учбурчак ёки пирамида (11-расм), кальцит тузилиши (12-расм), унинг ИК нурларини қайтариш (13-расм) ва ютиш (14-расм) спектрлари берилган.



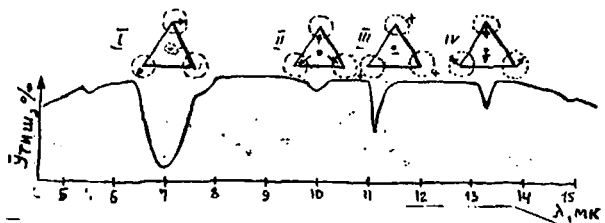
11-расм. Кальцитни ташкил қилувчи учбурчак ёки пирамида.



12-расм.  $\text{CaCO}_3$  нинг тузилиши.



13-расм. Кальцитнинг нур қайтариш спектри.



14-расм. Кальцит минералининг ИК нурларини ютиш спектрлари.

Кальцитининг ИК нур ютиши спектрларида ва  $\text{CO}_3^{2-}$  мурекаб анионида атомларининг ҳар бир нур ютиига мос келувчи шахсий тебранишлари шартли кўрсатилган (14-расм). Юқори нур ютилиш максимумлари ички тебраниш  $\text{CO}_3^{2-}$ -комплекс анион атомларининг тебраниши билан аниқланади. 14-расмда келтирилган ИК нурларини ютиш спектрида 4 та полоса мавжуд бўлиб, кўйидаги тебранишларни англатади: I-тебраниш (7 мк области)- икки атом О бир-биридан узоқлашади, учинчи атом О ва марказий С ҳаракатини олдинги икки атомга нисбатан перпендикуляр йўналиши бўйича бажаради.

Агар  $\text{CO}_3^{2-}$  учбурчаги ясси бўлса, унга фақат битта нур ютиш полосаси мос келади. Нотўғри пирамида ёки ҳар хил томонли учбурчакда бу полоса ўрнига қиймати яқин бўлган (шахсий частотанинг парчаланиши содир бўлади) иккита полоса пайдо бўлади.

2-тебраниш (10 мк макон)- учбурчак марказидаги атом С ҳаракат қилмайди, лекин О атомлари (учбурчак чўққисидаги) марказ билан чўққи орасидаги чизиқда тебраниш ҳосил қиласди.

Бундай тебраниш ясси учбурчак ҳолатида электрик моментини ўзgartирмайди ва шунинг учун у ИК майдонида ноактив, нур ютиши кузатилмайди ёки полоса ўта кам интенсив бўлади. Агар учбурчак тўғри бўлмаса ёки у пирамида кўринишида бўлса, ютиш полосаси пайдо бўлади.

3- тебраниш (11 мк макон)- С атоми тебраниши учбурчак юзасига перпендикуляр йўналиш бўйича бўлади, О атомлари учбурчак юзасининг батзи бир бурчаклари бўйича қарамакарши равишда содир бўлади.

Нур ютилиши ҳар қандай ҳолат (ясси учбурчак, томонлари ҳар хил учбурчак ёки пирамида) да содир бўлади.

4-тебраниш (13,5 мк макон)- иккита O<sup>-</sup> атомлари бирбиридан узоқлашади, учинчи O<sup>-</sup> атоми бу вақтда учбурчак юза-сида аниқ траектория бўйлаб ҳаракат қиласи.

Агар CO<sub>3</sub><sup>2-</sup> томонлари бир хил учбурчак бўлса, битта нур ютии полосаси бўлади, агар томонлари ҳар хил учбурчак ёки пирамида бўлса, бунда тебраниш иккита мос келмайдиган, қийматлари жиҳатидан эса бир-бирига яқин бўлади.

## 20-§. Таҳлил имкониятлари

Инфрақизил спектроскопик таҳлилдан қуйидагиларни текширишда фойдаланилади:

- а) кимёвий бирикмалар;
- б) минераллар;
- в) тупроқлар;
- г) қурилиш материаллари;
- д) керамик ҳом ашёлар ва бошқалар.

Текширишдан кузатилган мақсад:

1) Бирикма, минерални диагностика қилиш учун (сони, нарчаланиши ва полосаларининг ҳолати бўйича).

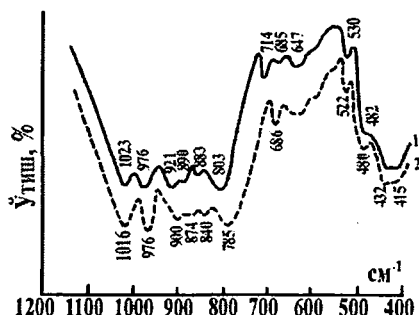
Бу ҳолатни расшифровка қилишнинг икки моменти бор:  
а) иккинчи минерал номаълум, спектрлар бўйича биз уни геленитларга хослигини ва унинг  $Mg_2^{2+}$   $Mg_2^{3+}$   $Mg^{4+}O_7$  кўрининишидаги формулага эга дейишимиз мумкин; б) синтетик Sr<sub>2</sub>Al<sub>2</sub>SiO<sub>7</sub> оксидларидан синтез қилинган ва хоссалари бўйича у геленитга мос келади (15-расм).

2) Ярим миқдорий кимёвий таркибни аниқлаш учун: Масалан, айтайлик 4-чи намуна таркиби номаълум, лекин 3-чи намуна таркибини билган ҳолда ёзамиш: Ca<sub>16</sub> TR<sub>8</sub> Al<sub>8</sub> Si<sub>16</sub> O<sub>72</sub> (16-расм).

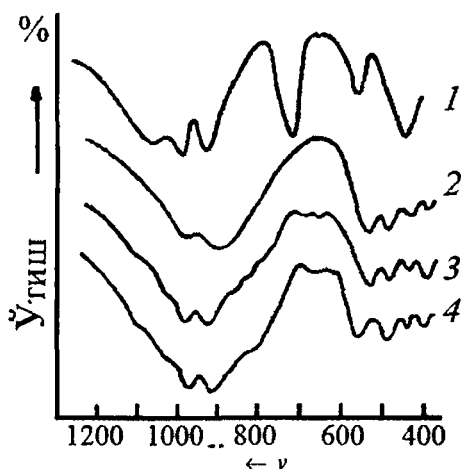
3) Кристалл ёки аморф моддаларнинг кристалланиш даражасини аниқлаш учун. 17-расмда 15-чи спектр LaMgAlSiO<sub>6</sub> моддасига тегишли бўлиб, унинг поликристалларидан иборат, 1-чи спектр CaMgSi<sub>2</sub>O<sub>6</sub> га тааллуқли бўлиб, унинг шишасимон ҳолатда эканлигини тасдиқлайди. Намуналар 1550°C ли ҳароратда 1 соат давомида синтез қилинган ва тез тобланган.

4) Модладаги мураккаб грухларнинг таҳлили (18 ва 19-расмлар), масалан, SiO<sub>4</sub>, AlO<sub>4</sub>, AlO<sub>6</sub>, MgO<sub>4</sub>, MgO<sub>6</sub> ва бошқа анионлар (нур ютии полосаси ҳолати ва миқдори бўйича аниқланади).

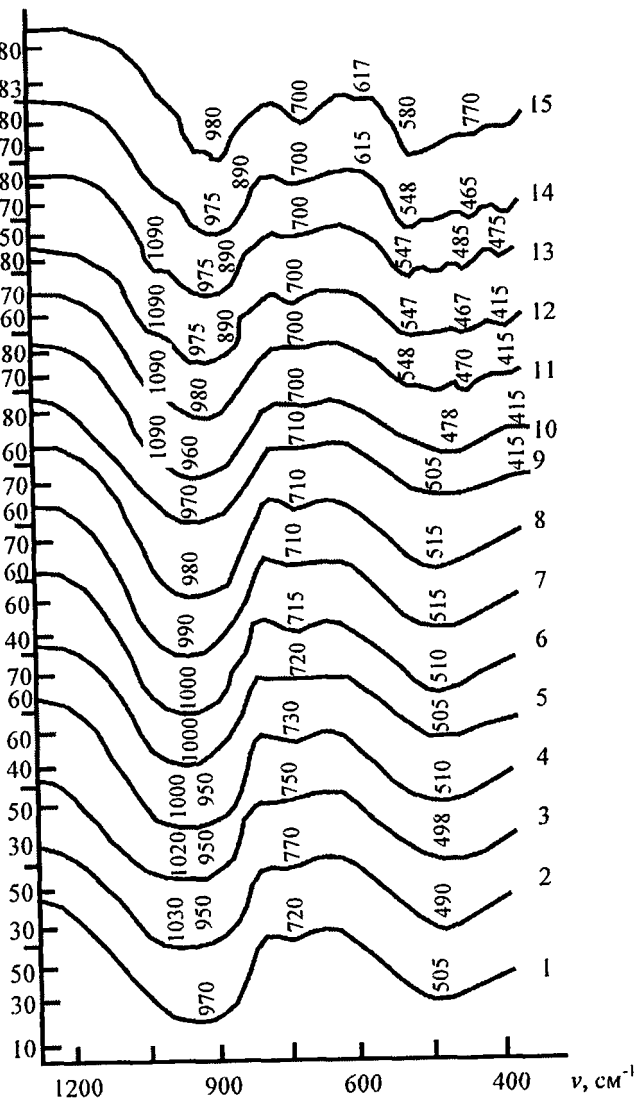
5) Моддаларнинг қиздириш ва бошқа турли реакцияларда ўзгариш жараёнини (янги модда шайдо бўлиши, фазалар аралашмаси, оралик маҳсулотлар, диссоциация ва бошқалар) ўрганиш.



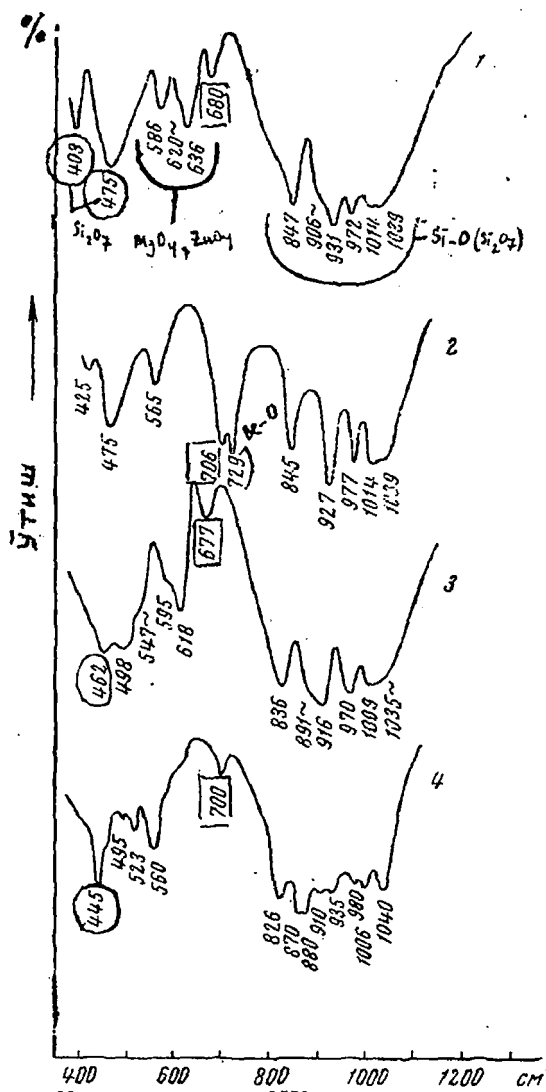
15-расм. Синтетик мелилитларнинг ИК нур ютиш спектрлари:  
1- $\text{Ca}_2\text{SiAl}_2\text{O}_7$ ; 2-  $\text{Sr}_2\text{SiAl}_2\text{O}_7$ .



16-расм. Кристалларнинг ИК нур ютиш спектрлари:  
1- $\text{CaSiO}_3$ ; 2- $\text{La}_{9.34}(\text{SiO}_4)_6\text{O}_2$ ; 3- $\text{Ca}_{16}\text{La}_8\text{Al}_8\text{Si}_{16}\text{O}_{72}$ ;  
4- $\text{Ca}_{16}\text{Nd}_8\text{Al}_8\text{Si}_{16}\text{O}_{72}$ .



17-расм. CaMgSi<sub>2</sub>O<sub>6</sub> – LaMgAlSiO<sub>6</sub> тизимидағи синтез қилинган моддаларнинг ИК нур ютиш спектрлари.



18-расм. Кристалларнинг ИК нур ютиши спектрлари:

- 1-окерманит  $\text{Ca}_2\text{MgSi}_2\text{O}_7$ ;
- 2-бериллийли окерманит  $\text{Ca}_2\text{BeSi}_2\text{O}_7$ ;
- 3-рухли окерманит  $\text{Ca}_2\text{ZnSi}_2\text{O}_7$ ;
- 4-кўргошинли окерманит  $\text{Pb}_2\text{ZnSi}_2\text{O}_7$ .

6) Кўшимчалар таркибиини ўрганиш: 1-5% дан кам бўлмаганда изоморф, механик (кўшимчаларнинг изоморфлиги ҳолатини аралашишӣ ва дастлабки модданинг интенсив нур ютиш полосаларининг силжиши ва бир вақтла баъзи бир полосалар интенсивлигининг ўзгариши билан намоён бўлади).

7) Минерал тузилмадаги сувнинг ёки намликнинг шакли ва турини аниқлаш учун.

8) Тузилманинг тартибилилиги ва тартибсизлилиги (тартибсизлик ҳолатида полосалар чўзилган ва интенсивлиги пасай-ган бўлади) иш аниқлаш мумкин.

9) Фазалар ёки кўшимчаларнинг миқдорини аниқлаш (жуда ҳам аниқ эмас). Бундай ҳолда кўшимчанинг изоморфлиги (аниқлик о 0,5 % атрофида) ҳолати полосаларининг силжиши одатда кирувчи элементларнинг (группанинг) изоморфлик миқдорига тўғри пропорционал бўлади.

Механик кўшилма ҳолда (аниқлик о 1%) икки ва ундан ортиқ минераллар аралащмаси - хар бир минералини нур ютиш полосалари интенсивлиги аралашма минералларининг нисбий миқдорига тўғри пропорционал.

10) Полиморф ўзгаришларни ва нуқталарни ҳамда Кюри нуқталарини (сегистоэлектрик-  $\text{BaTiO}_3$ ) аниқлаш учун.

11) Кристалл фаза ёки шишани (масалан, оптик шишалар) бир таркибилигини назорат этиш учун.

12) Моддаларнинг нур синдириш кўрсаткичи (дисперсия)ни аниқлаш учун;

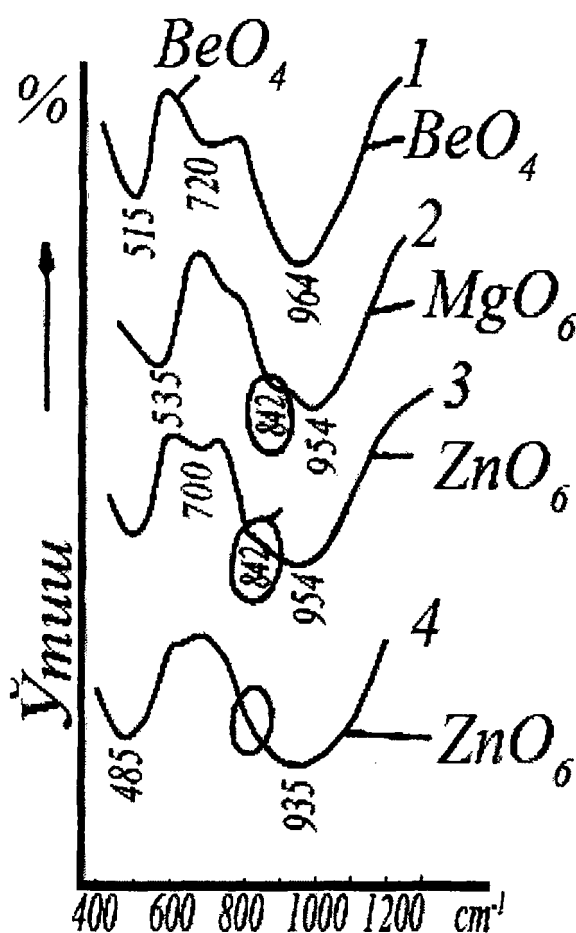
$$n_1^{2-1} / n_1^{2+2} = (n_2^{2-1}) \lambda_1^2 / (n_2^{2+2}) \lambda_2^2 / \ln J_1 / J_0 / \ln J_2 / J_0,$$

бу ерда  $n_1$  - модданинг  $\lambda_1$  тўлқин узунлигига мос келувчи қидирилаётган нур синдириш кўрсаткичи;

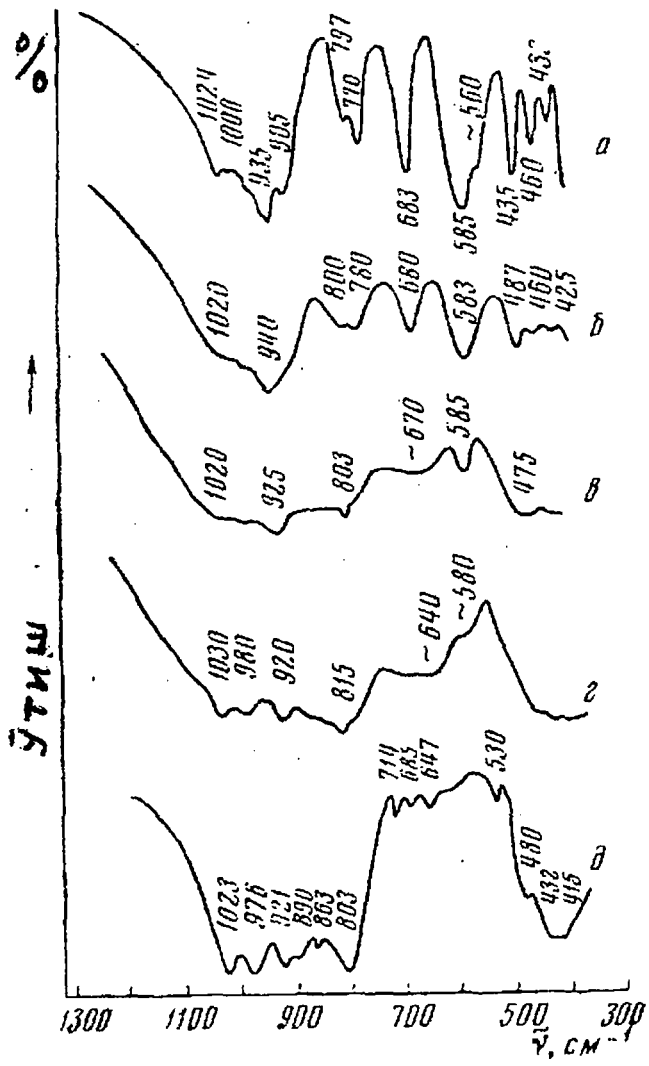
$n_2$  -  $\lambda_2$  - тўлқин узунлиги учун матъяум нур синдириш кўрсаткичи;

$J_1$  ва  $J_2$  - моддадан  $\lambda_1$  ва  $\lambda_2$  тўлқин узунлигига ўгаётган нурланиш интенсивлиги.

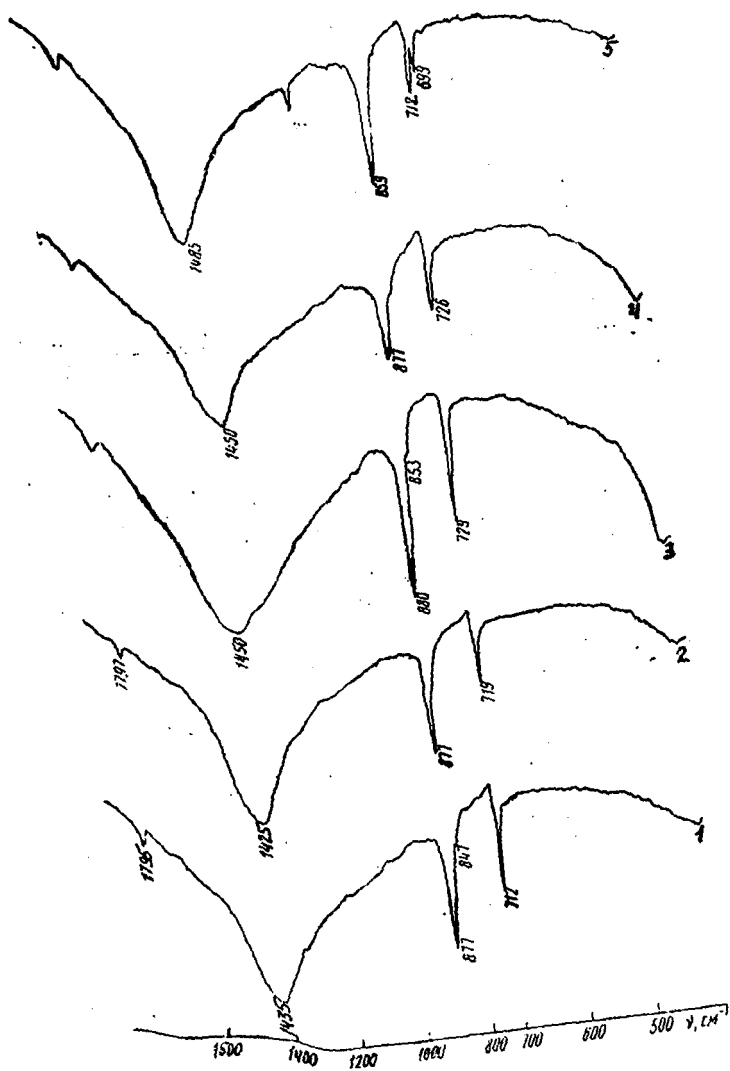
13) Ионлар, атомларнинг ўлчамлари ва ионлар орасидаги бурчакларни аниқлаш учун,  $\% \text{SiOSi}$ .



19-расм. Шишаларнинг ИК нур ютиши спектрлари:  
 1-бериллийли окерманит;  
 2-окерманит;  
 3-гардистонит;  
 4-қўроғошинли гардистонит.



20-расм. ИК нур ютиш спектрлари: а)  $\text{Y}_2\text{SiBe}_2\text{O}_7$ ; б)  $\text{Ca}_{0,5}\text{Y}_{1,5}\text{SiAl}_{0,5}\text{Be}_{1,5}\text{O}_7$ ; в)  $\text{CaYSiAlBeO}_7$ ; г)  $\text{Ca}_{1,5}\text{Y}_{0,5}\text{SiAl}_{1,5}\text{Be}_{0,5}\text{O}_7$ ; д)  $\text{CaSiAl}_2\text{O}_7$  (намуналар KBr аралашмаси билан пресс-лаб тайёрланган).



21-расм. Карбонатларнинг инфрақизил нур ютиш спектрлари: 1-кальцит, 2-кобальтли шпат, 3-доломит, 4-анкерит ва 5-арагонит.

## **21-§. Усулнинг афзалиги ва камчиликлари**

**Афзалиги:**

1. Текширув учун жуда оз миқдорда (1-10 мг) модда олини.
2. Қатлам қалинлиги бир неча микрондан иборат бўлиши.
3. Текширув учун олинган намунада йўқотишлар содир бўлмайди.

4. ИК нурланишдан текширилаётган моддада кимёвий ва физикавий ўзгаришлар содир бўлмайди.

5. Маълум группалардаги атомларнинг жойлашиши, фазавий ҳолати ва умуман жуда нозик тузилма таҳлилини олиб бориш имконияти.

6. Тажриба натижаларининг автоматик равишда фотокоғозга тушириш.

7. Тез парчаланиб кетувчи, ўзгарилишнинг кичикилигидан кристаллооптик ва рентгенографияда тутиб бўлмайдиган баъзи номаълум кристалларни топиш.

8. Моддаларни ИК спектрининг ҳамма тўлқин узунлигига нур синдириш кўрсаткичини аниқлашга имкон беради;

**Усулнинг камчиликлари:**

1. Жуда оз миқдордаги қўшимча (1-5 % дан кам) ва баъзи жуда ҳам кам группировкаларни намоён этмайди;

2. Микдорий анализ натижаларининг юқори даражада эмаслиги.

3. ИК нурларини қайтариш спектрларини олишни бироз қийинлиги.

4. Решетканинг ички тебранишлари билан анионлар тебраниши ўргасидаги боғлиқликни кўрсата била олиши.

5. Кристаллнинг майдон кучланишини ифодаловчи коэффициентлар тўпламини етарли даражада ишончли эмаслиги.

6. Қиймати жиҳатидан яқин ва изоморф ўзгарувчан атомларнинг тебраниш частоталарини иденификациясидаги қийинчилик.

7. Моддаларни механик майдалашда ва КВг билан таблеткалар преслашда тузилма ўзгариши эҳтимолдан ҳоли эмас. Яна текширилаётган модда кристалларининг КВг билан аралашиб кетиши.

8. Кукуннинг баъзи қисмларида нурланишнинг ҳар хил ўтириши натижасида нур қайтариш ва ютилишида ноаниқ эффектларнинг пайдо бўлиши.

## 22-§. Инфрақизил спектроскопия усули аппаратлари

Инфрақизил макони, юқорила қайд этилганидек спектрнинг бир қисми бўлиб, унинг тўлқин узунлиги қизил рангли ёруғлик спектри (750 ммк) тўлқин узунлигидан катта. Инфрақизил спектрининг юқори чегараси тахминан 350 мк атрофида жойлашган. Буни тадқиқ қилиш учун спектрал усуллар, жумладан, иссиқлик чиқишини қайд этиш усуллари қўлланилиши даркор.

Бу усулда қўлланадиган жиҳозлар спектрометр ёки спектрофотометр деб аталади. Ушбу приборлар ёрдамида нурчиқин интенсивлилиги ўлчанади ва улар детекторли қурилмага фокусировка қилинади. Диспергирлашган элементнинг турига қараб улар уч асосий синфларга ажралади: призмали, дифракционли ва комбинировкалашган призма-дифракционли. Приборлар тузилишида фарқлар бўлишига қарамасдан, уларнинг хаммаси автокоалимацион типга тааълуқли. Ўта перспективли, аммо кам тарқалган аппаратлар турига интерференцион спектрал жиҳозлар киради.

Микроскопик таҳлил орқали моддаларнинг фазовий таркиби ва тузилиши ҳақида маълумот олишимиз мумкин. Лекин бу усул орқали атомлар орасидаги кимёвий мулоқот, радикал ва группалар тузилишига оид натижаларни олиб бўлмаслиги ҳақида юқорида сўз юритган эдик.

Группа ёки радикалларга оид маълумотлар, катионларнинг анионлар билан берадиган валент тебранишларини аниқлашда инфрақизил спектроскопик таҳлил яхши натижа беради. Инфрақизил нурларни ютиш ва қайтариш спектрлари билан қаттиқ модда таркибидаги комплекс группалар ва радикаллар тузилишини орасида назарий боғлиқлик бор. Шу боғлиқлик текширилаётган модда билан этalon инфрақизил спектрларини солиштириш ва бошқа усуллар орқали амалга ошади.

Агар ИК спектрларини ўрганиш нур қайтариш спектрларидан бошланган бўлса, 1933 йилларда Пфунд ва Барнес ишларидан кейин кристалл моддаларнинг нур ютишини кукуйларнинг юпқа қаватларини қўллаб ИК спектрларини олиш бошланган. Бу янгиллик ўрганилаётган моддаларни монокристалл ва тупроқли силикатлар ҳисобига кўпайтириш имконини берди.

Аморф модда ва ишиша тузилма ИК спектрларида текшириш Флоринская номи билан (Ленинград, Вавилов номли Давлат оптика институти) ҳамда юқори ҳароратли ИК спектро-

скопияни ривожланиши А.М. Шевяков (Ленсовет номли технология институти, Ленинград) номи билан боғлиқ. ИК спектроскопияни амалий ривожланишига Россиялик олимлардан яна Г.Б.Бокий, А.А. Лебедев, А.Г. Власов, В.А. Колесова, И.И. Плюснина каби фан намоёндадари ҳам катта ҳисса қўшишган.

Номлари юқорида қайд этилган чет эл олимлари инфрақизил спектроскопия усулининг амалий асосларини ишлаб чиқишига ҳам катта ҳисса қўшган. Янги силикат ва зўрғасуюлувчан материалларни бу усул билан тадқиқот қилишида Ўзбекистонлик олимлар - Н.А.Сирожиддинов, Б.И.Нудельман, Т.А.Отақўзиев, С.С. Қосимова, А.А.Исматов ва бошқаларнинг ҳам хизматлари жуда катта.

**Текшириш учун ускуналар.** ИК нурларини ўтказиш, нур қайтарилиши ва нур ютиши спектрлари  $0,76$   $25$  мк тўлқинлари оралиғида маҳсус ИК спектрофотометрларда олинади.

Ҳозирги кунда ИКС-12 (бир каналли, бир нурли), ИКС-14 ва ИКС-21 (икки каналли) жиҳозлари мавжуд.

Чет эл жиҳозларидан: UR лар, айниқса, UR-20 (Германия) моделига ойл Бекман спектрометрлари қўлланилади. Бу аппаратларининг ютуғи: 1) ёпиқ система; 2) частоталарни тез беради.

Мавжуд жиҳозларнинг ҳаммаси маълум текшириш диапазонига, кўпинча  $1\text{-}2$  мк ( $10000\text{-}5000$  см $^{-1}$ ) дан  $25\text{-}40$  мк ( $400\text{-}250$  см $^{-1}$ ) гача ва  $50$  мк дан  $300$  мк ва ундан каттароқ ( $200$  см $^{-1}$  ундан кичик)ларда ишлашга мослаштирилган.

Турли фирмаларнинг жиҳозлари бир-биридан ИК спектрларини аниқ тарзда бериши, ишининг стабиллиги, спектр олишдаги автоматик жараёнлари билан фарқ қиласди. Турли жиҳозларда олинган ИК спектрларни фақат фотометр таркиби бир хил бўлса ёки жиҳозий хатолар таъсири хисобга олинган бўлсагина таққослаш мумкин.

### **23-§. ИК спектрометрларининг соддалаштирилган схемаси**

Қўйида ИКС-14 инфрақизил спектрометрининг соддалаштирилган схемаси келтирилган (22-расм).

ИКС-14 типидаги икки нурли спектрофотометрнинг конструкцияси қўйидаги асосий қисмлардан ташкил топган:

1) ИК нурланиш маибай (076)  $1000$  мк ли тўлқин узунлигидаги нурлар). Манбадаги Глобар стержени ёки Нернст штифти

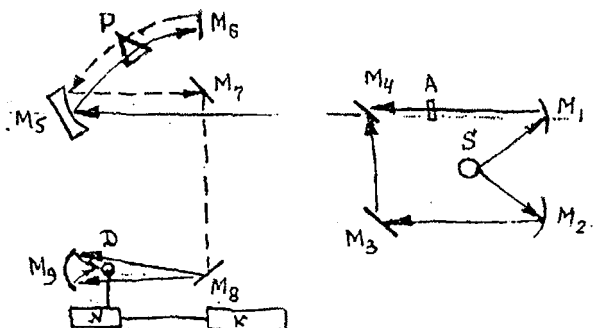
орқали нур ҳосил қилинади ва у фокусловчи кўзгу орқали узатилади.

2) Монохроматор. У бир қанча кўзгулардан иборат. Улардан муҳими Литровнинг айланма кўзгусидир.

3) Нур энергиясини қабул қилувчи мослама, яъни иссиқликини сезувчан элемент, термопаралар ёки балометрлар.

4) Қабул қилувчидан келаётган электрик сигнални кучайтиргич.

5) Ёруғлик частотасига боғлиқ ҳолда (абсцисса) ўтказувчаник қийматини (ордината) қофозга ёзиб олевчи мослама.



22-расм. ИК-спектрометрининг соддалаштирилган схемаси:

S - нурланиш манбаи;  $M_1, M_2, M_3, M_7, M_8$  – қайтарувчи кўзгу;  $M_4$  – секторли айланма кўзгуси;  $M_5$  – коллиматор кўзгу;  $M_6$  – Литров кўзгуси;  $M_9$  – конденсатор; Р – призма; D – нур энергиясини қабул қилувчи мослама; N – кучайтиргич; K – ёзиб олевчи мослама; A – намуна.

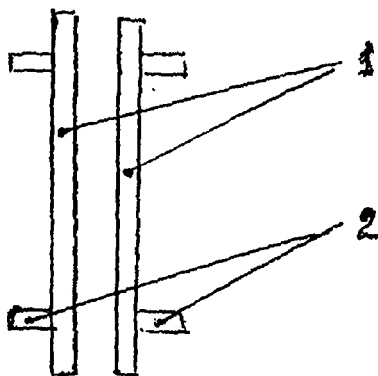
Кўйида биз юқорида номи қайд этгилган деталларниңг байзи бирлари устида батафсилроқ тўхтаймиз.

I. ИК нурланиш маңбай. Уни генератор деб атасимиз мумкин. Авваллари лампочкалардан, ҳозир эса карборунд SiC дан (сони 2 та) қилинади. Улар 1500РС да тўла нурланишини беради. Ток қуввати амперларда оператор томонидан берилади.

II. Спектрометр призмаси. Одатда призма кўринишида кўлланилади: шиша  $\Phi-1 = 2,8$  мк гача; кварц  $SiO_2 = 3,5$  мк гача;  $CaF_2 = 2,4-7,7$  мк гача; ош тузи  $NaCl = 2-15,4$  мк гача;

$\text{KBr} = 9\text{-}26 \text{ мк гача}$ ;  $\text{CsI} = 10\text{-}50 \text{ мк гача}$ . Улар ИК нурланиш учун кўрсатилган интервалда шаффоффдир.

III. Нур энергиясини қабул қилувчилар. Балометр (грекча нурланишни ўлчовчи) Лангле томонида 1881 йилда амалиётга киритилган. Унда ютилган нурланиш металл симни қиздиради ва ҳосил бўлган қаршиликлар ўзгариши регистрация қилинади.



23-расм. Микрокюветнинг тузилиши:

1. Металл рамалари (намуна уларнинг орасига кўйилади);
2. Пластмассали қисқич.

Термоэлемент (Рубенс, 1898 й.) - нурланишдан ҳосил бўлган иссиклик туфайли термо э.д.с. регистрация қиласи.

Фотоқаршилик - фотоэлектрик. Бу ерда атомнинг нур ютуши туфайли ундан валент электронлари ажралади, улар нур ўtgазишда иштирок этувчи электронлар миқдорини опиради. Масалан, совимайдиган ФМ, БКМ, ФТ, ГОИ ва бошқа типдаги қабул қилувчилар.

Призмали инфрақизил спектрометрларни частота ва тўлқин узунлиги бўйича градуировка қилиш ўта муҳим масала. У бир қанча усуслар орқали амалга оширилиши мумкин. Энг қулайи спектрометрни дифракцион спектрометр орқали аниқланган эталон спектрлар ёрдамида текшириш.

Текширишда ишлатиладиган биринчи гурухга оид моддалар қаторига  $2600 \text{ см}^{-1}$  областида қўлланиладиган симоб ҳамда хлорид кислотаси ва  $2000 \text{ см}^{-1}$  маконда қўлланиладиган  $\text{CO}_2$  кирали. Иккинчи гурухда натрий хлоридидан ясалган призмаларни

2000-660 см<sup>-1</sup> оралиғида градуировка қилиш учун сув бүг, аммиак ва CO<sub>2</sub> лардан фойдаланилади.

Инфрақизил спектрометрларининг турли призмаларини градуировка қилишда қўлланиладиган моддалар, спектрининг тегишли маконлари ва призма материаллари қўйида келтирилган (10-жадвал):

10-жадвал

Спектр макони , см <sup>-1</sup>	Модда	Призма материали
4500-4120	CH <sub>4</sub>	шиша, LiF
3900-3560	H <sub>2</sub> O ва CO <sub>2</sub> (атмосферали)	шиша, LiF
3510-3170	NH <sub>3</sub>	LiF ва CaF <sub>2</sub>
3170-2880	CH <sub>4</sub>	LiF ва CaF <sub>2</sub>
3060-2725	HCl	LiF ва CaF <sub>2</sub>
2675-2410	HBr	LiF ва CaF <sub>2</sub>
2400-2220	Интерполяция	LiF ва CaF <sub>2</sub>
2220-2040	CO <sub>2</sub>	LiF ва CaF <sub>2</sub>
1990-1360	H <sub>2</sub> O ва CO <sub>2</sub> (атмосферали)	LiF ва CaF <sub>2</sub>
1385-1250	Интерполяция	NaCl
1360-1250	CH <sub>4</sub>	CaF <sub>2</sub>
1230-720	NH <sub>3</sub>	NaCl
740-420	CH <sub>3</sub> OH	NaCl, KBr
720-650	CO <sub>2</sub> (атмосферали)	KBr
720-280	H <sub>2</sub> O ва CO <sub>2</sub> (атмосферали)	KBr, CsJ

Номлари юқори келтирилган моддаларнинг спектрларини ёзиб олиш орқали градуировкали график координатлари қурилади. Икки каналли спектрометрлар учун график чизилади, IR-10 аппарати учун эса тегишли тузатиш киритилади.

ИКС-14 прибори икки канал усули бўйича ишлайди ва нур ўтказиш катталигини фоиз ҳисобида ёзиб беради.

ИКС-12 прибори бир канал усули бўйича ишлайди, шунинг учун бу ерда икки карра иш бажарилади, яъни намуна спектри алоҳида ва манба спектри намунасиз ҳолатида олинади. Кейин улар бир-бири билан таққосланади.

ИКС аппаратларини текшириш этalon бўйича - полистирал ёрдамида аниқланади, бунда приёмник барабанидаги айланышлар сони 0 дан 20 гача ва уларга мос келувчи частота (тўғри чизиқли боғлиқлик) киритилади.

**Аппарат мосламалари.** ИК спектрометрлар мосламалариға қуйидагилар киради:

1. Термостат кюветлар - юқори ва паст ҳароратлар учун улар ИК спектрофотометрнинг манбаидан микрообъектга келәсттән ёруғликни фокусировка қилиб беради.
2. Катта босим учун кюветлар.
3. Моддага электромагнит майдони, деформация ва бошқа таъсирларни текшириш учун мослама.

## 24-§. Препаратларни тайёрлаш усули

Монокристалл ва поликристалл (кукун) лардан намуналар турлича тайёрланади.

**1. Монокристалл моддасидан кесилгән пластинка шаклидаги препарат.** Ясси, параллел силикянган, ИК нур ютиш спектрлари учун мүлжалланган намунанинг қалинлиги 2 мм дан то бир неча микронгача, күпинча қават қалинлиги 20-30 мк гача бўлади. Пластинка ўлчами ишлатилаётган жиҳозга боғлиқ бўлиб, 35x10 мм дан 5x5 мм гача бўлиши мумкин.

Жуда кичик ўлчамларда эса маҳсус микрокювет мосламаси зарур бўлади (23-расм).

Селси кўзгусиниг нур қайтаришдан олинган ИК нурланиш икки ўзаро перпендикуляр йўналиш бўйича монокристалл орқали ўтказилади. Бу нур қайтариши эгриликлари бўйича гурӯҳ атомларининг фазовий жойлашгани ҳақида билиш мумкин. Агар поляризован нур юзасида липол ётган бўлса, нур ютилиш катта бўлади. Шундай қилиб у ёки бу функционал группаларнинг мавжудлиги аниқланади.

**2. Кукундан тайёрланадиган препаратлар.** Тайёрлапининг икки усули мавжуд: Биринчи усул - 1см<sup>2</sup> юзада 0,1-2 мг миқдорда NaCl, KCl, KBг каби ИК маконларида шаффофф бўлган подложкага намуна кукуни қотирилади ёки чўкмага туширилади. Масалан, хаволи муҳитда қуйиш: 2-3 г материал агат ҳавончаларда яхшилаб туйилади, сўнгра пробиркага сепиш учун солинади. Йирик заррачалар цилиндр тагига чўкгач, тузли дискка жойлаштирилади ва сепилади. Бунда юза бир хил қаватли пурдалар билан қопланаб қолади.

Плёнка қалинлигини қуйидагича топилади:

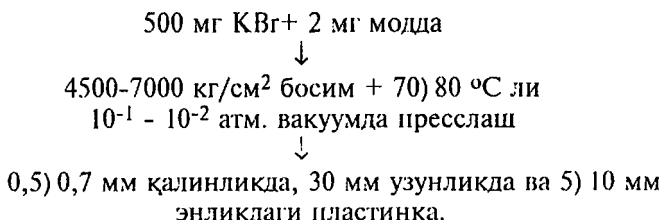
$$t = \frac{m}{ap} (\text{cm}),$$

бу ерда,               $m$  - кукуннинг массаси, г;  
                         $a$  - дискнинг юзаси,  $\text{cm}^2$  ;  
                         $\rho$  - модданинг зичлиги,  $\text{g}/\text{cm}^3$ .

Иккинчи усул - суюқ ёки қаттиқ кукун аралашмасини мос келувчи тўлдирувчилар иштирокида тайёрлаш. Бу усул ҳам ўз навбатида икки йўл билан амалга оширилади:

а) изонопропил спирти иштирокида илиш тагига кукунни ўтқазини, сўнгра қуруқ кукунли плёнка ҳосил бўлгунча буглатиш йўли билан қуритиш. Одатда, 2 г кукунга 100 мл спирт қўшилади. Жараён охирида ҳосил бўлган плёнка қалинлиги 0,2-0,3  $\text{мг}/\text{cm}^2$  бўлади.

к) намунани вазелин ёки ишқор-галлоид бирикмалар ( $\text{KCl}$ ,  $\text{NaCl}$ ,  $\text{KBr}$ ) билан аралаштириш. Кукун ҳолатида пластинкалар лиск кўринишида ёки тўғри бурчак шаклида прессланаб олиниади. Кўпинча аралашмада 0,1; 0,33; 1 ёки 3%-текширилаётган модда бўлади. Бу усулда намуна тайёрлаш тизими қуйидагича бўлади:



Хўл ҳолатида намуна тайёрлаш учун кюветадан фойдаланилади:

Нурланиш манбаидан келаётган радиация текширилаётган намунадан ўтади (намуна мастаҳкамлангап, ундан нур қисман қайтади ва унда қисман ютилади) ва монохроматор (Литров кўзгуси) га тушали, кейин орқага термоэлемент майдонига қайтади. ИК нурларининг иссиқлиги натижасида термоэлементда э.д.с. ҳосил бўлали. У кучайтиргичда кучайтирилган ва маҳсус ёзув қурилмаси ёрдамида спектр ҳолатига келтирилади ва ёзилади.

## 25-§. ИК спектрларни ёзиб олиш

Амалиётда икки турли спектрларни ёзиб олиш ва расиифровка қилиш кенг тарқалган (11 ва 12- жалваллар, 24- ва 25-расмлар). Улардан бири ИК нур ўтиш ва нур ютиш спектри

бўлса, иккинчиси ИК нур қайтиш спектридир. Икки турли спектрларни жамлаш ва таққослаш орқали уларда фоиз миқдори аниқланади.

1. Қанча фоиз нур ўтади ва ютилади;

2. Қанча фоиз нур қайтади.

В.А. Флоринская маълумотлари бўйича, 50 фоиз  $\text{Na}_2\text{O} + 50\%$   $\text{SiO}_2$  дан ташкил топган ва  $620^{\circ}\text{C}$  да кристалланган шинада:

1) 13,2 мк да

ўтказади - 70 %,

қайтарали - 7 %,

ютилади ~ 23%.

2) 11,2 мк да

ўтказади - 55%,

қайтаради - 25%.

ютилади ~ 20%.

3) 10,2 мк да

ўтказади - 33 %,

қайтаради - 42 %.

**Кремнеземнинг ИК спектрларидаги полоса экстремумларининг ҳолати**

11-жадвал

Текнирилаётган намуна	Тўлқин узунлиги, мк
Қайтиш спектрлари	
Кварц, ўққа $\perp$	8,50; 8,95; 12,54; 14,54; 18,2; 20,7-20,8
Кварц, ўққа $\parallel$	12,55; 12,85; 14,5; 18,9-19,00; 20,1
Кристобалит	8,30; 9,10; 12,60; 16,15-16,20; 19,8-19,9

Герсес фирмасининг кварц шиши	8,95; 12,7-12,9; 20,9-21,0
Ўтиш спектрлари	
$\alpha$ -Кварц	8,63; 9,15; 12,55; 12,85; 14,40-14,45; 19,2-19,3; 21,4-21,6
$\alpha$ -Кристобалит	8,35; 9,12; 12,60; 16,10; 20,3
$\alpha$ -Тридимит	9,05; 12,70; 17,6; 20,8-21,0
Герсес фирмасининг кварц шиши	9,05-9,15; 12,50; 21,3

**Поликристалл ва рангли кремнеземнинг ИК спектрларидағи полоса экстремумларининг ҳолати**

12-жадвал

Текширилаётган намуна	Түлқин узунлиги, мк
<b>Қайтиш спектрлари</b>	
Яшма	8,50; 8,77; 9,12; 9,60; 12,55; 12,85; 14,5; 15,55; 17,0; 19,0; 21,0-21,4
Тридимит	8,65-8,70; 8,95; 12,70-12,75; 18,5-18,6; 20,5-20,6
Опал	8,25; 9,05; 12,62; 16,15-16,20; 19,7
<b>Үтиш спектрлари</b>	
Яшма	8,65; 9,1; 12,55; 12,85; 13,1; 13,25; 13,45; 13,8; 14,40-14,45; 15,1; 15,45; 16,45; 16,8-17,0; 19,3; 21,4-21,7
Қора кристалл кварц	8,65; 9,2; 12,55; 12,85; 14,45; 19,3; 21,4-21,7
Опал	9,05; 12,62; 20,8-21,1

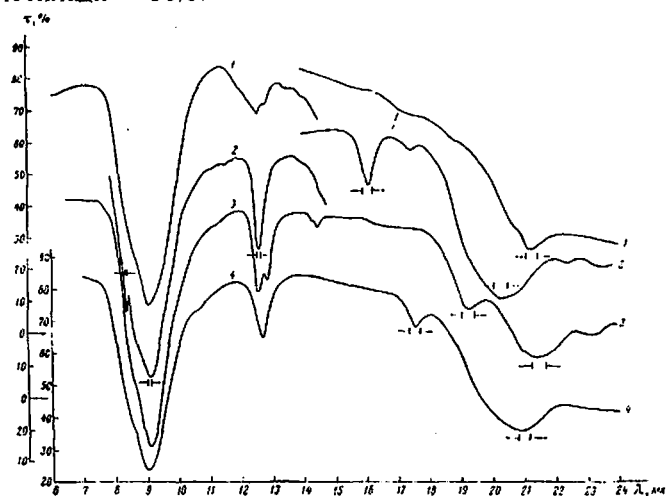
ютилади ~ 25%.

4) 7,8 мк да

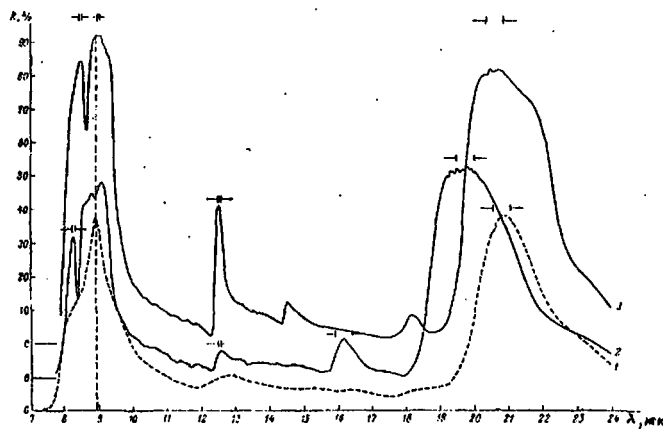
ўтказади - 70 %,

қайтаради - 0 % ,

ютилади ~ 30%.



24-расм. ИК нурларини ўтказиш (ютиш) спектрлари: 1 – кварц шиша (кукун қавати); 2 -  $\alpha$ -кристобалит; 3 -  $\alpha$ -кварц; 4 -  $\alpha$ -тридимит.



25-расм. ИК нурларини қайтариш спектрлари: 1-кварц шиша; 2- $\alpha$ -кристобалит; 3 -  $\alpha$ -кварц (оптик ўқига перпендикуляр кесилган).

## 26-§. Мухим фазаларнинг ИК спектрлари

Силикат структурали моддаларда ИК спектри атом, молекула ва гурухларнинг координациясиغا ўта боғлиқ бўлади. Буни қўйидаги гурухлар, улар берадиган полосалар ва полосаларнинг экстремумлари мисолида кўришимиз мумкин.

I. Кремний-Si асосидаги группалар учун:

- 1)  $\text{SiO}_4$  - тарқоқ тетраэдрлари учун - 10) 12,5  $\mu\text{к}$ ;
- 2)  $\text{SiO}_3$  - занжирли боғланганлар учун - 9) 11,5  $\mu\text{к}$ ;
- 3)  $\text{Si}_6\text{O}_{18}$  - ҳалқасимон группалар учун - 8,5) 11  $\mu\text{к}$ ;
- 4)  $\text{SiO}_2$  - лентали группалар учун - 9,5) 10,5  $\mu\text{к}$ ;
- 5)  $\text{SiO}_2$  - қатлами учун - 9) 10,5  $\mu\text{к}$ ;
- 6)  $\text{SiO}_2$  - тетраэдрлар сеткаси учун - 9,6) 10  $\mu\text{к}$ .

II. Алюминий - Al асосидаги группалар учун:

- 1)  $\text{AlO}_6$  - октаэдри полосалари - 16-20  $\mu\text{к}$ ;
- 2)  $\text{AlO}_4$  - тетраэдрлари полосалари - 11-13  $\mu\text{к}$ .

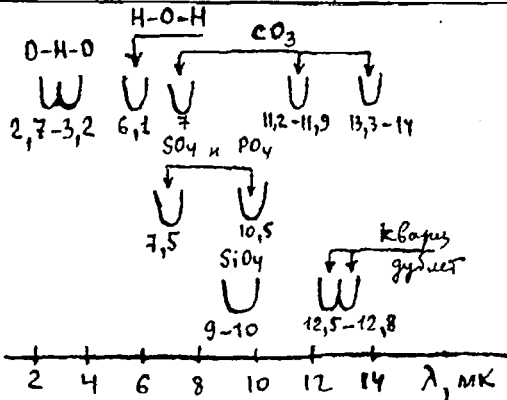
Шундай қилиб, амалий жиҳатдан олинган спектрларни маълум модданинг одатий полосаларига таққослаш бўйича тадқиқ қилинади. Полосаларнинг ҳолати атом гурухлари, ионлари ва гурухларидаги боғланишларга боғлиқ ҳолда ўзгаради.

ИК спектрлари ёрдамида ион ва ионли гурухларнинг параметрларини ҳам аниқлаш мумкин (13-жадвал ).

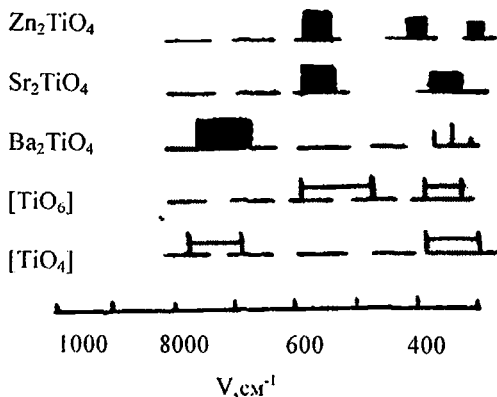
**ОН-ионининг рентгенография ва ИК спектроскопия бўйича ўлчами**

13-жадвал

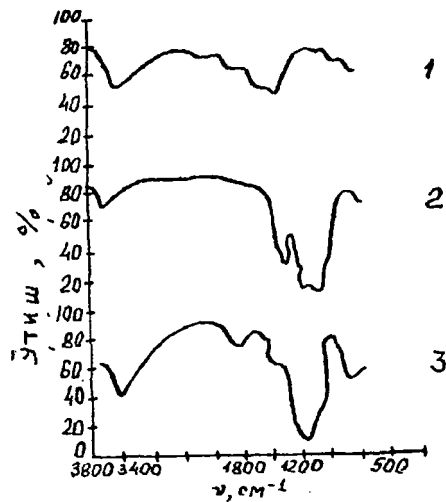
Бирикма	Гидрооксиднинг ион радиуси, Å	
	рентгенографик	Спектроскопик
B(OH) <sub>3</sub>	1,15	1,12
$\gamma$ -Al(OH) <sub>3</sub>	1,16	1,22
$\gamma$ -FeOOH	1,35	1,33



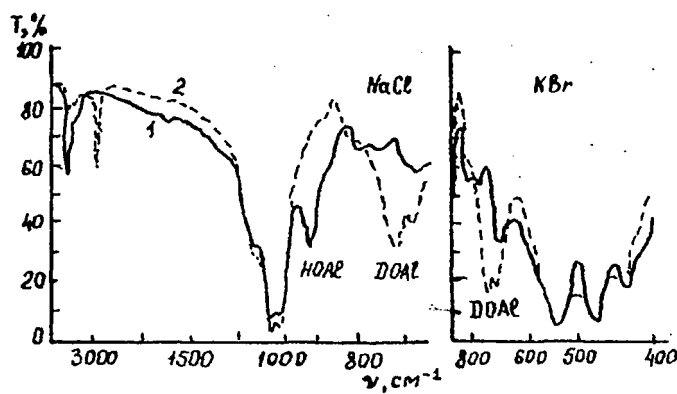
26-расм. Баъзи бир группаларга хос ИК-полосалари.



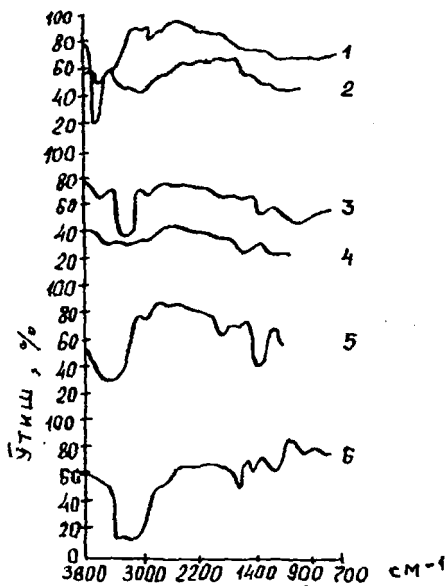
27-расм. Ортотитанатлар ИК спектрлари (Zn - ва Sr ли бирикмаларда - титан октаэдрик координацияда) ва (Ва-ли бирикмада титан тетраэдрик координацияда).



28-расм. Кальций гидросиликатининг ИК нур ютиш спектрлари.  
1) гидролит; 2)ксонотлит; 3)тоберморит.



29-расм. 1 — Каолинит (1) ва дейтерокаолинит (2) нинг ИК спектрлари. II — Гидроксилнинг деформацияли тебраниш полосалари.



30-расм. Кальций гидроалюминати ва гидросульфоалюминатларининг ИК нурларини ютиш спектрлари:

1-2 – кальций гидроалюминати  $C_3AH$ ;

3-4 – кальций гидроалюминати  $C_4A_3H_3$ ;

5 – кальцийнинг бир сульфатли гидросульфоалюминати;

6 – кальцийнинг уч сульфатли гидросульфоалюминати.

$\alpha - AlOOH$	1,45 1,55	1,47 1,57
$\alpha - FeOOH$	1,51	1,53

Кейинги пайтларда титанатлар устида ҳам тадқиқотлар ўтказиш кўпайди. Қуйида октаэдр ва тетраэдр координацияларга эга бўлган титанатларнинг ИК спектрлари келтирилади (27-расм).

Қуйидаги 14-жадвалда пирогурухлар учун хос бўлган маълумотлар келтирилган.

## Пиросиликат ва пирогерманат частоталари

14-жадвал

Частоталар, см <sup>-1</sup>				Симметриянинг тебраниш тиши
Экспериментал		Хисоб бўйича		
Si <sub>2</sub> O <sub>7</sub>	Ge <sub>2</sub> O <sub>7</sub>	Si <sub>2</sub> O <sub>7</sub>	Ge <sub>2</sub> O <sub>7</sub>	
1015	905	1010	900	A <sub>2u</sub>
915	745	925	740	E <sub>u</sub>
770	715	760	710	A <sub>2u</sub>
570	475	540	480	E <sub>u</sub>
480	395	420	360	A <sub>2u</sub>
425	320	380	320	E <sub>u</sub>

Боғловчи моддалар ишлаб чиқарини технологиясида кальций силикатлари муҳим ўринни эгаллайди. Шунинг учун кальций гидросиликатининг инфрақизил нурларини ютиш спектрлари келтирилади (28-расм).

Керамика ва оловбардош маҳсулотлар ишлаб чиқаришда тупроқлар, шу жумладан, каолинит ва каолинитсимон моддалар кўплаб ишлатилади. Юқоридаги 29-расмда уларга оид ИК спектрлар келтирилган.

Охирги мисол сифатида 30-расмда кальцийниг гидроалюминатлар ва гидросульфоалюминатларига оид ИК нурларини ютиш спектрлари берилади.

## 27-§. Инфрақизил спектроскопик таҳлилига оид диагностик маълумотлар

Кўйидаги 15-жадвалда диагностик мақсадларда фойдаланиш учун хизмат қилувчи баъзи моддаларниг ИК-ютиш полосалари келтирилган.

Баъзи кремнийли бирикма, хом ашё ва аралашмаларга оид инфрақизил спектрлардаги ютиш полосалари

15 - жадвал

Модданинг номи, формуласи ва маълумот манбай		Ютиш области				
	θ, см <sup>-1</sup>	I	θ, см <sup>-1</sup>	I	θ, см <sup>-1</sup>	I
Аморф кварц – SiO <sub>2</sub> [18]	468	Ки.	700	Кз.	804 1098	Ў. Ж.кп.

$\alpha$ - Кварц — $\text{SiO}_2$ [18]	468 523 -	Ки. Ў. -	695 784 -	Ў. Ки. -	794 1095 1168	Ки. Ж.ки. Ки.
Трилимит — $\text{SiO}_2$ [18]	420 478 568	Кз. Ки. Кз.	620 695 798	Кз. Кз. Ў.	830 940 1105	Кз. Кз. Ж.ки.
Кристобалит — $\text{SiO}_2$ [18]	417 495	Кз. Ки.	620 755	Ў. Ў.	1105 1200	Ж.ки. Ки.
Коэсит — $\text{SiO}_2$ [18]	435 468 561 600	Ки. Кз. Ў. Ў.	683 794 804 1036	Ў. Кз. Кз. Ки.	1077 1158 1218 -	Ж.ки. Ки. Ки. -
Стиловит — $\text{SiO}_2$ [18]	560 628	Ки. Ки.	672 730	Ки. Ки.	885 949	Кз. Ки.
Силлиманит — $\alpha$ - $\text{Al}_2\text{O}_3\cdot\text{SiO}_2$ [16]	1200 1180 960 913 888 820 -	Ки. Ки. Ки. Ки. Ки. Ки. -	751 692 635 581 543 534 -	Ў. Ки. Ў. Ки. Ў. Ў. -	508 491 440 374 346 335 322	Ки. Ў. Ки. Кз. Кз. Кз. Кз.
Муллит — $3\text{Al}_2\text{O}_3\cdot 2\text{SiO}_2$ [16]	1178 1145 915 845	Ки. Кз. Ки. Ки.	750 620 585 550	Ў. Ж.кз. Кз. Ж.кз.	510 435 - -	Ж.кз. Ж.кз. - -
Эгирин — Акмит $\text{Na}_2\text{O}\cdot\text{FeO}\cdot 2\text{SiO}_2$ [16]	467 507 545 560	Ки. Ки. Ки. Ки.	639 725 864 897	Ў. Кз. Ки. Ки.	950 1004 1059 -	Ж.кз. Ж.кз. Ж.кз. -
Геденбергит — $\text{CaO}\cdot\text{FeO}\cdot 2\text{SiO}_2$ [16]	466 492 518 624	Ж.кз. Ж.кз. Ж.кз. Ў.	663 860 912 -	Ў. Ж.кз. Ж.кз. -	959 1056 1089 -	Ж.кз. Ж.кз. Ж.кз. -
Диопсид — $\text{CaO}\cdot\text{MgO}\cdot 2\text{SiO}_2$ [34]	435 485 515 635	Ж.кз. Ки. Ки. Ў.	675 790 870 920	Ў. Ж.кз. Ки. Ки.	970 985 1080 1100	Ки. Ки. Ж.ки. Ў.
Дионсид — $\text{CaO}\cdot\text{FeO}\cdot 2\text{SiO}_2$ — таркибли ши- ша [34]	505 -	Ки. -	780 -	Кз. -	950 1020	Ж.ки. Ж.ки.
Геленит — $2\text{CaO}\cdot\text{Al}_2\text{O}_3\cdot\text{SiO}_2$ [29]	415 450 482 530 -	Ки. Ки. Ў. Кз. -	647 675 714 803 -	Кз. Кз. Кз. Ки. -	850 875 921 976 1023	Ки. Ки. Ки. Ки. Ки.
Стронциевый геленит — $2\text{SrO}\cdot\text{Al}_2\text{O}_3\cdot\text{SiO}_2$ [29]	415 480 522 625	Ки. Ў. Кз. Кз.	686 785 840 880	Кз. Ки. Ки. Ки.	900 976 1016 -	Ки. Ки. Ки. -

$\beta$ -Водластонит — $\text{CaO}\cdot\text{SiO}_2$ [16]	1087 1056 1019 964	Ж.ки. Ж.кз. Ж.кз. Ж.кз.	925 904 650 642	Ж.кз. Ж.кз. Ӧ. Ӧ.	566 508 471 452	Ӯ. Ӯ. Кз. Ж.кз.
Бустамит — $\text{CaO}\cdot\text{MnO}\cdot2\text{SiO}_2$ [16]	1086 1062 979 951 911	Ки. Ж.кз. Ж.кз. Ж.кз. Ж.кз.	872 850 803 660 619	Ж.кз. Ӧ. Ӧ. Ӧ. Ӧ.	560 525 510 465 450	Ӯ. Ӯ. Кз. Ж.кз. Ж.кз.
Родонит — $\text{CaO}\cdot4\text{MnO}\cdot5\text{SiO}_2$ [16]	1080 1063 1023 998 951 916	Ки. Ж.кз. Ж.кз. Ки. Ж.кз. Ж.кз.	900 720 690 661 638 577	Ж.кз. Ӧ. Кз. Ӧ. Ӧ. Ӧ.	559 532 514 492 458 -	Ӯ. Ӯ. Ӯ. Ж.кз. Ж.кз. -
Тремолит — $2\text{CaO}\cdot5\text{MgO}\cdot8\text{SiO}_2\cdot\text{H}_2\text{O}$ [16]	1107 1074 1048 1020 998 952	Ж.кз. Ки. Ки. Ки. Ж.кз. Ж.кз.	920 758 730 687 662 645	Ж.кз. Ӧ. Кз. Ӧ. Кз. Ки.	530 510 466 451 -	Ж.кз. Ж.кз. Ж.кз. Ж.кз. -
Активолит — $2\text{CaO}\cdot5(\text{Mg}, \text{Fe})\text{O}\cdot8\text{SiO}_2\cdot\text{H}_2\text{O}$ [16]	1094 1052 1037 1012 985 948	Ж.кз. Ки. Ки. Ки. Ж.кз. Ж.кз.	914 755 727 682 658 -	Ж.кз. Ӧ. Кз. Ӧ. Кз. -	646 540 507 466 453 -	Кз. Ки. Ж.кз. Ж.кз. Ж.кз. -
Антофиллит — $7(\text{Mg}, \text{Fe})\text{O}\cdot8\text{SiO}_2\cdot\text{H}_2\text{O}$ [16]	1097 1059 1047 1016 976 917	Ж.кз. Ки. Ки. Ж.кз. Ж.кз. Ки.	903 781 756 755 710 688	Ки. Ӧ. Кз. Ж.кз. Ӧ. Ӧ.	662 553 532 494 448 -	Ӯ. Ки. Ки. Ж.кз. Ж.кз. -
Тальк — $3\text{MgO}\cdot4\text{SiO}_2\cdot\text{H}_2\text{O}$ [16]	4330 4200 3670 1919 1866 1818 1770	Ж.кз. Ж.кз. Кз. Ж.кз. Ж.кз. Ж.кз. Ж.кз.	1706 1045 1018 783 690 670 -	Ж.кз. Ж.кз. Ж.кз. Ж.кз. Ӧ. Ки. -	539 500 467 452 447 426 -	Ӯ. Кз. Ж.ки. Ж.ки. Ж.кз. Ӯ. -
Сапонит — $\text{Mg}_3(\text{Al}_{0.33}, \text{Si}_{3.66})\cdot\text{O}_{10}\cdot(\text{OH})_2\cdot\text{Na}_{0.33}\cdot\text{H}_2\text{O}$ [16]	4330 3697 3670 1056 1005	Ж.кз. Кз. Кз. Ж.кз. Ж.ки.	809 783 737 692 655	Ж.ки. Кз. Кз. Ӧ. Ӧ.	534 490 464 450 420	Ӯ. Кз. Ж.ки. Ж.ки. Ӯ.
Гекторит — $(\text{Mg}, \text{Li})_3(\text{Al}_{0.33}, \text{Si}_{3.66})\text{O}_{10}\cdot(\text{OH})_2\cdot\text{Na}_{0.33}\cdot\text{H}_2\text{O}$ [16]	4330 3600 3610 1073	Ж.кз. Кз. Кз. Ж.ки.	1011 795 696 -	Ж.ки. Ж.ки. Ӧ. -	655 533 465 -	Ӯ. Ӯ. Ж.ки. -

Оксерманит – 2CaO·MgO·2SiO <sub>2</sub> [29]	380 460 560 600	Kз. Ӧ. Kз. Ӧ.	675 830 880 -	Kз. Ки. Ки. -	920 950 1000 -	Ки. Ки. Ки. -
Бериллийти окерманит – 2CaO·BeO·2SiO <sub>2</sub> [29]	390 460 550	Kз. Ӧ. Kз.	675 840 900	Ӧ. Ки. Ки.	950 975 1000	Ки. Ки. Ки.
Гардистонит – 2CaO·ZnO·2SiO <sub>2</sub> [29]	430 475 560 600	Ӧ. Kз. Kз. Ӧ.	640 830 900 -	Kз. Ки. Ки. -	940 1000 -	Ки. Ки. -
Қўрғонинли гордистонит – 2PbO·ZnO·2SiO <sub>2</sub> [29]	440 480 575 700	Ӧ. Kз. Ӧ. Kз.	800 860 900 -	Ки. Ки. Ки. -	930 975 1040 -	Ки. Ки. Ки. -
Синтетик β - Эвклиптил – Li <sub>2</sub> O·Al <sub>2</sub> O <sub>3</sub> ·2SiO <sub>2</sub> [16]	480 520 540	Kз. Ж.кз. Kз.	665 754 805	Kз. Ӧ. Kз.	1003 1040 1150	Ки. Ки. Кз.
Синтетик α - Эвклиптил – Li <sub>2</sub> O·Al <sub>2</sub> O <sub>3</sub> ·2SiO <sub>2</sub> [16]	480 510 560 612 -	Ки. Ӧ. Kз. Ӧ. -	665 705 762 920 -	Kз. Ки. Кз. Кз. -	937 962 985 1015 1052	Ки. Ки. Ки. Ки. Ки.
Табийи Эвклип- тил – Li <sub>2</sub> O·Al <sub>2</sub> O <sub>3</sub> ·2SiO <sub>2</sub> [16]	480 514 560 614 686	Ки. Ӧ. Ӧ. Ӧ. Ӧ.	708 768 796 916 999	Ки. Кз. Кз. Ки. Ки.	967 985 1013 1028 1053	Ки. Ки. Ки. Ки. Ки.
Кордесрит – 2(Mg,Fe)O· 2Al <sub>2</sub> O <sub>3</sub> ·5SiO <sub>2</sub> [18]	420 450 485 570 580	Ки. Ки. Ки. Kз. Ӧ.	620 675 760 773 912	Ӧ. Кз. Ки. Ки. Ки.	960 1027 1100 1148 1181	Ж.ки. Ӧ. Кз. Ки. Ж.ки.
Миларит – K <sub>2</sub> O·4CaO·4BeO· Al <sub>2</sub> O <sub>3</sub> ·24SiO <sub>2</sub> [18]	420 480 510 610	Ки. Ӧ. Kз. Кз.	630 740 755 780	Kз. Кз. Ӧ. Ӧ.	970 1020 1130 -	Ки. Ж.ки. Ки. -
Калийтитанли силикат – K <sub>2</sub> O·TiO <sub>2</sub> ·3SiO <sub>2</sub> · H <sub>2</sub> O [18]	475 525 590	Ӧ. Ж.кз. Ж.кз.	753 865 -	Ки. Кз. -	975 1027 -	Ки. Ж.ки. -
Калиймарганец цинкли силикат – KMn <sub>2</sub> Zn <sub>3</sub> Si <sub>12</sub> O <sub>30</sub> [18]	420 450 485 570 580	Ки. Ки. Ки. Kз. Ӧ.	620 675 760 773 912	Kз. Кз. Ки. Ки. Ки.	960 1027 1100 1148 1181	Ж.ки. Ӧ. Кз. Ки. Ки.

Турмалин – NaMg <sub>3</sub> Al <sub>6</sub> (OH) <sub>4</sub> · (BO <sub>3</sub> ) <sub>3</sub> Si <sub>6</sub> O <sub>18</sub> [18]	726 760 790 857	Ў. Кз. Ў. Кз.	1000 1030 1058 1107	Ки. Ки. Ки. Ки.	1306 1347 – –	Ки. Ў. – –
Хирмонтсена кони лёсси [35]	480 520 560	Ки. Ж.кз. Ж.кз.	670 700 710	Кз. Кз. Кз.	800 1000 1400	Ў. Ки. Ў.
Ангрен кони иikkilamchi као- лини [35]	475 625 700	Кп. Кз. Кз.	810 950 1100	Ў. Кз. Ки.	1400 – –	Кз. – –
Қамишбони – Чимион кони тилис [35]	480 510 530	Ки. Ў. Ў.	710 750 810	Кз. Кз. Ў.	850 1050 1410	Ў. Ки. Кз.
Бандихон кони тилтүриғи [35]	840 545 650	Ки. Ки. Кз.	675 690 710	Кз. Кз. Кз.	810 1050 1460	Ў. Ки. Кз.
Сардара кони фосфорити [30]	410 475 525 575	Кз. Кз. Кз. Ў.	610 660 695 720	Ў. Кз. Кз. Кз.	880 980 1050 1100	Ў. Кз. Ки. Ки.
Сардара кони фосфорити – 1350 <sup>0</sup> С да күйди- рилгән [30]	410 475 525 580	Кз. Кз. Кз. Ў.	610 655 975 1050	Ў. Кз. Кз. Ки.	1105 1160 – –	Ки. Ки. – –
Кермата кони кварц – дала шпати [30]	700 710 795	Ж.кз. Кз. Ў.	815 1075 1180	Ў. Ж.ки. Ки.	1500 1670 1857	Кз. Кз. Кз.
Битаб кони кварц – дала шпати [30]	430 465 535 590	Ў. Кз. Ж.кз. Ў.	615 630 730 775	Кз. Кз. Кз. Кз.	1015 1055 1140 –	Ки. Ки. Ки. –
Битаб кони фос- форити – 1350 <sup>0</sup> С да күйдирілгән [30]	420 460	Ў. Ў.	570 730	Кз. Кз.	766 1060	Кз. Ки.
Султонуиздаг кони дала шпати [30]	430 465 535 518	Ў. Кз. Кз. Ў.	615 650 730 770	Кз. Ў. Ў. Ў.	1020 1050 1145 –	Ки. Ки. Ки. –
Султонуиздаг кони фосфорити – 1350 <sup>0</sup> С да күй- дирілгән [30]	420 460	Ў. Ки.	575 730	Кз. Ў.	775 1060	Ў. Ки.
Ангрен кони риолити [30]	420 465 540 580	Ки. Ў. Кз. Кз.	640 690 730 770	Кз. Кз. Ки. Ў.	795 1040 1140 –	Ў. Ки. Ки. –

Тошкент чинни корхонаси масса- си – 1350°C да куйдирилган [30]	465 560 615	Ки. Ү. Кз.	650 695 720	Кз. Кз. Кз.	800 1085 1160	Ү. Ки. Ки.
Битаб кони дала шпати киритил- ган чинни масса- си – 1350°C да куйдирилган [30]	470 515 575	Ү. Кз. Ж.кз.	615 700 780	Ж.кз. Ж.кз. Ү.	800 1090 1160	Ү. Ки. Ки.
Султонуиздаг кони дала шпати киритилган чин- ни массаси – 1350°C да куйди- рилган [30]	465 555 615	Кп. Ү. Кз.	700 800 1090	Кз. Ү. Ки.	1150 - -	Кп. - -
Чияди кони дала шпати киритил- ган чинни масса- си – 1350°C да куйдирилган [30]	470 555	Ки. Ү.	615 700	Кз. Кз.	790 1090	Кз. Ки.

Изоҳ: Бу ерда ва бошқа жадвалларда қўйидаги  
қисқартиришлар киритилган: Ки – кучли, Ж.ки – жуда кучли,  
Ү – ўртача, Кз – кучсиз, Ж.кз – жуда кучсиз.

### Такрорлаш учун саволлар

1. ИК нури ким томонидан ва қачон кашф этилган?
2. Инфрақизил нурларининг тўлқин узунлигини  $\text{мкм}$  ва  $\text{см}^{-1}$  ўлчов бирликларида келтиринг.
3. ИК нурларини қайтариш ва ўтказиш миқдорлари қандай формуулалар билан ифодаланади?
4. Моддаларниң инфрақизил спектрлари нима билан изоҳланади?
5. ИК нурларни ютиш, ўтказиш ва қайтариш спектрлари қандай ифодаланади?
6. Нур ютиш полосалари ҳақида тушунча беринг.
7. Нур ўтказии полосалари моҳиятини тушунтириб беринг.
8. ИК нурларининг қайтарилиши спектрлари ҳақида гани-риб беринг.
9. Инфрақизил спектроскопия апаратларидан қайсилари-ни биласиз?

10. ИК спектрометрларнинг соддалаштирилган схемасини келтиринг.

11. ИК спектрометрларининг шаффофт призмалари сифатида қандай моддалар ишлатилади?

12. ИК нурланиш маңбай ҳақида маълумот беринг.

13. Препаратлар қандай усулларда тайёрланади.

14. ИК спектрларини ёзиб олиш мосламаси ҳақида пималарни биласиз?

16. Кремнезем ИК спектрлари полосаларининг экстремумлари ҳолати қандай?

17. Кремний тетраэдрларига қандай полосалар хос?

18. Алюминий груухлар учун қандай полосалар хусусиятли ҳисобланади?

## **ТҮРТИНЧИ БОБ ТЕРМОГРАФИК ТАҲЛИЛ**

### **28-§. Термография усули табиати**

Термография ноорганик моддалар, силикат ва зўргасуюлувчан материалларни қиздириш жараёнида солир бўладиган процессларни ўрганади. Улар, одатда, иссиқлик эфектлари билан боғлиқ.

Термография усулиниң турлари жуда кўп. Энг асосийлари қаторига киради:

1. Термик анализ.
2. Дифференциал термик анализ (ДТА).
3. Комплекс термик анализ.
4. Дериватография.
5. Тензиметрия.
6. Газоволюметрия.
7. Дилатометрия.

Биринчи марта қиздириш эгриликлари француз олимни Ле-Шателье томонидан 1887 йилда олинган, у ҳароратни платина - платина-родийли термопараларда ўлчаш орқали термографик эгри чизиқларни ҳосил қилиш мумкинлигини кўрсатди.

Узоқ йиллар давомида тадқиқотчилар қиздириш эгрилигини вақт ва ҳарорат боғлиқларни координата чизигида қайд этганилар. Бироқ кичик эфектларни бу эгриликларда топиш қийин. 1899 йилда Робертс-Остин дифференциал термопара қўллади, бу термопаралар кичик миқдордаги иссиқликни сезувчандир.

1904 йилда француз муҳандиси Саладин Ле-Шателье билан биргаликда координатада термик эгриликларни олувчи аппарат яратдилар. Аппаратга қўйидаги икки фактор асос қилиб олинди:

- 1) Эталон ва намуна ҳароратининг фарқи;
- 2) Намуна ҳарорати.

Бу усулни янада ривожлантиришга рус олимлари харакат қилдилар. Россияда термик таҳлил асосчиси Н.С. Курнаков

бўлиб, у 1904 йилда ҳозирги кунда ҳам қўлланилаётган пиromетрни яратди.

МДХ давлатларида илмий-тадқиқот ишларини ривожланиши натижасида тизимларни физик-кимёвий ва минерологик таркибларини ўрганиш бўйича қиздириш эгриликлари усулидан силикатлар, руда тузлари ва қотишмаларни ўрганиш учун фойдаландилар.

Термик таҳлилдаги дифференциал ёзувларнинг киритилиши усул сезувчанлигини янада орттириди. Икки туздаги термик таҳлил-дифференциал ва оддий эгриликлар ёзила бошлади. Қиздириш эгриликларини ёзиш учун приборга иккита ўта сезувчан кўзгули гальванометр ўрнатилган. 1943 йилда Ф.В. Сиромятников тажриба вақтида дифференциал қиздириш эгрилигига ҳарорат шкалаларини суртиш (тушириш) усулини тактиф қилганидан сўнг, термик таҳлил учун аппаратга иккичи кўзгули гальванометрининг уланиши ва оддий қиздириш эгрилигини ёзишнинг хожати бўлмай қолди. Янги функциялар билан термик таҳлил физик-кимёвий анализ рамкасини яна кенгайтириди. 1939 йилда И.В. Тананаев термик таҳлилини термография деб аташни таклиф этди.

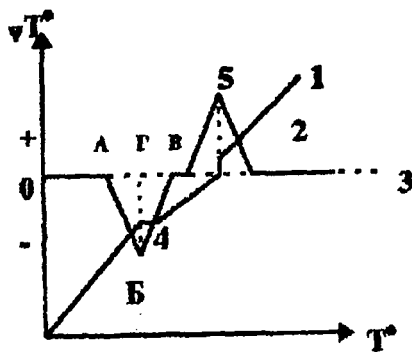
Термография деганда текширилаётган модданинг ихтиёрий нуқтасидаги ҳароратни (ёки ҳароратдаги бирор функцияни) аниқ дастур бўйича моддани узлуксиз равишда қиздирилганда ёки совитилгандаги ҳолатини қайд этиш тушунилади.

Усулнинг физик моҳияти: физик ва кимёвий жарёнларнинг катта қисми иссиқликни ажralиши ёки ютилиши билн борали. Баъзи бир жараёнлар тўғри ва қайтар йўналишида, баъзилари эса фақат бир йўналишда содир бўлади.

Қайтар жараёнларга киритиш мумкин: эриш-кристалланиш, қайнаш-конденсация, полиморф ўзгаришлар, мураккаб бирикмаларнинг ҳосил бўлиши ва парчаланиши, диссоциация.

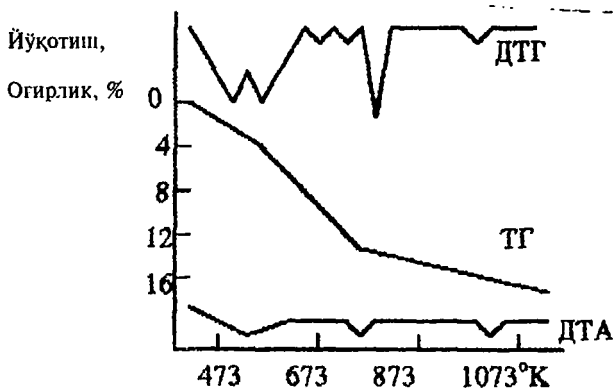
Қайтмас жараёнларга киритиш мумкин: кам барқарор ҳолатдан юқори барқарор ҳолатга ўтиш реакциялари, қаттиқ эритмаларнинг парчаланиши, аморф ҳолатдан кристалл ҳолатга ўтиш, ўзаро таъсир реакциялари, монотроп ўзгариш ва бошқалар.

Ҳамма жараёнлар иссиқликнинг ютилиши ёки ажralиши билан боради, буни ҳароратни ўлчаш йўли билан ўрганиш мумкин. Жараённи боришини ўлчовчи приборлар ёрдамида қайд этилади. Тажриба натижаларини эгри чизиклар орқали ифодалаш мумкин, бунда вақт ва ҳароратни боғлиқлиги ифо-



32-расм.

32-расм. ДТА табиатини очиб берувчи диаграмма: 1-қизлириш эгрилиги (термик таҳлил); 2-дифференциал эгрилик (ДТА); 3-нол линяси; 4-эндотермик эффект;  $\text{CaCO}_3 = \text{CaO} + \text{CO}_2$  жараёнига түғри келувчи; 5-иссиқликин ажралишига оид экзотермик эффект, масалан, кристаллизация жараёнида янги фаза ёки 2 фазадан янги бир фаза ҳосил бўлишида; АБВ-эндотермик эффект чўққиларини ўлчами; АВ-чўққининг кенглиги; ГБ-чўққининг чуқурлиги ёки баландлиги-термик реакция интенсивлигини кўрсаткичи.



33-расм. Тоза цемент хамирига оид дериватограмма.

### 30-§. Дифференциал термик анализ (ДТА)

Кўпгина ҳолларда реакцияларнинг термик эффицити жуда кичик, шунинг учун унга мос эгриликлар кам сезиларли. Бундай ҳолларда термопаранинг сезувчанлигини дифференциал схема қўллаш билан катталашиборлади (32-расм).

Берилган ушбу ҳолатда дифференциал термопара бир вақтнинг ўзида иккита ҳароратни ўлчайди: 1) текширилаётган модданинг температураси; 2) ҳарорат фарқи ёки қиздирилаётган модданинг текширилаётган ҳарорат интервалида термик ўрганишга йўл қўймайдиган инерт моддага нисбатан ўзгариши.

ДТА чизиги ёки эгриликларида эндотермик эффицитлар қўйидаги ҳолларда рўй беради:

1) Термик бузилиш ёки текширилаётган моддадан газсимон фаза ажралиши билан. Масалан, тупроқ минерали  $\text{Al}_2\text{O}_3 \cdot 2\text{SiO}_2 \cdot 2\text{H}_2\text{O} \rightarrow \text{Al}_2\text{O}_3 \cdot 2\text{SiO}_2 + 2\text{H}_2\text{O}$  (дегидратация); оҳактош  $\text{CaCO}_3 \rightarrow \text{CaO} + \text{CO}_2$  (декарбонизация) ;

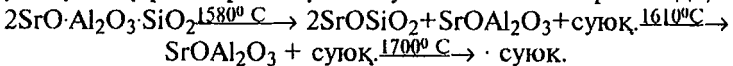
2) Термик парчаланиш, яъни газсимон фаза ажралмасдан модданинг парчаланиши билан.

Масалан, алит минералининг парчаланиши:

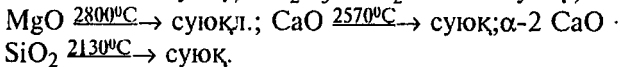
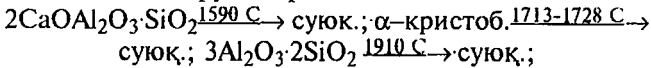


3) Энантиотрон характеристи полиморф ўзгариш билан. Масалан,  $\alpha$ -кварц  $\rightarrow$   $\alpha$ -тридимит (кенгайиш 16%);  $\beta\text{-CaSiO}_3$  (2,91-г/см<sup>3</sup>)  $\rightarrow$   $\alpha\text{-CaSiO}_3$  (2,90-г/см<sup>3</sup>).

4) Модданинг инконгруэнт эриши билан, янга таркибининг суюқ ва қаттиқ фазаларини ҳосил бўлиши билан биргаликда,



5) Модданинг конгруэнт эриши билан:



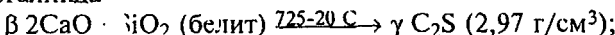
6) Қайнаш — бўғланиш ва возгонка;

7) Қайтар реакциялар.

Моддаларнинг дифференциал термик анализ шаклларида экзотермик эффицит қўйидаги сабаблар туфайли содир бўлади:

1) Оксидланиш реакцияларида  $\text{Fe} + \text{O} \rightarrow \text{FeO}$ ;  $\text{Ce}_2\text{O}_3 + \text{O} \rightarrow 2\text{CeO}_2$ ;

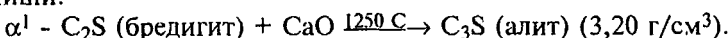
2) Мор троп характерли полиморф ўзгариш, берилган  
жароратда небарқарор модификациядан барқарорга ўтиш билан  
биргаликда



3) Нобағтарор аморф ҳолатидан кристалл ҳолатига ўтиш  
билан



4) Бирикма реакцияси билан. Масалан, алитнинг ҳосил  
бўлиши:



5) Абсорбция жараёни рўй берганида;

6) Адсорбция жараёнида;

7) Кристалларнинг йириклилаши жараёнида;

8) Хемосорбция жараёни юз берганида;

9) Изомеризация жараёнида.

Юқорида қайд этилган эфектлар табиатига кўра, 2 гуруҳга  
ажралади – физик ва кимёвий ўзгаришлар.

Физик термоэфект берувчиларга киради: абсорбция, ад-  
сорбция, полиморф ўзгариш, кристаллар йириклиниши, де-  
сорбция, эриш, аморф ҳолатидан кристалл ҳолатига ўтиш, суб-  
лимация ва бўгланиш.

Кимёвий термоэфект берувчи жараёнлар сафига хемо-  
сорбция, бўлиниши реакциялари, дегидратация, десольватация,  
газли муҳитда оксидланиш, молекулалар камайиши билан  
рўй берадиган оксидланиш реакциялари, оксидланиш –  
қайтарилиш реакциялари, газли муҳитда қайтарилиш, қаттиқ  
фазада рўй берувчан реакциялар, бириктириш ва ўрин алма-  
шиш реакциялари, изомеризация ва бошқалар киради.

### 31-§. Комплекс термик анализ

Усул Г.Н. Воронков (1953 й.) ва Э.К. Келер (1955 й.) томонидан керамик хом ашёларни текшириш учун ишлаб чиқилган. Унда Келер бўйича қуйидагилар бор: 1) одатдаги ДТА; 2) қиздириш жараёнида материалнинг узайиши ёки қисқаришини аниқлаш; 3) қиздиришда материал оғирлигининг йўқолишини аниқлаш.

Воронков бўйича, КТА га киради: 1) ДТА эгриклари;  
2) оғирликнинг ўзгариш эгрилиги; 3) ҳажм ўзгариш эгрилиги;  
4) электрқаршилик эгрилиги.

Фотоқайл этиш курилмаси сифатида Курнаков пиromетри ишлатилган: барабанинг фотоқоғозида бир вақтнинг ўзида термик эфектлар, намунанинг оғирлиги ва ҳажмнинг ўзгариши қайд этилади. Намунанинг чизиқлари ўлчамини ўзгариши (тажрибадан олдин қўйилган белги) фото қайд этиш учун оптик системада берилган.

Термогравиметрик чизиги олишда, шу жумладан, комплекс термик анализда ҳам худди бошқа термография методларида рўй берадиган ҳолатдагидек кўп факторлар мавжуд. Улар тажриба натижаларининг аниқлиги ва қайта тиклапишига гоҳ ижобий, гоҳ салбий таъсир ўтказади. Уларни икки асосий гуруҳга бўлиш мумкин:

1. Ўлчовчи асбоблар (термотарозлар) тузилиши ва ишлаши билан боғлиқ бўлган факторлар:

- а) печ қиздирилиш тезлиги;
- б) ёзиш тезлиги;
- в) печ атмосфераси;
- г) намуна ушлагич шакли;
- д) ёзув қурилмасининг сезирлиги;
- е) намуна контейнери материалининг кимёвий таркиби.

2. Намуна таркиби:

- а) намуна массаси;
- б) намунада ажралиб чиқарилаётган газнинг қайта эриши;
- в) намуна бўлакчалари ўлчами;
- г) реакция иссиқлиги;
- д) намуна бўлакчаларининг зич жойлашиши;
- е) намунанинг кимёвий таркиби;
- ж) иссиқлик ўтказувчанлик ва ҳоказо.

### 32-§. Дериватографик анализ

Бу усулга К.Хонда 1915 йили асос соглан ва илк бор термотарозилар яратган. 1915-1920 йиллар давомида усулнинг термогравиметрия қисми Гайчар томонидан ривожлантирилган. Ўтган асрнинг 40-50 йилларида Дюваль усул афзалликларини амалда синааб кўрсатган. 50-чи йилларда эса юқори сифатли саноат термотарозилари пайдо бўлди. Бу эса дериватографиянинг пайдо бўлишига олиб келди.

Дериватографиянинг анъанавий ДТА дан фарқи шундаки, бир намунанинг ўзида энталпия ва оғирликни йўқотиш қайд этилади. Оддий ҳолдаги дифференциал термотаҳлилда ҳарорат намунада, термогравиметрияда эса-печдаги муҳитда ўлчанади. Бу эгриликларни мос равишда қўйишда қийин-чиликларни юзага келтиради ва хатоларга йўл қўйишга олиб келади.

1955 йилда венгер фуқаролари Ф.Паулик, И.Паулик ва Л.Эрдан дериватография усули бўйича таклиф киритишган. Бу усул бўйича автоматик равишда тўртта эгрилик қайл этилади: 1) ҳарорат эгрилиги; 2) ДТА эгрилиги; 3) термогравиметрик эгрилик (ТГ); 4) дифференциал термогравиметрик эгрилик (ДТГ).

ДТГ бўйича қиздириш жараёнида оғирлик тезлигининг ўзгариши аниқланади. Бу эса ўз павбатида термографик эгрилик ТГ устига устма-уст тушган процессларни ажратишга имкон беради.

Бунга эришиш учун дериваторграф тарозиси чашкаларидан бирига перманент магнит ўрнатилган бўлиб, у обмотка ичидан вертикал ўқда жойлашган. Материални қиздириш билан оғирлиги ўзгаришида магнит қиздириш тезлигига пропорционал равишда сурилади. Магнит майдонида ҳосил бўлган ток магнит узатиш тезлигига пропорционал бўлади ва унинг кучланиши приборда фотографик йўл билан қайд этилади.

Мисол тариқасида, юқорида тоза цемент хамири (юза кўрсаткичи  $4000 \text{ см}^2/\text{г}$  га, сувцемент нисбати 0.25, қолиплаш ҳарорати 293 К га ва ёши 28 суткага тенг)ни қиздиришда ҳосил бўладиган дериваторграмма берилган (33-расм).

### 33-§. Усулнинг аппаратуралари

Термография усулларининг имконияти катта. Энг аввало, улар ёрдамида текширилаётган моддада содир бўладиган эндо-термик ва экзотермик эфектларни қайси ҳарорат нуқтасида бошланиши ва қайси ҳароратда тугаши ҳақида ўта аниқ хуло-сага эга бўламиз. Бу эса биринчи ҳарорат нуқтасининг пасти ва иккинчи ҳарорат нуқтасининг тепа томонларида рентгенографик, ИК спектроскопик ва микроскопик тадқиқотлар ўтказиб, фиксация қилинган эфект моҳиятини англашга олиб боради.

Термограф тадқиқотларни ўтказишда танланган аппаратура, тигел ва термопаралар роли ниҳоятда катта. Айниқса, тажрибаларни 1500 ва ундан юқори ҳароратда олиб борилганда намуна

ва термопара симларининг учмаслигини таъминлаш, тигел тозалаш жарабини осонлаштириш ва ҳоказо талаб қилинади.

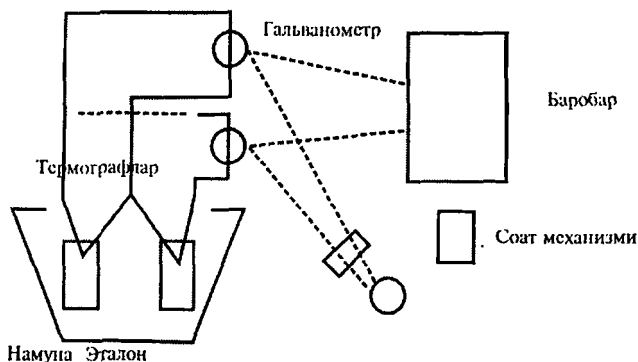
Агар тадқиқотларда термик таҳдил усули қўлланмаса, у ҳолда жуда кўп марта намуналарни куйдириш, жуда кўп рентгенограммалар олиш ва уларни расшифровка қилиш, кўп сонли шлифлар ясали ва тадқиқотлар ўтказиш керак бўлар эди. Термография эса олимлар ишини тизимга солди ва тадқиқотлар сонининг максимал камайтириш имконини берди.

Замонавий термик жиҳозлар учун қуйидагилар талаб қилинади (34-расм):

1) Вольфрам ( $2800^{\circ}\text{C}$  гача), электрографит ( $2000^{\circ}\text{C}$  гача), родий ( $1800^{\circ}\text{C}$  гача), силит ( $1500^{\circ}\text{C}$  гача), 10-20% родийли платина ( $1500^{\circ}\text{C}$  гача), глобар ( $1500^{\circ}\text{C}$  гача), платина ( $1400^{\circ}\text{C}$  гача), тантал ( $1330^{\circ}\text{C}$  гача), молибден ( $1200^{\circ}\text{C}$  гача), хромел ( $1100^{\circ}\text{C}$  гача), никром ( $1000^{\circ}\text{C}$  гача) каби қиздирилишларга эга бўлган электрик печлар.

2) Потенциал-регулятор ёки бошқа турдаги печ ҳароратини бир меъёрда кўтарилишини таъминловчи жиҳоз. Булар қаторига автоматик ползункали реостатлар, автотрансформаторлар ва потенциал-регуляторлар киради. Контактли гальванометр ва потенциометрларни ҳам ишилатиш мумкин.

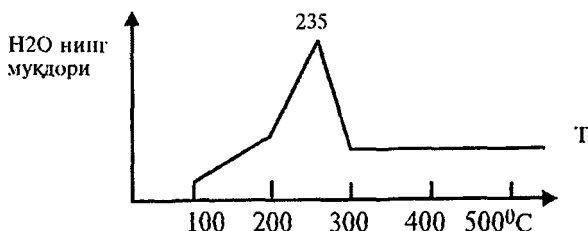
3) Эталон ва намуна солинадиган тигеллар (платинали, ко-рундили, графитли ва бошқалар).



34-расм. Дифференциал термопарали Курнаков пиromетрийнинг чизмаси.



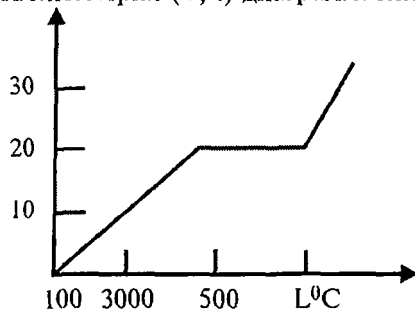
35-расм. Гипстош  $2\text{CaSO}_4 \cdot 2\text{H}_2\text{O}$  нинг тензиметрик ( $P$ ,  $t$ ) чизиги.



36-расм. Табий гиббсит минералининг дифференциал тензиметрия чизиги.



37-расм. Газоволюметрия ( $V$ ,  $t$ ) диаграммасининг кўриниши.



38-расм. Дилатометрия усули ( $v$ ,  $t$ ) диаграммасининг кўриниши.

4) Платина – платинородийли (20%Rh), платина-платинародийли (10%Rh), хромел-алюмелли, вольфрам-молибденли, никел-хромникелли, темир-константан, мис-константан ва бошқа одий ва дифференциал термопаралар. Темир-константан термопара 185-370°C оралиғида, хромел-алюмелли ҳароратда 1200°C гача, платина-платинородийли эса 1400 °C гача ишлатилади. 1400°C дан юқориго ҳароратда эса вольфрам, молибден, рений, тантал, ниобий ва уларнинг қотишмаларидан ясалган термопаралар ишлатилиши керак.

5) Натижаларни ёзувчи автоматик ёзув қурилмаси (фотоқайд этипи- ёзиш ёки потенциометр).

Куйида номи қайд қилинган жиҳозлар устида батафсил тушунириш берилади:

1. Печлар: металл корпусли ҳимояланган, ичига қиздириш элементлари ўрнатилган жиҳоз. Қиздириш элементи сифатида диаметри 0,5-1 мм бўлган никромли симлар (1273 К гача), қотишима Б-2 (1473 К гача), платина (1773 К гача), силитли (SiC+C, 1773 К гача) ва корборундли стерженлар (SiC, 1773 К гача) ишлатилади.

2. Печнинг терморегуляторлари сифатида автоматик силжувчи реостатлар, автотрансформаторлар ва программа билан бошқариладиган потенциал регуляторлари қўлланади.

3. Тигеллар - қалин деворли металл ёки керамика блоки, думалоқ ёки тўғрибурчак шаклда тайёрланган. Платинали тигелларни кислотада тозалаб, кўп вақт ишлатиш мумкин.

4. Термопаралар - энг катта талаб - модда билан ўзаро таъсирашмаслик. Шунинг учун кўпинча 1773 К гача Pt-PtRh ва 2273 К гача вольфрам - молибден ишлатилади.

5) Ўзи ёзувчи ёки регистрация қилувчи тизим. Электрон ўзи ёзувчи қурилмалар - ЭПП-09, ЭПД-09 типидаги потенциометрлар. Курнаковнинг замонавий вариантдаги пиromетрлари - ФПК-52,ФПК-54,ФПК-57 (тебранишга, механик таъсиrlарга чидамсиз).

### 34-§. Дериватограф

Чет элда чиқариладиган, МДҲ мамлакатларида қўлланиладиган жиҳозга дериватограф номи билан аталувчи ва Будапештнинг “Метримпэкс” фирмасининг 1966 йилда Ф. Паулик ва бошқалар томонидан чиқарган модели жиҳоз бўлиб, унинг русуми ОД-102 дир.

Комплекс термоаналитик жиҳоз дифференциал термоаналитик аппаратлар, термотарози ва дифференциал термотарозидан иборат. Дериватограф шу текширилаётган куқунда бир вақтнинг ўзида оғирликнинг ўзгариши (ТГ), оғирликнинг ўзгариши тезлиги (ДТГ), ҳароратлар фарқининг ўзгариши (ДТА) ва ҳароратнинг ўзгариши (Т) ни аниқлашга имкон беради.

Кўрсатилган тўрт хил ўлчам тўла таҳдил шароитида - комплекс текширувни таъминлади. Ҳарорат печда эмас, балки намуна ўлчанади, десмак молданинг ҳарорат таъсирида ўзгариши юқори аниқлиқда ўлчанади.

Намуна учун тигеллар шундай ясалганки, унда содир бўлаётган қаттиқ фаза ва суюқ фазадаги реакцияларни ўрганиш мумкин. Дериватографнинг платина тигелидаги намуна ҳарорати электрик печ қизишни тезлиги билан бир хилда кўтарилади. Молданинг куқуни 50 дан 5000 мг. гача бўлади. Электропечнинг қизишини бошқарув программаси бўйича минутига  $0,5^{\circ}$  дан  $20^{\circ}\text{C}$  тезлик билан кўтарилиши таъминланади. Печининг энг қизиган муҳитидаги максимал ҳарорат  $150$ ,  $300$ ,  $600$ ,  $900$ ,  $1200^{\circ}\text{C}$ . Максимал ҳато  $\pm 5^{\circ}\text{C}$ . Фотоқайд этувчи барабаннинг бир марта тўлиқ айланиши  $25$ ,  $50$ ,  $100$  ва  $200$  мин. да содир бўлади. Термограммалар  $25$ ,  $50$ ,  $100$ ,  $200$  минутда ёзилиши мумкин. Термограммадаги милиграммлардаги оптик шкала. намуна оғирлигининг камайишини аниқлаш учун қўйилган. Термограммалар инерт газда олиши мумкин. Жиҳоз тўла автоматлаштирилган.

Ф.Паулик ва бошқалар томонидан яратилган «ОД-102» дериватографи конструктив 16 элемент, детал ва жиҳоздан ташкил топган: 1-намуна солинадиган тигел; 2-инерт модда солинадиган тигел; 3-чинни трубка; 4-термопаралар; 5-электр токи билан ишлайдиган печ; 6-фиксмланиб кетмайдиган сим; 7-тарозлар; 8-катушка; 9-магнит; 10-ТГП учун гальванометр; 11-ҳароратни ўлчовчи гальванометр; 12-ДТА гальванометри; 13-лампалар; 14-оптик тешикча; 15-фоторегистрация цилиндири; 16-фотоқоз.

МДҲ мамлакатларида мавжуд бўлган жиҳозлар қаторига қўйдагилар киради:

1) СГМ-8 полярграфи билан комплексдаги ТП-1 типидаги термик мослама. У 1959 йилда Москвадаги Геологқидирив аппаратлари ва жиҳозлари заводида чиқарилган. Бу жиҳоз 15 минут давомида  $20^{\circ}$  дан  $1000^{\circ}\text{C}$  гача ДТА ни олиши мумкин.

Қиздириш тезлиги минутига  $70^{\circ}\text{C}$ , молда миқдори 0,05 дан 0,1 г. гача;

2) ТҮ-1 типдаги термик қурилма:  $20^{\circ}$  дан  $1400^{\circ}\text{C}$  гача ДТА ни 15 минут давомида олади. Қиздириш тезлиги  $75\text{-}100^{\circ}$  бўлиб, текширилаётган модданинг миқдори 0,02-0,09 г ни ташкил этади.

3) УТА-1термоғирлиқ анализи қурилмаси. У бир вақтнинг ўзида иккита эгриликни ёзади: ДТА ва ТГ. Иссиклик оралifi  $20^{\circ}$  дан  $1000^{\circ}\text{C}$  гача. Қиздириш тезлиги минутига 15, 30, 45, 60. Текширилаётган намуна миқдори макро ва микро тарзида бўлиши мумкин. Бу жиҳоз Санкт-Петербургдаги “Геологқидирув” заводида ишлаб чиқарилади;

4) Паст частотали термографик регистратор НТР-62. Россия ФА “Нодир жиҳозлар конструктив бюроси маркази” томонидан чиқарилган. Жиҳоз дастурли - қизиш учун бошқарув пультига эга бўлиб, қиздириш печи ва ўзи ёзувчи қурилмалардан ташкил топган. Ҳар икки минутда автоматик тарзда вақтни белгилаб борилади ва термограмма қофозининг настки қисмига туширилади. Автоматик тарзда бошқарини ток бўйича бўлмай, балки ҳарорат бўйича олиб борилади. Барабаннинг айланниш тезлиги турлича. Барабаннинг бир марта тўлиқ айланиши 4, 8, 16, 32, 64, 128, 256 минут ва 24 соат давом этиши мумкин. Ўзи ёзувчи қурилма бир вақтнинг ўзида моддани қиздириш жараёнидаги тўрт хил хоссаларни ўзгаришини қайд этади.

### **35-§. Тензиметрия, газоволюметрия ва дилатометрия асоблари**

**Тензиметрия.** Минерални қиздириш жараёнида таркибида бор бўлган учувчан компонентларининг қайишқоқлигини қайд этишга асосланган.

Тензиметрия приборлари Хюттинг (1920 й.), Краусс ва Шривер (1930 й.), Сиромятников (1940 ва 1957 й.) томонидан яратилган. Бу приборлар газни қиздириш жараёнида унинг босими ( $P$ ), ҳажми ( $V$ ) нинг ўзгаришини ўлчаш имкониятини беради (35 ва 36-расмлар).

**Газоволюметрия** - аниқ ҳароратда минераллардан  $\text{H}_2\text{O}$ ,  $\text{CO}_2$  ва бошқа газсимон фазаларни ажралишига асосланган (37-расм). Л.Г. Берг томонидан 1952 й. ажralаётган газ ҳажми ўзгаришини ўлчаш газли бюretкада амалга оширилган.

Газоволюметрия ҳароратлари ва ажралиб чиққан газ ҳажмини билиш орқали аралашмалаги минерални дастлабги миқдорини айтиб бериш мумкин.

Шунинг учун бу усузида кўпроқ 50-200 мг, тензemetрия усулни бўйича эса 1-2 мг миқдорида модда олинади.

**Дилатометрия** - жисмнинг кенгайишини ўлчайдиган усул (38-расм). Бундай усуздада текширишни дилатометр приборида амалга оширилади.

Дилатометрия термик анализнинг бир тури бўлиб, бунда қаттиқ ҳолатдаги кимёвий модда, минерал, шинса, хом аниё ёки саноат чиқиндисининг юқори ҳарорат таъсирида кенгайини аниқлашган. Бундай кенгайиш чизиқли кенгайиш коэффициенти ( $\alpha$ ) ва ҳажмий кенгайиш коэффициенти ( $\beta$ ) номли параметрлар билан ифодаланади.

Чизиқли кенгайиш коэффициенти  $\alpha$  деб текширилаётган модда ҳарорати  $1^{\circ}\text{C}$  га кўғарилганда намуна ўлмамишининг писбий узайишига айтилади:

$$\alpha = \Delta l/l \cdot \Delta t \quad \text{ёки} \quad \Delta l = \alpha \cdot l \cdot \Delta t$$

бунда  $l$  - текширилаётган модда намунасининг узунлиги;

$\Delta l$  - ҳарорати  $\Delta t$   $^{\circ}$  га оширилганда намуна узунлигининг ортиши;

$\Delta t$  - бошлангич ( $t_1$ ) ва охирги ҳарорат ( $t_2$ ) лар фарқи.

### 36-§. Препарат тайёрлаш усуслари

Таҳчилик учун керак бўлган материал миқдори олиб борилаётган текширув турига боғлиқ:

а) минераллар таҳчили учун - 30-100 мг;

б) термоаналитик ғрилил олиш учун - 350-500 мг молда зарур;

в) ялпи бир турли аниқлашлар учун - 100 мг молда кифоя.

Материал тайёрланади:

- узоқ муддатли ишқалаш орқали намуна куқун ҳолига келгунча (куқун катталиги 0,0043 мм). Таркибида конституцион  $\text{H}_2\text{O}$  ва осон оксидланувчи элемен tlар бўлмаслиги керак;

- вақт бўйича қисқа муддатли эзиш - агар таркибида конституцион  $\text{H}_2\text{O}$  бўлса;

- Пичоқ, қайчи, ўткир тиғли қесгичлар ёрдамида юпқа қаватлар кўрининишида олинади, масалан, слюдасимон моддалар тайёрланиши шу тарзда бўлади.

Термография усуллари билан тақиқотлар ўтказиш чоғида текширилаётган молда намунасидан 0,05-0,3г дан 10-12г гача олинади. Олинган намуна чинни ёки агат ховончада 1-3 мм ли бўлакчалар ҳолигача майдаланади. Майдаланган материалдан 1-2 г олиб бўксга солинади, устига абсолют спирт куйилади ва 10-20 соат тинч кўйилади. Кейин материал қозоз фильтрига тўкиб сувсизлантирилади. Сўнгра материал 4900-10000 тешикли элакларда эланали. Шундан кейин ундан ўртacha намуна 0,3-0,5 г миқдорида олинади ва термографнинг платина ёки корунддан тайёрланган тигелига солинади.

Анализ учун олинадиган намуна миқдори гилсимон минераллар учун 0,3-2 г га тенг бўлади. Бу ҳолда нечандаги қиздириш тезлиги 5-10 град/мин атрофида бўлади. Агар қиздириши тезлиги 50-60 град/мин бўлса, у ҳолда намуна миқдори 0,1 г гача камайиши мумкин. Натижаларнинг аниқ бўлишига текширилаётган модда билан эталоннинг бир хил зичликка эга бўлиши даркор.

### **37-§. Усулнинг имкониятлари, афзаллиги ва камчиликлари**

Усулдан амалий жиҳатдан фойдаланиш имкониятлари. Уларга қуидагиларни кўрсатиш мумкин:

1) Бу усусиз илмий-тадқиқот иши олиб борувчилар микроскопия, рентген каби усуллар билангина ишлаганда ўнлаб, ҳатто юзлаб экспериментлар ўтказишлари зарур эди. Термография усули қўлланиши билан экспериментлар сони камайди, биргина эксперимент ўтказиш билан керакли эффектлар ва уларнинг чегаралари ҳамда табиати ҳақида аниқ фикр юритиш имкони пайдо бўлди;

2) Хом ашё материаллари, минераллари, жинсларни минералогик таркибини уларнинг термик эгри чизиқларини бошқа этalon термограммаларга таққослаш йўли билан илк бор ахборотга эга бўлиш имконияти яратилиши;

3) Минерални турини, айниқса бир группага тааллуқларини таҳдил қилишга имконият беради. Айниқса, карбонатлар, сувли бирикмаларда уларнинг парчаланиши, сувни учуб чиқиб кетишини меъёрий аниқлашга муваффақ бўлиши;

4) Модданинг теплофизик ҳолати, айниқса, кимёвий реакциялар давомида уларнинг иссиқлик ютиши ёки чиқарилиши масалаларини аниқлаш имконияти пайдо бўлди;

5) Модданинг термоинерт ёки термоактивлигини аниқлайди. Масалан, корунднинг термоинертилиги ва кремнеземнинг термоактивлиги;

6) Иссикълик эфекти содир бўладиган ҳарорат оралигини аниқлайди. Термографиядан бошقا усул қўлланганда бу масалалини ечиш жуда қийин кечади, жуда кўплаб тажрибалар ўтказилиши талаб этилади;

7) Минерал турини табиатдаги кимёвий ўзгаришини аниқлашга имкон беради;

8) Физик-кимёвий жараён тезлиги ва вақт бўйича унинг ҳолатини аниқлашга хизмат қиласди;

9) Жараёнда ҳосил бўлаётган модда миқдорини аниқ ўлчашга имкон яратади.

**Усулининг афзалиги.** Унинг афзал томонлари кўп. Уларга қўйидагилар киради:

1) Усулда аморф, майда дисперс ва метамикт минералларни ўрганиш учун қўллаш имконияти мавжудлиги;

2) Усулининг объективлиги ва яққол қоғозга термограмма ёки дериваторгамма ҳолатида туширилиши;

3) Бажариш техникасининг соддалиги, ишлатилган тигелларнинг тозалаб қайта ишлатиш имконияти мавжудлиги;

4) Усулининг тез бажарилиши. У 15 дан то 45-60 мин гача талаб қиласди. Шу билан бирга кўп анализ – термоэфектлар, оғирликлар ва бошқаларга оид тажрибаларни бир вақтда ўтказиш имконияти мавжудлиги;

5) Моддани кам миқдорда, яъни 0,1 дан 0,5 г гача олиш имконияти мавжудлиги;

6) Минерал турининг термоаналитик тафсифини аниқлаш имконияти;

7) -190° дан то +3000° гача ҳароратларда ДТА эгрилигини олиш имкони.

**Усулининг камчиликлари.** Маълум даражада камчиликлар ҳам мавжуд:

1) Термография орқали маълум бир ҳароратда термоэффект содир бўлганлиги, модданинг миқдори ўзгарабошлаганлиги қайд этилади, лекин у нима асосида рўй берганлигини аниқлай олмайди.

2) Рентгенография, ИК спектроскопия, микроскопия, кимёвий ва бошқа турдаги анализларни жалб этгандан кейингина хулоса чиқариш мумкин бўлади.

3) Термограмма олиш экспериментал шароитга боғлиқлиги (қиздириш тезлиги, намуна оғирлиги, дифференциал термопара занжиридаги ўзгарувчанлик, тигелдаги модданинг зичлиги, эталоннинг хоссаси, печнинг атмосфераси, термопара қотишмасининг намуна ва эталонга ўрнатилиши, дисперслик даражаси ва бошқалар).

### **38-§ Кимёвий жараёнларда содир бўладиган термик эфектларга оид маълумотлар**

Қуйида табиий ва сунъий ҳолда учрайдиган, силикат ва бошқа саноатларда кўпроқ кўлланиладиган кимёвий моддаларда содир бўладиган термик эфектларга оид маълумотлар келтирилди (16-жадвал).

### **Баъзи кимёвий бирикма ва минералларнинг термик эфектлари**

**16-жадвал**

Модданинг номи ва формуласи	Термоэфект тури	Термоэфект ҳарорати, °C	Термоэфект Табиати
Кремний /IV/- оксид – $\text{SiO}_2$	Экзоэффект	115-117	Тридимитнинг ўтиши
	Экзоэффект	155-163	Тридимитнинг ўтиши
	Экзоэффект	220-280	Кристобалитнинг ўтиши
	Эндоэффект	573	Кварцнинг ўтиши
Каолинит- $\gamma$ $\text{Al}_2\text{O}_3 \cdot 2\text{SiO}_2 \cdot 2\text{H}_2\text{O}$	Эндоэффект	550-610	Дегидратланиш
	Экзоэффект	925-1000	Аморф кремнезэм ва глиноземнинг кристалланиши ва силлиманит ёки муллит ҳосил бўлиши
	Экзоэффект	1200	Муллитнинг бутунлай ҳосил бўлиши ва қолдиқ аморф $\text{SiO}_2$ нинг кристалланиши

Диккит – $\beta\text{-Al}_2\text{O}_3\cdot 2\text{SiO}_2\cdot 2\text{H}_2\text{O}$	Эндоэффект	480 – 590	Дегидратланиш
	Экзоэффект	950 – 1050	Аморф махсузлотларнинг кристалланиши, муллит ёки силиманит ҳосил бўлиши
	Экзоэффект	1130 – 1250	Муллит ва кристобалит ҳосил бўлиши
Накрит – $\alpha\text{-Al}_2\text{O}_3\cdot 2\text{SiO}_2\cdot 2\text{H}_2\text{O}$	Эндоэффект	550 – 610	Дегидратланиш
	Экзоэффект	950 – 1050	Аморф махсузлотларнинг кристалланиши
	Экзоэффект	1200 – 1250	Муллит ва кристобалит ҳосил бўлиши
Монтморилло- нит – $\text{Al}_2\text{O}_3\cdot 4\text{SiO}_2\cdot \text{H}_2\text{O}$ $(\text{Al}_2,\text{Mg}_3)\text{O}_3\cdot 4\text{SiO}_2\cdot \text{H}_2\text{O}$	Эндоэффект	50 – 150	Адсорбилинган сувнинг йўқотилиши
	Эндоэффект	200 – 235	Пакетларо сувнинг йўқотилиши
	Эндоэффект	500 – 760	Конституцион сувнинг чиқиши
	Эндоэффект	800 – 860	Кристалл панжаранинг парчаланиши
	Экзоэффект	900 – 1000	Кристалланини ва янги модданинг ҳосил бўлиши
Бейделлит – $\text{Al}_2\text{O}_3\cdot 4\text{SiO}_2\cdot \text{H}_2\text{O}\cdot n\text{H}_2\text{O}$	Эндоэффект	100 – 190	Адсорбилинган сувнинг бугланиши
	Эндоэффект	500 – 600	Конституцион сувнинг чиқиши
	Эндоэффект	800 – 880	Кристалл панжаранинг парчаланиши
	Экзоэффект	900 – 925	Янги кристалл модданинг пайдо бўлиши

Нонтронит – $m[3\text{MgO} \cdot 4\text{SiO}_2 \cdot \text{H}_2\text{O}] \cdot n[(\text{Fe}^{3+}, \text{Al})_2\text{O}_3 \cdot 4\text{SiO}_2 \cdot n\text{H}_2\text{O}]$	Эндоэффект	100 – 200	Адсорбилинган ва цеолитли сувларнинг буғланиши
	Эндоэффект	400 – 625	Конституцион сувнинг чиқиши
	Экзоэффект	810 – 920	Янги кристалл модда пайдо бўлиши
	Экзоэффект	925 – 1180	Кристалланишнинг охирига этиши
Монотермит – $0.2\text{RO} \cdot \text{Al}_2\text{O}_3 \cdot 3\text{SiO}_2 \cdot 1.5\text{H}_2\text{O}$ (+0,5H <sub>2</sub> O)	Экзоэффект	50 – 100	Кристалланишнинг охирига этиши
	Экзоэффект	450 – 550	Конституцион сувнинг чиқиши
	Экзоэффект	955 – 975	Кристалл модданинг ҳосил бўлиши
Галлуазит – $\text{Al}_2\text{O}_3 \cdot 2\text{SiO}_2 \cdot 4\text{H}_2\text{O}$	Эндоэффект	50 – 140	Адсорбилинган сувнинг ажралиши
	Эндоэффект	405 – 555	Конституцион сувнинг ажралиб чиқиши
	Экзоэффект	970 – 1060	Кристалл ва янги модданинг ҳосил бўлиши
Пирофиллит – $\text{Al}_2\text{O}_3 \cdot 4\text{SiO}_2 \cdot \text{H}_2\text{O}$	Экзоэффект	500 – 800	Сувнинг ажралиб чиқиши
	Эндоэффект	950 – 1100	Янги кристалл модданинг ҳосил бўлиши

Полигорскит- $MgO \cdot Al_2O_3 \cdot 4SiO_2 \cdot 5H_2O$ $nH_2O$	Эндоэффект	130 – 150	Адсорбилинг сувнинг ажралиши
	Эндоэффект	270 – 300	Пакетларо сувнинг йўқотилиши
	Эндоэффект	500 – 530	Конституцион сувнинг ажралиши
	Эндоэффект	905	Кристалл панжаранинг парчаланиши
	Экзоэффект	950	Янги модданинг кристалланиши
Кальцит- $CaCO_3$	Эндоэффект	800 – 950	Диссоциаланиш
Арагонит – $CaCO_3$	Эндоэффект	390-420	Кальцитга айланыш
Ватерит (фатсрит)- k-форма $CaCO_3$	Эндоэффект	440	Кальцитга айланыш
	Эндоэффект	900 – 950	Диссоциаланиш
Тремолит- $2CaO \cdot 5MgO \cdot 8SiO_2 \cdot H_2O$	Эндоэффект	800	Конституцион сувнинг чиқиши
Шохли алдагич- $Ca, Na(Mg, Fe)_4 \cdot (Al, Fe) \cdot [(Si, Al)_4O_{11}] \cdot (O H)_3$	Эндоэффект	400	Сувнинг ажралиши
	Эндоэффект	1175	Сувнинг бутунлайнин ажралиб чиқиши
Кальций гидроксид – $Ca(OH)_2$	Эндоэффект	530-580	Дегидратланиш
Магнезит- $MgCO_3$	Эндоэффект	540-710	Диссоциаланиш
Доломит- $Ca Mg(CO_3)_2$	Эндоэффект	730-790	Доломитнинг $CaCO_3$ ва $MgCO_3$ га парчаланиши ҳамда $MgCO_3$ нинг диссоияланиши

Ангидрит – $\text{Ca SO}_4$	Эндоэффект	1190	Полиморф ўзгариш
Ярим молекула сувли гипс- $\alpha$ - $\text{CaSO}_4 \cdot 0,5\text{H}_2\text{O}$	Эндоэффект	160	Дегидратланиш
	Эндоэффект	240	Дегидратланиш
	Эндоэффект	380	Ангидрит инвер- сияси
	Эндоэффект	1180 – 1200	Полиморф ўзгариш
Ярим молекула сувли гипс – $\beta\text{Ca SO}_4 \cdot 0,5\text{H}_2\text{O}$	Эндоэффект	120	Дегидратланиш
	Эндоэффект	180	Дегидратланиш
	Эндоэффект	240	0,5 мол $\text{H}_2\text{O}$ йўқолади
	Эндоэффект	410	Ангидрид инвер- сияси
	Эндоэффект	1180 – 1200	Полиморф ўзгариш
Икки молекула сувли гипс- $\text{CaSO}_4 \cdot 2\text{H}_2\text{O}$	Эндоэффект	100 – 120	Адсорбилинган сувнинг йўқолиши
	Эндоэффект	220	0,5 мол $\text{H}_2\text{O}$ нинг йўқолиши
	Эндоэффект	240	0,5 мол $\text{H}_2\text{O}$ нинг йўқолиши
	Эндоэффект	380 – 420	$\text{Ca SO}_4$ инверсияси
	Эндоэффект	1180 – 1200	Полиморф ўзгариш
Уч калыпийли силикат- $3\text{CaO} \cdot \text{SiO}_2$	Эндоэффект	920 – 925	Полиморф ўзгариш
	Эндоэффект	970 – 980	Полиморф ўзгариш
	Эндоэффект	990 – 1000	Полиморф ўзгариш
Алит- $54\text{CaO} \cdot$ $16\text{SiO}_2 \cdot \text{Al}_2\text{O}_3 \cdot$ $\text{MgO}$	Эндоэффект	825	Полиморф ўзгариш
	Эндоэффект	1427	Полиморф ўзгариш

Икки кальцийли силикат - $\gamma$ -2CaO · SiO <sub>2</sub>	Эндоэффект	780-830	$\alpha$ C <sub>2</sub> S га ўтиш
	Эндоэффект	1447	$\alpha$ C <sub>2</sub> Sдан $\alpha$ C <sub>2</sub> S га ўтиш
Тальк - 3MgO·4SiO <sub>2</sub> ·H <sub>2</sub> O	Эндоэффект	850 - 950	Дегидратланиш
Хризотил-асбест-Mg <sub>6</sub> (Si <sub>4</sub> O <sub>11</sub> ) <sub>6</sub> (OH) <sub>6</sub> ·H <sub>2</sub> O	Эндоэффект	100	Адсорбилиган сувнинг йўқолиши
Кальций гидросульфоалюминат 3CaO·Al <sub>2</sub> O <sub>3</sub> ·Ca SO <sub>4</sub> ·12H <sub>2</sub> O	Эндоэффект	200-250	Қисман дегидратланиш, таркибидаги сувнинг кўп қисмини йўқотиши
	Эндоэффект	300-320	Дегидратланиш
	Эндоэффект	500	Дегидратланиш
	Эндоэффект	800	Сувсиз аморф ҳолатдаги фазанинг кристалланиши
Натрий гидросиликат-Na <sub>2</sub> O·SiO <sub>2</sub> ·6.H <sub>2</sub> O	Эндоэффект	95	Босқичли дегидратланиш
	Эндоэффект	1083	Сувсиз тузнинг суюқланиши
Гидрагиллит-Al <sub>2</sub> O <sub>3</sub> ·3H <sub>2</sub> O	Эндоэффект	250 - 300	Қисман дегидратланиш, бемит ҳосил бўлиши
	Эндоэффект	500 - 550	Бемитнинг дегидратланиши
	Экзоэффект	800	$\gamma$ -Al <sub>2</sub> O <sub>3</sub> нинг $\alpha$ -Al <sub>2</sub> O <sub>3</sub> га ўтиши
Байерит (метастабил форма)- Al <sub>2</sub> O <sub>3</sub> ·3H <sub>2</sub> O		310 - 315	Қисман дегидратланиш, бемитга ўтиши
		500 - 550	Бемитнинг бутунлайин дегидратланиш
		800	$\gamma$ - Al <sub>2</sub> O <sub>3</sub> нинг $\alpha$ -Al <sub>2</sub> O <sub>3</sub> га ўтиши

Бесмит $\text{Al}_2\text{O}_3 \cdot \text{H}_2\text{O}$	Эндоэффект	460 – 580	Дегидратланиш. Конституцион сувнинг чиқиши ва кристалл панжаранинг бузилиши
	Экзоэффект	850 - 950	$\gamma$ - $\text{Al}_2\text{O}_3$ нинг $\alpha$ - $\text{Al}_2\text{O}_3$ га ўтиши
Гетит $\text{Fe}_2\text{O} \cdot \text{H}_2\text{O}$	Эндоэффект	300 – 420	Дегидратланиш, $\alpha$ - $\text{Fe}_2\text{O}_3$ га ўтиш
	Эндоэффект	680	Полиморф ўзгариш, $\alpha$ - $\text{Fe}_2\text{O}_3$ дан $\gamma$ - $\text{Fe}_2\text{O}_3$ га ўтиш
Магнетит- $\text{FeFe}_2\text{O}_4$	Экзоэффект	250 – 375	Магнетитнинг магнетит – $\gamma$ - $\text{Fe}_2\text{O}_3$ га ўтиши
	Экзоэффект	590 – 650	Магнетитнинг гематит – $\gamma$ - $\text{Fe}_2\text{O}_3$ га ўтиши
Гематит- $\alpha$ - $\text{Fe}_2\text{O}_3$	Эндоэффект	658	Магнетит – $\gamma$ - $\text{Fe}_2\text{O}_3$ га ўтиш
	Эндоэффект	1370 - 1400	Магнетит – $\text{Fe}_3\text{O}_4$ га ўтиши
Натрийли дала шпати- $\beta$ - $\text{Na}_2\text{O} \cdot \text{Al}_2\text{O}_3 \cdot 6 \text{SiO}_2$	Эндоэффект	1118	Эриш
Мусковит - $\text{K}_2\text{O} \cdot 3\text{Al}_2\text{O}_3 \cdot 6\text{SiO}_2 \cdot 2\text{H}_2\text{O}$	Эндоэффект	750 - 850	Дегидратланиш
	Эндоэффект	1020 – 1090	Кристалл панжара парчалиниши
Биотит - $\text{K}(\text{Mg}, \text{Fe})_3[\text{AlSi}_3\text{O}_{10}] \cdot (\text{OH}, \text{F})_2$	Эндоэффект	1160	Кристалл панжара парчалиниши
	Экзоэффект	1200	Янги кристалл молда ҳосил бўлиши
Брусит - $\text{Mg}(\text{OH})_2$	Эндоэффект	400-550	Дегидратланиш
Ксонотлит - $6\text{CaO} \cdot 6\text{SiO}_2 \cdot \text{H}_2\text{O}$	Эндоэффект	775-800	Дегидратланиш

## **Такрорлаш учун саволлар**

1. Термография усулининг назарий асослари ким томонидан ишланган?
2. Термография усулига оид термик анализ усулларини санаб беринг.
3. Термик анализ деб қандай таҳлил турига айтилади?
4. Доломит минералининг термик таҳлилига оид вақт-харорат диаграммасини чизинг ва ундаги эгри чизиқлар ҳолатини тушунтириинг.
5. Дифференциал термик анализ табиатини очиб беринг.
6. Моддаларда содир бўлаётган қандай жараёнлар комплекс термик анализ орқали аниқланади?
7. Моддаларни қиздириш жараёнида дериваторграфик анализ орқали қандай параметрлар аниқланади.
8. Эндотермик эффект қандай рўй беради?
9. Моддаларда экзозеффект қандай рўй беради?
10. Силикат ва зўргасуюловчан материалларни таҳлил қилишда термография қандай вазифани ўтайди?
11. Термография усулларининг қандай амалий имкониятлари мавжуд?
12. Дифференциал термонарали Курнаков пиromетрининг схемасини беринг?
13. Дериваторграф қаерла ва қачон яратилган?
14. Тензиметр орқали қандай параметр аниқланади?
15. Газоволюметрия таҳлили орқали қандай параметр ўлчанади?
16. Дилатометр деганида қандай термик асбоб-ускуна тушунилади?
17. Термография усули препаратлари қандай қилиб тайёрланади?
18. Усул имкониятларини санаб беринг.
19. Термография усули қандай афзалликка эга?
20. Термография усулининг камчиликларини кўрсатинг.

## **БЕШИНЧИ БОБ**

### **РЕНТГЕНОГРАФИК ТАҲЛИЛ**

#### **39-§. Рентген нурларининг хоссалари**

Таҳлилда маълумки, энг биринчи физик-кимёвий ва фазовий таҳлил усули микроскопия номи билан аталган. Кейинчалик бошқа усуллар, масалан, термография келиб қўшилди.

1895 йили физика фанида оламшумул воқеа рўй берди. Шу йили улуғ немис физиги, Нобел мукофотининг биринчи лауреати, профессор В.К. Рентген томонидан кўз илғамайдиган янги нур “X” борлиги қайд этилди. Бу нурлар кейинчалик олим шарафига рентген нурлари деб аталди.

1912 йили Лауз ва унинг ҳамкарабалари томонидан рентген нури дифракцияси кашф қилинди. Натижада фазаларни тўғридан-тўғри идентификация қилишга имкон берадиган энг ишончли рентгенофазовий анализ усули яратишга муваффақ бўлинди.

Рентген нурларини регистрация қилувчи ионизацион ва сцинтиляцион счётчикларнинг пайдо бўлиши ва такомиллаштирилиши, фотография усули яратилиши ва унда фокусловчи камера-монохроматорларнинг тараққий эттирилиши орқали фазовий анализ чегаралари кенгайтирилди.

Рентген нурларининг кашф этилиши, яратилган турли усул ва жиҳозларнинг қўлланилиши физика, кимё, тиббиёт ва айниқса, техника фанлари (металлар технологияси, металургия, машинасозлик)га имкониятлар очиб берди.

Рентген нурлари  $0,01 \text{--} 0,00001 \text{ мк ёки } 10^2 \text{--} 10^{-1} \text{ А}$  тўлқин узунлигига эга бўлиб, улар ёруғлик нурлари каби электромагнит табиатга эга. Улар ижобий ядро ва салбий электронлардан ташкил топган атомга доимий осциллировкаланувчи кучи каби таъсир этади. Электрон ва ядро бир яқинлашади, бир узоқлашади. Натижада атомнинг ўзи тушаётгани рентген нури тўлқин узунлигига нурланади. Алоҳида атомлардан чиқарилаётган нур тўлқинлари ёйи бир-бирига қўшилади ва

ёйилган тўлқинлар фронтини ҳосил қиласди. Атомларнинг панжараларидан ёйилган кўпгина тўлқинлар ичида фақат кузгудан қайтарилиш қонунига бўйсинувчилари гина сақланиб қолади. Айнан қайтган нур ва атомли занжир ўртасидаги бурчақ худди занжир ва тушаётган нур орасидаги бурчақ сингари бўлиши керак. Ҳажмий кристаллар учун бу таъсир мураккаблашали.

Рентген нурлари биринчи марта Рентген томонидан иккита электрод кавшарланган шиша найчадан иборат ҳавони  $10^{-5}$  мм симоб устуни босимида сўриб олиниши ва ундан электр токи ўтказилиши орқали ҳосил қилинган. Ўрнатилган электродлардан ўзига хос, кўзга кўринмайдиган нурлар чиқиши қайд этилган.

Рентген нурлари квант нурлари қаторига киради, таъсири гамма нурлари кабилир. Бу нурларнинг ҳиди йўқ. Улар рангиз бўлиб, буюмлар ичига кириши, сингиш, тарқалиш, ёритиш, фотокимёвий ион ҳосил қилиш, биологик таъсир кўрсатиш каби хосса - хусусиятларга эга.

Рентген нурининг турли модда ва жисмлар ичига кириш хусусияти нур тўлқинларининг узунлигига боғлиқ. Агар нур таркибида “қаттиқ”, яъни тўлқин узунлиги кичик нурлар кўп бўлса, ичига кириш “юмшоқ” (тўлқин узунлиги узун) нурларга нисбатан кўпроқ бўлади.

Рентген нурларининг интенсивлиги турли модда ва жисмлардан ўтаётганда ўзгаради. Бу уларнинг қалинилиги, қаттиқлиги, солиштирма оғирлиги ва кимёвий тузилишига боғлиқ. Газ ва ҳаво рентген нурларини сингдирмай ҳаммасини ўтказиб юборади. Лекин барий сульфат ёки қўроғшин кўп нур ўтказмайди. Шунинг учун улар рентген нурларидан сақланиш учун тўсиқ сифатида ишлатилади.

Рентген нурлари модда ёки жисм томонидан ютилганда, улар иккинчи даражали рентген нурларини чиқарадиган манбага айланниб қолади.

Рентген нурларини олиш замонавий тузилган аппаратларда амалга оширилади, лекин уларнинг пайдо бўлиши бир хил тизимга – рентген трубкасида катодга юқори кучланиш берилганда ўзидан электронлар – гамма нурлари чиқарилиши, уларнинг қутбланган антикатодга куч билан урилиши натижасида катта тезликда заррачалар отилиб чиқишига асосланган.

## 40-§. Рентген нурларининг дифракцияси

Рентгенография – рентген нурлари ва уларни металл, металл қотишимлари, кимёвий бирикма, минерал ва турли хом ашёларни тадқиқот қилиш фани. У юқорида санаб ўтилган моддаларнинг атом, суб-, микро- ва макротузилмалари ҳамда кимёвий таркибини аниқ билишига хизмат қиласди. Кимёвий модда ёки минерал атом даражасидаги тузилиши текширилаётганда кристалл панжараларининг тури ва параметрларини аниқлаш имконини беради. Унинг асосий ютуқлари кристаллар, кристалл сингониялари, кристалл панжаралари каби терминларга келиб тақалади.

Рентген нурларининг кристалл моддалар атомларига урилиб тарқалиши Москва университетининг профессори Г.В. Вульф ва инглиз физиклари ота-бола Г. ва Л. Брэгглар томонидан биринчи маротаба ўрганилган. Қайтган нурларни, олимларнинг фикрича, кристаллдаги атомлар текислигидан қайтган деб ҳисоблаш мумкин.

Кристаллардаги рентген нурлари дифракцияларини баён этишининг қулай усулини ота-бола Г. ва Л. Брэгглар топишган. Уларнинг формуласи

$$n\lambda = 2d \cdot \sin\theta$$

бўлиб, бу ерда,  $n$ -яхлит сон бўлиб, у 1,2,3... нурларининг қайтиш тартибини беради;

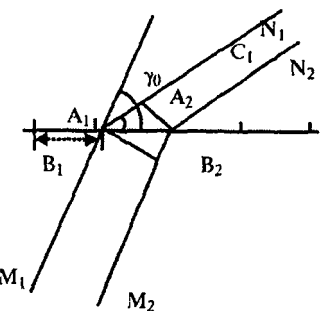
$\lambda$ -рентген нурлари тўлқин узунлиги,  $\text{\AA}$ ;

$d$ -кристалл панжарарадаги атомлар юзаси орасидаги масофа;

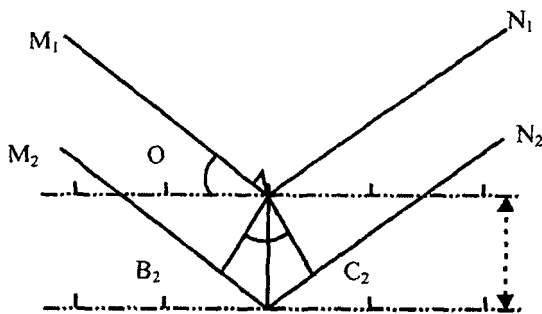
$\theta$ - атом юзасига тушаётган рентген нурлари тушиш бурчаги.

Юқорида берилган тенглама рентгенотузилмавий ва рентгеноспектрал анализлар учун асосий ҳисоблаш формуласи бўлиб, у дифракция натижасида оғган нурларнинг йўналиши кристалл панжара тузилишига ўта боғлиқ эканлигидан далолат беради.

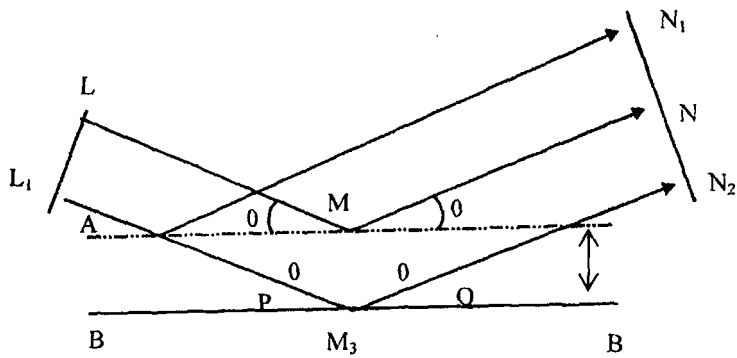
Рентген нурларининг синдириш кўрсаткичи бирга тенг деб қабул қилинган. Бу рақам рентген нурининг кристалл ташқарисидаги ва унинг ичидаги йўналишлари бир хил бўлади деган холосани келтириб чиқаради.



39-расм. Атомлар қатори дифракцияси (Лауз тенгламаси ечимиға).



40-расм. Вульф-Брэгглар тенгламаси ечимиға оид.



41-расм. Атом текисликларидан қайтган рентген нурлари дифракциясини ҳосил қилиш схемаси.

Рентген нурларининг дифракцияси масаласи Лауэ (39-расм) ва Вульф-Брэгг (40-расм) схемалари ва тенгламалари орқали яхши тушунилади. Шунинг учун бу ўта муҳим масалага алоҳила тўхтаб ўтамиш.

39-расмда кристаллда “в”периодига эга бўлган атомларга  $M_1 A_1 N_1$  ва  $M_2 A_2 N_2$  нурлари йўналтирилганлигини кўриш мумкин. Агар  $M_1 A_1 N_1$  пл тўлқин узунлиги қиймати  $M_2 A_2 N_2$  дан катта бўлса, шу йўналишда дифракция рўй беради. Фарқни қуийлаги тенглама билан изоҳлаши мумкин:

$$A_1 C_1 - A_2 B_2 = n\lambda.$$

Ўз навбатида:

$$A_1 C_1 = b \cos\phi_n \text{ ва } A_2 B_2 = b \cos\phi_0,$$

$$n\lambda = b(\cos\phi_n - \cos\phi_0), \text{ бу ерада } n=0,1,2,\dots$$

Уч координатали решеткала дифракция амалга ошиши учун бундай тенгликлар учала фазовий координаталар бўйича бажарилиши зарур:

$$a (\cos \alpha_n - \cos\alpha_0) = n\lambda,$$

$$b (\cos\beta_m - \cos\beta_0) = m\lambda,$$

$$c (\cos\gamma_p - \cos\gamma_0) = p\lambda,$$

бу ерда,  $a$ ,  $b$  ва  $c$  -  $x$ ,  $y$  ва  $z$  ўқлари бўйича решетка даври;

$\alpha_0$ ,  $\beta_0$ , ва  $\gamma_0$  -  $x$ ,  $y$  ва  $z$  оралиғидаги бурчаклар;

$\alpha_n, \beta_m$  ва  $\gamma_p$  - дифракцион нур йўналишлари оралиғидаги бурчаклар.

Юқорида берилган дифракцияга оид уч тенглама Лауэ тенгламалари деб ҳам аталади.

Уч ўлчамли кристаллар наинжарасини рентген нурларини қайтарувчи параллел юзаликлардан ташкил топган деб фараз қилишимиз мумкин. У ҳолда сесткадаги дифракция  $m=n=0$  бўлиб, Лауэнинг икки шарти қуийлагича бўлади:

$$\cos \alpha_n = \cos \alpha_0,$$

$$\cos\beta_m = \cos\beta_0.$$

40-расмдан маълумки,  $M_1 A_1 N_1$  нури  $M_2 A_2 N_2$  нурига нисбатан  $B_2 A_2 + A_2 C_2$  узунлигига қисқароқ ўтади.. Аммо  $B_2 A_2 = A_2 C_2 = d \cdot \sin\theta$ , яъни дифракцион эфектнинг пайдо бўлиши зарур:

$$2 d \cdot \sin\theta = n\lambda,$$

бу ерда,  $n=1,2,3,\dots$ . Бу нарса Вульф-Брэглар тенгламасини ўзгинасадир.

Бир хил атомли юзаларнинг тўплами рентген нурларига нисбатан нур қайташи тўла бўлмаган бир қатор қўзгуларни

намоён этади. Нурнинг бир бўлаги юқоридаги юзадан қайтгач, пастроқда жойлашган юзалардан қайтган нурнинг бошқа бўлаклари ҳисобига кучаяди. Бундай кучайиш фақат бир ҳолатда, у ҳам бўлса, ҳар қандай текисликдан қайтган нурларнинг ўтган йўли бутун сон п га тенг бўлса, рўй беради (41-расм).

Бу ҳолда рентген нурларининг интерференцияси содир бўлади. Дифракцион анализ, қайси усулда (кўпинча фотоплёнкада) қайд этилганидан қатъи назар, қаттиқ моддаларнинг атом тузилишини ўрганишга имкон беради.

Рентген нурлари ёрдамида Брэгг, Н.В.Белов, Курдюмов, Жданов ва бошқалар томонидан деярли ҳамма қаттиқ моддаларнинг тузилмаси ўрганилган. Ҳар бир кристалл тузилма ўзининг асосида баъзи “ғиштча”лардан - оддий ёки элементар ячейкага эга. Уларнинг учала фазовий координат бўйича давомсиз такрорлашлар натижасида кристаллнинг ҳамма бўшлиқлари тўлдирилиши рўй беради.

Қаттиқ моддаларнинг атомларини қайси тартибда жойлаштириш унинг физикавий хоссалари учун муҳимдир. Атомнинг кимёвий табиатидан кўра, шу тузилма факторлари аҳамиятлироқдир. Графит ва олмос каби яхши таниш мисолларни келтирсан сўзимиз тасдигини топади. Улар бир навли атомлардан ташкил топган, лекин тузилмалари ҳар хил бўлгани учун хоссалари ҳам турлича. Олмосда углерод атомлари октаэдрик тузilmани ҳосил қиласди. Олмоснинг атомлари уч ўлчамли сеткаларни ташкил этади. Бу эса унга юқори қаттиқлик ва шаффоғлиқни ато қиласди. Графитда эса углерод атомлари гексагонал тузilmани ҳосил қиласди. Унда баъзи атомлар юза бўйлаб мустаҳкам ва тангасимон жойлашган бўлиб, бир-бири билан (мустаҳкам юзалар) кучсиз боғланган бўлади. Бу ҳол графитнинг мустаҳкамлигини ва шаффоғлигини кескин камайтиради.

#### 41-§. Рентген нурларининг олиниши

Катод нурлари, яъни электронлар оқимининг рентгеннинг электрон трубаларида, баъзи металлар юзасини бомбардимон қилишда рентген нурлари ҳосил бўлади. Электрон боғлари манбаи бўлиб трубкадаги вольфрамдан қилинган спирал хизмат қиласди, у 8-12 волт қувватда ишлайди. Рентген нурлари манбаи эса антикатод. Электронларнинг тўсиқларсиз

ҳаракатини таъминлаш учун  $1,33 \cdot 10^{-4}$  -  $1,33 \cdot 10^{-6}$  нм $^{-2}$  ( $10^{-5}$ ) 10 $^{-7}$  мм симоб устуни) вакуумда ушлаб турилади. Электрошларга берилетган кучланиш электронларини антикатодга бериш ҳаракат тезлигига шароит яратади. Модда аноди ва анод таркибига электроннинг урилиши тезлигига рентген нурларининг хоссалари боғлиқ.

Рентген нурлари табиати худди кўринадиган ёруғлик нурларига ўхшаш, фақат рентген нурларининг тўлқин узунлиги нисбатан кичик ва юмшоқ нурларда  $6-60$  А° ни, қаттиқ нурларда  $0,6-0,06$  А° ни ташкил этади. Аноддан келаётган рентген нурларнинг оқими ("оқ" рентген ёруғлиги) нурларнинг турли тўлқин узунликларида ташкил топган. "Оқ" рентген нурлари турли антикатодда ташкил топшинидан қатъи назар ва пленкани тўла қоралашишини таъминлайди, яъни нурнинг тўла спектрларни ҳосил қиласди. Одатий нурланишида эса алоҳида чизиқли спектрини берали ва у материал - антикатоднинг кристалл панжараси тузилишига боғлиқ. Катод электрони ўзининг бир қисм энергиясини антикатод материали атомларига беради, бунда атом ядросидан узокроқдаги орбиталарга электронларнинг сакраши кузатилади. Олдин ютилган энергия эса монохроматик нурланиш шаклида орбитадан орбитага ўтиш жараёнида ажралиб чиқади.

Бир неча линиялардан ташкил топган нурланиш электронларни бир орбитадан бошқага ўтишидан юзага келувчи рентген нурларини ифодалайди. Улар берилган элемент - антикатод учун аниқ бўлали ва уни одатий спектрларини пайдо этади. Одатий линиялар сериялар ташкил этади ва K, L, M ва бошқа ҳарфлар билан белгиланади. Линия ичидаги сериялар  $K_{\alpha_2}, K_{\alpha}, K_{\beta}$ лар билан белгиланади. Одатда, K $_{\alpha}$ - линиясининг дуплестидан фойдаланилади. Қолган линиялар эса фильтранади. Монохроматик рентген нурланишини олиш учун трубка антикатоди мос равища молибден, родий, темир, мис, хром, никел, кобальтдан тайёрланади, "оқ" рентген нурланишини олишда платина ёки иридий ишлатилади. Масалан: Cu - мис. Тартиб рақами 29 : Ядро: протон + 29, электрон - 29 (17-жадвал).

## Мис элементининг электрон конфигурацияси

17-жадвал

Серия	K	L	M	N	P
Қобиғ	1s	2s2p	3s3p3d	4s4p4d4f	5s5p5d5f5g
	2	2 6 8	2 6 10 18	1	

Рентген нурлари текширилаётган моддадан ўтаётганда унинг атомларини ионизациялашга сабабчи бўлади. Ионизация ходисасидан ионизацион счётчиклар ва камераларда фойдаланилади. Агар ионизацион камера туйинган ток режимида ишилаётган бўлса, бу ҳолда пайдо бўлган ионизацион ток миқдори рентген нурлари интенсивилигига пропорционалдир. Амалиётда у ўзининг қўлланишини ҳозирги кунда сцинтиляцион счётчиклар томонидан сиқиб чиқарилаётган Гейгер – Мюллер счётчикларида топган.

Ёруғлик нурларига ўхшаш рентген нурлари фотопленкага нисбатан катта қалинликка эга бўлган ва икки томони маҳсус қатлам билан қопланган рентген плёнкасининг фотоэмульсияси таркибига кирувчи бромли кумуни модласини парчаланишига олиб келади. Рентген нурлари кадмий сульфати, цинк сульфати ва бошқа моддаларга таъсир эттирилганда уларнинг нурланиши, яъни флуоресценциясига сабабчи бўлади. Флуоресценция ходисаси рентгенотузилмавий анализнинг назорат экранлари ҳамда нурланувчи рентгенотехниканинг экранлари ни ясаш ва эксплуатация қилишда ишлатилади.

### 42-§. Кристалл панжара текисликлариаро масофани ҳисоблаш

Турли бирикмаларни кристалл панжара юзаси орасидаги масофа Вульф-Бреїг формуласи ёрдамида ҳисобланади.

Бунда модданинг ҳамма атомлари кристалл юза бўйлаб бир-биридан паралелл ва teng узоқликда жойлашганилигини намоён қиласди. Қуйидаги схемада (40 расм) тенглама яққол кўринади.

$N_1$  ва  $N_2$  нурлари юришидаги фарқ  $PM_2 + M_2Q$  га тейғ.

$$PM_2 = M_2Q = d \cdot \sin \theta$$

$$\text{максимум шарти } p\lambda = 2d \cdot \sin \theta,$$

бу ерда, d- юзалар орасидаги масофа; θ -йўналтирилган нур ва нур қайтиш юзаси орасидаги бурчак; λ-рентген нурларининг тўлқин узунлиги; n-нур қайтариш тартиби (яхлит сон: 1; 2; 3; ..., n).

Умуман олганда, рентгенография усулларида кристалл панжара текисликлариаро масофа роли катта. Усулнинг асосида ҳам рентген нурларининг шу кристалл панжарасига тушгандан дифракцияланиши ётади. Бундай нурлар кристалл ёки аморф қаттиқ модда орқали ўтганда унинг атомларидағи электронларга катта таъсир кўрсатади. Бу таъсир кристалл тузилиши муддалар учун ўта сезиларлидир. Натижада электронлар тебранма ҳаракати вужудга келади ва улар иккиласи тўлқин маибаига айланади.

Дифракциянинг кристалл панжарасидаги ҳолати ва ҳисоботи кристаллар ҳолатининг параллел юзалар тизими кўринишида талқин қилинишига келиб тақалади. Ҳар бир бундай юза ёки текислик панжаранинг кўп сонли боғловчи нуқталари орқали ўтади ва улар сеткасимон юза деб аталади. Сеткасимон юза уларнинг устига тушаётган рентген нурлари ёки тўлқинларини кўзгусимон қайтишини таъминлайди. Дифракцион максимумларнинг пайло бўлиши параллель сеткали юзалардан қайтаётган тўлқинларнинг бир-бирини интерференция ходисаси орқали кучайтиришига боғлиқ. Бу талаб дифракцияланувчи тўлқин узунлиг ( $\lambda$ ) ва сеткали юзага тушаётган нур бурчаги ( $\nu$ ) нинг орасидаги матдум даражада боғланишга боғлиқ.

### 43-§. Текшириш усуллари

Рентген нурлари ёрдамида бажариладиган рентгенографик текшириш усуллари жуда кўп. Моно- ва поликристаллик силикат муддаларини текширишда, асосан, қўйидаги усуллар қўл келади:

1. Жойидан қўзгалмайдиган монокристалларни текшириш усули - бунда тасвир фотоплёнкали тасмага қора нуқталар шаклида қайд этилади. Бу усул адабиётда Лауэ усули ҳам деб аталади. Одатда текшириш учун ўлчами 0,2-1 мм бўлган монокристалл олинади.

2. Айланувчан монокристаллни текшириш усули ёки Лауэ методи - фотоплёнкада доғлар шаклида тасвир олинади. Наму-

на текшириш пайтида камеранинг ўқи атрофида 1 минутда 0,2-2 маротаба айланади. Бу ҳолатда элементар ячейканинг ўлчамлари ва шаклини аниқ топиш имконияти пайдо бўлади;

3. Кукун усули - фотоплёнкали цилиндрик кассетага махсус эгри чизиқлар ҳолида қайд этилади. Ионизациян рентгенограмма ҳолида олинини ҳам мумкин. Бу ҳолда фотоплёнка ролини дифрактометрдаги счётчик тешиги бажарали. Дифракцион шакл секин – аста, счётчик айланишида пайдо бўлувчи ва кетма-кет келувчи чизиқлар ҳолида олинади.

4. Рентгенодефектоскопия - газли ғоваклик, дарз кетишеби ҳолатлар қайд этилади.

Тиббиётда қўлланиладиган асосий усуллар қаторига қуйидагилар киради:

1. Рентгеноскопия - бемор экран билан рентген трубкаси оралиғида туради. Натижа зичланган жойни қорайтириш ҳолатида қайд қилиш билан тугайди.

2. Рентгенография - текширилаётган аъзонинг сояси рентген плёнкасида тасвирланишига асосланган.

3. Флюрография - аъзо тасвири махсус аппарат билан суратга олинади, бунда пленка автоматик ҳолатда суриласди.

4. Электронорентгенография - текширилаётган аъзонинг сурати ҳар хил аппаратлар ёрдамида асосан оддий оқ қофозга олинади.

#### **44-§. Рентгенографияда қўлланиладиган асосий ускуналар**

Жаҳон минералоглари ва кристаллографлари томонидан деярлик барча табиий ва маълум бўлган сунгъий минералларнинг тузилиши микроскопик таҳлил асосида 1900 йил атрофида ўрганиб бўлинди. Натижада қаттиқ жисм атомлари тузилмаси ҳажмий тўғри, унда атомлар маълум тартибда жойлашганлиги таъриф этилди. Лекин 1921 йилда эса рентген пурлари ёрдамида уларни қайта текшириш бошлианди. Бу амалий текшириш фан ва техникани низоятда бойитди, минеролог-кристаллографларнинг шу онга қалар ҳам тўғри талқин ва башорат қилишганликларини тасдиқлади.

Кейинги йиллар давомида рентгенографияни фан ва техникала қўллаш бўйича улкан тадқиқотлар олиб борилди. Рентгенографияга оид аппаратларни қўллаш тиббиёт, металлургия, кимё, машинасозлик, самолётсозлик, ракетасозлик каби соҳаларида кўпайди.

Амалий рентгенографияда ҳам катта ўзгаришлар содир бўлди. Рентгенография аппаратларининг сезувчанлиги оширилди, ҳажми ва оғирлиги эса кичрайтирилди. Рентген анализи усуллари такомиллаштирилди.

Ўзбекистонлик олимлар – проф. И.С.Каниценольский, Н.Л. Сирожиддинов, Б.И.Нудельман, Т.Л.Отақўзиев, А.Л.Исматов талқиқотларида ҳам амалий рентгенография усули катта ўрин эгаialiди. Паст ҳароратларда пишувчи цемент, керамика ва ситаллар олинида унинг хизмати, ниҳоятда катта бўлди.

**Фотоусул ишлари учун мўлжалланган тузилма таҳлили аппаратлари.** Уларга биринчи навбатда, УРС-60 ва УРС-55 аппаратлари киради:

**УРС-55 аппарати.** У 55квли кучланишда ишлашга мўлжалланган. Бу стол усти аппарати бўлиб, унда тузилма таҳлили ўтказиш мумкин.

УРС-55 аппаратининг муҳим томонлари сифатида тезкор столнинг кичикилиги, юқори қувватли кенотронининг йўқлиги ва бошқарув нуяти (тўғриловчи вазифасини рентген трубкаси бажаради)нинг ихчамлини айтса бўлади.

УРС-55 аппарати БСВ-2 тинидаги чизиқли фокус ва торировкаланган катодли маҳсус электрон трубка билан ишланига мўлжалланган.

**УРС-60 аппарати.** У 120 ва 220Вли иккита тўғриловчи лампалар - кенотрон ва 60 кв кучланишда ишланиш учун мўлжалланган.

УРС-60 аппарати - фотометрик усулга мўлжалланган. Унда анод токини стабиллантирувчи стабилизатор борлиги учун аппаратни ионизацион усулни қайд этиш учун ишлатса бўлади. Иккита трубкада бир йўла ишланиш мумкин. БСВ-2 да рентген нурларини чиқарувчи деразача сони 2 та, БСВ-4 да чиқиш деразачаси 4 та ва БСВ-6 да чиқиш деразачаси 2 та. Шу трубкалар билан ишланса, қурилма хавфсиз бўлади.

Аппаратда сувни камайтирилиши ёки сув келмаслик ҳолатларида, юқори вольтли кабел ўчиб қолганида, анод токи миқдорининг нормадан ошиб кетганида блокировка қилувчи қурилма бор. Анод токини феррорезонанс ва электрон стабилизатор СН-2 ёрдамида барқарорлаштириш кўзда тутилган. Аппарат ток кўрсаткичларининг +7 дан -15% гача тебранишида ишончли ишлайди. Қурилма иш ва тезкор стол шаклида. Тезкор стол ичига генератор мосламаси мавжуд.

**УРС-70 курилмаси.** Универсал рентгентузилмавий курилма. 50 гц частота, 127 ёки 220 в кучланишда, ўзгарувчан ток манбага ишилашга мосланган.

Рентген трубкани қувват олиш схемаси ярим тўлқинли (бир кенотронли ёки кенотронсиз). Трубкалаги кучланиш амплитудаси 70 кв гача, трубкадан ўтаётган ток 30 ма.

Курилма БСВ типидаги шишали электрон трубка билан ишилашга мосланган. Бошқа типидаги трубкалар, электрон ва ионли (трубка полюсини ерга улаб қўйиш шарт) трубкаларда ишилаш имконияти бор. КРМ-150 типидаги кенотрон тўғрилаш учун ишлатилиди.

**АРС-4 аппарати.** У портатив, жуда тор нур боғларини олиш учун ишлатилиди. Аппаратда БСВ-5 (чиқиши сони-2) микрофонос трубкадан фойдаланилди. Трубка аноди катта кучланиш остида бўлиб, катод ерга улаб қўйилган. Корпуснинг катод чўялаш иiplари ҳимояланган ва қаршиликлар ёрдамида биректирилган. Бунла анод токи ўтишида керакли кучланиш ҳосил бўлади.

Аппарат 50 гц частотада ва 127 ёки 220 в кучланишда бир фазали манбага улашга мослаштирилган. Трубкадаги қувват амплитудаси 45 кв; трубкадан ўтувчи ток - 0,45 ма атрофида; максимал қувват - 0,3 квт атрофида бўлади. Трубка аноди махсус насос ёрдамида трансформатор ёғида совитилади.

Рентгенограммалар юқори ва паст ҳароратларда, вакуум ва босим остида олиб борилиши мумкин. Юқори ҳароратларда рентгенографик шаклларни олиш юқори ҳароратли фазавий ўзгаришларини қайд қилиш учун, модданинг юқори ҳароратда қандай параметрларига эга эканлигини билиш учун, уларнинг иссиқликдан кенгайиш коэффициентларини аниқлаш учун олиб борилади:

1. Юқори ҳароратли рентген жиҳози УРВТ-1300. Унда наунани иси-тиши аппаратда ўрнатилган электр печи ёрдамида амалга ошади. Бу жиҳоз Дебай методи ёрдамида поликристаллик моддаларни вакуумда хона ҳароратидан то  $1300^{\circ}\text{C}$  гача текширишга имкон беради. Агар тажриба инерт гази ёки атмосферада олиб борилса, у ҳолда ҳарорат  $1100^{\circ}\text{C}$  кўтарилиши мумкин;

2. Юқори ҳароратли рентген жиҳози УРВТ-1500. Бу аппарат ёрдамида вакуумда тажрибаларни  $1500^{\circ}\text{C}$  гача олиб борса бўлади. Тажриба ҳаво ёки инерт гази атмосферасида олиб борилса, у ҳолда ҳарорат  $1200^{\circ}\text{C}$  гача кўтарилиши мумкин.

Рентгенографик анализни паст ҳароратда ҳам олиб бориш мумкин:

1.ДРОН-1, УРС-50ИМ аппаратларига паст ҳароратли кўшимча УРНТ-180 ўрнатилади. Бу тиргач ёрдамида тажрибаларни минус 180°С гача олиб бориш тавсия этилади. Намуна сифатида куқун ёки шлифдан фойдаланилади. Намуналини совитиш изот парлари ҳисобига бўлади.

2.ДРОН-1 ва КРН-190 приставкасини ҳам ўрнатиб тажрибаларни минус 190°С гача ўтказиш мумкин. Намуналар бу жиҳозда вакуумда иссиқлик контакти ҳисобига совийди.

ДРОН-серияли аппаратлар: ДРОН-1, ДРОН-1,5, ДРОН-2, ДРОН-4, ДРОН-УМ1-0,1 ва хоказо. Рентген дифрактометри умумий вазифаларни бажаришга мўлжалланган бўлиб, у ионизацион шаклни электрон ҳисоблаш машиналарига уланган перфотасмага ҳам тушуриши мумкин. Бундай аппаратлар юқори упумдорликка эга. Рентген трубкасидаги максимал кучланиш 50 кВ, максимал ток эса 60 мА.

Адабиётда ДРМк-2.0 – кўп каналли маҳсус рентген дифрактометри, ДРД-4 – дистанцион бошқариладиган рентген дифрактометри, ДАРМ-2.0 – ЭҲМ дастурига мўлжалланган автоматик рентген дифрактометри, АРС-4 – тузилмавий текширишга мўлжалланган портатив рентген аппарати, МАРС-1 ва МАРС-2 – тузилмавий анализга мўлжалланган кўп фокусли рентген аппарати ва бошқалар борлиги ҳамда уларнинг ишлаш асослари ёритилган. ДРОН ва УРС ларга УРНТ-180, КРН-190 ўрнатилса, паст ҳароратда иш олиб борили мумкин. Юқори ҳароратда УРВТ-1300 ва УРВТ-1500 лар қўлланилади.

Тиббиётда қўлланиладиган рентген ускуналари. Улар уч синфга ажралган:

1. Россияяда чиқарилган Рум-20 ва Рентген-50, Германияда чиқарилган Тур-Д-701 ва Тур-Д-1001, Чехия ва Словакияда яратилган Дуролюкс ва Венгрияда чиқарилган ЕДР-750 аппаратлари. Улар уч фазали олти ярим ўтказтич тўғриловчиларга эга бўлиб, максимал юқори кучланиши 125-150 кВ, анод токи эса 600 дан 800 мА гачадир. Бундай аппаратлар юқори дараҷада автоматлашган универсал штатив, телевизор приёмники, кино ва флюорограф камераси билан таъминланган.

2. Россиянинг Рум-10 ва Рум-22, Чехия ва Словакиянинг Хиродур-125 ва Мегамета-125, Венгриянинг Диагномакс-125 ва Неодиагномакс-125 аппаратлари. Бу синф аппаратлари бир

фазали ва икки ярим ўтказгич тўғриловчи тизимга эга бўлиб, кучланиши 125-150 кВ ва токи 400-500 мА.

3. Россиянинг Рентген-30, Урд-Д-110 ва Рум-5, Германиянинг Тур-Д-350, Чехия ва Словакиянинг Дурамста аппаратлари. Улар кам қувватли, юқори кучланиши 125 кВ ва анод токи 125-300 мА га тенг. Улар 220 ва 380 в электр тармоқлари учун чиқарилган.

#### 45-§. Аппаратларнинг асосий қисмлари

Рентген аппаратларининг асосий қисмларига киради: рентген трубкаси, тўғриловчи лампа - кенотрон, чўғланиш реостати, юқори вольтли трансформатор, чўғланиш трансформатори, бошқарув пульти ва унинг зинапояли автотрансформатори ва бошқалар. Қуйила уларнинг тузилишига оид маълумотлар берилади.

**1. Рентген трубкалари БСВ-2, БСВ-4, БСВ-6 ва бошқалар.** Б-химояли қопламада, хавфсиз; С-тузилма таҳтили учун; В-сувли совитиш маъноларини англатади.

Рентген трубкаси рентген нурлари манбаи бўлиб, у тез учувчан электронларнинг йўлида жойлашган анод билан тўқнапшуви натижасида юзага келади.

Рентген трубкаларида рентген нурларини юзага келиш учун қўйидагилар таъминланиши керак:

- Озод электронларни ҳосил қилиш;
- Озод электронларни катта кинетик энергия билан таъминланти (бир неча мингдан то 1-2 млн. электронвольтгача);
- Анод атомлари билан тез учувчан электронларнинг ўзаро таъсири.

Рентген трубкалари белгиларига қараб қўйидагича таснифланади:

1) Озод электронлар олиш усули бўйича. Бунда трубка ионли ва электронли тарзда фарқланади. Ион трубкаларда озод электронлар совук; катодни мусбат ионлар билан бомбордировка қилиш натижасида олинади. Бу вақтда ионли трубка ичida  $10^{-3}$  -  $10^{-4}$  мм қўрошин столбасига тенг бўшлиқ ҳосил этилиши ва катодга юқори кучланиши бераб юборилиши шарт. Шундагина катоддан озод электронлар ажралиб чиқади ва идинидаги вакуум туфайли анод томон йўл олади. У анод атомлари билан жуда катта тезликда тўқнашади ва ниҳоят улардан рентген нурларининг ажралиб чиқишига сабабчи бўлади.

Электронні трубкада озод электронлар токда қиздирилған катоднинг термоэлектрон эмиссиясидан пайдо бўлади.

2) Вакуумни ҳосил қилиш ва уни ушлаб туриш усули бўйича. Бунла трубкалар қалайланган ва йигма тарзда бўлиши билан фарқланади.

Қалайланган трубкаларда юқори вакуум трубка тайёрланастган вақтнинг ўзида яратилади ва у ўзининг герметик корпуси (баллон)га кўра, ишлаш даврида вакуум ҳолатини сақтайди. Вакуумнинг ўзгаришини трубкани ишдан чиқсанлигини билдиради.

Йигма трубкаларда бўшлиқ вакуум насос ёрдамила яратилади ва унлаб турилали.

3) Ишлатилиши бўйича. Трубка материални ёритиш, тузилма таҳлили ва тиббий мақсадларда (танихис ва даволани мақсадида) кўлланилади.

4) Фокусининг катталиги (майдони) бўйича. Трубкалар нормал ( $6\text{-}7\text{мм}^2$ ) ва ўткир ( $\text{мм}^2$  нинг бир неча юз ёки мингнине улуши қисмича) фокус билан тайёрланади.

Тузилма таҳлили учун қалайланган электрон трубкалар ишлатилади. Унинг кўриниши БСВ-2 мисолида қўйида берилади (42-расм).

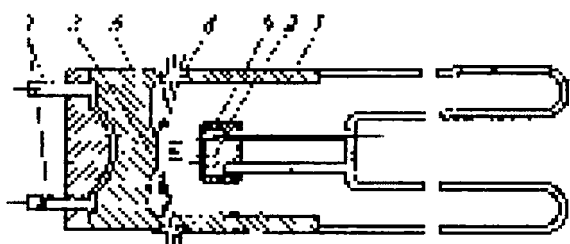
У шиша баллондан ташкил топган, унга иккита электрод киритилган: катод - қиздириладиган вольфрам симли спирал шаклида ва анод- тўла мисли трубка шаклида.

Шиша баллонда юқори вакуум ( $10^{-5}$ )  $10^{-7}\text{мм симоб устуни}$  ҳосил қилинали. Унда электронларнинг катоддан анодга бориши эркин харакати таъминланади. Катод иссиқлик ва кимёвий таъсирдан ҳамда электронлар орасидаги газли муҳитда чақмоқ ҳосил бўлишидан ҳимояланган.

Вольфрам спирал 2100-2200 $\mu\text{C}$  гача токда қиздирилганда электронларни чиқараади. Трубка полюсига юқори кучланиш қўйилганилиги туфайли анодга катта тезлик билан интилади. Анод (анод кўзгуси) майдонига урилиб, электронлар тормозланади. Тахминан 1% атрофида кинетик энергия рентген нурларининг электромагнит энергияси тебранишига ўзгаради; қолган энергия аноддан ажralастган иссиқликка сарфланади.

Тузилма таҳлили учун трубкадан чиқарилётган нисбатан юмшоқ нур (1 Å ва кўпроқ тўлқин узунлигига) шишада жуда кучли ютилади. Шунинг учун трубка баллонига рентген нурларини чиқаришни таъминлаш учун енгил элементлар (берил-

лий, литий, бор) дан ташкил топган гетан қотишмаси ёки бериллий металлидан ясалган дарча қотирилади (қалайланади).



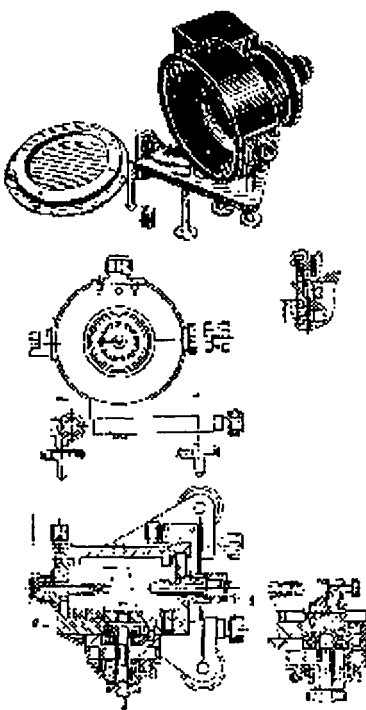
42-расм. Тузилма таҳлили учун ишлатиладиган БСВ-2-электрон рентген трубкаси: 1-балон; 2-катод; 3-анод; 4-йўналтирувчи қалпоқ; 5-мухофаза воситаси; 6-йўналтириш тешиклари; 7-совитиш тизими.

Элекстрон трубкадаги катод вольфрам спиралдан иборат бўлиб, кўпинча эмиссион ҳолатни ошириш учун торий қавати билан қопланади.

Спирал фокус қалпоқасига жойлаштирилади. Қалпоқчанинг вазифаси трубка фокусини камайтириш ва катоддан анодга учайдиган электрон пучок-арини торлантиришдан иборат. Трубка фокуси деб рентген нурлари ҳосил қилувчи электронлар тушадиган анод майдонига айтилади (фокус думалоқ ёки линияли шаклга эга).

Катод ярим цилиндр ичидаги винтли чизик кўринишида, баъзан спирал кўринишида фокусловчи чашка ичига жойлашган.

Анод - яхлит цилиндр кўринишида (кўпинча мисдан), юқори иссиқлик ўтказувчан материаллардан тайёрланади. Аноднинг ташқи ён деворига электронларни тормозловчи пластинка антикатод прессланади. Тузилма таҳлили учун трубкадаги анод ёни 90°бурчакда анод ўқига нисбатан кесилган.



43-расм. РКД-57 камерасининг асосий қисмлари.

Кўпроқ тарқалған анодли трубка - антикатодлар хром, темир, ванадий кобальт, никел, мис, молибден, вольфрам, кумуш ва марганецлардан тайёрланған бўлади. Электронларнинг анол кўзгусига урилишида катта миқдорда иссиқлик ажralади. Анодни ўта қиздириш вакуум бузилишига, чанглашиш тезлашилига, кўзгу ва анодни ҳам эришига олиб келади. Бунинг олдини олиш мақсадида анод оқиб турган сувда ёки ёғ билан узлуксиз равишда совитилади.

Трубканинг муҳим ҳолат кўрсаткичи унинг қувват чегараси бўлиб, у қўйидагича ифодаланади:  $P = UI$  вт,

бу ерда,  $U$  - мақсимал юқори кучланиш, в ;  $I$  - трубка токи, амперда.

Қувват чегарасини ошириш мумкин эмас, сабаби анод қизиб кетади.

Трубка фокуси майдонини камайтириш иссиқлик чиқарувчи мөтталл ҳажмини камайтирали, шу туфайли трубканинг қувват чегарасини камайтиришини тақозо қиласи.

Кўрилаётган БСВ-2 мисли антикатодли трубкага бериладиган энг катта қувват 700 вт га, солинитрма қувват эса 48 вт/мм<sup>2</sup> га тенг. Бундай трубканинг нормал юзаси  $700/48 = 14-15 \text{ mm}^2$  га тенг.

Кўрсатилган фокус юзада максимал қувват УРС-60 аппарти учун 60 квт бўлса, у ҳолда трубка токи  $I \leq P/U = 700/60000 \leq 12$  ма дан ошмаслиги керак.

Тузилма кўрсаткичлари қўйидаги 18 - жадвалда кетирилади.

**2. Кенотрон (К).** У - тўғирловчи сифатида хизмат қиласи ва қучланиш ўзгаришида рентген трубканни ўчириб қўяди. Кенотрон ион трубкалари билан ишлапнда қўл келиши мумкин. Чунки ҳамма электрон трубкаларининг ўзи тўғирловчи ролини ўйнайди, бироқ қийин шароитларда рентген трубкага бир ўйналиш бўйича фақат битта ток ўтказилиди.

### Тузилмавий таҳлил трубкаларининг тавсифлари

18-жадвал

Трубка типи	Максимал кувват, вт	Нуртсашинидарини сони	Фокус форвардаси	Фокус ўлчами, мм	Фокус проекцияси ўлчами, мм	Фокус майдонига содиштирилган таъсир	Интеграл интенсивлик, $\times 10^3$	Мисли анод кулиниши, кв	Максимал анод токи, ма
БСВ-2	700	2	тўғри	1,2x12	1,2x1,2	48	327		
БСВ-3	450	2	-"-	1x2,5	-	22		45	14
БСВ-4	120	4	айланма	3	3x0,3	17	88		
БСВ-5	20	2	-"-	0,040	0,04x0,04	4000			
БСВ-6	450	2	тўғри	25x5	2,5x0,5	36	304	45	14
БСВ-8	1000	2	-"-	1x12	1x1,2 0,1x12	83	454	50	40
БСВ-9	1500	2	-"-	2x12	2x1,2 0,2x12	63	170	50	60
БСВ-10	600	2	-"-	0,4x8	0,4x0,8 0,04x8	1900		45	24

**3. Чўглаш реостатлари ( $R_{HK}$ ,  $R_{HP}$ ).** Улар - кенотрон ва трубка катоди ток кучини бошқариш учун хизмат қиласи. Шаҳар тармогидаги катта бўлмаган тебраниш чўглаш токини

тебранишига олиб келади ва трубкалаги анод токини кучли равишда ўзгартиради. Чўғлаш токини стабиллаштириш учун стабилизатор ишлатилади.

**4. Юқори вольтли трансформатор (РР-55).** Юқори кучланиши олиш учун хизмат қилади. Биринчи обмотка АА авто-трансформатордан ёки қувватни текис ўзгартирувчан қувват вариаторидан озиқланади.

**5. Чўғлаш трансформаторлари (ТЦР и ТНК).** Кенотрон ва рентген трубка симларини чўғлантириш учун ишлатилади. Вольфрамли катодли иплар  $2100^{\circ}\text{C}$  гача ва ундан юқорида қизлириш учун улардан 3-6 а ток ўтказилади. Бу ток чўғланш трансформаторидан кенотронни 10-15 в ли ва рентген трубкасини 6-8 в ли қилиб пасайтириш учун берилади.

**6. Зинасимон бошқариш пульти автотрансформатори (АА)-юқори вольтли трансформаторни биринчи обмоткасининг юқори кучланиши ўзгаришини бошқариш учун ишлатилади.**

**7. Бошқарув пульти.** Рентген аппарати маҳсус бошқарув пульти орқали бошқарилади. Бушқарув пульти рентген аппаратурининг электр схемасини сиртқи электр тармоғи билан улайди. У ҳар турли ўлчов асбоблари билан таъминланган бўлиб, тармоқдаги ток кучланиши В, юқори кучланишли ток кВ ва ток қуввати мА ни кўрсатади ва регулировка қилади. Унда юқори кучланиши, қувват, вақт ва ёруғлик каби параметрларнинг созлиги ва носозлиги ҳақида хабар төрувчи мослама мавжуд.

Рентген трубкасига йўналтирилган кучланишни ўлчаш рентгенотехникада мухим масала ҳисобланади. Уни шарли разряйник билан ўлчаш ўта оддий, қулай ва етарли даражада аниқлашга имкон берадиган усулдир.

Рентген аппарати трубкасидан ўтайдиган токни ўлчаш учун миллиамперметрдан фойдаланилади.

#### **46-§. Фотоусулнинг рентген камералари**

Текширилаётган кристалл моддасидан қайтган рентген нурларини дифракцион максимумларини фотоплёнкада қайд қилиш учун хизмат қилувчи қурилмалар рентген камералари деб аталади. Бундай камералар дифракцион максимумларни фотоплёнкада қайл қилиш учун хизмат қилади.

Камералар фарқланади:

1. Махсус вазифали - алоҳида масалаларни счиш учун РКФ-86 ва бошқалар ишлатилади.

2. Умумий вазифали камералар - кўп масалаларни ечиш учун, одатда, Дебай камсераси - РКД ва бошқалардан кенг фойдаланилади. Улар кўпроқ тузилмасини ўрганиш учун мўлжалланган.

**Камера типлари.** Уларга қуидагилар кирали:

1) РКД-57. Поликристаллардан дебаеграмм суратини олиш учун. У фазовий таҳлил, дисперлик даражасини аниқлаши, қатлам юзаси ҳолатини аниқлашга хизмат қиласи. Диаметри Д-57,3 мм. Суратга олиш бурчак интервали 4-84°C (43-расм).

Намуна шакли ва ўлчами, камера конструктив шартлари: пластинка ёки юпқа цилиндр шаклда бўлиб, ўлчамлари 10x12x5 мм га тенг.

Айланиш: цилиндр намунани айлантириш мумкин. Плёнка жойлашиши - цилиндр юзаси бўйича диаметри 57,3 мм ва баландлиги 24 мм.

РКД-57 камерасининг асосий қисмларини қуидагилар ташкил этади:

а) коллиматор—битта ёки бир нечта диафрагмадан ташкил топган бўлади. Улар тушаётган нурлар оқимининг кўп қисмини тутиб қолади ва ингичка нур оқимини ўтказишга хизмат қиласи;

б) тубус-коллиматорнинг қаршисидаги тешикка ўрнатилган бўлиб, у дастлабки нурларни цилиндр деворидан ёйилишининг олдини олиш учун хизмат қиласи;

в) камера корпуси—рентген плёнкаси учун кассета вазифасини ўтайди.

РКД — типидаги рентген камералари 4° дан 84° гача бурчак остида қайтган нурларни қайт қилишга имкон беради. Плёнка камера корпусининг ички қисмига зич жойлашиб қолини учун халқасимон пружиналар ёрдамида қотириб қўйилади.

Рентген камерасига рентген плёнкаси қўйиш чоғида ундан коллиматор ва тубус олиб турилади. Плёнка жойлаштирилиб маҳкамлангач камеранинг қонқоғи винтлар ёрдамида беркитилади. Шундан кейин камера рентген аппаратига — нур тушиш йўлига жойланади.

Камерада рентген нурларини қайд қилиш вақти турлича бўлиб, у тушаётган нурларнинг интенсивлиги, текширилаётган модда тузилмаси ва бошқа ҳолатларга боғлиқ. Хозирги кунда

цилиндрик рентген камераларида рентгенограмма олишнинг уч хил усули мавжуд.

РКФ-86. Дебаеграмм съёмкаси учун мўлжалланган. Фок-словчи, поликристалларни прицизион решеткаси даврини аниқлаш учун.  $D=85,95$  мм,  $\theta$  расмга олиш= $60-88^{\circ}$ ,  $16 \times 16$  мм ўлчамдаги картонга ёпиширилган кукун ва камеранинг цилиндр юзаси бўйича айланмайди, цилиндр юзаси бўйича пленка ёйлади.

КРОС - дебаеграмм олиш учун. Қарши съемка учун. Поликристалл панжараси ўлчамларини прецизион аниқлаш, тузилмасининг мукаммаллик даражаси, кассета юзаси оралиғидан  $25-100$  мм ли намуна юзасигача,  $\theta=54-85^{\circ}$ . Намуна ясси  $50 \times 60 \times 25$  мм гача ўлчамда, айланниши мумкин,  $150$  мм диаметрги боғда перпиндикуляр ҳолатда кассета юзасига съёмка қилинади.

РКЭ - дебаеграмм олиш учун. Поликристалларнинг тажриба съёмкаси,  $\theta=10-30^{\circ}$  фазовий анализда,  $60-88^{\circ}$  панжара параметрларини аниқлаш учун, айланма, намуна ясси шаклда, диаметри  $29$  мм ва баландлиги  $h=10$  мм.

РКСО - монокристаллар лаузэграммасини олиш учун, айланиш йўқ, кристалларнинг симметриясини полихроматик нурлапишида съёмка қилиш ва уларни йўналишини аниқлаш учун камеранинг оптик марказидан пленкагача бўлган масофа  $40$  мм;  $\theta=2-30^{\circ}\text{C}$  ва  $60-87^{\circ}\text{C}$ . Намуна шакли - ихтиёрий. Кассеталар  $120 \times 100$  мм да тўғри ва  $100 \times 80$  мм қарши съёмкада.

РКВ-86. Монокристалл съёмкаси учун мўлжалланган. Лаузэграмм айланиш билан, камера диаметри  $86$  мм, намуна шакли - ихтиёрий,  $\theta=4-80^{\circ}$ .

РКУ-86, РКУ-95 ва РКУ-114. Улар дебаеграмм олиш учун, фазовий таҳлил, монокристаллар заизири даврини аниқлаш учун хизмат қиласидилар.  $\theta=4-85^{\circ}$ , айланиш билан ва айланнишиз пленка цилиндр юзаси бўйича.

КФОР - қайта панжарали фотография камераси, намуна шакли - ихтиёрий, съемка ясси кассетада, - айланниши ҳам мумкин.

КМПС-вакуум камераси. Съёмкани қайд этувчи монокроматор фазовий таҳлил, поликристалл панжарасини аниқлаш учун.  $D=171,9$  мм ёки  $57,3$  мм;  $\theta=12-89^{\circ}$  катта камерада;  $\theta=3-30^{\circ}$  ва  $60-87^{\circ}$  кичик камерада. Кукун картонга ёпиширилган, кўзгалмас.

КРС- рентгенографик топография учун монокристаллар тузилемасининг ҳақиқий даражани текшириш учун хизмат қилади. Монокристалл, намуна ўлчамлари  $20 \times 10 \times 0,5$  мм дан  $60 \times 20 \times 10$  мм гача.

Юқоридаги 43-расмда РКД-57 мисолида камераларниң муҳим жиҳатларини кўриб чиқамиз. Камера қўйидаги асосий деталлардан ташкил топган:

1) Камеранинг асоси ва корпуси.

Учбуручак шаклидаги I асос учта винт ёрдамида ўрнатилади, бунда баландлик бўйича камера баландлиги бошқарилади. Камеранинг цилиндрик корпуси 2 нинг иккита қопқоғи бор. Қопқоқ 3 корпусга маҳкамланган ва 4 қопқоқ эса олинниши мумкин.

2) Бирламчи нур боғларини чегараловчи коллиматор 5. Коллиматор бир нечта думалоқ ёки ёриқли диафрагмалардан ташкил топган.

3) Бирламчи нур боғининг ёритишидан пленкани ҳимоя қиласи- 6.

4) Намунани ушлаб турувчи 7 ва марказлаштирувчи мослама 8.

Намунани ушлаб турувчи ўқли фазали конуссимон бошчадан ёки столикдан иборат бўлиб, унга намуна устун ёки симлар шаклида қўйилади.

Намунани камера ўқи бўйича марказлаштириш учта қисиб турувчи винтлар орқали амалга оширилади. Такомиллашган моделларда эса – конуссимон бошчани магнитга жойлаштириш билан амалга оширилади.

#### 47-§. Нурланишни ионизацион қайд этиш таҳлили аппаратлари

Бу усул бўйича молданинг дифракцион картинасини қайл этиш плёнкада эмас, балки у ёки счётчик билан ва нур қайтариш максимумлари ҳолатини ёзишини қофоз тасмага ўзи ёзувчи курилма ёрдамида амалга оширилади.

Дифрактометрия рентгенотузилма таҳлилини ечишли, ҳамда катта даражада рентгенографик текширувлар ўtkазишида катта аҳамиятга эга. Сабаби нур қайтариш интенсивигини нафақат объектив баҳолаш, балки асбобнинг юқори ечиш хусусияти ва ишининг унумлилигидадир. Тўла дифрактограммни

қайл этиш 20-30 минут ичида амалга оширилали. Юқори даражали аниқлаш хусусияти дифрактограммани баъзи деталларини аниқлашга имкон яратади. Бу деталларни аниқлашда аввал катта диаметрли камералар ва шунга мувофиқ узоқ муддатли экспозициялар зарур эди. Бу усул, айниқса, бир типли модда анализи ёки кичик муаммоларни хал этишда жуда муҳим, масалан, карбонатларни аниқлашда, дала шпатининг микроклинилиги даражаси ва минералларнинг тузилма турларини аниқлашда жуда муҳимdir.

Дифрактограмм нур қайтариш бурчаги қиймати ва уларнинг интенсивлигини тўғридан-тўғри беради. Кукун рентгенограммаларида нур қайтаришга боғлиқ бўлган, нур қайтариш бурчаги кўрсаткичидан юзалар аро масофа кўрсаткичига ўтишда, юзалараро масофа тури тўлқин узунликлари бўйича ҳисобланган ва маълумотномаларга йиғилган нурланишни жадвалларидан фойдаланиш орқали бўлади.

Шундай қилиб, рентген дифрактограммаси бошқа рентгенограммалардан фарқ қиласи;

- 1) Фазовий таҳлил учун рентгенограмманинг тез олиши;
- 2) Уни ҳисобланшининг осонлиги (солдалиги);
- 3) Фон диффузияси ва чизиқларнинг интенсивлигини аниқ ва оддий тоиниш имконияти;
- 4) монокристалларнинг йўналишини тез ва аниқ аниқлаш;
- 5) Сифатли полюс шаклларни тез тузиш.

Шунинг учун рентген дифрактограммаларини олиш ҳозирги кунда кенг тарқалган.

Умумий мақсадда УРС-50 ИМ, ДРОН-1, ДРОН-2, ДРОН-3, ДРОН-4 тицидаги дифрактограммаларни МДҲ мамлакатларининг маҳаллий саноати чиқаради.

**УРС-25И, УРС-50И ва УРС-50ИМ дифрактометрлари.** Улар юқори аниқликка эга бўлиб, уларда ёзув автоматик тарзда рўй беради. Бундан ташқари, бу аппарат визуал ліфракция бурчакларини гониометрик мослама ёрдамида ҳисобга олишига ҳам имкон беради (44-расм).

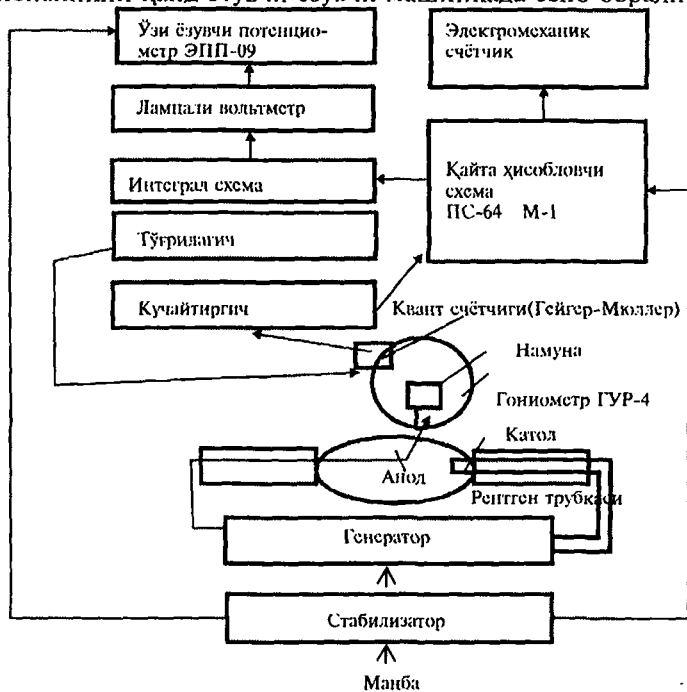
Рентген нурлари трубкадан намунага тушади, қайтарилади ва ҳисобловчи қурилмага келади. Гейгер-Мюллер счётчигига нур тушишидан ҳосил бўлган импульслар бирин-кетин кучайтиргич, қайта ҳисобловчи тизим, интегрировка қилувчи тизимлардан ўтади ва ўзи ёзувчан потенциометрга етиб келади. Охирги қурилмада уларнинг қийматлари қайд этилади.

Дифрактометрларнинг техник кўрсаткичлари:

1. Интенсивликни ўлчащдаги максимал хато уларнинг номинал қийматларидан -15 дан +5% гача ташкил этади.
  2. Интенсивлик максимал ўлчови 1000 имп /сек, қайта ҳисоблаши схемаси бўйича 5000 имп /сек. гача.
  3. Гониометр радиуси -160 мм.
  4. Трубка манбай: V 50 кв гача, I 12 та гача.
  5. Рентген трубкаси типи - БСВ -6.
- ДРОН-0,5 ва ДРОН-1 дифрактометлари** – амплитуда дискрииминаяли спинтиляцион счётчикка эга. Бу апарат жуда қулай ва фазовий таҳлили жараёнидаги барча масалаларни ечишга имкон беради.

Апаратларнинг техник маълумотлари:

- 1) Автоматик счётчик I; 0,1 ёки 0,01 градусда рентгенограмма нуқталарини олишини таъминлайди. Бир вақтнинг ўзида интенсивликни қайд этувчи ёзувчи машинкада ёзиг борали.



44-расм. УРС-50И ионизациои қурилмасининг принципиал блок-схемаси.

2. ГУР-5 гониометри счётчикнинг 1 / 32 дан то 16 град / мин тезликда айланишини таъминлади.

3. Счётикнинг айланиш бурчаги +90 дан — 168° гача.

4. Интенсивликнинг максимал ўлчовлари  $5 \cdot 10^4$  имп / сек. гача.

5. Гониометр радиуси — 180 мм.

6. БСВ-8, БСВ-9 ва БСВ-10 трублари ишлатилади. Уларнинг қувватлари БСВ-6 трубканинг қувватидан 2-3 мартаюқори.

**ДРОН-2 дифрактометри.** Бу қурилма УРС-25И, УРС-50И, УРС-50 ИМ, ДРОН-0,5 ва ДРОН-1 лар сингари ўзи ёзиши, қайд этиши, бурчакдан тушаётган иккиласмчи нурларнинг интенсивлиги (2 0 бурчакда) билан таъминланган.

**ДРД-1 дифрактометри**-радиоактив объектларни текшириш учун мўлжалланган. Масофадан туриб бошқарилади.

**ДРК-2 дифрактометри** — кварц пластинкаларнинг бурчаклари кесимини назорат этиши учун.

**АРС-4М дифрактометри** — рентген нурларини микрофокусли боғлари билан ва бошқалар.

**ДАР-1 автоматик дифрактометр.** Монокристалларни программали бошқарисида текшириш учун. Бу аппарат кристаллографларнинг VII Халқаро Конгрессида (Москва, июл, 1966 й.) кристаллографик аппаратуралар кўргазмасида намойиш этилган.

Биринчи русумли аппаратларда (УРС-25 И, УРС-50 И ва УРС-50 ИМ) рентген нурлари детектори сифатида Гейгер-Мюллэр счётигидан, иккинчисида (ДРОН-0,5, ДРОН-1, ДРОН-2, ДРОН-4 ва бошқалар) — дискриминация амплитудасини пропорционал счётик ёки сцинтиляцион счётикдан фойдаланилади.

#### 48-§. Нурланиш детекторларининг қисқача тавсифи

**Пропорционал ва Гейгер-Мюллэр счётиклари.** Улар ионизацион табиатига эга. Счётик корпуси шиша трубадан иборат бўлиб, ичida гази бор (одатда аргон ёки криpton, босими 500 мм симоб устуни) У иккита электрод (анод ва катод) дан ташкил топган. Трубка ёни рентген нурларини кам ютувчи материаллардан (слюда, бериллий ва бошқалар) ясалган.

Рентген нурлари квантлари счётикка тушиб, газларни ионлаштириди; ҳосил бўлган ионлар (электродлар орасидаги

потенциаллар мавжуулигига) ток импульсини яратади. Бунда давомийликти разряд вақти белгилайди.

Ионизацион счётыклар: 200 в га тенг бўлган потенциаллар фарқида, ҳамма ионлар электролга тушади ва счётык ионизацион камера ( $V_0$ - $V_1$ ) режимида ишлайди. Токнинг кичик ( $\sim 10^{-12}$  а) лиги ва детекторнинг паст сезувчанлиги туфайлиги бу режимда ўлчовларни ўтказиш мураккаб (45- ва 46-расм).

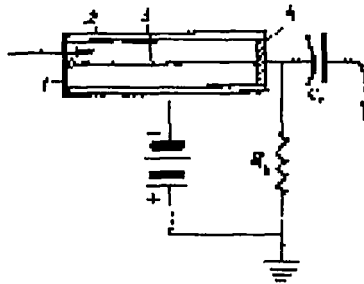
**Пропорционал счётыклар.** 600-900 в ( $V_1$ - $V_2$ ) потенциаллар фарқида электронлар тезлиги шунчалик ошадики, унда ток импульси кучаяди, иккинчи ионизацион эфект чараклади; бироқ бу ҳодиса кичик оралиқларда счётык иплари билан чегаралангани ва шунинг учун тез кучини йўқотади. Счётыкнинг кичик “ўлик вақти” га  $5 \cdot 10^5$  имп / сек гача қайд этиш имкониятини беради.

Импульси ток каттагалиги тахминан  $10^{-7}$  а га тенг ва рентген квантини энергиясига пропорционал. Шунинг учун бундай режимда ишловчи ионизацион счётыклар пропорционалли деб аталади.

**Гейгер-Мюллер счётычи.** Агар потенциаллар фарқи  $V_3$  га оширилса, иплар бўйлаб иккиламчи разряд тарқалади. Счётык Гейгер-Мюллер счётычи режимида ишлайди. Импульс каттагалиги энди квант энергиясига боғлиқ эмас, аммо  $10^{-3}$  а гача ошади. Бу регистрация қилишни осонлаштиради.

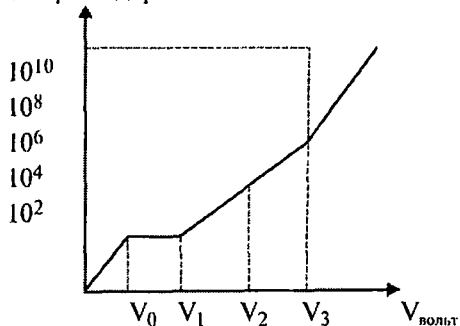
Бу нарса счётыкнинг “ўлик вақти” ни катталантиради ва натижада ҳисобнинг максимал тезлиги  $5 \cdot 10^3$  импульс / секундга камаяди.

Гейгер-Мюллер счётыкларининг хизмат қилиши муддати  $10^3$  импульсгача, пропорционал счётыкларники эса  $10^{12}$  импульсга тенг.



45-расм. Импульсли ионизацион счётык схемаси: 1-дарча; 2-катод; 3-ўтказгич (анод); 4-изолятор.

### Кучайтириш даражаси



46-расм. Газ ионизациясининг счётикка йўналтирилган потенциаллар фарқига боғлиқлиги ( Cu-K $\alpha$  учун).

### 49-§. Фотоусул ишлари учун мўлжалланган аппаратларда рентгенограмма олиш усуллари

Олдинги бўлимларда рентгенография усулининг назарий ва амалий асослари ҳамда ишлатиладиган апаратлари ҳақида батафсил маълумотларга эга бўлдик. Бу бўлимда яна бир амалий иш - рентгенограмма олиш усуллари билан яқиндан танишилади.

Рентгенографик таҳдил имкониятлари чексиз. Усул жуда кўп афзаликларга эга, лекин камчиликлардан ҳам ҳоли эмас. Куйидаги шу ва шунга ўхшаш муаммолар ҳақида фикр юритилади.

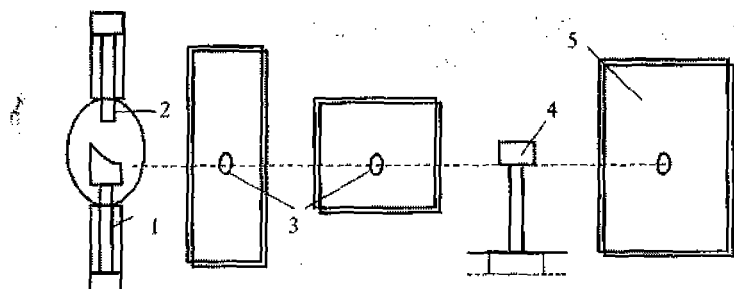
**1) Кўзгалмас монокристалл обьектда лауэграмм олиш усули.** Лауэграмм монокристалнинг сифати, унинг кристалл тузилмасининг такомиллиги, унда иккиёқлама ёки қонуниятсиз ўсишлар борлиги, рентген нурлари йўналишида кристалл симметрияларини баҳолашга имкон беради, лекин бу усул бўйича элементар ячейка ўлчамларини аниқлаш қийин. Бу мақсад учун аниқ кристаллографик йўналиши атрофида монокристаллни айлантириш ва тоббраниш усуллари ишлатилади. Бунда монохроматик нурланишга тасвир қилишдаги такрорий давр аниқланади (47-расм).

**2) Монокристалл рентгенограммасини айланма ёки тебраниш орқали олиш усули.** Бу усулда 0,2-0,4 мм дан катта бўлмаган ўлчамдаги майда монокристаллар ишлатилади (48 ва 49-расмлар).

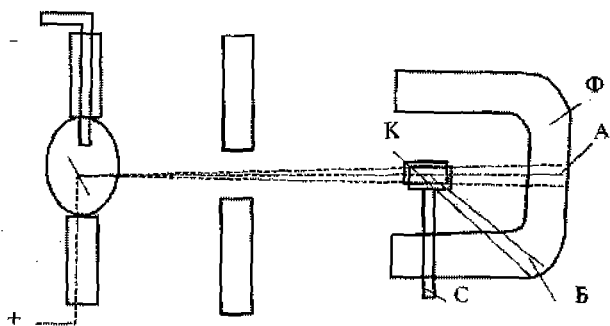
Усул панжара ёки кристаллар симметрияси даврини аниқлашда қўлланилади. Плёнка ёки пластинкадаги ёритилган нуктalarнинг интенсивлиги бўйича, бирикмаларнинг атомларининг жойлашиши, элементар ячейкаси ва ўлчамлари ҳақида хулоса қилинади.

Бу параметрларни аниқлашнинг тўғридан-тўғри усули бўлиб, электрон зичлик проекциясини чизиш усули ҳамдир. Бунда элементар ячейка (ёки унинг қисми)да атомларнинг жойлашиши проекцияси юзага келади.

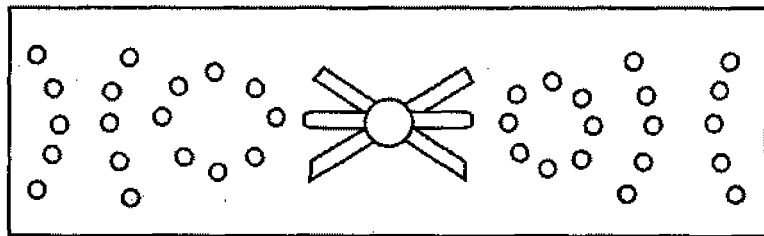
Нурланишни монохроматлаштириш учун дифференциал фильтр ёки Росс фильтри ишлатилади.



47-расм. Кристалдан дифракцион кўриницини олишининг биринчи тарихий усули: 1-катод; 2-антискатод; 3-дарчалар; 4-кристалл ўрнатилган гониометрик бош; 5-яъси плёнкали тасма.



48-расм. Айланётган монокристалл тасвирини олиш схемаси: Ф-плёнка; К – айланётган кристалл; С – айланиш подставкаси; Б - доф; А - доғ.



49-расм. «С» ўқи атрофида берилл монокристаллининг айланма рентгенограммаси.

**3) Куқун усулида дебаеграмм олиш усули (Дебай-Шерернинг куқун усули).** Оддинги икки усул, яъни қўзғалмас ва айланаётган кристаллинг лауэграммасини олиш учун йирик монокристаллар керак бўлади. Ҳолбуки уларни олиш ҳар доим ҳам мумкин эмас. Аксинча, куқун усулида текширишда жуда майдада кристалл куқунлар билан чекланиш имконияти бор (50 ва 52-расм).

Бу усулнинг афзалликлари:

- а) майдада кристалл куқуни билан ишлаш мумкин;
- б) текширишга мўлжалланган материални тайёрлаш оддийлиги;
- в) тажриба ўтказишни оддийлиги.

Камчиликлари:

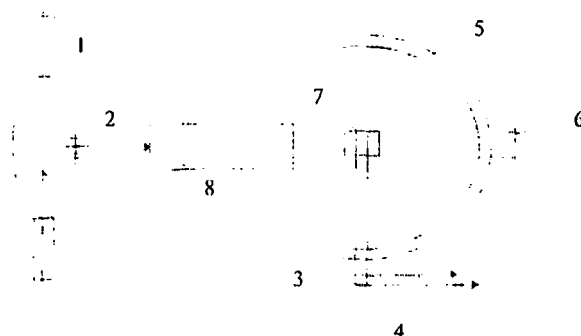
- а) бирмунча кичик аниқлик билан изоҳланади;
- б) тузилма ҳисобининг мураккаблиги;
- в) рентгенограммада линияларнинг тарқоқлиги.

Тасвир олиш тартиби: камерадаги фотоплёнка цилиндрик шаклга эга: Трубкадан монокроматик нур боғлари тирқиши орқали диафрагма (коллиматор) га тушади. Ёпишувчи модда билан нозик стержен ёки целлULOидли трубкага қўйилган на-муна - майдада куқунга тушади. Намунага нурнинг тушиши тубус ёрдамида ёритувчи экранда назорат этилади.

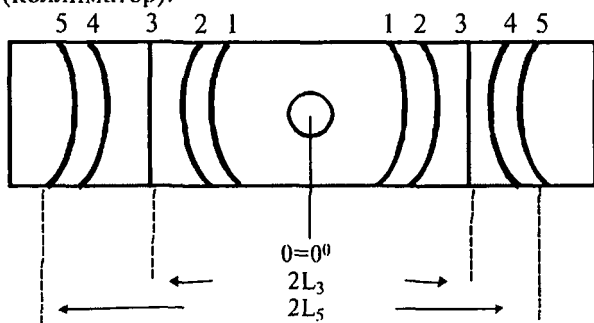
Текширилаётган моддада баъзи кристаллар мутлақо тартибизиз жойлашган, улар орасида ҳар доим Брэгг-Вульф шартига жавоб берувчи нур қайтариш юзасида жойлашган кристаллар бор. Шунинг учун намунали столни айлантириш шарт эмас ва фотографик пленкада марказий дөғлар билан полоса қатори ҳосил бўлади. Бундай ҳолатга қараб ушбу кристалл модда ҳолати константларини ҳисоблаш мумкин.

Бу усул намуналарини текширишга тайёрлаш. Улар қўйидагича амалга оширилади:

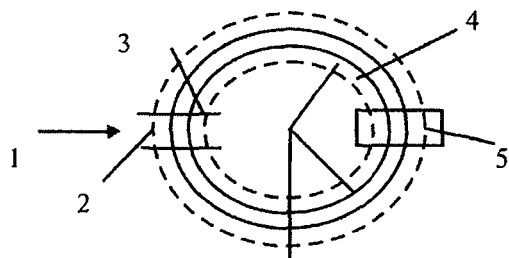
**1) Ҳавода ўзгарувчан намуналарни тайёрлаш.** Агар модда гигроскопик бўлса ва ҳаво кислороди билан реакцияга киришса, “Пирскс” ёки “гетан” шишалари (улар рентген нурларини кам ютади)дан нозик капилляр олинади, у олдиндан кукун ҳолатигача майдаланганд бўлади.



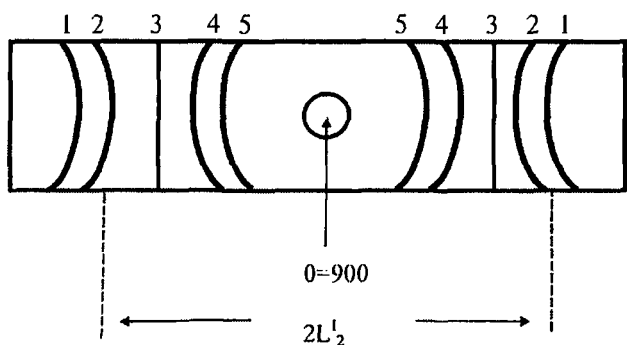
50-расм. Кукун усулида дебаеграмма олишнинг схематик кўриниши: 1-рентген трубкаси; 2-дарча; 3-намунани сақловчи қурилма, 4-намунани айлантириш механизми; 5-фотоплёнка; 6-ёритувчи экран тубуси билан; 7-намуна; 8-қўрғошинли диафрагма (коллиматор).



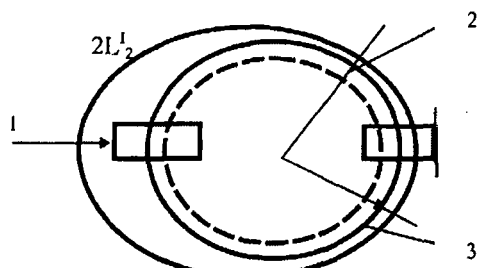
51-расм. Тўғридан-тўғри тасвир олиш плёнкасининг кўриниши.



52-расм. Куқун усулида дебаеграмма олиш камерасининг кўриниши: 1-рентген нури; 2-коллиматор; 3-плёнка чеккалари; 4-плёнка; 5-нурланувчи экран тубуси.



53-расм. Цилиндрик камерада қайта тасвир туширишнинг кўриниши.



54-расм. Қайта тасвир усули цилиндрик камераси кўриниши: 1-рентген нури; 2-плёнка охирлари ва 3-плёнка.

Кейин махсус вост ва канифол аразаимаси ёрдамида ёпиштирилди ёки суртилди. Капиляр диаметри  $d=0,7$  мм атрофида, қалинлиги уни бармоқ билан енгил босилганда синувчан бўлиши керак.

Катта диаметрда эса кенг диафрагмалар қўллаш лозим, у тасвирларнинг фонини оширади ва умуман рентгенограмма сифатини камайтиради.

**2. Ҳавода ўзгармайдиган намуналарни тайёрлаш.** Яхши майдалангани кукунни клей (резина клейи ёки цапонлак) билан қориштириб аралашма тайёрланади. Кейинги нозик тола ( $d=0,05-0,1$  мм) кесилади ва тола қуриганида эгилмаслиги учун клей кам бўлиши керак.

Кукун усулида дебаеграмм олиш усулининг турлари:

**а) Тўғридан-тўғри тасвир олиш.** Цилиндрик камерадаги пленканинг тугалланган қисми коллиматорнинг кириш тешигига мос келади. Линиялар бурчак ўсиш тартибида К пленка ўртасидан упинг чеккаларига тақсимланади. Симметрия чизиқларининг орасида масофа  $2L$  бўлиб, бурчак  $4\theta$  орқали аниқланади (51-расм).

$$2L_i = 4\theta_i \cdot R \quad \text{ёки градусли ўлчамда}$$

$$2L_i = 2\pi R / 360 \cdot 4\theta_i$$

бу ердан,  $Q=2L_i \cdot 57,3 / 2D$  ;

R-камера радиуси ва D-камера диаметри.

**б) Цилиндрик камерадаги қайта тасвир.** Пленканинг тугаган қисми камера диаметрига мос келади. У рентген нурларига перпендикуляр бўлали (53- ва 54-расм).

Линиялар бурчак  $\theta$  ўсиш тартиби бўйича рентгенограмманинг чеккасидан ўрта қисмiga кириш ва чиқиш тешикларидан тарқалади.

Симметрия чизиқлари  $2L'$  айланма ёйга tengлиги ( $360^\circ - 4\theta$ ) ҳисобга олинган ҳолда бурчаги топилади:

$$2L'_i = (2\pi - 40)R$$

Бу ҳолатда  $2L$  ва  $2L'$  бир-бирига боғланганлиги қўйидаги tengлик билан ифодаланади:

$$2L_i = \pi D - 2L'_i$$

Шундай қилиб, tenglama қўйидаги кўринишга ўтади:

$$Q_i = 2L_i \cdot 57,3 / 2D = (\pi D - 2L'_i) \cdot 57,3 / 2D$$

**в) Цилиндрик камерада асимметрик тасвир олиш.** Бу усулда плёнкалар чеккаси рентген нурига перпендикуляр камера диаметрига мос келади (55- ва 56-расм).

Линиялар жойлашиши бурчакнинг ўсишига боғлиқ. Улар рентгенограмманинг ўрта қисмидан чиқиш - кириш дарчалари томон силжиган. Пленкани бундай жойлашиши плёнка ўйчамларини фотография вақтида ўзгариши, камеранинг эф-фектив- Дэф. диаметри ёки, 1 мм пленканинг градуслардаги ҳақиқий баҳосини ҳисобга олиш имконини беради.

Камера диаметри  $D$  эф.=  $H + B / \pi$ .

**2) цилиндрик камерада шлиф тасвирини ҳосил қилиш.** Бунда қуидагиларга қатъий риоя қилиш зарур:

а) намуна қия жойлашган:  $0 = L_i 57,3 / D$ ;

б) намуна рентген бөғига перпендикуляр жойлашган:

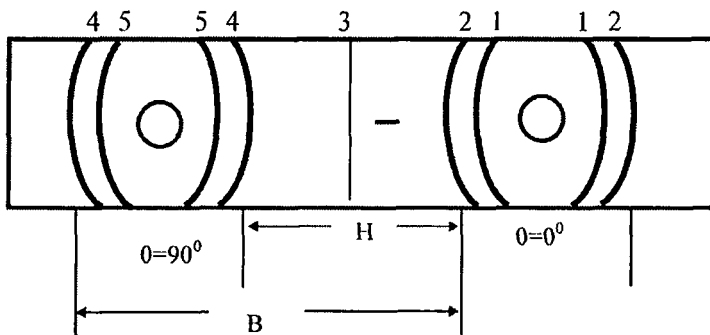
$$\theta_i = (\pi D - 2 L'_i) \cdot 57,3 / 2D$$

**в) Аксиал цилиндр камерада тасвир олиш.** Бу усулда камера ва намуна жойлашиши ҳамла рентген нури йўналиши қуидагича бўлади (57-расм):

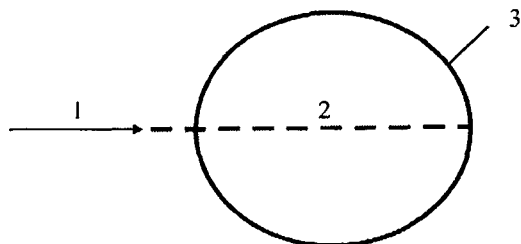
Бундай тасвир дебай ҳалқа атрофидаги лифрагирован пурланишининг тарқалиш интенсивлигини таҳдил этиш учун муҳимdir. Масалан, моддаларнинг текстурасини текширишида. Яхни натижаларни  $\theta$  кичик бурчаги томонидан таҳдил қилиш имконини беради.

**г) Ясси плёнкага тасвир тушириш.** У ўз навбатида икки хил бўлади (58- расм):

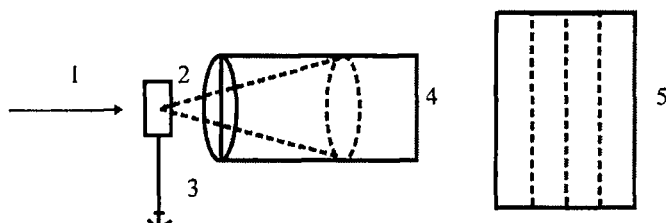
- 1) нур ўтишида тўғридан-тўғри тасвир ҳосил қилиш;
- 2) нур қайтишида тасвир тушириши.



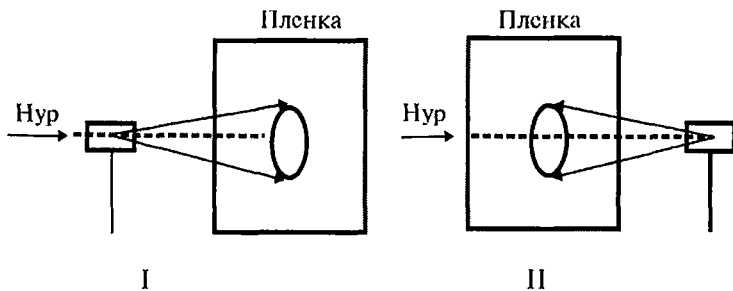
55-расм. Плёнкадаги асимметрик тасвир.



56-расм. Асимметрик тасвир усули камераси: 1-рентген нури; 2-камера; 3-плёнка.



57-расм. Аксиал цилиндрик камерада тасвир ҳосил қилиш схемаси: 1-рентген нури; 2-намуна; 3-айланувчан механизм; 4-аксиал камера; 5-плёнка.



58-расм. Ясси плёнкага тасвир туширишда рентген нури йўналиши, намуна ва плёнкаларни жойлаш схемалари: 1-нур ўтишига асосланган; 2-нур қайтишига асосланган.

## **50-§. Нурланишни ионизацион қайд этиш таҳлили аппаратларида дифрактограмма олиш усуллари**

Рентген нурланиши буидан 90-йил бурун очилган бўлса ҳам тадқиқотлар, асосан фотоусулларни қўллаш йўли билан давом этди. Бу усул юқори аниқликка эга, аммо уни ишлатаётган илмий ходимдан ҳам рентгенография, ҳам фотографиядан юқори малака талаб қиласи.

Кейинги 25-30 йил ичидаги фотоусулларда лауэграмма ва дебаеграмма олиш ўрнига нурланишини ионизацион қайд этишга асосланган дифрактограмма усуллари жорий этила бошлианди. Бу усулларда иш олиб бориш маҳсус счёгчикларга асосланган бўлиб, уларда дифракцион максимумлар регистрация қилинади.

Хозирги вақтда нурланишини ионизацион қайд этиш таҳлили аппаратларида дифрактограмма олишнинг икки усули қўйидагича регистрация қилинга асосланган:

1. Гейгер-Мюллэрнинг ионизацион счетчиги ёрдамида.
2. Сцинтиляцион счетчиги ёрдамида.

Биринчи газли счетчикларининг такомиллаштирилган турлари пропорционал ёки мустақил номлари билан ҳам аталади. Ток кучи ёки импульслар сонига кўра рентген нурланиши интенсивлиги ҳақида фикр юритиши мумкин.

Кристалл-фосфор (таллий билан активлантирилган йодли натрий кристалли) ва фотокўпайтиргичдан ташкил топган сцинтиляцион счетчикларда Гейгер-Мюллэр газли счёгчикларига нисбатан фон анча кичик бўлади. Шунинг учун уларнинг эффективлигиги анча юқоридир.

Дифрактограмма олиши учун силикатли намуна тайёрлаш ва дифрактограмма олиш қўйидагича кечади:

1. Текнирилаётган намунадан 5-10 г ажратиб олинади.
2. Агатли майдалагичда спирт ёрдамида майдаланади.
3. Ҳўл модда майдалагичда ёқиб юборилади ва қуруқ кукун олинади.
4. ДРОН маркали аппаратларига намуна - кукун жойланади.
5. Дифрактограмма олинади.
6. Дифрактограмма пиклари номерланади.
7. Пиклар ўлчами ва интенсивлиги аниқланади.
8. Топилган қийматлар маҳсус жалваллар ёрдамида d-га айлантирилади.

9. Махсус китоблар ёрдамида d ва I лар қиймати орқали модда таркиби аниқланади.

Рентген нурлари билан ишлашда хавфсизлик техникаси қоидаларига қатиқ риоя қилиш зарур. У узоқ вақт киши организмига таъсир ўтказса саломатлик масаласига путур етади:

1. Инсон қонининг таркиби ўзгаради.

2. Ички органлар шикастланади.

3. Тери қавати куяди.

Рентген нурлари билан ишлашда маъсул органлар томонидан белгиланган шарт-шароитларга қатъий амал қилиш талаб этилади:

1. Рентген аппаратларида ишлаш учун ёши 18 га кирмаганларга рухсат берилмайди.

2. Рентген аппаратларини созлаш ва тузатишга фақат махсус маълумоти бор кишиларгагина рухсат этилади.

3. Рентген аппарати жойлашган хоналарга бегона шаҳсларнинг киришига йўл қўйилмайди.

4. Рентген аппарати ишлаб турган вақтда унинг бўлакларига тегиш, юқори волътили қисмларини таъмирлаш ва бошқалар ман этилади.

5. Вақт-вақти билан рентген нурланишидан ҳимоя восита-ларининг эффективлиги дозиметрлар орқали текшириб турилиши шарт.

6. Рентген трубкаси ва рентген камераси алмаштирилгач аппарат ўрнатилган хонани дозиметр ёрдамида текшириб туриш керак.

Рентген нурлари билан ишлашда хавфсизлик техникаси қоидаларига риоя қилишини таъминлашда рентген дозиметрлари катта рол ўйнайди. Рентген нурлари дозасини ўлчашла, одатда, кўчма асбоблардан – универсал ГРИ дозиметрларидан кенг фойдаланилади. Бу асбоб бир ипли электрометр ва алмаштириб туриладиган ионланиш камералари тўпламидан ташкил тонган.

## **51-§. Рентгенографик таҳлилдан фойдаланиш имкониятлари**

Усулини қўллашни амалий имкониятлари жуда катта. Куйида улардан асосийлари келтирилади:

1. Табиий ва сунъий минераллар ва кимёвий бирималарнинг диагностикаси учун (кимёгар, кристаллокимёгар, крис-

таллограф, геокимёгар, геолог, геофизик, физик, металлург, оптик ва бошқалар томонидан):

а) минераллар турини аниқлаш (слюда, пироксен, дала шпати, гранат, кварц, алюнит, мелилит, волластонит, муллит, титанат, карбонат, сульфат ва бошқалар);

б) бир турли минералларни турли типларини аниқлаш (биотит, флогонит, мусковит; натрийли -, калийли- ва кальцийли дала шпатлари; каолинит, галлуазит ва бошқа тупроқ минераллари);

в) тузилма турларини аниқлаши (дала шпатининг моноклин ёки триклин шакли, пироксенларнинг моноклин ва бошқа турлари, нефелиннинг ромбик ва гексагонал шакллари ва ҳоказо);

г) минерал таркибини сифат ва миқдорий баҳолаш (ион ўлчамлари ва бошқаларга боғлиқ ҳолда).

2. Тузилма таҳлили учун:

а) моддаларнинг симметрияларини аниқлаш;

б) симметрия фазовий группаларини-элементар ячейкада молекула, ион, атомларнинг симметрик жойлашиши;

в) элементар ячейка ўлчамлари – параметралар: а, б ва с; бурчаклар: α, β ва γ қийматлари;

г) панжарарадаги атом, ионларнинг координати ва атомлар орасидаги масофа;

д) модданинг кристаллик тузилмасини баёни, тузилмани ташкил қилувчи атомлар орасидаги масофа, координацион рақам ва бошқалар.

3. Аниқлаш учун:

а) модданинг монокристаллиги – монокристалнинг тузилмавий етуклиги, қўшалоқларнинг мавжудлиги, ўлчами, сифати ва бошқа диагностик параметрларини баҳолаш имкони;

б) модданинг поликристаллиги – поликристаллар кимёвий таркиби, поликристалл заррачалари ўлчами ва ҳоказо.

4. Минерал тузилмасидаги у ёки бу элементлар ва уларнинг шаклини аниқлаш - минерал, рудадаги қўшилма (изоморф, механик) ларнинг қандай аралашмалиги ва эрувчанлигини ўрганиш.

5. Тоғ жинслари ва рудаларини сифати ва миқдорини фазавий рентгенографик таҳлили.

6. Минералларнинг дисперслиги ва кристалларининг катталикларини баҳолаш.

7. Минераллар тузилмалари тузилиши, шуксонлар-Шотки, Френкел поаниқликлари ва дислокацияларни баҳолани.
8. Минерални текстураларини аниқлаши.
9. Рентгеноаморф ва коллоид минералларни ўрганиши.
10. Минералларнинг барқарорлиги ва турли таъсирлардан фазовий ўзгаришини ўрганиши.
11. Зичлик, иссиқликдан кенгайин коэффициенти, Кюри нуқтаси, қаттиқ эритмаларнинг идеаллиги ёки дефект тузилмас эканлиги каби физик ҳосса-хусусиятларини аниқлаши.
12. Хона ҳароратидан  $1500^{\circ}\text{C}$  ли ҳарорат таъсирида рўй берувчи физик-кимёвий ўзгаришларни аниқлаши.
13. Минус  $190^{\circ}\text{C}$  гача тадқиқотлар олиб бориш, сопуқлик таъсирида рўй берган ўзгаришларни аниқлаши.
14. Рентгенографик таҳдилни ҳаво шароитида олиб бориш ва олингани натижалар турғунлигини таъминлаши.
15. Рентгенографик таҳдилни юқори босим остида маҳсус камералардан фойдаланган холда олиб бориш.
16. Шиша, канифол, гудрон каби ноорганик ва органик моддаларни кичик рентген бурчаклари остида текшириш ва уларда бор бўлган фрагментларни аниқлаш.

## 52-§. Рентгенографик таҳдил афзаллиги

Жуда кўп афзалликлари бор. Улардан асосийлари қаторида куйилагиларни қайд этиш мумкин:

1. Флуоресцент нурланишни фильтрлани мақсадида монохроматлардан фойдаланиш имконияти беради.
2. Интенсивликни юқори аниқликда ўлчаш мумкинилиги (чегаралар фотографик усулида 5-7 %, электрик усульда ўлчашда 0.5-1%).
3. Текшириши натижаларини ҳужжатлилиги. Иккиласми нурланишини фотографик қайд этишида рентгенограмманинг ҳамма линиялари бир вақтнинг ўзида қайд этилади. Дифрактомстр ёрдамида турли чизиқларнинг интенсивлиги ҳисобга олинади, счётчик айланиши ёки ионизациоп камеранинг ўзиёзар машинкасида ёзилади.
4. Кристалларнинг ўлчамларини аниқлаш имконияти. Поликристалл ўлчами ( $10^{-3}$ - $10^{-5}$  см оралигига ётган бўлса рентгенограммала узлуксиз ва нозик чизиқлари қайд этилади.  $10^{-5}$  см дан кичик ўлчамли кристалларнинг мавжудлиги чизиқларнинг “дифракцион кенгайиш”га олиб келади. Агар кристаллар йи-

рик донали ва  $10^{-3}$  дан катта бўлса, рентгенограмма донадор, яъни алоҳида нуқталардан ташкил топади. Чизиқларда кузати-лаётган иккала ўзгаришни ҳам кристалларининг ўлчамларини аниқлашда ишлатиш мумкин.

5. Кичик бурчак остида кичик ўлчамли обьект рентгенограммаларини олиш имконияти (масалан, қаттиқ эритмаларнинг тузилиши бир ҳилда эмаслиги, шиша ва бошқалар).

6. Текстурани аниқлаш имконияти (майда кристалл - агрегатларнинг йўналтириш қонуниятлари).

7. Усулнинг юқори даражада унумдорлиги (дифрактометрия);

8. Кристаллнинг керакли йўналиши бўйича қўйиши ва рентгенограммасини олиш имконияти.

9. Рентгенография усулининг таъсирида электронография ва нейтронография усулларининг пайдо бўлиши ва такомиллашиши. Уларда электронлар ёки нейтронлар боғларининг намунага таъсири қайд этилали.

### 53-§. Усулнинг камчиликлари

Рентгенография усулининг афзалликлари жуда кўп, лекин камчиликлари ҳам бор. Олимлар аниқланган камчиликларни бартараф этиб, усул имкониятларини ошириш устида фаол ишламоқдалар. Булар қаторига қуйидагилар киради:

1. Усулнинг аморф моддалар (шиша, канифол, смола, ях ва бошқалар) тузилмасини аниқлашдаги заифлиги. Ҳосил бўлган рентгенограмма ё тўғри чизиқдан иборат, ёки жуда паст интенсивли пиклар йиғинлисисдан иборат бўлади. Бу камчилик рус олими проф. Парой-Кошиби фикрича, рентген нурлари кичик бурчак остида намунага таъсир эттирилишини таъминлаш прецизион усули орқали бартараф этилиши мумкин. Бу усул шишаларнинг тузилишидаги микроноаниқликларни текширишнинг тўғри усули ҳисобланади.

2. Поликристалл моддалари тузилмаларини рентгенографик расшифровка қилишнинг қийинлиги. Уларда атом тузилмаларини аниқловчи маълумотлар кўпинча етарли миқдорда эмас.

Масалан, муллит минералининг монокристалли ва поликристалли расшифровкаси орасида катта тафаввут мавжуд. Монокристалл бир йўсинда аниқ расшифровка қилинади, поликристаллида эса расшифровка бир қатор шартли кўрсаткичлар орқали боради.

Таркибиға барий ва кальций кирган шишаларда нисбатан катта макон ( $R=150-200 \text{ \AA}$ ) лар борлиги олимлар томонидан аниқланган (19-жадвал).

### Шишалар таркибида аниқланган микроноаниқликлар

19-жадвал

Тартиб	Шиша таркиби, мол. фоиз ҳисобида			Микроноаниқликлар радиуси, $\text{\AA}$
	$\text{SiO}_2$	$\text{Na}_2\text{O}$	$\text{MeO}$	
1.	80	10	10 ( $\text{BaO}$ )	160
2.	80	10	10 ( $\text{CaO}$ )	195
3.	88,5	11,5	-	125

3. Фотоусулини қўллашда: фотографик операциялар ҳақида маълумотга эга бўлишилик ҳамда рентгенограммаларни фотометр усулида қайд этишининг кераклилиги.

4. Электр усулини қўллашда: рентген трубкани электрик режимда ишлапида стабиллаштириш етарли эмаслиги ҳамда счётчик билан боғланган ҳамма ёрдамчи кучайтирувчи ва таъминловчи занжирларнинг етарли даражада эмаслиги.

5. Чизиқларнинг ҳолатини аниқ ўлчашда юқори аниқликка эга бўлган гониометрии қўллашнинг зарурлиги ва муҳимлиги. Бу ҳолатда асбоб мураккаблашади ва қимматлашади.

6. Паст сингония (ромбик, моноклин ва триклини)ли молдалар — гидрагилит, байерит, диаспор, бемит, каолинит, диккит, накрит, монтмориллонит, бейделлит, нонтронит, монотермит, галлуазит, пирофиллит, кальцит, доломит, гипс, ангидрит ва бошқаларни тузилмаларини расшифровка қилишнинг мураккаблиги.

7. Бир сингония ёки тузилмали ўхшаш бирикмаларни расшифровкаси қийинлиги. Масалан, флюорит ва сфалерит каби минераллар нафақат бир хил кубик сингонияга эга, балки уларнинг элементар ячека ўлчамлари ҳам бир-бирига тенг:

$5,42 \text{ \AA}$ .Faқат юзаларора масофа  $d$  ва нур қайтариш интенсивлигини қийматларини нисбий баҳолаш билан минерални аниқ таҳдил этиши мумкин. Олинган натижа дебаеграмм стандартлари картотекаси ёки маҳсус чоп этилган китоблар (Михеев-1957 ва 1965 йиллар; Минераллар- 1965-1967 йиллар; Семенов- 1963 йил; Сидеренко- 1957 йил; Миркин- 1961 йил ва бошқалар) га солиштириш йўли билан олиб борилади.

8. Кўп ҳолларда рентгенограмма маълумотлари бошқа константалар билан тўлдирилиши лозим. Масалан, гранат турла-

рини аниқлашда уч диаграмма “а-N-d” бўйича ташхис қўйиш мумкин. Бу ерда, а - элементар ячейка ўлчами, N- нур синдириш кўрсаткичи ва d- гранитнинг солиштирма оғирлиги. Буларнинг ҳаммаси гранат минералининг турлари ҳақида аниқ маълумот олишни таъминлайди.

#### 54-§ Кимёвий бирикмаларга оид рентгенографик маълумотлар

В 5222400 – «Кимёвий технология» йўналишининг «Силикат ва зўргасуолувчан материаллар технологияси» соҳаси хом ашёлари, яримфабрикатлари, материаллари ва буюмларида кўпроқ учровчи кимёвий бирикмаларнинг рентгенограммаларига тўғри келадиган текисликларо масофа ( $d, \text{\AA}$ ) ва чўққилар интенсивлиги ( $J, 100,10$  ёки солиштирма таққослаш) га оид маълумотнома Л.И.Миркин [23], В.Н.Михеев [24], В.В.Тимашев [6], А.И.Китайгородский, Н.А.Торопов [36], И.И.Горбунов ва бошқа манбалар [5,29-35] келтирилган маълумотлардан фойдаланилган ҳолда қўйидаги 20- жадвалда келтирилали.

Кимёвий бирикмаларга оид рентгенографик маълумотлар Д.И. Менделеев даврий жадвалида жойлашган 58 элемент ва унинг ҳосилаларига таалуқли бўлиб, у литий элементидан бошланиб водород элементига оид тегишли рақамларни ўз ичига олган. Айниқса жадвалда элемент, элемент ҳосил қилган оксид, элемент карбонати, сульфати ва нитрати, у ҳосил қилган тузлар – алюминат, силикат ва бошқалар катта ўринни эгаллаган. Жумладан, литий элементига таалуқли 22 бирикма, натрийга – 15 бирикма, калийга – 17 бирикма, магнийга – 24 бирикма, кальцийга – 57 бирикма, стронцийга – 25 бирикма, барийга – 23 бирикма, алюминийга – 21 бирикма 20-жадвалга киритилган.

Текисликлараро масофа жадвалда ангстремда берилган. Агар фойдаланилган адабиётда у килоиксада берилган бўлса, у ҳолда  $1d^{\frac{9}{A}} = 1,00202 \text{ кХ}$  тенгламаси ёрдамида килоикс ангстрем ўлчовига ўтказилган.

Чўққилар интенсивлиги жадвалда З кўринишида ўз ифодасини топган: бирдан юзгача ҳисобида; Иккинчи кўринишида интенсивлилик нолдан ўнгача ҳисобида ўтказилган. Учинчи кўринишида эса интенсивлилик нисбий бирликларда берилган: Кз – кучсиз, Ж.кз. – жуда кучсиз, Ж.ж.кз. – жуда-жуда кучсиз, Ў – ўртача, Ки – кучли, Ж.ки. – жуда кучли, Ж.ж.ки – жуда-жуда кучли.

**Табиий ва сунъий кимёвий бирикмаларнинг баъзи бирларига  
хос бўлган d ва J**

20-жадвал

Модда	d	J	D	J	D	J
I	2	3	4	5	6	7
Литий-Li	2,48 1,75	100 17	1,430 1,240	20 3	- -	- -
Li OH	4,35 2,98 2,75 2,67 2,51	33 20 100 23 13	2,42 2,08 1,97 1,85 1,77	17 3 3 5 7	1,74 1,65 1,490 1,280 1,257	3 7 7 3 3
LiF	2,32 2,00	67 100	1,419 1,211	23 3	1,160 -	3 -
LiH	2,357 2,041 1,444 -	54 100 40 -	1,231 1,178 1,0204 -	23 11 3 -	0,9374 0,9130 0,8335 0,7859	8 9 7 5
LiCl	2,96 2,56 1,81 1,55 1,482	100 100 60 32 12	1,283 1,178 1,148 1,048 0,989	5 12 14 6 5	0,909 0,869 0,857 - -	2 3 2 - -
Li <sub>2</sub> CO <sub>3</sub>	4,16 3,80 3,02 2,91 2,80 2,62 2,47 2,42	63 5 5 50 100 25 10 38	2,26 2,07 1,86 1,81 1,61 1,59 1,57 1,54	18 3 13 3 3 5 5 5	1,51 1,460 1,422 1,389 1,350 1,311 1,280 -	5 5 3 3 3 3 3 -
LiNO <sub>3</sub>	3,58 2,78 2,53 2,13	67 53 20 100	1,371 1,355 1,255 1,194	20 13 4 4	1,008 0,982 0,932 0,927	3 3 1 1

	1,95 1,72 1,53 1,420	1 11 27 1	1,140 1,117 1,082 1,025	1 3 4 1	0,895 0,890 - -	1 1 - -
$\text{Li}_2\text{SO}_4$	4,01 3,49 3,16 2,78 2,68 2,62 2,47 2,40 2,31	100 11 40 6 3 5 13 6 6	2,20 2,09 2,01 1,95 1,88 1,81 1,77 1,67 1,60	3 5 2 13 5 3 2 2 3	1,56 1,53 1,487 1,424 1,400 1,340 1,279 1,215 1,185	2 3 6 2 3 3 3 2 3
$\text{Li}_2\text{O}\cdot\text{Al}_2\text{O}_3$	4,54 3,506 3,210 2,790 2,660 2,545 2,372 2,280 2,078 1,969 1,905	6 19 13 41 3 3 84 25 13 59 3	1,849 1,799 1,741 2,721 1,675 1,608 1,559 1,518 1,467 1,439 1,393	3 3 3 13 3 31 6 72 3 6 100	1,296 1,278 1,249 1,202 1,177 1,139 1,107 1,077 1,054 - -	3 6 13 25 3 19 3 6 13 - -
$\text{Li}_2\text{O}\cdot\text{Fe}_2\text{O}_3$	2,39 2,07 1,461 1,247 1,195 1,035	40 100 90 30 40 20	0,949 0,925 0,845 0,798 0,732 0,690	10 50 40 10 10 20	0,657 0,624 0,575 0,553 - -	20 10 10 10 - -
$\text{Li}_2\text{O}\cdot\text{CrO}_3$	7,0 5,3 4,39 4,10 3,70 3,50 3,27 3,15 2,85 2,64 2,54	16 5 32 100 5 32 20 13 32 24 8	2,47 2,32 2,22 2,14 2,08 2,01 1,94 1,84 1,80 1,73 1,69	10 8 3 5 2 3 8 11 2 3 6	1,64 1,60 1,56 1,52 1,57 1,420 1,367 1,343 1,215 1,113 -	2 3 3 2 2 13 5 3 2 2 -

$\text{Li}_2\text{CrO}_4 \cdot 2\text{H}_2\text{O}$	6,6 5,3 4,78 4,50 4,25 4,08 3,70 3,57 3,38 3,18 3,07 3,00	40 27 83 67 83 83 67 67 40 53 100 100	2,76 2,65 2,55 2,49 2,37 2,18 2,10 2,03 1,92 1,87 1,81 1,75	100 27 27 53 53 40 27 40 13 7 27 13	1,70 1,66 1,63 1,59 1,53 1,50 1,452 1,400 1,370 1,340 - -	7 40 40 13 7 27 40 13 7 13 - -
$\text{Li}_2\text{Cr}_2\text{O}_7 \cdot 2\text{H}_2\text{O}$	6,4 5,4 5,1 4,31 3,92 3,72 3,42 3,19	4 60 60 50 4 60 32 100	3,08 2,86 2,69 2,58 2,42 2,36 2,19 2,12	20 20 28 12 8 8 16 12	2,01 1,76 1,70 1,65 1,485 1,350 - -	8 8 8 12 4 4 - -
$\text{Li}_2\text{SO}_4 \cdot \text{H}_2\text{O}$	7,8 5,1 4,12 3,84 3,68 3,54 3,02 2,93 2,72	7 67 100 58 7 67 50 33 33	2,65 2,48 2,41 2,33 2,28 2,18 2,04 1,91 1,81	3 3 27 3 3 7 7 7 7	1,72 1,70 1,63 1,59 1,55 1,490 1,378 - -	7 7 3 7 7 7 7 - -
$\text{LiKSO}_4$	3,94 3,09 2,556 2,423 2,186 1,970	Ж.ку. Ж.ку. Ж.ку. Кз. Ж.ку. Ж.кз.	1,912 1,642 1,595 1,560 1,481 1,369	Ж.кз. Ку. Ж.кз. Ку. Ку. Кз.	1,324 1,286 1,253 1,223 1,201 1,187	Ж.кз. Ж.кз. Ж.кз. Ж.кз. Ж.кз. Ж.кз.
$\text{LiCl} \cdot \text{H}_2\text{O}$	3,82 2,70 2,58 2,43 2,21 2,04	10 100 3 3 5 1	1,94 1,91 1,86 1,71 1,57 1,358	3 13 1 3 20 5	1,275 1,210 1,155 1,105 1,025 -	1 4 1 1 2 -

$\beta - \text{LiAlSi}_2\text{O}_6$	4,5904 3,9094 3,4884 3,1554 2,2938 2,2605	5 25 100 11 8 9	2,1040 1,9293 1,8825 1,7404 1,6938 1,6438	7 13 37 3 3 14	1,5406 1,4775 1,4502 1,4291 1,3208 1,2384	7 3 10 6 12 11
$\text{LiGaSi}_2\text{O}_6$	4,6333 3,9472 3,5074 3,1819 2,3130 2,2792	8 30 100 12 24 12	2,1257 2,0955 1,9497 1,8899 1,7020 1,6598	5 5 13 36 4 29	1,5500 1,4865 1,4629 1,4378 1,3342 1,2475	8 5 15 7 18 17
Амфибол —	7,98 4,85 4,39 3,63 $\text{Al}_2(\text{OH})_4^-$ $\approx \text{Si}_{16}\text{O}_{44}^{\pm}$	4 1 4 4 6 6 10 6 6 8 6 1 1 4	2,212 2,095 2,031 1,952 1,856 1,798 1,736 1,712 1,590 1,572 1,522 1,487 1,472 -	1 6 1 4 1 6 4 4 8 8 1 6 1 1	1,444 1,423 1,395 1,351 1,337 1,312 1,276 1,257 1,239 1,176 1,163 1,135 1,084 -	4 1 8 1 1 8 4 1 1 1 1 4 4 -
Манганси-клерит —	5,064 4,295 ( $\text{Li}, \text{Mn}^+$ , $\text{Fe}^{3+}$ ) $ \text{PO}_4 $	1 8 4 8 8 8 4 -	2,519 2,169 1,760 1,737 1,676 1,648 -	10 4 8 8 4 4 -	1,624 1,477 1,353 1,323 1,149 1,103 1,070	4 4 8 4 4 8 8
Феррисик-лерит —	5,929 5,382 ( $\text{Li}$ , $\text{Fe}^{3+}, \text{Mn}^+$ ) $ \text{PO}_4 $	10 4 10 10 10	4,148 3,893 2,780 2,565 2,188	4 4 4 4 4	2,103 1,740 1,480 1,070 -	10 1 10 10 -
Натрий - Na	3,02 2,13 -	100 15 -	1,75 1,51 -	20 5 -	1,355 1,246 1,145	5 3 3

Na <sub>2</sub> O	9,0	2	2,47	2	1,71	4
	7,8	2	2,42	4	1,65	4
	5,6	4	2,35	14	1,56	2
	5,0	4	2,30	12	1,50	4
	3,75	2	2,24	4	1,466	12
	3,43	4	2,03	10	1,438	4
	3,09	10	1,96	2	1,400	4
	2,87	4	1,89	2	1,345	12
	2,76	2	1,86	4	1,275	8
	2,55	100	1,80	50	-	-
Na <sub>2</sub> CO <sub>3</sub>	3,43	8	2,18	60	1,62	12
	3,22	12	2,11	4	1,57	25
	2,96	80	2,02	14	1,52	8
	2,85	2	1,95	40	1,482	16
	2,70	20	1,88	40	1,451	6
	2,60	60	1,83	2	1,418	4
	2,54	60	1,79	4	1,388	8
	2,36	100	1,71	25	1,347	4
	2,25	40	1,67	12	-	-
	3,258	13	1,294	1	0,9401	3
NaCl	2,821	100	1,261	11	0,8917	4
	1,994	55	1,1515	7	0,8601	1
	1,701	2	1,0855	1	0,8503	3
	1,628	15	0,9969	2	0,8141	2
	1,410	6	0,9533	1	-	-
	3,075	47	1,680	12	1,386	3
Na <sub>2</sub> SO <sub>4</sub>	4,66	73	1,864	31	1,497	5
	3,84	18	1,841	6	1,465	1
	3,178	51	1,798	4	1,429	5
	2,783	100	1,662	8	1,324	3
	2,646	48	1,605	5	1,304	3
	2,329	21	1,589	3	1,297	6
	2,211	5	1,553	10	1,279	5
	1,919	4	1,537	1	1,258	1
	1,891	4	1,512	2	1,233	1
	2,03	10	1,266	5	0,973	4
NaOH	5,8	13	1,65	25	1,108	2
	2,85	20	1,460	10	1,071	7
	2,35	100	1,346	2	1,019	2
	2,03	10	1,266	5	-	-
	1,90	8	1,201	5	-	-
	1,70	30	1,178	1	-	-

$\text{Na}_2\text{O} \cdot 11\text{Al}_2\text{O}_3$	11,8	53	2,02	40	1,210	11
	5,7	13	1,93	27	1,190	1
	4,45	9	1,84	13	1,170	3
	4,08	5	1,74	12	1,152	3
	3,78	1	1,69	1	1,135	3
	2,79	17	1,65	4	1,113	3
	2,67	40	1,59	53	1,098	3
	2,51	27	1,56	20	1,051	11
	2,40	27	1,480	20	1,042	13
	2,23	27	1,400	100	1,017	12
	2,13	27	1,340	33	0,993	13
	2,08	3	1,238	17	0,968	12
$2\text{Na}_2\text{O} \cdot \text{P}_2\text{O}_5$	4,40	100	2,02	5	1,342	8
	3,38	25	1,91	31	1,293	5
	2,72	75	1,75	10	1,206	5
	2,53	3	1,67	3	1,165	3
	2,42	3	1,55	23	1,140	5
	2,33	23	1,475	13	1,070	3
	2,06	10	1,424	15	1,013	5
$3\text{Na}_2\text{O} \cdot \text{P}_2\text{O}_5$	4,25	48	2,15	6	1,400	3
	3,95	13	2,05	20	1,355	6
	3,84	20	1,91	48	1,316	6
	3,45	6	1,81	8	1,275	5
	3,11	11	1,72	11	1,245	3
	2,70	48	1,66	2	1,207	6
	2,55	100	1,57	6	1,193	8
	2,43	10	1,53	24	1,157	3
	2,25	20	1,450	11	-	-
$\text{Na}_2\text{O} \cdot \text{SiO}_2$	5,3	20	1,88	28	1,145	3
	3,56	20	1,83	9	1,114	9
	3,04	100	1,75	40	1,032	2
	2,57	48	1,53	5	0,990	2
	2,40	64	1,445	9	0,932	2
	1,98	9	1,418	40	-	-
$\text{Na}_2\text{O} \cdot \text{Al}_2\text{O}_3 \cdot 6\text{SiO}_2$	6,4	8	2,18	6	1,460	16
	4,05	35	2,13	12	1,425	16
	3,80	16	1,99	8	1,380	8
	3,66	25	1,90	12	1,350	14
	3,20	100	1,83	18	1,270	14
	2,96	25	1,80	8	1,223	12
	2,65	2	1,73	8	1,200	4
	2,56	12	1,67	6	1,169	8
	2,44	14	1,58	12	1,137	6
	2,32	12	1,50	8	1,050	4

$\text{Na}_2\text{O}\cdot\text{CaO}\cdot\text{SiO}_2$	4,348 2,667 2,416 2,166 1,877	10 100 5 5 50	1,523 1,443 1,321 1,264 1,183	60 5 20 5 20	1,141 1,083 0,996 - -	5 5 10 - -
$\text{Na}_2\text{O}\cdot 2\text{CaO}\cdot 3\text{SiO}_2$	4,421 3,772 3,360 3,026 2,644 2,508 2,363 2,249 2,153	10 30 50 5 100 5 10 5 5	1,868 1,799 1,741 1,693 1,639 1,545 1,517 1,387 1,328	60 10 10 5 10 20 30 30 20	1,298 1,209 1,178 1,129 1,106 1,070 1,012 0,986 -	20 5 10 20 5 5 10 20 -
$2\text{Na}_2\text{O}\cdot\text{CaO}\cdot 3\text{SiO}_2$	4,089 3,781 3,270 2,668 2,374 2,175 1,888	20 20 5 100 10 10 60	1,803 1,722 1,622 1,540 1,436 1,387 1,335	10 5 20 50 20 10 40	1,218 1,191 1,143 1,112 1,007 - -	10 30 10 10 20 - -
Карнегиит - $\alpha$ -форма $\text{Na}_2\text{O}\cdot\text{Al}_2\text{O}_3\cdot 2\text{SiO}_2$	4,29 2,61 2,23 2,13 1,845 1,690	10 9 1 4 2 5	1,645 1,500 1,415 1,300 1,243 1,163	1 7 3 4 3 3	1,061 1,024 0,980 0,957 - -	1 1 2 1 - -
Калий - K	3,75 2,65 2,15	100 16 30	1,87 1,68 1,52	4 4 2	1,418 - -	2 - -
KCl	3,13 2,21 1,81	100 60 14	1,57 1,401 1,280	6 12 6	1,108 1,047 0,991	2 2 2
KNO <sub>2</sub>	4,00 3,31 2,50 2,20	2 100 18 15	2,01 1,85 1,71 1,67	8 1 1 1	1,65 1,61 1,56 -	1 1 1 -
KNO <sub>3</sub>	4,66 3,77 3,03 2,77	12 100 36 8	2,66 2,19 2,06 1,96	28 24 8 12	1,76 1,54 1,365 -	4 4 4 -

$K_3PO_4$	5,5 3,65 3,44 3,15 3,03 2,75 2,56 2,45 2,39	30 30 4 30 100 60 50 20 40	2,23 2,13 2,07 2,03 1,93 1,89 1,82 1,77 1,73	16 4 4 2 12 2 20 4 2	1,68 1,64 1,58 1,52 1,462 1,435 1,407 1,370 -	2 18 2 2 2 2 6 4 -
$K_2SO_4$	5,0 4,19 3,73 3,38 3,00 2,88 2,66 2,50 2,41 2,21	2 24 8 5 80 100 2 12 20 24	2,08 2,00 1,94 1,88 1,85 1,76 1,68 1,62 1,57 1,440	40 5 4 10 4 3 10 4 6 10	1,419 1,392 1,350 1,302 1,285 1,245 1,212 1,175 1,141 1,115	3 3 6 5 2 4 1 5 4 1
$K_2CO_3$	7,0 5,5 3,39 2,97 2,80 2,61 2,37	2 2 6 16 100 32 16	2,31 2,18 2,09 1,99 1,85 1,77 1,70	8 6 14 10 8 3 3	1,67 1,61 1,55 1,50 1,410 1,345 1,307	2 3 2 2 5 2 2
$K_2SiF_6$	4,71 2,88 2,45 2,35 2,03 1,86 1,82 1,66	63 50 1 100 75 1 1 20	1,56 1,438 1,365 1,285 1,225 1,175 1,134 1,087	25 30 8 20 7 6 6 10	1,056 1,014 0,996 0,984 0,957 0,936 0,908 -	1 1 1 1 2 1 2 -
$K_2B_4O_7 \cdot 5H_2O$	5,60 3,52 3,37 2,76 2,52	100 100 100 76 20	2,38 2,29 2,18 2,11 1,99	10 10 40 10 10	1,87 1,60 1,55 1,460 -	10 10 10 10 -
$K_2Cr_2O_7$	4,83 3,68 3,45 3,29 3,02 2,85 2,75 2,69 2,62	10 50 50 100 75 63 5 5 20	2,53 2,45 2,38 2,29 2,24 2,18 2,14 2,04 1,90	15 5 5 5 5 5 5 25 5	1,86 1,77 1,70 1,66 1,58 1,450 1,400 -	5 10 5 5 5 5 5 -

$K_2O \cdot 12Al_2O_3$	4,45 3,48 3,13 2,80 2,69 2,505 2,405 2,24	19 3 3 41 50 59 31 25	2,135 2,07 2,03 1,973 1,935 1,835 1,744 1,653	41 3 41 13 13 6 9 3	1,596 1,563 1,482 1,416 1,397 1,346 1,262 1,240	50 41 6 25 100 31 3 13
$K_2O \cdot Fe_2O_3$	4,58 2,80 1,98	16 100 13	1,62 1,405 1,260	32 8 6	1,150 1,062 0,940	2 3 2
$K_2TiO_3$	7,0 3,46 3,32 3,01 2,76	17 7 3 20 100	2,32 2,18 1,87 1,78 1,71	23 23 3 7 3	1,64 1,60 1,52 1,480 1,392	3 3 3 3 3
$K_2UO_4$	7,5 3,55	100 50	3,20 2,57 -	75 25	2,02 1,96	25 25
$K_2O \cdot Al_2O_3 \cdot 6SiO_2$	4,24 4,01 3,85 3,69 3,49 3,35 3,25 3,03 2,94 2,88	38 20 20 20 15 25 100 13 25 8	2,76 2,61 2,52 2,43 2,33 2,16 2,10 2,02 1,98 1,92	10 15 13 13 8 25 3 3 10 10	1,85 1,80 1,73 1,65 1,61 1,57 1,54 1,51 1,468 -	3 25 5 3 3 3 3 5 10 -
$K_2O \cdot CaO \cdot SiO_2$	4,62 2,831 2,415 2,312 2,002 1,837	40 100 .. 40 30 60 20	1,791 1,635 1,541 1,416 1,354 1,266	10 60 30 40 20 40	1,099 1,070 1,043 1,001 0,9437 0,9247	30 60 30 10 40 40
Мусковит - $K_2O \cdot 3Al_2O_3 \cdot 6SiO_2 \cdot 2H_2O$	10,03 5,02 4,52 3,89 2,505 3,342 3,204	10 5 7 3 5 9 4	2,125 2,056 1,987 1,944 1,868 1,728 1,647	7 1 8 1 2 1 8	1,352 1,335 1,320 1,297 1,272 1,246 1,221	8 5 1 8 4 8 4

	3,095	6	1,596	3	1,206	2
	2,862	7	1,555	4	1,193	2
	2,783	5	1,519	4	1,159	3
	2,568	10	1,498	10	1,130	2
	2,471	2	1,472	1	1,115	6
	2,374	7	1,448	2	1,104	2
	2,250	2	1,427	3	1,045	5
	2,186	3	1,410	1	-	-
Mис-Cu	2,08	100	1,277	33	1,043	9
	1,81	53	1,089	33	0,905	3
Cu <sub>2</sub> O	3,00	3	1,283	31	0,953	3
	2,45	100	1,228	5	0,869	3
	2,12	31	1,065	3	0,819	3
	1,51	44	0,977	5	-	-
CuO	2,51	100	1,50	15	1,159	5
	2,31	100	1,408	20	1,086	3
	1,85	20	1,370	20	1,007	3
	1,70	8	1,298	5	0,978	3
	1,57	8	1,258	10	0,885	3
CuF <sub>2</sub>	3,127	100	1,3539	3	0,9574	1
	2,708	6	1,2425	5	0,9156	2
	2,150	49	1,1055	5	0,8564	1
	1,633	28	1,0424	3	-	-
Cu SO <sub>4</sub>	4,20	53	1,96	12	1,375	11
	3,92	3	1,77	33	1,305	3
	3,55	53	1,67	9	1,290	1
	2,62	100	1,58	13	1,243	1
	2,41	40	1,55	8	1,210	3
	2,31	9	1,461	1	1,182	1
	2,08	5	1,430	27	1,150	3
	2,01	3	1,400	3	1,096	4
	-	-	-	-	1,076	4
CuO·Al <sub>2</sub> O <sub>3</sub>	2,85	33	1,85	7	1,423	67
	2,43	100	1,64	7	1,230	7
	2,01	27	1,55	20	-	-
CuO·B <sub>2</sub> O <sub>3</sub>	6,4	44	2,66	33	1,73	33
	5,3	78	2,51	100	1,58	11
	3,88	100	2,37	11	1,55	11
	3,17	33	2,17	11	1,53	11
	2,91	22	1,95	11	1,425	11
CuO·Co <sub>2</sub> O <sub>3</sub>	4,65	15	1,64	10	1,160	3
	2,85	25	1,55	31	1,076	3

	2,43	100	1,421	38	1,047	8
	2,31	20	1,361	3	-	-
	2,11	5	1,227	8	-	-
Кумуш - Ag	2,36	100	1,179	5	0,834	3
	2,04	53	1,022	1	0,786	4
	1,445	27	0,938	8	0,691	3
	1,232	53	0,915	5	-	-
Ag <sub>2</sub> O	3,35	1	1,422	16	1,054	2
	2,72	100	1,360	3	0,960	1
	2,36	40	1,179	1	0,907	1
	1,67	24	1,082	2	-	-
Ag <sub>2</sub> CO <sub>3</sub>	4,77	20	2,27	30	1,53	3
	4,31	20	2,20	1	1,50	2
	3,05	4	2,15	8	1,462	1
	2,73	50	2,03	8	1,440	5
	2,65	100	1,92	8	1,398	4
	2,55	2	1,86	4	1,370	13
	2,48	1	1,77	10	1,328	4
	2,42	15	1,67	8	1,300	2
	2,37	3	1,63	10	1,222	3
	2,32	4	1,59	7	1,133	3
AgCl	3,203	49	1,273	3	0,9248	3
	2,774	100	1,241	11	0,8774	3
	1,962	50	1,1326	7	0,8462	2
	1,673	15	1,0680	3	0,8366	3
	1,602	15	0,9810	2	-	-
	1,387	6	0,9380	2	-	-
AgNO <sub>3</sub>	4,51	50	2,24	25	1,66	15
	4,08	50	2,15	15	1,57	5
	3,66	38	2,11	10	1,490	10
	3,00	100	2,08	50	1,420	8
	2,80	38	1,96	18	1,382	5
	2,73	44	1,90	10	1,340	13
	2,53	38	1,83	25	1,310	3
	2,29	31	1,70	15	-	-
Ag <sub>2</sub> O·MoO <sub>3</sub>	5,3	6	1,64	43	1,097	1
	3,28	17	1,475	1	1,075	9
	2,80	100	1,422	11	1,043	1
	2,68	17	1,406	11	0,978	2
	2,32	14	1,345	1	0,951	5
	2,12	5	1,245	5	0,915	1
	1,89	6	1,211	17	-	-
	1,78	43	1,164	3	-	-
Олтин -Au	2,35	100	1,227	40	0,935	9
	2,03	53	1,173	9	0,910	7
	1,439	33	1,019	3	0,832	4
	-	-	-	-	0,784	4

AuCN	5,1 2,94 2,54 1,92 1,69	60 100 100 40 16	1,61 1,467 1,410 1,271 1,200	12 20 16 4 4	1,165 1,110 1,086 1,018 0,961	4 4 4 4 4
Au <sub>3</sub> In <sub>2</sub>	3,930 3,229 2,811 2,285 2,262 1,963	Ӯ. Кз. Кз. Ж.ку. Ж.ку. Ӯ.	1,757 1,609 1,491 1,433 1,406 1,326	Ж.кз. Ж.ку. Кз. Кз. Ӯ. Кз.	1,310 1,304 1,195 1,142 1,129 -	Ӯ. Ӯ. Kу. Кз. Кз. -
Au <sub>34</sub> Sn <sub>66</sub>	4,525 3,766 3,530 3,450 3,398 3,097 3,035 3,015 2,937 2,760 2,744	Ӯ. Ӯ. Ж.кз. Ӯ. Ӯ. Ж.ку. Ӯ. Ӯ. Kу. Ж.ку. Кз.	2,712 2,619 2,533 2,466 2,453 2,440 2,414 2,273 2,241 2,179 2,149	Kу. Ӯ. Кз. Кз. Ж.кз. Ж.кз. Ку. Ж.кз. Ку. Ӯ. Kу.	2,139 2,135 2,130 2,083 2,074 2,056 1,963 1,955 1,939 1,916 1,908	Ж.кз. Ӯ. Kу. Ӯ. Ж.ку. Kу. Ж.кз. Ж.кз. Ӯ. Ӯ. Ӯ.
AuSb <sub>2</sub>	3,82 3,32 2,97 2,71 2,34 1,999 1,914 1,836 1,773 1,521 1,482 1,445 1,414	1 5 4 3 4 10 1 1 2 1 1 1 1	1,353 1,277 1,231 1,211 1,175 1,124 1,107 1,078 1,048 1,011 1,001 0,989 0,979	1 3 1 1 2 1 1 1 1 2 1 1 1	0,932 0,921 0,912 0,904 0,888 0,865 0,851 0,844 0,831 0,806 0,800 0,794 0,783	1 1 1 1 2 5 1 1 2 2 2 1 4
Бериллий - Be	1,97 1,79 1,73	20 14 100	1,328 1,137 1,022	12 12 12	0,983 0,963 0,955	2 8 6
BeO	2,34 2,19 2,06 1,59 1,350 1,239	80 50 100 24 32 32	1,170 1,150 1,130 1,032 0,915 0,884	4 20 4 3 8 2	0,870 0,822 0,780 0,758 - -	2 8 3 8 - -

<b>Be<sub>2</sub>C</b>	2,502 2,171 1,535	98 1 100	1,309 1,0860 0,9959	16 15 7	0,9709 0,8863 0,8356	2 41 11
<b>BeS</b>	2,807 2,432 1,718 1,466 1,404	100 31 39 32 10	1,216 1,115 1,087 0,9924 0,9357	5 13 10 13 12	0,8595 0,8219 0,8104 - -	7 18 13 - -
<b>BeSO<sub>4</sub>·4H<sub>2</sub>O</b>	5,7 3,90 3,40 3,20 3,06 2,84 2,52 2,42	13 100 13 20 1 3 53 1	2,30 2,23 2,17 2,00 1,94 1,88 1,84 1,78	1 1 17 4 3 13 7 5	1,70 1,60 1,490 1,458 1,414 1,330 - -	3 5 4 8 4 4 - -
<b>BeO·Al<sub>2</sub>O<sub>3</sub></b>	4,47 4,03 3,60 3,24 2,85 2,57 2,33 2,26 2,08 1,98 1,88	4 6 5 8 4 8 8 7 10 2 2	1,80 1,65 1,61 1,555 1,513 1,462 1,362 1,338 1,296 1,257 1,215	6 4 10 2 5 5 8 4 7 7 4	1,190 1,160 1,140 1,105 1,078 1,061 1,056 1,040 1,021 1,003 -	4 4 5 5 6 6 2 7 2 6 -
<b>Магний - Mg</b>	2,77 2,60 2,45 1,90 1,60 1,471 1,378	30 25 100 20 20 30 18	1,341 1,303 1,225 1,180 1,084 1,030 1,010	13 3 3 3 4 7 3	0,974 0,925 0,898 0,870 0,763 0,740 -	4 1 3 1 1 1 -
<b>MgO</b>	2,42 2,10 1,485 1,266	6 100 75 6	1,213 1,050 0,963 0,940	15 4 1 10	0,937 0,860 0,854 -	5 4 2 -

Магнезит - $MgCO_3$	3,53 2,737 2,500 2,316 2,101 1,935 1,766 1,697 1,503 1,485	2 10 5 4 9 6 2 10 3 5	1,404 1,367 1,352 1,336 1,249 1,237 1,200 1,189 1,156 1,126	5 1 6 7 3 2 2 5 1 1	1,100 1,065 1,049 1,012 0,9671 0,9554 0,9496 0,9443 0,9171 0,9120	3 8 5 2 7 7 1 5 6 10
$MgSO_4$	4,18 3,55 3,35 3,18 2,64 2,45 2,35	4 100 2 2 30 20 4	2,30 2,15 2,02 1,97 1,81 1,77 1,68	25 4 4 8 4 12 6	1,55 1,51 1,454 1,409 1,382 1,275 -	4 2 6 2 2 6 -
Брусит - $Mg(OH)_2$	4,77 2,725 2,365 1,794 1,573 1,494 1,373 1,363	Ж.кз. Ж.кз. Ж.ж.кз. Ку. Ү. Ү. Ү. Ж.ж.кз.	1,310 1,192 1,183 1,118 1,092 1,034 1,030 1,0067	Ү.кз. Ж.ж.кз. Кз. Ж.ж.кз. Ж.ж.кз. Ж.кз. Ж.ж.кз. -	0,9543 0,9503 0,9455 0,9085 0,9001 0,8974 0,8923 0,8156 0,7865	Ж.ж.кз. Ж.кз. Кз. Ж.ж.кз. Ж.ж.кз. Ж.ж.кз. Ж.ж.кз. Ж.ж.кз.
$MgO \cdot SiO_2$	6,33 4,41 3,303 3,167 2,941 2,876 2,825	1 14 35 100 44 87 23	2,706 2,534 2,494 2,471 2,358 2,280 2,252	26 43 51 31 7 5 7	2,232 2,114 2,096 2,058 2,019 1,984 1,958	7 24 21 13 10 13 24
$2MgO \cdot SiO_2$	5,1 3,89 3,72 3,49 2,99 2,77 2,51	1 40 5 20 13 40 32	2,45 2,26 2,15 2,02 1,95 1,88 1,81	40 40 11 2 2 3 3	1,74 1,67 1,62 1,57 1,490 1,395 1,350	100 10 11 8 32 20 28
$MgO \cdot Al_2O_3$	4,67 2,858 2,436 2,333 2,021 1,649	4 40 100 3 58 10	1,366 1,278 1,232 1,218 1,1662 1,1312	3 2 9 1 7 2	1,0100 0,9522 0,9330 0,9034 0,8869 0,8613	5 3 10 6 1 1

	1,555 1,429	45 58	1,0796 1,0518	4 12	0,8469 0,8247	10 20
MgO·B <sub>2</sub> O <sub>3</sub>	7,7 6,1 5,3 4,29 3,57 3,18 3,07 2,82	12 16 8 24 12 12 80 100	2,18 2,07 1,99 1,99 1,86 1,77 1,71 1,63	24 32 40 8 12 8 8 12	1,50 1,445 1,412 1,375 1,262 1,151 - -	8 8 8 8 16 8 - -
MgCa(CO <sub>3</sub> ) <sub>2</sub>	3,71 2,89 2,68 2,55 2,40 2,19 2,06 2,02	2 100 2 2 13 40 2 20	1,85 1,80 1,57 1,55 1,50 1,468 1,418 1,389	2 40 2 10 1 6 1 8	1,337 1,300 1,270 1,237 1,202 1,172 - -	2 1 1 2 1 1 - -
MgO·Fe <sub>2</sub> O <sub>3</sub>	4,82 2,96 2,52 2,09 1,71 1,61 1,48 1,32	50 50 100 50 30 70 90 10	1,28 1,12 1,09 1,04 0,983 0,964 0,933 0,891	20 20 40 20 10 3 10 5	0,876 0,853 0,820 0,808 0,762 0,753 - -	20 40 10 10 5 5 - -
2 MgO·P <sub>2</sub> O <sub>5</sub>	4,14 3,85 3,45 3,00 2,51 2,40 2,30 2,15	10 4 5 100 8 5 1 2	2,09 1,85 1,69 1,62 1,57 1,51 1,465 1,380	15 10 8 7 10 1 7 6	1,322 1,250 1,206 1,155 1,131 1,073 1,044 1,002	7 5 2 1 1 1 3 2
Серпентин- 3MgO·2SiO <sub>2</sub> 2H <sub>2</sub> O	7,38 4,619 3,661 2,625 2,487 2,141 1,966	10 4 10 4 10 8 4	1,789 1,738 1,655 1,530 1,500 1,411 -	6 2 2 10 8 6 -	1,304 1,277 1,164 1,100 1,074 1,057 -	8 6 4 2 2 2 -

Вермикулит $(Mg,Fe)_3[Al, Si]_4O_{10} \cdot (OH)_2 \cdot 4H_2O$	11,38	Ku.	2,66	Ku.	1,40	Ж.кз.
	8,00	Ж.кз.	2,43	Ў.ку.	1,39	Ж.кз.
	5,91	Ж.кз.	2,19	Ў.	1,36	Ж.кз.
	4,88	Кз.	2,03	Ў.	1,34	Ku.
	4,54	Ў.	1,75	Кз.	1,31	Ў.
	3,45	Ku.	1,70	Ku.	1,28	Ў.
	3,22	Ж.кз.	1,53	Ж.ку.	-	-
	3,05	Ж.кз.	1,52	Ж.кз.	-	-
	-	-	-	-	-	-
	-	-	-	-	-	-
Тальк - $3MgO \cdot 4SiO_2 \cdot H_2O$	11,50	Ж.кз.	2,91	Ў.	1,71	Ku.
	8,96	Ж.кз.	2,80	Ў.	1,59	Ў.ку.
	6,68	Ж.кз.	2,66	Ў.	1,55	Ku.
	6,09	Ж.кз.	2,54	Ku.	1,50	Кз.
	5,18	Ж.кз.	2,38	Кз.	1,42	Ж.кз.
	4,50	Ў.	2,25	Ў.	1,35	Ў.
	3,44	Ў.	2,16	Ў.	1,33	Ku.
	3,30	Ж.кз.	1,90	Ku.	1,31	Ku.
	3,18	Ж.кз.	1,75	Кз.	1,29	Кз.
	-	-	-	-	1,25	Кз.
Нонтронит - $mMg_3(Si_4O_{10}) \cdot (OH)_2 \cdot p[Fe, Al]_2(Si_4O_{10}) \cdot (OH)_2 \cdot nH_2O$	7,11	Ж.кз.	2,62	Ku.	1,53	Ж.кз.
	6,38	Ж.кз.	2,32	Ж.кз.	1,49	Ж.кз.
	5,98	Ж.кз.	2,07	Ж.кз.	1,32	Ku.
	4,52	Ku.	2,00	Ж.кз.	1,26	Ў.
	3,54	Ж.кз.	1,72	Ў.	-	-
	3,28	Ж.кз.	1,69	Ku.	-	-
	-	-	-	-	-	-
	-	-	-	-	-	-
	-	-	-	-	-	-
	-	-	-	-	-	-
Монотермит $0,2RO \cdot Al_2O_3 \cdot 3SiO_2 \cdot 1,5H_2O (+0,5H_2O)$	9,60	Ж.кз.	3,15	Ж.кз.	1,53	Ў.ку.
	7,80	Ж.кз.	2,53	Ku.	1,48	Ku.
	6,70	Кз.	2,43	Ж.кз.	1,40	Ж.кз.
	5,60	Кз.	2,32	Ў.	1,36	Ku.
	4,35	Ў.	2,06	Ў.	1,33	Ж.кз.
	4,17	Ў.кз.	1,97	Ў.	1,29	Ў.
	3,78	Ж.кз.	1,79	Ў.ку.	1,19	Ў.
	3,43	Ў.	1,71	Ж.кз.	1,15	Ў.
	3,26	Ж.кз.	1,64	Ku.	-	-
	-	-	-	-	-	-
Падигорскит $MgAl_2[Si_4O_{11}] \cdot (OH)_2 \cdot 4H_2O \cdot nH_2O$	10,40	Ў.	3,80	Ж.кз.	1,69	Ku.
	7,70	Кз.	3,44	Кз.	1,58	Ў.кз.
	6,12	Кз.	3,23	Ў.ку.	1,52	Ku.
	5,50	Кз.	2,62	Ж.ку.	1,31	Ku.
	4,46	Ў.кз.	2,20	Ў.ку.	1,26	Ў.
	4,10	Ж.кз.	1,75	Ў.	-	-
	-	-	-	-	-	-
	-	-	-	-	-	-
	-	-	-	-	-	-
	-	-	-	-	-	-
Сепиолит - $Mg_3[Si_4O_{11}] \cdot nH_2O$	9,87	Ж.кз.	3,76	Ў.	2,25	Ж.кз.
	9,04	Кз.	3,31	Ku.	2,20	Ў.
	7,90	Ж.кз.	3,10	Кз.	1,80	Ж.кз.
	6,50	Ж.кз.	2,62	Ж.кз.	1,52	Ж.кз.
	5,62	Ж.кз.	2,58	Ж.ку.	1,30	Кз.
	4,44	Ў.	2,30	Ж.кз.	1,27	Кз.
	4,12	Ў.	-	-	-	-
	-	-	-	-	-	-
	-	-	-	-	-	-
	-	-	-	-	-	-

Антофиллит -	9,4 9,1 7MgO·8SiO <sub>2</sub> · H <sub>2</sub> O	8 9 10 5,05 4,51 4,13 3,36 3,23 3,12 2,84	2,75 2,52 2,350 2,252 2,026 1,982 1,951 1,838 1,768 1,610	8 4 2 2 1 3 1 6 3 8	1,542 1,498 1,443 1,319 1,221 1,156 1,107 1,100 1,028 0,926	7 3 3 2 2 2 2 2 6 6
Mg <sub>4</sub> Nd <sub>6</sub> Si <sub>4</sub> P <sub>2</sub> O <sub>26</sub>	3,36 3,02 2,76 2,72 2,67	3 1 10 3 1	2,48 2,02 1,90 1,85 1,80	1 1 3 1 5	1,77 1,74 1,72 1,68 -	3 2 3 3 -
Хлорит - Mg <sub>5</sub> Al <sub>3</sub> AlSi <sub>3</sub> O <sub>10</sub> ·(OH) <sub>8</sub>	13,26 9,48 7,85 7,50 5,28 4,66 4,17 3,82 3,52 3,18 2,90 2,70	Ku. Ку.кз. Ӧ. Ж.ку. Ӧ. Ж.к. Ж.кз. Ӧ. Ж.ку. Кз. Ку. Ку.кз.	2,56 2,42 2,28 2,23 2,12 2,10 2,05 1,90 1,84 1,75 1,66 1,59	Ӧ. Ӧ.кз. Ӧ.ку. Кз. Ж.кз. Ӧ. Ку. Ӧ. Ӧ. Ӧ. Ӧ. Ж.ку.	1,56 1,50 1,48 1,43 1,41 1,36 1,33 1,30 2,25 1,20 1,15 -	Ж.ку. Ӧ.кз. Ӧ.ку. Кз. Ӧ. Кз. Ӧ.кз. Ку. Ж.кз. Ку. Ӧ.ку. -
Бишовит, бишофит - MgCl <sub>2</sub> ·6H <sub>2</sub> O	5,8 4,10 3,57 2,98 2,88 2,72 2,65 -	15 100 15 20 50 44 75 -	2,55 2,46 2,31 2,23 2,15 2,05 1,84 -	3 3 15 25 8 18 31 -	1,78 1,72 1,63 1,59 1,480 1,420 1,390 1,365	8 10 3 3 10 3 10 3
Серпентин - Mg <sub>6</sub> Si <sub>4</sub> O <sub>10</sub> · (OH) <sub>8</sub>	7,51 5,20 4,59 3,94 3,73 3,105 2,750 2,635 2,580 2,490 2,420	10 1 5 1 10 3 1 1 1 9 1	2,290 2,205 2,140 1,814 1,780 1,725 1,686 1,657 1,550 1,525 1,497	1 1 5 1 3 1 1 1 1 5 5	1,450 1,407 1,322 1,300 1,268 1,238 1,208 1,159 1,099 1,068 1,051	1 1 1 3 3 1 1 2 1 2 2

Кальций - Ca	3,21 2,80 1,97	100 30 20	1,68 1,61 1,28	20 10 5	1,246 1,238 -	3 5 -
CaO	2,76 2,39 1,69 1,445 1,382 1,200	40 100 63 20 20 10	1,100 1,071 0,979 0,922 0,847 0,810	7 25 13 3 3 3	0,800 0,759 0,731 0,723 0,671 0,666	6 2 1 2 1 1
CaCl <sub>2</sub>	4,49 3,46 3,05 2,85 2,33 2,24	100 16 80 32 60 16	2,09 1,90 1,79 1,68 1,56 1,51	16 36 8 12 4 8	1,490 1,330 1,243 1,210 1,165 -	4 12 12 12 4 -
CaF <sub>2</sub>	3,16 1,93 1,65 1,370 1,256 -	67 100 50 23 23 -	1,117 1,050 0,968 0,925 0,866 -	30 10 5 7 5 -	0,835 0,789 0,767 0,731 0,731 0,644	2 1 2 5 3 1
Ca(OH) <sub>2</sub>	4,93 3,11 2,63 1,93 1,79 1,69	50 25 100 50 40 30	1,55 1,485 1,450 1,315 1,178 1,145	2 20 20 16 2 15	1,063 1,035 1,012 0,955 0,850 -	10 5 8 5 2 -
Кальцит - CaCO <sub>3</sub>	3,86 3,035 2,845 2,495 2,285	12 100 3 14 18	2,095 1,927 1,913 1,875 1,626	18 5 17 17 4	1,604 1,587 1,525 1,518 1,510	8 2 5 4 3
Арагонит- CaCO <sub>3</sub>	3,40 3,29 3,05 2,88 2,70	100 48 2 2 64	2,49 2,36 2,19 2,10 1,98	48 48 11 24 100	1,88 1,82 1,74 1,63 1,56	64 32 40 2 6
Ватерит- CaCO <sub>3</sub>	4,26 3,58 3,29 2,73 2,31 -	13 63 75 100 8 -	2,06 1,866 1,827 1,650 1,550 -	63 15 63 31 8 -	1,480 1,367 1,318 1,289 1,145 1,112	8 8 10 13 8 5

CaO·Al <sub>2</sub> O <sub>3</sub>	5,6 4,69 4,41 4,05 3,88 3,71 3,50 3,30	3 13 2 5 1 7 1 3	3,20 2,97 2,85 2,75 2,69 2,60 2,52 -	4 100 7 1 1 1 42 -	2,41 2,33 2,27 2,20 2,13 1,92 1,53 -	27 7 3 10 5 20 20 -
3CaO·Al <sub>2</sub> O <sub>3</sub>	4,847 4,142 3,784 3,120 3,043 2,991 2,696 -	7 2 10 2 15 5,5 100 -	2,402 2,298 2,193 1,933 1,906 1,664 1,555 -	4 5,5 5 6 36,5 59 24 -	1,523 1,356 1,347 1,206 1,100 1,067 1,047 1,016	2,5 5 20 27 97 2 3,5 8
3CaO·5Al <sub>2</sub> O <sub>3</sub>	4,46 3,50 3,31 3,09 2,96 2,87 2,73 2,60 2,51	40 100 7 40 27 33 40 100 20	2,44 2,31 2,18 2,05 2,00 1,44 1,90 1,85 1,80	47 13 20 40 20 13 20 13 33	1,76 1,68 1,62 1,52 1,53 1,478 1,455 1,370 1,337	33 13 40 13 67 13 27 27 13
5CaO·3Al <sub>2</sub> O <sub>3</sub>	4,95 3,19 3,01 2,68 2,44 2,19 1,94 -	67 20 23 100 50 50 50 -	1,73 1,66 1,59 1,52 1,478 1,395 1,344 -	13 42 50 13 10 27 10 -	1,309 1,261 1,236 1,209 1,174 1,141 1,112 1,091	17 7 7 10 10 7 13 3
α - CaO·SiO <sub>2</sub>	5,7 3,42 3,23 2,80 2,45 1,98	5 15 100 75 10 63	1,83 1,69 1,61 1,54 1,476 1,400	8 3 8 3 8 5	1,293 1,250 1,180 1,140 1,110 1,040	3 8 3 3 3 3

$\alpha$ -2CaO·SiO <sub>2</sub>	5,6 4,32 4,05 3,80 3,38 3,01 2,89	8 24 6 24 9 48 9	2,74 2,60 2,51 2,44 2,32 2,24 2,18	100 6 9 6 6 5 6	2,02 1,90 1,80 1,75 1,68 1,63 1,53	6 48 32 20 20 28 8
$\beta$ -2CaO·SiO <sub>2</sub>	2,77 2,62 2,43 2,28 2,19 2,03	100 40 16 12 50 16	1,98 1,90 1,80 1,70 1,62 1,52	32 16 12 8 16 12	1,485 1,370 1,290 1,250 1,180 1,125	12 8 4 4 4 4
3CaO·SiO <sub>2</sub>	3,02 3,75 2,61 2,30 2,18 1,48	44 100 75 8 50 5	1,92 1,81 1,76 1,63 1,54 1,480	10 3 38 31 10 31	1,441 1,380 1,195 1,160 1,130 1,094	20 18 8 3 3 5
Фторапатит- 10CaO· 3P <sub>2</sub> O <sub>5</sub> · F <sub>2</sub>	8,12 5,25 4,684 4,055 3,872 3,492 3,442 3,167	8 4 1 8 8 1 40 14	3,067 2,800 *2,772 2,702 2,624 2,517 2,289 2,250	18 100 55 60 30 6 8 20	2,218 2,140 2,128 2,061 2,028 1,997 1,937 1,884	4 6 4 6 2 4 25 14
Перовскит — CaO·TiO <sub>2</sub>	3,81 2,69 2,57 2,42 2,29 2,20 2,11	3 10 1 1 3 3 1	2,03 1,903 1,846 1,704 1,665 1,552 -	1 8 2 3 2 8 -	1,345 1,203 1,136 1,100 1,017 0,897 -	6 5 2 4 7 6 -
CaY <sub>2</sub> O <sub>4</sub>	4,96 3,55 3,13 2,94 2,89 2,84	15 14 14 13 78 72	2,82 2,75 2,47 2,30 2,28 2,14	100 12 20 15 11 12	2,01 1,778 1,722 1,664 1,653 1,578	45 18 32 35 16 11
CaH <sub>2</sub> O <sub>4</sub>	5,04 4,96 3,77 3,55 3,13 2,89 2,84	8 25 7 10 11 100 75	2,82 2,75 2,47 2,30 2,15 2,04 2,01	66 10 21 16 11 8 37	1,788 1,772 1,664 1,653 1,639 1,580 -	14 18 19 21 15 8 -

$\text{CaYb}_2\text{O}_4$	4,983 4,870 2,901 2,833 2,763 2,742	53 44 68 100 72 38	2,492 1,992 1,963 1,661 1,647 1,625	15 34 24 24 19 24	1,614 1,431 1,416 1,252 1,173 1,093	18 13 13 8 6 3
$\text{Ca}_2\text{Yb}_2\text{O}_5$	6,916 5,505 3,534 3,457 3,048 2,926 2,894 2,849 2,755 2,585 2,469 2,436 2,402	17 15 4 5 27 100 12 19 35 20 9 5 25	2,299 2,155 2,124 2,071 1,854 1,827 1,809 1,764 1,726 1,696 1,668 1,630 1,620	26 24 10 4 7 4 4 6 12 14 15 10 18	1,613 1,534 1,462 1,424 1,409 1,402 1,376 1,234 1,165 1,150 1,128 1,126 -	7 7 21 12 4 4 5 2 5 5 3 3 -
$\text{Ca}_3\text{Yb}_2\text{O}_6$	7,900 5,488 2,372 3,948 3,391 2,921 2,883 2,761	5 5 5 5 5 21 100 31	2,488 2,420 2,398 2,345 2,298 2,262 2,176 2,154	13 8 12 12 5 8 4 7	1,690 1,635 1,617 1,442 1,423 1,407 1,376 1,149	20 7 13 4 9 4 4 3
$\text{CaY}_4\text{O}_7$	3,29 3,13 3,06 2,94 2,91 2,89 2,82 2,79 2,75	27 75 19 87 59 33 100 49 85	2,66 2,47 2,31 2,24 2,17 2,13 1,866 1,781 1,722	6 11 12 22 19 37 42 41 15	1,716 1,678 1,653 1,642 1,600 1,566 1,554 - -	14 47 24 14 35 9 19 - -
$\text{CaCd}_4\text{O}_7$	3,192 2,986 2,868 2,840 2,792	59 100 82 85 68	2,270 2,160 1,899 1,705 1,680	18 59 47 50 26	1,674 1,630 1,593 1,579 1,549	24 24 18 15 26
$\text{CaHo}_4\text{O}_7$	3,29 3,13 2,94 2,92 2,89 2,82 2,79 2,75	24 100 85 51 29 71 88 90	2,24 2,22 2,17 2,14 2,13 2,01 1,866 1,781	24 12 28 14 54 25 41 35	1,722 1,678 1,653 1,600 1,580 1,568 1,551 -	20 47 28 39 8 20 19 -

$\text{CaYb}_4\text{O}_7$	5,81	4	2,747	59	1,693	7
	5,02	4	2,702	71	1,657	22
	3,72	4	2,274	5	1,637	9
	3,24	18	2,211	11	1,631	11
	3,084	54	2,138	13	1,579	12
	2,906	100	2,098	33	1,503	13
	2,880	42	1,840	30	1,500	16
	2,784	32	1,754	28	1,121	10
$\text{CaO} \cdot \text{Ca}_2\text{O}_3$ - I	6,288	3	2,623	7	1,966	2
	4,511	3	2,589	4	1,947	2
	3,875	6	2,488	4	1,932	2
	3,675	2	2,195	2	1,710	2
	2,950	10	2,173	2	-	-
$\text{CaO} \cdot \text{Ca}_2\text{O}_3$ - II	5,327	7	3,006	4	2,493	2
	4,564	2	2,806	10	1,846	2
	2,155	2	2,661	3	1,561	2
	3,319	2	2,559	2	1,525	2
$\text{CaO} \cdot \text{WO}_3$	4,76	53	2,844	14	2,256	3
	3,10	100	2,622	23	2,0864	5
	3,072	31	2,326	19	-	-
$4\text{CaO} \cdot \text{Al}_2\text{O}_3 \cdot$ $\text{Fe}_2\text{O}_3$	2,78	33	1,93	47	1,326	7
	2,66	100	1,58	13	1,212	7
	2,05	27	1,53	7	-	-
$2\text{CaO} \cdot \text{Al}_2\text{O}_3 \cdot$ $\text{SiO}_2$	5,44	3	2,300	15	1,545	2
	5,04	7	2,291	15	1,515	17
	3,70	22	2,037	15	1,435	3
	3,44	2	1,921	7	1,424	1
	3,06	25	1,862	5	1,390	2
	2,841	100	1,852	5	1,376	7
	2,718	3	1,811	8	1,359	3
	2,554	7	1,752	37	1,279	2
	2,428	17	1,718	2	1,267	2
	2,407	26	1,633	4	1,252	4
	2,401	26	1,615	3	1,1241	30
	-	-	-	-	1,0080	15
$2\text{CaO} \cdot \text{MgO} \cdot$ $2\text{SiO}_2$	5,57	10	3,09	29	2,321	10
	4,25	12	2,881	100	2,285	6
	3,95	5	2,488	10	2,040	16
	3,72	14	2,430	6	1,961	5
	3,52	6	2,392	12	1,903	5
	-	-	-	-	1,848	8

Монтичеллит - $\text{CaO}\cdot\text{MgO}\cdot\text{SiO}_2$	5,56 4,19 3,854 3,637 3,188 2,935 2,666	15 35 10 40 15 35 100	2,586 2,543 2,401 2,355 2,209 1,916 1,818	40 30 24 7 5 15 30	1,777 1,751 1,721 1,704 1,687 1,600 -	10 7 15 5 5 15 -
Диопсид - $\text{CaO}\cdot\text{MgO}\cdot 2\text{SiO}_2$	2,231 2,992 2,291 2,894 2,566 2,524 2,518 2,301	30 100 30 40 25 65 65 16	2,215 2,198 2,156 2,133 2,108 2,042 2,014 2,006	14 14 12 18 10 20 14 10	1,968 1,835 1,754 1,673 1,658 1,624 1,617 -	8 10 14 6 6 35 35 -
Мервинит - $3\text{CaO}\cdot\text{MgO}\cdot 2\text{SiO}_2$	2,84 2,74 2,66 2,41 2,30 2,20 2,16	50 50 100 30 50 50 50	2,03 1,90 1,87 1,75 1,69 1,61 1,57	50 70 60 30 30 50 50	1,53 1,43 1,39 1,34 1,32 1,23 1,19	70 30 30 50 50 50 30
Сфен - $\text{CaO}\cdot\text{TiO}_2\cdot\text{SiO}_2$	4,87 3,57 3,20 2,98 2,85 2,59 2,26 2,09	2 5 10 9 5 10 7 2	2,05 1,932 1,801 1,734 1,693 1,630 1,553 1,488	6 2 2 5 6 7 6 7	1,410 1,343 1,302 1,274 1,225 1,131 1,106 1,074	9 5 5 5 2 5 5 2
$\text{CaLaAl}_3\text{O}_7$	5,11 4,49 3,75 3,48 3,11 2,889 2,868 2,583	8 3 22 10 25 100 5 18	2,473 2,441 2,338 2,329 2,233 2,079 1,892 1,842	20 10 10 10 10 30 10 10	1,835 1,784 1,545 1,500 1,404 1,400 0,9517 0,9164	10 30 25 7 7 7 50 25

CaNdAl <sub>3</sub> O <sub>7</sub>	5,11 3,73 3,47 3,09 2,868 2,550 2,455 2,434	14 16 7 18 100 22 11 8	2,419 2,312 2,134 2,057 1,938 1,881 1,876 1,829	7 9 6 27 8 9 7 5	1,767 1,723 1,530 1,492 1,385 0,9460 0,9092 -	31 8 18 7 12 50 25 -
CaSmAl <sub>3</sub> O <sub>7</sub>	3,71 3,43 3,07 2,850 2,635 2,539 2,439	25 10 20 100 5 7 12	2,403 2,302 2,044 1,935 1,821 1,761 1,714	6 10 27 10 12 35 5	1,525 1,486 1,382 1,274 0,9434 0,9059 -	20 5 15 10 50 25 -
Ca.YAl <sub>3</sub> O <sub>7</sub>	5,43 5,04 3,86 3,70 3,33 3,05 2,841 2,713 2,613 2,522 2,432	4 5 4 22 4 31 100 3 4 10 18	2,394 2,283 2,189 2,114 2,037 1,921 1,864 1,850 1,813 1,750 1,720	20 14 6 2 25 8 6 5 10 40 4	1,711 1,542 1,511 1,474 1,447 1,375 1,360 1,323 0,9379 0,8999 -	10 3 23 6 2 10 3 2 50 25 -
Ca <sub>6</sub> La <sub>4</sub> (SiO <sub>4</sub> ) <sub>6</sub>	4,22 4,06 3,66 3,29	11 10 20 26	3,19 2,94 2,88 2,35	18 100 40 13	2,19 2,03 - -	11 25 - -
Ca <sub>0,67</sub> La <sub>0,33</sub> Al <sub>0,33</sub> Si <sub>0,67</sub> O <sub>3</sub>	4,17 4,00 3,55 3,27	10 10 8 20	3,15 2,88 2,78 2,27	20 100 18 13	2,12 1,99 - -	10 17 - -
Ca <sub>0,67</sub> Nd <sub>0,33</sub> Al <sub>0,33</sub> Si <sub>0,67</sub> O <sub>3</sub>	4,10 3,93 3,51 3,22	16 16 8 20	3,12 2,83 2,75 2,27	50 100 32 13	2,09 1,97 - -	6 24 - -
Ca <sub>0,67</sub> Sc <sub>0,33</sub> Al <sub>0,33</sub> Si <sub>0,67</sub> O <sub>3</sub>	3,37 3,04 2,84 2,73	16 70 10 100	2,60 2,49 2,39 1,99	14 25 10 12	1,69 1,63 - -	33 75 - -

Геролит – $2\text{CaO}\cdot 3\text{SiO}_2\cdot$ $2\text{H}_2\text{O}$	9,6 7,9 6,4 4,68 4,24 3,84 3,54 3,36 3,15	6 4 4 4 8 6 4 10 6	3,02 2,92 2,85 2,65 2,58 2,52 2,45 2,29 2,25	2 2 8 6 2 2 4 4 6	2,12 2,095 2,060 1,990 1,940 1,884 1,813 - -	4 4 2 2 2 8 3 - -
$3\text{CaO}\cdot \text{Ga}_2\text{O}_3$	10,589 8,043 7,748 6,207 6,046 5,271 4,964 4,409 3,579 3,443 3,378 3,217	2 1 1 1 1 6 2 2 1 4 1 4	3,110 2,983 2,959 2,827 2,626 2,523 2,493 2,402 2,269 2,195 1,964 1,882	5 10 8 1 4 4 4 1 3 1 2 1	1,837 1,826 1,791 1,684 1,635 1,579 1,553 1,487 1,451 1,389 1,359 1,268	1 1 2 1 2 1 1 1 1 3 1 2
$\text{CaO}\cdot 2\text{Ga}_2\text{O}_3$	7,481 6,784 4,738 4,568 3,837 3,703 3,545 3,168 2,955 2,860 2,831 2,709	1 1 3 9 1 3 10 8 2 3 3 4	2,666 2,601 2,471 2,428 2,387 2,328 2,120 2,060 1,960 1,837 1,806 1,733	6 4 5 2 4 1 3 1 1 1 1 3	1,676 1,650 1,624 1,586 1,560 1,480 1,422 1,392 1,371 1,284 - -	1 2 1 4 1 1 1 1 1 1 - -
Спуррит – $2(2\text{CaO}\cdot$ $\text{SiO}_2)\cdot$ $\text{CaCO}_3$	3,81 3,019	3 7	2,701 2,663	10 5	2,635 2,170	7 4
Апортит – $\text{CaO}\cdot \text{Al}_2\text{O}_3\cdot$ $2\text{SiO}_2$ (Ромбик)	5,94 4,83 4,29 4,20 4,17 4,11 3,75 3,21 3,13 2,97	3 9 5 10 85 70 50 100 3 35	2,415 2,383 2,363 2,327 2,296 2,241 2,152 2,115 2,087 2,056	1 8 15 13 4 13 3 7 40 15	1,855 1,849 1,773 1,732 1,685 1,672 1,621 1,598 1,578 1,558	3 8 7 2 10 15 3 8 6 6

	2,94 2,701 2,601 2,532	50 30 6 12	2,042 2,026 1,965 1,907	12 10 20 3	1,533 1,510 - -	8 3 - -
$\text{CaO} \cdot \text{Al}_2\text{O}_3 \cdot 2\text{SiO}_2$ (Гексагонал)	7,37	85	2,414	3	1,501	2
	4,43	7	2,417	11	1,495	14
	3,80	30	2,119	4	1,475	3
	3,68	100	1,842	100	1,399	12
	2,84	40	1,770	9	1,277	8
	2,555	9	1,701	1	1,183	5
	2,456	14	1,658	1	1,152	1
$\text{CaO} \cdot \text{Al}_2\text{O}_3 \cdot 2\text{SiO}_2$ (Триклин)	4,08	3	2,097	3	1,410	2
	3,80	3	2,021	3	1,385	4
	3,63	2	1,926	3	1,360	3
	3,37	2	1,877	2	1,342	3
	3,26	1	1,836	5	1,317	2
	3,20	10	1,797	4	1,274	2
	3,15	2	1,762	5	1,211	3
	2,948	4	1,714	2	1,166	4
	2,832	4	1,626	3	1,127	2
	2,648	2	1,532	2	1,079	3
	2,509	6	1,480	4	1,064	4
	2,135	6	1,451	3	-	-
Воллас-тонит — $\beta - \text{CaO} \cdot \text{SiO}_2$	7,7	40	2,33	40	1,72	60
	4,05	10	2,29	40	1,602	40
	3,83	80	2,18	60	1,531	10
	3,52	80	2,08	5	1,515	5
	3,40	5	2,01	20	1,478	20
	3,31	80	1,98	20	1,455	30
	3,16	5	1,91	20	1,426	5
	3,09	30	1,88	20	1,387	5
	2,97	100	1,86	10	1,358	30
	2,80	10	1,83	60	1,332	10
	2,72	10	1,80	5	1,312	5
	2,55	30	1,79	5	-	-
	2,47	60	1,75	40	-	-
Ранкинит — $3\text{CaO} \cdot 2\text{SiO}_2$	4,39	80	2,47	70	1,74	20
	4,04	80	2,34	20	1,72	20
	3,76	100	2,26	20	1,67	20
	3,51	50	2,15	20	1,62	30
	3,33	50	2,10	20	1,59	30
	3,15	100	2,03	20	1,54	20
	2,97	70	1,98	20	1,52	20
	2,85	70	1,94	20	1,47	70
	2,74	30	1,90	70	1,44	30
	2,68	100	1,84	70	1,42	20
	2,54	80	1,80	80	-	-

Шенюнит, кальциоолив и н-γ - 2CaO· SiO <sub>2</sub>	5,66	Ў.кз.	1,754	Ў.кз.	1,185	Ж.кз.
	4,33	Ў.	1,685	Ў.кз.	1,161	Кз.
	4,05	Кз.	1,672	Ж.ж.кз.	1,138	Ў.кз.
	3,82	Ў.	1,631	Ў.	1,106	Ж.ж.кз.
	3,39	Кз.	1,618	Ж.ж.кз.	1,095	Кз.
	3,01	Ку.	1,574	Ж.ж.кз.	1,078	Ж.кз.
	2,89	Ж.кз.	1,541	Ж.кз.	1,059	Ж.ж.кз.
	2,74	Ж.ки.	1,527	Кз.	1,050	Ж.ж.кз.
	2,60	Кз.	1,501	Кз.	1,038	Ж.ж.кз.
	2,53	Кз.	1,471	Ў.кз.	1,026	Ж.кз.
	2,46	Кз.	1,440	Кз.	1,014	Кз.
	2,33	Кз.	1,411	Кз.	1,001	Ж.кз.
	2,25	Ж.кз.	1,375	Ж.кз.	0,988	Ж.ж.кз.
	2,18	Кз.	1,349	Ж.кз.	0,978	Ж.ж.кз.
	2,05	Ж.кз.	1,303	Ж.кз.	0,953	Кз.
	2,02	Кз.	1,273	Кз.	0,942	Ж.ж.кз.
	1,964	Ж.кз.	1,253	Ў.кз.	0,933	Ж.кз.
	1,908	Ку.	1,233	Ж.кз.	0,921	Ж.кз.
	1,873	Ж.кз.	1,218	Ж.ж.кз.	0,808	Ж.ж.кз.
	1,805	Ў.ку.	1,207	Ж.ж.кз.	0,900	Ж.кз.
	-	-	-	-	0,891	Кз.
Сульфатли Спуррит — 2(2CaO· SiO <sub>2</sub> ) <sup>2</sup> CaSO <sub>4</sub>	7,68	10	2,704	10	1,954	20
	5,676	10	2,605	40	1,889	50
	5,319	10	2,561	50	1,836	15
	4,559	25	2,476	10	1,819	10
	4,073	20	2,403	10	1,806	10
	3,939	30	2,380	5	1,776	15
	3,490	30	2,353	5	1,755	20
	3,336	45	2,281	20	1,699	15
	3,190	65	2,227	10	1,688	10
	3,118	30	2,199	10	1,612	10
	3,035	30	2,169	20	1,561	5
	2,981	35	2,078	10	1,529	15
	2,838	100	2,060	15	-	-
	2,736	10	2,017	20	-	-
	3CaO·Fe <sub>2</sub> O <sub>3</sub>	7,43	1	2,98	10	2,06
3CaSO <sub>4</sub> · 32H <sub>2</sub> O	4,71	4	2,73	1	1,89	4
	4,30	1	2,65	3	1,84	5
	3,85	3	2,45	4	1,61	1
	3,60	1	2,26	5	1,51	3
	3,41	1	2,19	4	1,40	2
	Стронций — Sr	3,50	100	2,14	20	1,74
	3,03	60	1,83	100	-	-
SrO	2,97	100	1,55	43	1,182	29
	2,58	86	1,485	14	1,151	14
	1,82	71	1,290	14	1,050	29

SrF <sub>2</sub>	3,37 2,91 2,06 1,75	100 5 100 50	1,68 1,455 1,336 1,302	5 10 15 5	1,189 1,121 1,029 0,979	20 15 5 10
SrCO <sub>3</sub>	3,53 2,56 2,45	100 8 40	2,18 1,05 1,98	8 40 8	1,90 1,81 -	16 32 -
Sr(NO <sub>3</sub> ) <sub>2</sub>	4,50 3,91 3,48 3,18 2,35	100 33 33 33 100	2,24 1,94 1,78 1,75 1,58	100 17 17 17 17	1,50 1,376 1,315 -	17 17 17 -
SrO·SiO <sub>2</sub>	5,07 3,07 3,37 2,92 2,53	18 65 38 100 17	2,07 1,914 1,783 1,759 1,686	68 33 10 3 17	1,603 1,527 1,460 1,350 1,307	13 17 17 5 17
2SrO·SiO <sub>2</sub>	4,87 4,02 3,61 3,28 2,97 2,81	20 50 10 70 50 100	2,55 2,37 2,29 2,21 2,16 2,04	40 50 80 40 60 40	2,01 1,90 1,87 1,82 1,77 1,70	60 10 50 60 60 50
3SrO·Al <sub>2</sub> O <sub>3</sub>	5,6 5,4 4,4 4,3 3,98 3,49	4 5 2 5 2 4	3,25 2,92 2,81 2,51 2,39 2,29	2 5 100 4 2 7	2,13 1,99 1,81 1,77 1,74 1,62	7 11 1 3 1 20
3SrO·SiO <sub>2</sub>	3,61 2,97 2,90 2,69 2,45 2,34 2,19	6 35 100 15 25 55 25	1,89 1,81 1,77 1,70 1,69 1,66 1,59	4 15 6 7 3 14 12	1,56 1,55 1,52 1,49 1,46 1,38 1,34	9 4 10 4 3 3 5

SrO·Al <sub>2</sub> O <sub>3</sub>	6,07 4,42 4,00 3,90 3,83 3,14 3,04 2,98 2,56 2,55 -	5 48 9 13 13 100 88 76 33 72 -	2,46 2,42 2,21 2,19 2,15 2,10 2,03 2,01 1,95 1,92 -	12 16 20 14 14 17 5 8 16 21 -	1,90 1,86 1,67 1,63 1,60 1,58 1,57 1,56 1,53 1,48 1,47	7 11 6 6 13 5 7 8 14 12 7
SrO·6Al <sub>2</sub> O <sub>3</sub>	4,71 4,42 3,66 2,78 2,75 2,70 2,63 2,48 2,41	10 16 20 44 24 9 100 95 5	2,39 2,35 2,29 2,20 2,11 2,01 1,85 1,81 1,74	3 2 27 19 65 38 52 2 2	1,72 1,61 1,58 1,54 1,52 1,46 1,39 1,35 - •	10 4 31 59 4 3 43 2 -
5SrO·Al <sub>2</sub> O <sub>3</sub>	5,11 4,98 4,29 3,92 3,35 2,89 2,84 2,79	3 3 3 2 3 100 4 17	2,75 2,56 2,49 2,42 2,34 2,31 2,15 2,07	11 2 3 2 5 5 12 2	2,04 1,96 1,70 1,69 1,63 1,61 1,44 1,34	2 12 7 4 11 8 4 5
SrO·CeO <sub>2</sub>	5,29 2,99 2,38 2,26 2,11 1,795 -	3 100 3 8 33 7 -	1,740 1,718 1,668 1,537 1,501 1,457 -	3 22 2 17 7 2 -	1,383 1,245 1,166 1,153 1,128 1,086 1,020	2 10 5 5 12 5 7
SrO·TiO <sub>2</sub>	2,76 2,25 1,944	100 10 30	1,589 1,376 1,230	30 23 18	1,173 1,122 1,041	2 3 15
SrO·ZrO <sub>2</sub>	2,90 2,04 -	100 40 -	1,667 1,446 -	67 27 -	1,293 1,180 1,094	24 3 27

SrO·Al <sub>2</sub> O <sub>3</sub> 2SiO <sub>2</sub>	6,44 5,77 4,55 4,11 3,75 3,58 3,47 3,43 3,27 3,22 2,97 2,89 2,74	34 11 16 8 38 21 21 68 100 100 46 26 35	2,55 2,47 2,40 2,34 2,31 2,22 2,19 2,16 2,10 2,06 2,04 1,965 1,929	65 5 9 9 9 11 12 8 7 11 11 3 3	1,916 1,895 1,872 1,846 1,834 1,794 1,784 1,744 1,657 1,621 1,564 1,505 1,491	3 11 7 7 7 11 19 7 6 9 10 7 13
6SrO·9Al <sub>2</sub> O <sub>3</sub> 2SiO <sub>2</sub>	5,60 4,49 3,03 2,97 2,94 2,91 2,82 2,79 2,75 2,56 2,45 -	21 26 100 79 74 47 29 58 32 11 30 -	2,40 2,37 2,32 2,30 2,25 2,21 2,16 2,04 2,02 1,96 1,92 -	12 7 11 16 5 9 28 17 49 7 17 -	1,89 1,87 1,85 1,80 1,78 1,57 1,56 1,48 1,47 1,46 1,40 1,38	15 7 10 10 11 21 21 13 11 8 11 8
2SrO·MgO· 2SiO <sub>2</sub>	5,68 5,18 4,35 4,02 3,82 3,59 3,17 2,950 2,838 -	32 5 5 9 23 9 45 100 7 -	2,590 2,539 2,462 2,366 2,280 2,225 2,175 2,100 2,050 -	24 36 12 10 10 5 7 43 7 -	2,000 1,946 1,915 1,891 1,822 1,795 1,778 1,727 1,586 1,555	10 15 8 12 14 27 10 5 5 15
2SrO·Al <sub>2</sub> O <sub>3</sub> · SiO <sub>2</sub>	5,53 5,24 3,90 3,80 3,48 3,13 2,914 2,753 -	5 5 5 15 4 22 100 2 -	2,625 2,488 2,471 2,370 2,329 2,234 2,179 2,100 -	24 10 14 3 5 3 5 31 -	1,953 1,891 1,838 1,798 1,779 1,746 1,736 1,672 1,568	7 10 10 22 10 7 7 4 22
SrLaAl <sub>3</sub> O <sub>7</sub>	5,59 5,24 3,82 3,53	6 16 19 12	2,181 2,174 2,096 1,967	10 10 43 8	1,743 1,562 1,411 1,306	8 34 8 7

	3,15 2,923 2,614 2,489 2,354 2,249	22 100 37 19 9 6	1,912 1,897 1,858 1,800 1,761 1,753	9 14 10 30 6 10	1,198 1,157 0,9626 0,9275 - -	6 4 50 25 - -
SrGdAl <sub>3</sub> O <sub>7</sub>	5,13 3,76 3,50 3,11 2,889 2,571 2,480 2,451	23 12 13 20 100 20 15 18	2,438 2,325 2,238 2,226 2,068 1,952 1,896 1,841	15 8 18 18 40 14 5 9	1,779 1,738 1,537 1,497 1,394 0,9508 0,9132 -	36 8 15 5 8 50 25 -
SrYAl <sub>3</sub> O <sub>7</sub>	5,12 3,75 3,70 3,49 3,09 2,871 2,742 2,555 2,453	8 20 15 8 16 100 5 25 18	2,425 2,417 2,305 2,269 2,216 2,052 1,945 1,882 1,831	18 18 10 5 10 37 10 7 10	1,766 1,724 1,527 1,487 1,387 1,373 1,278 0,9497 0,9114	35 10 25 7 15 2 4 50 25
SrNdGa <sub>3</sub> O <sub>7</sub>	3,87 3,20 2,961 2,833 2,642 2,536 2,524 2,393	14 23 100 8 33 33 30 3	2,128 2,002 1,945 1,938 1,888 1,824 1,791 1,778	10 10 5 5 10 47 5 6	1,581 1,543 1,430 1,415 1,335 1,324 0,9764 0,9395	22 8 18 9 6 5 30 15
SrGd <sub>2</sub> O <sub>4</sub>	3,01 2,94 2,88 2,54 2,37	68 100 73 20 12	2,34 2,23 2,08 2,04 1,728	17 13 45 47 42	1,716 1,692 1,681 1,647 1,603	28 40 30 20 15
SrSm <sub>2</sub> O <sub>4</sub>	3,00 2,93 2,897 2,878 2,791 2,544 2,378	Ү. Ку. Ку. Кз. Ж.ж.кз. Ж.кз. Ж.ж.кз.	2,345 2,231 2,078 2,041 1,862 1,855 1,796	Ж.ж.кз. Ж.ж.кз. Ку. Ү.ку. Ж.ж.кз. Ж.ж.кз. Ж.ж.кз.	1,751 1,727 1,717 1,696 1,681 1,651 -	Ү. Ку. Ку. Ү. Ү.ку. Кз. -

<b>Беловит —</b> $(\text{Sr}, \text{Ce}, \text{Na}, \text{Ca})_{10} [\text{PO}_4]_6 \cdot (\text{OH}, \text{O})_2$	3,56 3,28 3,15 2,87 2,78 2,31 2,19 2,14 1,998 1,943 1,900	3 5 6 10 7 3 1 3 8 7 8	1,843 1,830 1,787 1,560 1,509 1,494 1,467 1,316 1,306 1,275 1,252	7 7 7 2 4 4 2 5 5 6 6	1,209 1,184 1,166 1,158 1,148 1,132 1,105 1,070 1,064 1,037 1,010	3 3 1 3 4 4 3 6 3 8 4
<b>Анкилит —</b> $\text{Sr}_2\text{LaCe} (\text{H}_2)_2 \cdot [\text{CO}_3]_4 \cdot (\text{OH})_2$	4,40 3,79 -	5 10 -	2,95 2,35 -	8 6 -	1,318 1,207 -	5 5 -
<b>Лампрофиллит —</b> $\text{Sr}_2(\text{Na}_3\text{Ti}) \text{Ti}_2 \cdot (\text{Si}_2\text{O}_7)_2\text{O}_2\text{F}$	3,17 2,75 -	10 9 -	2,12 1,76 -	5 3 -	1,59 1,44 -	3 3 -
<b>Витчит —</b> $\text{Sr}_3\text{B}_{16}\text{O}_{27} \cdot 5\text{H}_2\text{O}$	10,3 5,64 5,12 4,46 4,40 3,47 3,32 3,19 2,98 2,86	10 6 6 4 6 4 9 4 4 6	2,76 2,69 2,59 2,52 2,39 2,20 2,147 2,078 2,033 1,992	1 1 8 2 6 6 4 6 6 2	1,932 1,859 1,832 1,797 1,757 1,673 1,650 1,583 1,534 1,506	6 2 1 2 4 1 1 2 2 2
<b>Барий — Ba</b>	3,55 2,513 2,051 1,776 1,590	100 20 40 18 12	1,451 1,343 1,185 1,124 1,072	5 14 5 4 3	1,026 0,986 0,917 0,861 -	1 6 2 8 -
<b>BaO</b>	3,20 2,75 1,95 1,66 1,59	100 88 75 50 25	1,380 1,265 1,231 1,128 1,060	10 20 25 15 5	0,975 0,933 0,920 -	5 10 5 -

Ba(OH) <sub>2</sub>	5,77 5,20 4,70 4,38 4,03 3,59 3,39 3,19 3,02 2,94	8 6 25 12 40 25 100 14 10 18	2,75 2,71 2,55 2,46 2,32 2,16 2,05 2,00 1,945 1,895	14 25 20 30 30 10 20 6 30 18	1,818 1,729 1,670 1,600 1,515 1,488 1,440 1,391 - -	6 6 20 10 14 2 10 6 - -
BaF <sub>2</sub>	3,58 3,09 2,19 1,86 1,78 1,55 -	100 25 100 80 15 15 -	1,420 1,382 1,262 1,190 1,095 1,045 -	32 18 32 20 5 15 -	1,031 0,978 0,944 0,933 0,866 0,859 0,827	3 6 3 2 3 2 5
BaCO <sub>3</sub>	4,56 4,45 3,72 3,68 3,215 2,025	9 4 100 53 15 4	2,749 2,656 2,628 2,590 2,281 2,226	3 11 24 23 6 2	2,150 2,104 2,048 2,019 1,940 1,859	28 12 10 21 15 3
BaCa(CO <sub>3</sub> ) <sub>2</sub>	3,96 3,16 2,54	50 100 40	2,14 1,998 1,940	30 30 25	1,642 1,568 1,505	13 13 3
BaO·SO <sub>2</sub>	4,20 3,44 3,20 2,75 2,33	63 100 75 63 35	2,08 1,99 1,77 1,69 1,59	45 40 10 10 5	1,490 1,380 1,320 1,260 1,182	5 5 5 5 5
BaO·SO <sub>3</sub>	4,35 3,89 3,57 3,44 3,31 3,10 2,83 2,72 2,47	20 25 10 63 35 63 40 45 15	2,31 2,20 2,10 2,04 1,92 1,85 1,74 1,67 1,63	10 15 100 10 5 15 8 15 8	1,58 1,52 1,465 1,420 1,255 1,190 1,093 1,028 -	10 25 7 20 18 8 13 5 -

BaCrO <sub>4</sub>	4,50 4,00 3,54 3,19 2,90 2,78 2,53 2,37 2,25 2,16	11 27 40 83 33 27 8 7 7 100	1,97 1,91 1,80 1,71 1,66 1,62 1,56 1,50 1,450 1,410	1 17 10 33 11 11 23 5 13 3	1,380 1,350 1,325 1,288 1,250 1,225 1,170 1,120 1,055 -	7 3 3 13 4 5 8 10 4 -
BaO·TiO <sub>2</sub>	4,03 3,99 2,830 2,314	12 25 100 46	2,019 1,997 1,802 1,790	12 37 6 8	1,786 1,642 1,634 1,419 1,412	7 15 35 12 10
BaO·Al <sub>2</sub> O <sub>3</sub>	4,0468 3,1560 2,6084 2,5008 2,4539 2,2570 2,2421 2,9970 2,1829 2,0065 1,9724 1,9453	Kз. Kу. Kу. Kз. Ж.кз. Kз. Ж. Kу. Ж.кз. Ж. Kу. Kз.	1,6768 1,6731 1,6386 1,5890 1,5719 1,5042 1,4728 1,4624 1,4218 1,3909 1,3841 1,3451	Ж. Ж. Кз. Кз. Ж.кз. Ж. Ж.кз. Ж.кз. Ж.кз. Ж. Кз. Ж.	1,3023 1,2748 1,2509 1,2485 1,2399 1,2383 1,2266 1,2224 1,2028 -	Ж. Ку. Ж.кз. Кз. Ку. Кз. Кз. Кз. Ку. -
BaO·CeO <sub>2</sub>	3,44 3,10 2,18 2,10	1 100 35 4	1,794 1,552 1,389 1,269	50 15 20 8	1,174 1,098 1,034 0,980	30 2 10 8
BaO·6Al <sub>2</sub> O <sub>3</sub>	4,74 4,44 4,09 3,68 3,32 3,09	57 59 11 27 27 12	3,02 2,79 2,70 2,51 2,42 2,30	15 85 84 100 15 20	2,23 2,13 2,04 1,992 1,760 -	25 67 45 11 15 -
3BaO·Al <sub>2</sub> O <sub>3</sub>	4,12 3,78 3,06 2,91	34 10 9 100	2,47 2,38 2,31 2,20	5 23 6 5	2,15 2,06 1,944 1,841	7 25 4 12
Паст хароратли форма	5,082 3,682 3,470	Ж.кз. Ку. Ж.ж.кз.	1,747 1,654 1,573	Ку. Кз. Кз.	1,119 1,096 1,075	Кз. Кз. Ж.кз.
BaO·SiO <sub>2</sub>	3,305 2,999 2,600 2,349	Ж.кз. Ж.ку. Ж. Ж.	1,512 1,404 1,355 1,305	Кз. Кз. Ку. Ж.ж.кз.	1,053 1,033 1,011 0,961	Ж.кз. Ж.кз. Ку. Ку.

ZnO·Al <sub>2</sub> O <sub>3</sub>	4,67 2,861 2,438 2,335 2,021	3 84 100 1 8	1,855 1,650 1,556 1,429 1,367	10 24 40 43 1	1,278 1,233 1,219 1,1670 1,1322	6 9 1 1 1
ZnO·B <sub>2</sub> O <sub>3</sub>	5,29 3,74 3,048 2,364 2,158	6 3 100 23 1	1,997 1,869 1,761 1,672 1,594	20 13 38 2 3	1,526 1,466 1,364 1,321 1,282	25 5 8 4 3
ZnO·Cr <sub>2</sub> O <sub>3</sub>	2,92 2,50 2,40 2,07 1,692	48 100 3 10 25	1,597 1,465 1,312 1,266 1,199	50 60 5 8 1	1,110 1,082 1,037 - -	7 12 4 - -
Кадмий – Cd	2,80 2,58 2,34 1,89 1,51 1,486	40 30 100 20 25 18	1,400 1,310 1,286 1,252 1,228 1,170	3 27 2 20 2 3	1,060 1,020 0,959 0,921 0,863 0,821	5 4 10 2 4 2
CdO	2,712 2,349 1,661 1,416	100 88 43 28	1,355 1,1742 1,0772 1,0499	13 5 9 13	0,9584 0,9036 0,8300 -	11 9 5 -
CdCO <sub>3</sub>	3,77 2,94 2,46 2,23 2,06 1,88 1,83 1,58	80 100 50 3 45 33 80 40	1,50 1,470 1,419 1,355 1,295 1,260 1,230 1,190	17 5 15 5 5 17 5 8	1,142 1,120 1,022 0,976 0,942 0,880 - -	8 8 8 7 7 7 - -
Cd(OH) <sub>2</sub>	4,70 3,02 2,55 1,86 1,74 1,63	100 63 100 40 30 30	1,51 1,440 1,400 1,271 1,165 1,139	13 20 20 15 7 8	1,110 1,090 1,028 1,005 0,980 0,925	13 3 10 3 4 5
CdSO <sub>4</sub>	4,93 3,74	50 14	2,30 2,11	22 8	1,630 1,559	24 8

	3,57	100	2,06	8	1,525	6
	3,21	26	1,948	2	1,465	6
	3,10	4	1,860	4	1,444	6
	2,51	60	1,773	4	1,407	4
	2,43	6	1,717	10	1,329	8
	2,38	50	1,682	8	1,269	4
	-	-	-	-	1,169	4
CdO·WO <sub>3</sub>	5,9	25	2,93	50	1,76	13
	5,0	38	2,53	75	1,53	25
	3,80	100	1,91	38	1,465	13
	3,05	100	1,81	38	1,410	13
Симоб - Hg	2,771	80	1,379	20	1,035	10
	2,255	10	1,235	20	0,943	10
	1,750	60	1,125	10	-	-
	1,474	40	1,085	10	-	-
HgO	2,96	100	1,468	38	1,103	5
	2,83	75	1,440	20	1,079	3
	2,75	38	1,413	8	1,050	3
	2,40	75	1,378	5	1,026	3
	1,81	63	1,200	13	0,982	3
	1,75	8	1,187	10	0,943	3
	1,64	15	1,161	5	-	-
	1,60	10	1,148	3	-	-
HgSO <sub>4</sub>	3,90	100	2,25	17	1,80	17
	3,40	50	2,13	17	1,64	17
	3,26	17	2,04	33	1,53	17
	3,01	33	1,99	33	1,477	17
	2,81	33	1,93	17	1,381	17
	2,37	33	1,84	17	1,304	17
Hg <sub>2</sub> SO <sub>4</sub>	4,42	63	2,73	10	1,89	25
	4,19	63	2,55	25	1,80	10
	3,61	10	2,37	10	1,73	15
	3,47	5	2,20	30	1,66	5
	3,11	10	2,08	30	1,62	5
	3,03	100	2,01	5	1,52	10
	2,85	5	1,96	10	-	-
Hg <sub>3</sub> (PO <sub>4</sub> ) <sub>2</sub>	4,01	71	2,85	43	2,05	14
	3,52	29	2,71	14	2,01	29
	3,19	29	2,41	29	-	-
	3,01	100	2,12	14	-	-
Hg <sub>3</sub> PO <sub>4</sub>	7,2	11	2,72	22	1,81	17
	6,3	22	2,60	100	1,77	17
	5,5	22	2,45	22	1,66	22
	4,83	44	2,28	44	1,62	11
	4,40	56	2,18	17	1,57	22
	3,85	44	2,12	22	1,52	22
	3,60	33	2,01	17	1,50	22
	3,48	44	1,94	22	1,440	22

	3,09 2,94	67 89	1,89 1,86	11 17	1,384 1,346	11 11
$H_3BO_3$	5,9 3,16 2,90 2,81 2,62	28 100 3 2 6	2,55 2,49 2,23 2,16 2,08	2 2 13 3 6	2,02 1,68 1,63 1,58 -	3 3 2 3 -
$B(OH)_3$	7,66 6,84 6,07 4,59 4,24 4,035 3,858 3,382 3,178 3,099	2 4 7 1 2 1 5 2 10 1	2,94 2,846 2,631 2,561 2,490 2,433 2,367 2,297 2,238 2,175	3 3 3 1 3 2 2 4 5 1	2,101 1,982 1,902 1,868 1,825 1,783 1,753 1,724 1,693 1,647	4 1 4 1 2 3 3 3 4 3
$BPO_4$	3,62 3,07 2,25 1,965 1,865 1,817	100 7 53 3 17 7	1,534 1,460 1,375 1,319 1,269 1,211	4 17 3 9 5 4	1,185 1,093 1,059 1,039 -	5 4 3 4 -
Сингалит – $BMgAlO_4$	4,93 3,97 3,73 3,43 3,24 2,82 2,62 2,46 2,38	7 5 2 1 9 1 9 2 7	2,30 2,14 1,93 1,868 1,801 1,764 1,705 1,621 1,576	7 10 2 2 1 1 4 10 1	1,534 1,514 1,420 1,384 1,360 1,340 1,320 -	4 4 7 2 1 4 1 -
Майергоф- Ферит $B_6Ca_2O_{11}$ $7H_2O$	8,39 6,51 5,03 4,17	100 100 50 8	3,65 3,50 3,30 3,17	18 12 35 100	3,09 2,974 2,900 2,641	18 18 1 18
$B_4C$	4,00 3,79 3,39 2,57 2,38 2,03	5 15 100 23 38 38	1,81 1,69 1,54 1,50 1,450 1,400	3 3 3 3 5 5	1,320 1,260 1,230 1,158 -	5 3 5 5 -

Алюминий- Al	2,33 2,02 1,430 -	100 40 30 -	1,219 1,168 1,011 -	30 7 2 -	0,928 0,905 0,826 0,778	4 4 1 1
Корунд- $\alpha\text{-Al}_2\text{O}_3$	3,479	72	1,1898	6	0,9345	3
	2,552	92	1,1601	1	0,9178	2
	2,379	41	1,1470	4	0,9076	12
	2,085	100	1,1382	1	0,9052	3
	1,740	41	1,1255	5	0,8991	16
	1,601	83	1,0988	6	0,8804	4
	1,546	7	1,0831	3	0,8698	2
	1,510	2	1,0781	7	0,8580	12
	1,404	38	1,0426	13	0,8502	4
	1,374	42	1,0175	1	0,8303	22
	1,276	6	0,9976	11	0,8137	4
	1,239	16	0,9819	2	0,8075	11
Юкори хароратли $\gamma\text{-Al}_2\text{O}_3$	2,86	6	1,988	50	1,440	3
	2,72	25	1,937	19	1,389	100
	2,595	19	1,790	6	1,285	3
	2,445	41	1,596	6	1,235	3
	2,290	31	1,533	9	1,176	3
	2,160	6	1,497	13	1,134	9
Паст хароратли $\gamma\text{-Al}_2\text{O}_3$	2,39	19	1,520	6	0,882	6
	2,275	13	1,396	100	0,806	6
	1,975	72	1,139	13	-	-
	1,862	6	0,987	6	-	-
$v\text{-Al}_2\text{O}_3$	2,835	41	1,900	41	1,400	25
	2,710	50	1,794	13	1,386	100
	2,570	3	1,734	3	1,289	6
	2,445	50	1,605	3	1,258	3
	2,300	41	1,536	25	1,231	3
	2,245	31	1,479	13	1,108	3
	2,015	50	1,449	19	-	-
$x\text{-Al}_2\text{O}_3$	3,03	13	2,115	41	1,483	9
	2,80	19	2,001	3	1,435	41
	2,71	13	1,900	3	1,390	100
	2,57	41	1,868	19	1,340	13
	2,43	19	1,638	19	1,308	9
	2,325	25	1,600	3	1,264	3
	2,245	3	1,548	3	-	-
Гидрар- гиллит (гиб- бсит)- $\text{Al}_2\text{O}_3 \cdot 3\text{H}_2\text{O}$	4,82	10	1,798	8	1,298	1
	4,34	6	1,747	8	1,248	2
	3,512	2	1,686	8	1,235	1
	3,317	2	1,657	2	2,215	4
	3,184	2	1,639	1	2,195	3

Монтмориллонит- $(Al, Mg)_2(OH)_2[Si_4O_{10}] \cdot H_2O$	6,30 6,09 5,49 4,47 4,05 3,78 3,42	Ж.кз. Ж.кз. Ж.кз. Ку. Кз. Кз. Ў.	3,06 2,60 2,45 2,22 2,13 2,00 1,77	Ў. Ку. Ж.кз. Кз. Кз. Кз. Кз.	1,71 1,67 1,55 1,51 1,29 1,25 -	Ў. Ў. Ж.кз. Ж.ку. Ку. Ку. -
Бейдслит- $Al_2[Si_4O_{10}] (OH)_2 \cdot nH_2O$	9,09 8,15 6,96 5,76 4,45	Ж.кз. Ж.кз. Ж.кз. Ж.кз. Ку.	3,53 3,28 2,58 2,36 2,00	Ку. Ж.кз. Ку. Ў. Ж.кз.	1,72 1,67 1,51 1,31 1,27	Ў. кз. Ку. Ж.ку. Ў. ку. Ў.
Галлуазит (енделлит)- $Al_2O_3 \cdot 2SiO_2 \cdot 4H_2O$	11,50 8,06 5,80 4,40 4,15 3,98 3,50 -	Ж.ку.. Ж.кз. Кз. Ку. Ж.кз. Кз. Ў. -	3,21 2,69 2,58 2,49 2,39 2,32 2,22 -	Кз. Ж.кз. Ку. Ў. Ў. Ў. Ж.кз. -	2,03 1,92 1,69 1,65 1,50 1,47 1,29 1,24	Ж.кз Ж.кз. Ку. Ку. Ж.ку. Ж.ку. Ку. Ку.
Пирофиллит- $Al_2O_3 \cdot 4SiO_2 \cdot H_2O$	11,80 10,50 8,80 6,38 5,89 5,52 4,58 4,08 3,52 3,33 3,19 3,08	Ж.кз. Кз. Ку. Ж.кз. Ж.кз. Ж.кз. Ку. Ж.кз. Кз. Ку. Кз. Ж.ку.	3,00 2,91 2,72 2,60 2,43 2,40 2,11 2,09 2,00 1,98 1,91 1,85	Кз. Ж.кз. Ж.кз. Ў. Ку. Ў. Ў. Кз. Ў. Ку. Ж.кз. Ж.кз. Ку.	1,76 1,67 1,65 1,55 1,51 1,44 1,40 1,38 1,37 1,35 1,32 -	Кз. Ку. Ў. Ку. Ку. Ў. Ку. Ў. Ку. Ў. Ў. -
Галлий-Ga	3,831 2,953 2,925 2,262 1,996 1,957 1,947 1,916 1,789 1,763 1,599 1,586 1,476 1,461	28 100 50 60 85 56 17 16 21 6 11 3 3 14	1,2766 1,2475 1,2379 1,2276 1,2216 1,1928 1,1853 1,1302 1,1119 1,0866 1,0540 1,0496 1,0355 1,0111	4 20 14 5 17 15 4 5 8 3 1 3 4 2	0,9706 0,9626 0,9515 0,9369 0,8986 0,8948 0,8923 0,8817 0,8802 0,8690 0,8654 0,8383 0,8376 0,8247	7 3 1 1 4 2 4 7 7 4 3 8 4 5

	1,406 1,404 1,391	9 8 4	0,9976 0,9775 0,9735	2 1 5	0,8179 0,8080 -	6 3 -
GaP	3,14	100	1,572	17	1,112	15
	2,72	15	1,362	13	1,049	8
	1,924	65	1,250	35	-	-
	1,641	50	1,218	3	-	-
Ga <sub>2</sub> O <sub>3</sub>	3,630	26	1,565	9	1,1396	6
	2,651	100	1,466	33	1,1266	8
	2,491	80	1,438	30	1,0878	6
	2,238	4	1,325	4	1,0366	8
	2,177	16	1,282	11	1,0266	3
	2,052	3	1,245	9	0,9738	3
	1,814	36	1,209	4	0,9487	7
	1,665	45	1,1696	4	-	-
GaSb	3,520	100	1,363	3	0,9294	5
	3,048	11	1,244	20	0,9188	1
	2,156	67	1,1738	10	0,8796	2
	1,838	44	1,0776	5	0,8534	5
	1,759	3	1,0304	9	0,8452	1
	1,524	11	1,0158	1	0,8144	7
	1,399	17	0,9638	4	0,7936	7
Индий-In	2,72	100	1,395	30	1,025	2
	2,46	25	1,355	15	0,980	2
	2,29	40	1,144	2	0,948	6
	1,68	30	1,088	10	0,905	2
	1,62	15	1,055	2	0,888	2
	1,462	20	1,040	2	-	-
In <sub>2</sub> O <sub>3</sub>	4,11	12	1,260	6	0,9144	5
	2,91	100	1,242	7	0,9003	6
	2,69	2	1,225	3	0,8931	2
	2,51	24	1,205	2	0,8792	3
	2,37	6	1,189	2	0,8725	3
	2,25	2	1,175	6	0,8666	2
	2,142	7	1,158	14	0,8602	2
	1,973	13	1,129	9	0,8538	6
	1,843	4	1,115	8	0,8410	2
	1,780	49	1,103	2	0,8418	3
	1,729	4	1,088	5	0,8361	5
	1,677	4	1,065	5	0,8306	2
	1,634	7	1,042	4	0,8251	2
	1,593	4	1,031	9	0,8196	4
	1,552	8	1,021	4	0,8141	3
	1,519	42	1,009	2	0,8038	4

	1,486	10	0,9899	7	0,7988	4
	1,456	10	0,9806	2	0,7939	2
	1,425	4	0,9720	8	0,7891	8
	1,398	3	0,9624	6	0,7844	2
	1,371	4	0,9457	8	0,7796	5
	1,350	2	0,9376	8	-	-
	1,281	6	0,9292	5	-	-
In Cl <sub>3</sub>	5,8	100	2,68	10	1,76	8
	5,3	13	2,55	48	1,63	11
	5,0	20	2,44	10	1,59	3
	4,50	24	2,32	24	1,51	3
	4,01	24	2,23	13	1,475	3
	3,82	6	2,10	3	1,445	6
	3,58	32	2,05	16	1,390	6
	3,41	10	2,00	13	1,328	6
	3,00	40	1,92	10	-	-
	2,84	32	1,84	24	-	-
Таллий-Tl	3,00	40	1,73	29	1,158	11
	2,75	23	1,56	29	1,105	17
	2,62	100	1,460	23	1,074	6
	2,02	23	1,445	17	0,962	6
Tl <sub>2</sub> O <sub>3</sub>	4,304	11	1,710	5	1,279	2
	3,042	100	1,668	2	1,2597	2
	2,816	3	1,628	4	1,2428	1
	2,635	42	1,589	27	1,2261	3
	2,484	6	1,554	6	1,2094	6
	2,357	2	1,522	6	1,1789	2
	2,248	4	1,491	3	1,1646	1
	2,149	1	1,462	1	1,1371	2
	2,068	8	1,434	3	1,1110	1
	1,924	3	1,409	2	1,0874	1
	1,863	33	1,339	3	1,0764	2
	1,808	2	1,318	3	1,0649	1
	1,758	1	1,298	4	-	-
TINO <sub>3</sub>	5,60	4	2,495	5	1,951	10
	4,88	2	2,474	24	1,939	2
	4,40	68	2,442	29	1,928	14
	4,01	31	2,426	6	1,835	4
	3,259	5	2,293	1	1,824	14
	3,145	28	2,199	17	1,778	9
	3,080	34	2,118	3	1,754	13
	3,048	10	2,066	2	1,745	1
	2,962	100	2,004	9	1,691	6
	2,612	3	1,984	8	1,688	7

Tl <sub>2</sub> SO <sub>4</sub>	5,32 5,17 4,40 4,32 3,91 3,67 3,53 3,266 3,237 3,154 3,122 3,045 2,961	6 9 17 28 2 14 57 26 21 53 100 88 55	2,78 2,664 2,630 2,533 2,457 2,321 2,308 2,200 2,186 2,181 2,158 2,103 2,056	10 1 15 26 15 12 10 9 13 12 27 9 16	1,966 1,957 1,941 1,926 1,884 1,873 1,858 1,837 1,832 1,802 1,778 1,767 1,739	12 3 7 17 4 1 6 7 13 7 23 4 10
Скандий алюминати - Sc <sub>2</sub> O <sub>3</sub> ·Al <sub>2</sub> O <sub>3</sub>	2,842 2,687 2,359 2,265	29 100 21 5	2,241 2,138 2,004 1,8436	5 7 9 5	1,7051 1,6350 1,4180 1,3990	21 28 12 5
3Sc <sub>2</sub> O <sub>3</sub> · 5Ga <sub>2</sub> O <sub>3</sub>	4,73 3,404 3,110 3,034 2,889 2,878 2,852 2,653 2,598 2,486 2,385 2,365 2,247	12 36 39 8 29 100 100 88 16 11 88 90 13	2,231 2,144 2,131 1,830 1,7905 1,7836 1,7077 1,6800 1,6017 1,5858 1,5793 1,5167 1,4933	8 14 24 6 52 39 46 100 52 10 28 24 10	1,4890 1,4839 1,4447 1,4328 1,4281 1,4158 1,3966 1,3640 1,3496 1,3466 1,3267 1,3048 -	10 49 54 11 24 42 48 9 11 11 13 18 -
Sc <sub>2</sub> O <sub>3</sub> · Nb <sub>2</sub> O <sub>5</sub>	5,77 4,84 3,79 3,667	10 40 40 70	3,002 2,950 2,828 -	100 100 40 -	2,550 2,482 2,404 -	40 70 40 -
Тортвейтит - Sc <sub>2</sub> [Si <sub>2</sub> O <sub>7</sub> ]	5,13 4,57 4,48 4,29 3,45 3,36 3,14 3,12 2,93 2,60	100 5 5 5 5 10 90 100 80 30	2,55 2,17 2,13 2,09 2,05 1,932 1,875 1,700 1,694 1,646	80 30 5 10 30 10 10 40 30 30	1,594 1,572 1,522 1,509 1,422 1,358 1,186 1,174 -	20 10 10 20 20 40 10 5 -

$\text{Sc}_2\text{O}_3 \cdot \text{SiO}_2$	3,687 3,439 3,317 2,980 2,847 2,792 2,555 2,436	20 20 40 60 55 100 20 10	2,294 2,182 2,112 2,097 2,080 2,060 1,989 1,926	25 10 30 35 35 20 20 30	1,779 1,647 1,620 1,526 1,506 1,463 1,439 -	40 25 15 10 25 15 15 -
Иттрий (III) оксид- $\text{Y}_2\text{O}_3$	4,31 3,06 2,646 2,494 2,366 2,258 2,160 2,076	14 100 31 7 2 9 2 14	1,933 1,873 1,816 1,767 1,718 1,675 1,634 1,597	5 61 3 2 8 2 8 43	1,562 1,528 1,498 1,469 1,442 1,416 - -	11 10 4 3 6 4 - -
$\text{Y}(\text{NO}_3)_3 \cdot 6\text{H}_2\text{O}$	8,4 5,7 5,3 4,65 4,24 3,91 3,23 3,04 2,98 2,92	100 60 80 20 20 20 30 15 20 20	2,79 2,61 2,53 2,39 2,30 2,22 2,12 2,05 1,98 1,95	15 20 30 20 20 10 60 15 20 10	1,92 1,89 1,86 1,83 1,79 1,76 1,70 1,65 1,61 1,54	20 10 10 10 15 15 15 10 10 10
$2\text{Y}_2\text{O}_3 \cdot \text{Al}_2\text{O}_3$	7,41 5,26 4,69 4,54 3,705 3,326 3,011 2,908 2,884 2,615 2,559 2,538 2,523	63 16 100 16 19 100 100 100 47 48 64 29 61	2,486 2,470 2,454 2,291 2,274 2,129 2,090 2,063 2,046 1,9811 1,9449 1,9163 1,9027	21 39 37 43 28 12 13 87 41 16 15 12 16	1,8426 1,8298 1,8164 1,7921 1,7317 1,7235 1,6279 1,6236 1,6126 1,5759 1,5661 1,5621 -	80 85 81 32 32 61 27 20 23 41 45 60 -
$\text{Y}_2\text{O}_3 \cdot \text{SiO}_2$	6,01 5,87 4,03 3,86 3,64 3,51 3,34	15 20 10 50 10 65 15	3,11 3,003 2,916 2,880 2,772 2,655 2,625	60 100 45 85 30 15 15	2,580 2,538 2,410 2,261 2,187 2,172 2,041	15 40 20 30 35 54 10

$\text{Y}_2\text{O}_3 \cdot \text{GeO}_2$	5,93 3,70 3,59 3,38 3,16 3,033	15 30 35 70 10 85	2,973 2,951 2,826 2,620 2,547 2,438	75 60 100 25 40 25	2,300 2,220 2,208 2,059 - -	25 25 30 10 - -
Лантан-La	3,23 2,86 2,27 1,86 1,70	100 70 50 50 20	1,61 1,55 1,52 1,45 1,36	20 40 10 20 20	1,23 1,17 1,11 1,08 0,98	30 30 30 10 30
$\text{La}_2\text{O}_3$	3,41 3,063 2,980 2,278 1,968 1,753 1,705 1,656	34 31 100 58 63 52 4 24	1,642 1,532 1,490 1,398 1,309 1,289 1,261 1,209	17 3 5 2 7 2 12 6	1,1879 1,1538 1,1396 1,1367 1,0901 1,0658 1,0220 0,9952	4 4 2 4 7 4 1 3
$\text{La}_2\text{Ga}_2\text{BeO}_7$	5,14 3,765 3,520 3,130 2,905 2,755 2,564	11 20 10 32 100 24 24	2,487 2,064 1,967 1,909 1,858 1,781 1,741	44 22 14 8 8 50 18	1,585 1,557 1,531 1,400 1,312 1,268 -	8 8 15 18 7 7 -
$\text{La}_2\text{Ti}_3\text{O}_{8,7}$	3,980 3,600 2,770 2,273 1,954	15 10 100 25 70	1,751 1,593 1,382 1,300 1,233	10 65 40 5 35	1,177 1,129 1,083 1,044 -	10 15 5 30 -
Вайнштейнит $-(\text{La},\text{Nd})[\text{PO}_4]$	7,55 5,22 4,70 4,20 3,74 3,01 2,83 2,61 2,52 2,47 2,44 2,37 2,162 2,083	9 4 5 10 8 9 6 5 2 2 2 4 5 1	2,036 2,005 1,964 1,927 1,855 1,820 1,773 1,755 1,689 1,640 1,596 1,557 1,530 1,503	4 1 4 1 5 4 6 5 1 5 5 1 1 2	1,437 1,408 1,390 1,344 1,326 1,317 1,301 1,249 1,216 1,197 1,180 1,160 1,139 1,125	4 1 2 4 1 1 2 4 4 1 1 1 2 1
$2\text{H}_2\text{O}$						

	2,059	4	1,489	2	1,118	5
Церий- $\alpha$ -Cc	2,97	100	1,481	28	1,049	8
	2,57	60	1,288	12	0,990	4
	1,815	40	1,179	16	0,910	4
	1,550	40	1,143	12		
$CeO_2$	3,11	100	1,237	25	0,899	2
	2,69	25	1,207	16	0,853	4
	1,90	80	1,101	20	0,816	2
	1,62	60	1,037	18	0,756	4
	1,55	10	0,954	4	0,722	4
	1,347	10	0,912	14	0,703	2
$CeCl_3$	8,6	12	3,82	30	2,30	8
	7,9	8	3,31	20	2,21	30
	6,8	100	3,17	12	2,08	2
	5,7	6	3,07	2	2,01	8
	5,3	30	2,83	12	1,93	8
	5,0	12	2,63	16	1,89	8
	4,50	16	2,53	4	1,82	4
	4,30	30	2,48	16	1,73	8
	3,99	25	2,38	10	-	-
$Ce(NO_3)_3 \cdot 6H_2O$	11,5	24	4,39	100	2,53	48
	10,0	16	3,97	80	2,45	40
	8,7	16	3,80	48	2,41	32
	8,1	64	3,64	32	2,30	40
	6,8	80	3,35	64	2,25	40
	6,3	100	3,25	64	2,19	32
	5,8	64	3,00	32	2,11	64
	5,4	80	2,91	64	2,03	24
	5,2	48	2,84	64	2,00	16
	4,70	100	2,62	80	1,95	48
	-	-	-	-	1,86	32
$Ce(SO_4)_2 \cdot 4H_2O$	6,8	13	2,98	7	2,05	7
	5,8	5	2,91	3	2,00	10
	5,4	3	2,82	10	1,88	3
	4,65	100	2,70	13	1,83	7
	4,41	13	2,60	7	1,76	5
	3,96	7	2,48	3	1,67	5
	3,69	7	2,39	3	1,62	5
	3,45	17	2,33	3	1,54	3
	3,33	3	2,23	3	-	-
	3,22	33	2,10	10	-	-

Ce <sub>2</sub> SiO <sub>5</sub>	3,580 3,279 3,153 2,879 2,790 2,619 2,557 2,419 2,300 2,208 2,147 2,099 2,006 1,954 1,910	11 27 33 100 25 5 5 3 11 7 11 5 31 20 38	1,859 1,834 1,813 1,6856 1,6483 1,6380 1,5800 1,5660 1,5210 1,5097 1,4760 1,3943 1,3630 1,3450 1,3235	22 35 37 11 7 9 14 14 24 20 20 5 7 9 12	1,3105 1,2836 1,2625 1,2120 1,1932 1,1550 1,1412 1,0779 1,0672 1,0460 1,0309 1,0192 1,0068 - -	18 27 25 5 5 11 5 11 9 12 7 5 7 - -
Ce <sub>2</sub> Si <sub>2</sub> O <sub>7</sub>	3,760 3,353 3,258 3,138 3,067 2,842 2,684 2,657 2,506 2,395 2,297 2,175 2,156 2,1196 2,0260 1,9330	6 100 24 21 24 27 36 36 24 12 6 33 39 18 69 21	1,8930 1,8300 1,7260 1,6656 1,6120 1,5770 1,5500 1,5157 1,4728 1,4558 1,4256 1,4058 1,3770 1,3560 1,3240 1,2955	24 57 27 33 15 12 18 15 6 9 15 9 21 18 21 15	1,2798 1,2595 1,2355 1,2058 1,1688 1,1577 1,1290 1,1193 1,1045 1,0823 1,0700 1,0531 1,0412 1,0052 - -	27 24 21 9 27 21 18 18 12 15 24 21 9 12 - -
CeO <sub>1.6</sub> ·2TiO <sub>2</sub>	3,282 3,208 3,097 2,938 2,783 2,680 2,611 2,518 2,373 2,196	95 100 55 45 15 30 20 30 15 25	2,170 1,965 1,896 1,803 1,763 1,690 1,673 1,620 1,569 1,470	30 25 55 55 45 45 55 65 50 30	1,4368 1,4058 1,3850 1,3440 1,2378 1,2174 1,1787 1,1646 1,1038 1,0423	15 15 15 20 30 15 15 20 25 25
Ce <sub>2</sub> Ti <sub>3</sub> O <sub>8.7</sub>	3,90 3,503 2,752 2,243 1,934	10 10 100 20 65	1,743 1,583 1,372 1,294 1,228	10 55 30 5 25	1,172 1,123 1,080 1,039 -	10 10 5 30 -

Ce AlO <sub>3</sub>	3,75 2,64 2,20 1,90 1,70 1,55	1 5 4 4 2 5	1,34 1,26 1,20 1,14 1,10 1,05	4 4 5 3 2 2	1,01 0,910 0,887 0,864 0,841 -	5 2 4 2 4 -
Ce <sub>2</sub> O <sub>3</sub>	3,408 3,016 2,930 2,257 1,947 1,735 1,685	20 100 90 40 35 65 5	1,642 1,630 1,524 1,480 1,3898 1,3010 1,2535	45 45 30 15 15 20 20	1,2018 1,1810 1,1476 1,1330 1,0832 1,0587 1,0167	20 10 35 10 20 15 10
Ce <sub>2</sub> O <sub>3</sub> · 11Al <sub>2</sub> O <sub>3</sub>	3,67 2,76 2,62 2,47 2,28 2,20 2,12 2,00 1,85	20 45 85 70 30 35 65 55 15	1,81 1,71 1,575 1,538 1,459 1,388 1,349 1,316 1,288	10 25 60 100 5 35 5 35 5	1,230 1,185 1,160 1,143 1,120 1,107 1,080 1,042 1,032	20 10 10 15 15 16 10 35 35
Ce <sub>2</sub> Zr <sub>2</sub> O <sub>7</sub>	6,23 3,23 3,10 2,68 2,46 2,20 2,060 1,893 1,811	3 5 100 42 10 3 4 90 10	1,614 1,545 1,501 1,390 1,338 1,304 1,226 1,197 1,172	80 30 2 2 20 3 54 38 4	1,0926 1,0302 0,9463 0,9359 0,9047 0,8923 0,8462 0,8160 0,8068	40 45 20 2 30 20 15 10 10
Цералит – (Ce <sup>4+</sup> , Ca <sup>2+</sup> )· Al <sup>3+</sup> (O <sup>2-</sup> , F <sup>-</sup> ) <sub>3</sub>	3,7 2,9 2,61 2,16 2,06 1,85 1,66 1,52 1,48	1 2 5 4 2 4 2 5 1	1,38 1,32 1,24 1,20 1,13 1,11 1,08 1,04 1,00	1 4 4 5 3 2 2 2 5	0,936 0,909 0,885 0,861 0,838 0,816 0,802 -	1 2 4 2 4 2 2 -
Nd <sub>2</sub> O <sub>3</sub>	3,30 2,99 2,90 2,22 1,916 1,714 1,616 1,598 1,502	30 30 100 30 40 50 40 30 10	1,453 1,367 1,278 1,229 1,183 1,156 1,131 1,107 1,064	20 10 20 20 20 10 20 10 20	1,041 0,974 0,960 0,914 0,890 0,868 0,838 0,832 -	10 20 20 10 10 10 10 10 -

Nd <sub>2</sub> (SO <sub>4</sub> ) <sub>3</sub> · 5H <sub>2</sub> O	7,66 6,88 5,14 5,01 4,76 4,56 4,42	100 20 30 15 5 10 15	4,19 4,05 4,02 3,74 3,46 3,38 3,24	10 5 15 5 10 20 40	3,18 3,16 3,10 3,07 2,95 2,83 -	10 50 25 5 10 15 -
NdAlO <sub>3</sub>	3,74 2,64 2,15 1,86	40 100 43 55	1,66 1,53 1,33 1,32	33 61 23 25	1,25 1,09 - -	48 5 - -
Nd(OH) <sub>3</sub>	7,89 3,93 3,46 3,38 3,16 2,970	60 100 20 55 25 70	2,614 2,084 1,993 1,906 1,876 1,774	80 30 30 5 30 10	1,640 1,582 1,565 1,553 1,364 1,303	15 15 5 5 5 5
NdCl <sub>3</sub>	6,08 3,47 2,85 2,59 2,25 2,18 2,00 1,96 1,92 1,77	20 75 75 100 4 30 50 1 7 25	1,73 1,59 1,56 1,50 1,453 1,420 1,390 1,353 1,313 1,270	30 50 15 10 6 13 1 2 7 8	1,248 1,230 1,202 1,190 1,124 1,103 1,080 1,060 1,050 -	6 10 1 6 4 7 8 7 7 -
Nd <sub>2</sub> Ti <sub>3</sub> O <sub>7</sub>	3,900 3,488 2,733 2,240 1,931	10 10 100 25 50	1,728 1,578 1,368 1,289 1,220	10 65 30 5 25	1,168 1,118 1,072 1,034 -	5 10 5 35 -

Европий (III)	4,43	50	1,716	10	1,298	50
Оксид —	3,133	100	1,675	50	1,280	20
$\text{Eu}_2\text{O}_3$ (куб)	2,711	90	1,636	80	1,262	60
	2,557	50	1,601	60	1,246	70
	2,425	20	1,566	60	1,214	70
	2,312	50	1,536	40	1,200	20
	2,214	10	1,506	10	1,185	20
	2,127	70	1,477	50	1,172	60
	1,982	40	1,451	20	1,145	60
	1,918	80	1,379	40	1,121	60
	1,860	30	1,357	60	1,109	70
	1,806	10	1,337	60	-	-
	1,760	50	1,317	40	-	-
$\text{Eu}_2\text{O}_3$ (монооксид)	5,91	30	2,310	60	1,736	20
	4,988	10	2,268	40	1,704	80
	3,989	40	2,201	60	1,670	50
	3,408	50	2,175	30	1,660	30
	3,268	30	2,140	80	1,654	60
	3,176	80	2,054	10	1,640	20
	3,034	80	1,975	10	1,615	30
	2,965	100	1,923	80	1,592	20
	2,882	70	1,876	30	1,579	60
	2,832	80	1,859	20	1,549	60
	2,768	80	1,814	10	1,538	60
	2,652	20	1,798	60	1,526	60
	2,517	20	1,760	50	1,522	30
EuO	4,87	20	2,309	20	1,753	2
	4,01	50	2,294	25	1,705	8
	3,32	10	2,291	40	1,663	18
	3,26	70	2,207	6	1,640	16
	2,995	35	2,152	8	1,629	18
	2,940	16	2,126	20	1,621	25
	2,862	100	2,039	25	1,581	4
	2,824	80	2,010	25	1,562	14
	2,807	100	1,906	6	1,520	8
	2,718	4	1,873	6	1,500	4
	2,549	12	1,836	6	1,483	2
	2,428	4	1,824	14	1,458	4
	2,386	12	1,780	12	1,433	6

$\text{Eu}_3\text{O}_4$	5,05 3,86 3,35 3,18 3,01 2,934 2,895 2,872 2,795 2,551 2,375 2,337 2,324 -	2 8 4 6 70 100 50 14 10 16 6 4 6 -	2,225 2,079 2,076 2,043 2,015 1,984 1,866 1,847 1,748 1,725 1,717 1,693 1,681 -	2 14 12 12 2 2 10 4 4 20 8 6 20 -	1,678 1,647 1,602 1,572 1,559 1,527 1,513 1,507 1,503 1,491 1,468 1,433 1,404 1,102	18 2 2 2 2 4 2 8 6 4 8 2 2 32
$\text{Eu}(\text{OH})_3$	5,52 3,18 3,05 2,757 2,399 2,202 2,083 1,837 1,828 1,810	70 55 100 20 6 50 6 16 20 35	1,733 1,589 1,585 1,527 1,524 1,410 1,374 1,295 1,262 1,201	6 2 14 4 4 8 6 8 2 10	1,194 1,189 1,171 1,114 1,099 1,051 1,039 1,004 1,002 -	10 2 2 4 2 8 2 8 10 -
$3\text{Eu}_2\text{O}_3 \cdot 5\text{Ga}_2\text{O}_3$	5,063 4,384 3,314 3,099 2,773 2,531 2,432 2,264 2,192 2,012 1,829 1,790 1,7196 -	14 6 8 30 100 45 4 10 4 12 2 14 30 -	1,6874 1,6573 1,5749 1,5504 1,3866 1,3534 1,3374 1,3224 1,2796 1,2531 1,2162 1,1827 1,1517 -	4 35 6 14 10 18 4 8 2 2 2 2 18 -	1,1323 1,1049 1,0962 1,0713 1,0336 1,0196 1,0128 1,0060 0,9867 0,9627 0,9349 0,9244 0,9194 0,9142	8 4 6 2 4 6 4 8 4 1 6 10 1 6
$\text{Eu}_2\text{O}_3 \cdot \text{Al}_2\text{O}_3$	3,72 3,30 2,63 2,489 2,245 2,151 2,066 1,862 1,810 1,712	70 40 100 40 20 70 20 70 50 10	1,668 1,631 1,522 1,492 1,387 1,323 1,319 1,303 1,283 1,260	70 60 100 20 50 20 80 30 10 30	1,245 1,243 1,228 1,183 1,181 1,179 1,168 1,166 - -	20 70 50 30 50 90 70 60 - -

$\text{Eu}_2\text{O}_3$	2,76	42	2,095	59	1,563	31
$\text{EuAl}_2\text{O}_3$	2,73	35	2,066	39	1,529	61
	2,617	100	1,994	39	1,516	45
	2,602	24	1,851	25	1,452	14
	2,469	66	1,722	18	1,395	21
	2,355	17	1,699	18	1,385	48
	2,264	24	1,658	21	1,309	28
	2,137	36	1,589	34	1,234	24
	-	-	-	-	1,224	21
$\text{EuCa} \cdot \text{Al}_3\text{O}_7$	5,46	8	2,38	21	1,75	50
	5,09	15	2,29	12	1,68	9
	3,71	35	2,28	8	1,64	12
	3,46	5	2,18	12	1,52	44
	3,08	40	2,14	9	1,48	9
	2,86	100	2,04	33	1,45	9
	2,76	15	1,98	12	1,42	9
	2,54	9	1,92	24	1,38	35
	2,44	24	1,86	24	1,31	15
	2,41	21	1,82	12	1,28	9
	-	-	-	-	1,24	12
$\text{EuS}$	3,26	80	1,33	70	0,909	10
	2,94	100	1,22	70	0,920	50
	2,10	80	1,15	60	0,898	40
	1,80	60	1,05	20	0,861	10
	1,70	50	1,01	40	0,836	60
	1,49	50	0,997	50	0,828	60
	1,37	50	0,941	50	0,799	80
Гадалиний (III)-Оксид	5,900	3	2,961	100	2,258	5
$\text{Gd}_2\text{O}_3$	3,965	4	2,868	50	2,195	20
	3,396	10	2,820	75	2,131	45
	3,155	70	2,752	75	1,915	40
	3,028	60	2,308	10	1,784	25
$3\text{Gd}_2\text{O}_3$	4,53	20	2,301	15	1,7672	17
$\text{Ga}_2\text{O}_3$	4,11	13	2,241	17	1,7184	17
	3,204	14	2,199	13	1,6808	17
	3,054	100	2,032	39	1,6450	24
	3,025	57	2,005	30	1,5788	24
	2,990	27	1,9918	15	1,5456	17
	2,908	22	1,9027	15	1,5276	25
	2,824	29	1,8349	32	-	-
	2,630	17	1,8097	14	-	-
$\text{Gd}_3\text{Ga}_2$ $(\text{GaO}_4)_3$	5,05	16	2,77	100	1,53	40
	-	-	-	-	1,65	3

$\text{Gd}_2\text{O}_3\text{-Fe}_2\text{O}_3$	3,880 3,831 3,461 2,810 2,725 2,677 2,636 2,304 2,268 2,200 2,134 2,083 1,936	70 10 80 70 100 70 50 30 40 50 50 10 70	1,916 1,890 1,827 1,757 1,741 1,720 1,700 1,659 1,604 1,583 1,558 1,553 1,544	40 50 50 20 10 80 10 30 50 50 20 90 40	1,453 1,426 1,416 1,380 1,365 1,346 1,337 1,282 1,272 1,266 1,230 1,226 1,223	70 20 10 40 70 30 40 20 70 20 20 70 40
Иттербий(III) —Оксид	4,23 2,997 2,775 2,606 2,453 2,327 2,217 2,127	8 100 3 30 7 2 8 3	2,042 1,901 1,843 1,787 1,739 1,691 1,647 1,609	16 5 57 3 7 11 3 10	1,572 1,538 1,504 1,474 1,444 1,418 1,395 -	52 13 17 7 4 8 5 -
$2\text{Yb}_2\text{O}_3$ $\text{Al}_2\text{O}_3$	3,26 2,95 2,86 2,567 2,481 2,241	37 100 77 24 17 14	2,026 1,827 1,797 1,778 1,667 1,565	26 15 29 31 22 15	1,548 1,537 1,521 1,478 1,463 -	18 27 12 10 8 -
$3\text{Yb}_2\text{O}_3$ $5\text{Al}_2\text{O}_3$	4,18 3,20 3,16 2,92 2,64 2,414 2,155 1,914	19 30 21 31 100 29 24 59	1,752 1,712 1,644 1,616 1,585 1,485 1,326 1,295	18 22 56 21 53 30 14 39	1,265 1,223 1,166 1,104 1,085 1,051 0,887 0,8118	15 17 16 52 16 16 40 33
$\text{YbB}_{12}$	4,30 3,725 2,636 2,249 2,153 1,865 1,712 1,669 1,523 1,437	100 85 50 90 30 13 30 20 20 12	1,320 1,262 1,244 1,181 1,139 1,126 1,078 1,046 1,035 0,998	6 20 20 6 10 4 2 6 4 8	0,972 0,9336 0,9123 0,9056 0,8801 0,8623 0,8566 0,8350 0,8198 0,8149	18 2 4 4 10 6 2 2 10 10
	-	-	-	-	0,7962	4

Карбон - С (Алмаз)	2,05 1,26 1,072 0,885 0,813 0,721 0,680 0,625 0,597	100 50 40 10 25 40 20 10 20	0,558 0,538 0,507 0,496 0,473 0,462 0,442 0,432 0,417	15 6 3 8 20 15 5 3 12	0,409 0,397 0,389 0,378 0,372 0,363 0,358 - -	8 5 8 5 5 7 20 - -
С-(Графит)	3,38 2,12 2,02 1,69 1,227	100 5 10 10 18	1,150 1,120 1,049 1,991 0,828	9 1 1 3 1	0,796 0,707 0,695 - -	1 1 1 - -
Эвенкит - C <sub>21</sub> H <sub>48</sub>	9,36 4,66 4,183 3,744 3,348 3,024 2,783 2,627 2,515 2,461 2,415	1 5 10 9 1 5 3 1 7 2 4	2,245 2,150 2,124 2,079 2,015 1,914 1,866 1,751 1,718 1,658 1,623	8 3 6 3 3 5 3 6 1 5 3	1,571 1,515 1,460 1,426 1,386 1,299 1,243 1,214 1,116 1,102 1,026	1 4 2 2 3 4 4 4 4 2 3
Кертизит - C <sub>24</sub> H <sub>18</sub> O	18,1 9,4 8,4 6,23	10 1 5 2	5,62 5,06 4,59 4,09	7 10 5 9	3,78 3,42 - -	5 10 - -
[C <sub>2</sub> O <sub>4</sub> ]Ca· H <sub>2</sub> O	5,95 5,81 4,53 3,773 3,652 3,414 3,321 3,105 3,002 2,971 2,906 2,842 2,639	100 5 5 5 90 1 1 5 1 50 10 10 1	2,497 2,455 2,422 2,388 2,357 2,262 2,213 2,135 2,076 1,978 1,955 1,930 1,891	20 1 1 1 80 20 5 1 10 5 5 5 5	1,850 1,848 1,826 1,818 1,794 1,737 1,693 1,644 1,588 1,552 1,528 1,505 1,480	1 1 1 1 1 1 1 1 1 1 1 1 1
	-	-	-	-	1,458	1

Кремний Si	3,138 1,920 1,638 1,357	100 60 35 8	1,246 1,1083 1,0450 0,9599	13 17 9 5	0,9178 0,8586 0,8281 -	11 9 5 -
$\beta$ – кварц $SiO_2$	4,25 3,35 2,45 2,29 2,23 2,12 1,97 1,82	25 100 15 10 6 9 8 25	1,66 1,54 1,450 1,375 1,299 1,256 1,228 1,200	8 20 2 25 4 3 3 6	1,180 1,155 1,080 1,048 1,035 1,015 -	8 1 4 2 1 1 – –
$\alpha$ – кварц $SiO_2$	4,43 3,42 2,55 2,30 2,22 2,05 -	60 100 60 40 60 60 -	1,85 1,71 1,57 1,421 1,393 1,292 -	90 40 80 80 80 60 -	1,277 1,225 1,296 1,190 1,113 1,105 1,044	60 40 60 40 20 20 20
$\gamma$ – тридимит $SiO_2$	4,30 4,08 3,81 3,43 3,21 2,96 2,80 2,49	100 33 67 1 1 17 3 27	2,305 2,080 1,840 1,690 1,635 1,598 1,530 1,439	11 5 3 8 4 4 5 3	1,399 1,360 1,305 1,244 1,192 1,153 1,097 -	7 3 4 3 5 3 1 –
$\alpha$ – триди- мит- $SiO_2$	4,39 4,12 3,73 3,23 2,94 2,77 2,49 2,28 2,11	10 10 9 5 5 2 7 5 2	2,07 1,95 1,88 1,77 1,69 1,62 1,591 1,528 1,432	2 5 2 2 7 5 5 7 5	1,394 1,371 1,336 1,305 1,243 1,226 1,196 1,153 1,096	5 2 2 5 2 2 6 5 2
Юкори хароратли кристобалит- $SiO_2$	4,15 2,92 2,53 2,17 2,07 1,99	100 5 80 10 30 5	1,793 1,688 1,639 1,469 1,379 1,265	5 5 60 50 20 30	1,209 1,130 1,089 1,029 1,000 0,956 0,929	30 20 5 5 10 10 10

Паст	4,04	100	1,692	3	1,345	1
ҳароратли	3,138	12	1,642	1	1,336	1
$\beta$ – кристо-	2,845	14	1,612	5	1,301	2
балит-	2,489	18	1,604	2	1,282	2
$\text{SiO}_2$	2,468	6	1,574	1	1,235	1
	2,342	1	1,535	2	1,224	1
	2,121	4	1,495	3	1,207	1
	2,024	3	1,432	2	1,1842	2
	1,932	4	1,423	1	1,1762	1
	1,874	4	1,401	1	1,1659	1
	1,756	1	1,368	1	1,1556	1
	1,736	1	1,353	1	1,1112	1
	-	-	-	-	1,0989	3
Китит-	7,46	10	2,516	5	1,667	5
$\text{SiO}_2$	5,64	5	2,246	5	1,636	5
	5,28	5	2,174	5	1,589	5
	4,50	20	2,148	5	1,562	5
	3,72	70	2,067	5	1,489	5
	3,42	100	1,988	5	1,441	5
	3,33	20	1,879	5	1,412	5
	3,11	20	1,864	10	1,389	5
SiC	2,51	100	1,087	6	0,768	2
	2,17	20	0,998	18	0,735	6
	1,54	63	0,972	6	0,724	2
	1,310	50	0,887	13	0,688	3
	1,255	5	0,837	10	0,663	1
ZrSi <sub>2</sub>	7,372	Ж.кз.	1,821	У.	1,228	У.
	3,682	Кз.	1,639	Ku.	1,204	Ж.кз.
	3,600	Кз.	1,615	Кз.	0,915	Кз.
	3,279	Ku.	1,589	Кз.	0,908	Ж.кз.
	2,960	Кз.	1,527	У.	0,888	У.
	2,563	Ku.	1,509	Ж.кз.	0,874	Кз.
	2,456	У.	1,473	У.	0,868	У.
	2,299	Ж. ку.	1,434	У.	0,857	Ж.кз.
	2,039	У.	1,386	Кз.	0,854	У.
	1,953	Кз.	1,303	У.	0,850	Кз.
	1,841	У.	1,259	Кз.	0,843	У.
Германий	3,266	100	1,298	10	0,956	11
Ge	2,000	57	1,155	17	0,895	6
	1,706	39	1,089	7	0,863	4
	1,414	7	1,000	3	0,817	2
	-	-	-	-	0,792	8
GeO <sub>2</sub>	4,31	20	1,87	25	1,386	8
	3,41	100	1,71	12	1,339	10
	2,48	14	1,62	2	1,301	2
	2,35	25	1,56	25	1,277	10
	2,28	16	1,495	8	1,248	2
	2,15	20	1,445	4	1,228	6
	2,00	2	1,410	25	-	-

GeJ <sub>4</sub>	6,95 5,384 4,918 3,4740 3,0104 2,6270	4 8 12 100 41 4	2,5679 2,3605 2,1286 1,8148 1,7652 1,7378	3 4 35 27 3 7	1,5047 1,3812 1,3466 1,2287 1,1585 -	4 7 6 5 3 -
Ge <sub>3</sub> Bi <sub>4</sub> O <sub>12</sub>	4,24 3,26 2,76 2,59 2,12 2,04 1,915	Y. Ku. Ku. Y. Y. Y. K <sub>3</sub> .	1,798 1,704 1,661 1,619 1,548 1,514 1,486	Y. Y. Y. Y. Y. K <sub>3</sub> . Y.	1,431 1,404 1,335 1,296 1,258 -	Y. Y. Y. Y. K <sub>3</sub> . -
GeO <sub>2</sub> . 2ZnO	4,10 3,54 2,89 2,69 2,38 2,04 1,96 1,87 1,73 1,66 1,63	60 80 100 100 80 40 40 100 40 40 60	1,58 1,55 1,50 1,44 1,42 1,38 1,36 1,28 1,25 1,22 1,19	60 60 10 100 20 80 80 20 20 40 40	1,17 1,14 1,11 1,08 1,07 1,05 1,02 1,01 0,998 0,983 -	20 40 40 10 20 10 60 20 20 10 -
7GeO <sub>2</sub> . 2Fe <sub>2</sub> O <sub>3</sub>	3,342 3,077 3,037 2,960 2,602 2,518 2,324 2,260	80 60 100 90 70 90 10 10	2,036 1,859 1,735 1,692 1,650 1,601 1,575 1,549	50 40 10 60 60 10 20 70	1,470 1,427 1,364 1,335 1,289 1,255 -	30 80 10 10 10 10 -
Қалай – α- Sn	3,751 2,294 1,956 1,622 1,489	100 83 53 12 20	1,325 1,249 1,1470 1,0968 1,0260	21 11 6 10 9	0,9895 0,9365 0,9087 0,8671 0,8450	4 3 7 13 12
β - Sn	2,91 2,79 2,05 2,01 1,65 1,480	100 80 32 80 24 24	1,450 1,298 1,200 1,092 1,040 1,022	20 16 20 11 8 6	0,980 0,927 0,885 0,847 0,805 -	3 6 2 3 2 -

SnO	4,85	10	1,225	4	0,9674	1
	2,989	100	1,209	3	0,9507	3
	2,688	37	1,202	4	0,9371	3
	2,418	14	1,1747	6	0,9056	4
	2,039	1	1,1697	8	0,8988	4
	1,901	13	1,1520	1	0,8824	5
	1,797	27	1,1026	4	0,8524	4
	1,604	25	1,0766	6	0,8503	4
	1,494	11	1,0303	4	0,8405	6
	1,484	12	1,0201	3	0,8062	1
	1,382	3	0,9965	1	0,8020	1
	1,344	5	0,9852	1	0,8002	1
SnO <sub>2</sub>	3,34	100	1,412	15	1,035	2
	2,64	63	1,315	6	0,948	8
	2,36	18	1,213	10	0,929	1
	1,75	63	1,180	2	0,905	4
	1,67	10	1,150	6	0,880	4
	1,58	5	1,110	3	0,845	2
	1,492	10	1,085	8	-	-
	1,435	10	1,057	3	-	-
Sn <sub>3</sub> (PO <sub>4</sub> ) <sub>2</sub>	6,9	7	2,68	27	1,90	17
	6,1	3	2,48	27	1,77	33
	4,39	33	2,39	17	1,71	7
	3,98	100	2,30	20	1,65	7
	3,42	20	2,06	3	1,482	7
	3,11	100	2,01	13	1,445	8
	2,78	20	1,96	17	-	-
Кўргошин – Pb	2,85	100	1,490	50	1,105	17
	2,47	50	1,428	17	-	-
	1,74	50	1,134	17	-	-
PbO (сарик)	5,893	6	2,278	1	1,724	15
	3,067	100	2,203	1	1,640	13
	2,946	31	2,008	12	1,596	1
	2,744	28	1,963	2	1,534	9
	2,493	1	1,850	14	1,514	2
	2,377	20	1,797	14	1,474	11
PbO (қизил)	5,018	5	1,872	37	1,282	2
	3,115	100	1,675	24	1,256	3
	2,809	62	1,558	6	1,226	4
	2,510	18	1,542	11	1,219	5
	2,124	1	1,438	2	1,1977	1
	1,988	8	1,405	5	1,1462	2

<b>PbO<sub>2</sub></b>	3,49 2,78 2,46 1,84 1,74 1,68	100 100 28 100 20 8	1,56 1,51 1,480 1,390 1,268 1,210	20 24 24 12 16 8	1,145 1,125 1,000 0,948 - -	8 8 12 4 - -
<b>Pb<sub>3</sub>O<sub>4</sub></b>	3,35 2,88 2,76 2,62 1,95 1,89 1,82 1,74 1,62	100 43 43 28 14 28 28 43 14	1,58 1,51 1,405 2,89 2,84 2,80 2,74 2,64 2,60	14 14 14 55 65 31 68 38 42	2,47 2,41 2,35 2,05 1,95 1,89 1,87 1,84 -	30 46 29 22 56 10 24 15 -
<b>PbCO<sub>3</sub></b>	4,427 4,255 3,593 3,498 3,074 2,893 2,644 2,589	17 7 100 43 24 2 2 11	2,522 2,487 2,213 2,129 2,081 2,009 1,981 1,933	20 32 7 2 27 11 9 19	1,859 1,847 1,796 1,750 1,693 1,642 1,632 1,615	21 8 4 2 1 2 6 2
<b>2PbO·ZnO·2SiO<sub>2</sub></b>	5,26 4,01 3,85 3,58 3,19 2,96 2,83 2,63 2,53 2,28 2,20	50 20 20 35 75 100 15 30 25 8 8	2,12 1,943 1,928 1,887 1,868 1,823 1,777 1,752 1,575 1,562 1,533	35 18 8 14 8 40 20 6 16 15 8	1,489 1,432 1,336 1,331 1,302 1,296 1,285 1,232 1,219 1,192 -	5 10 8 8 12 8 10 10 10 8 -
<b>PbO·TiO<sub>2</sub></b>	3,83 3,54 3,01 2,81 2,74 2,45 2,28 2,05 2,01 1,93	4 2 1 10 6 1 8 2 1 7	1,73 1,64 1,59 1,51 1,41 1,38 1,35 1,33 1,29 1,23	1 4 9 1 5 4 1 5 5 3	1,118 1,115 1,112 1,096 1,080 1,057 1,044 1,012 1,000 -	5 5 2 2 9 9 9 2 2 -

Pb <sub>5</sub> [AsO <sub>4</sub> ,PO <sub>4</sub> ] <sub>3</sub> ·Cl	4,36 4,13 3,67 3,38 3,28 3,00	1 4 1 4 6 10	2,96 2,91 2,24 2,08 2,03 1,97	10 8 4 8 4 6	1,94 1,91 1,88 1,84 - -	6 6 6 6 - -
PbFe <sub>2</sub> [AsO <sub>4</sub> ] <sub>2</sub> ·(OH) <sub>2</sub>	6,01 4,59 4,52 4,18 3,52 3,31 3,24 3,07	6 6 1 6 8 1 10 6	3,04 2,96 2,81 2,73 2,55 2,46 2,45 2,32	6 8 6 6 10 4 4 1	2,31 1,91 1,81 1,73 1,68 1,61 - -	1 6 6 1 1 4 - -
Дюофлит – PbCu[AsO <sub>4</sub> ] ·(OH)	5,01 4,76 4,18 4,00 3,78 3,51 3,32	2 1 6 1 2 2 1	3,17 2,94 2,91 2,63 2,52 2,42 2,32	10 1 8 9 2 2 1	2,26 2,08 1,861 1,745 1,635 1,584 1,559	5 4 7 6 8 4 4
Титан-Ti	2,556 2,341 2,241 1,728 1,477	40 40 100 40 40	1,336 1,249 1,233 1,176 1,125	50 40 30 10 10	1,065 0,989 0,942 0,917 0,880	20 30 30 30 10
TiO <sub>2</sub> (анатаз)	3,52 2,37 1,88 1,70 1,66	100 24 40 28 24	1,480 1,362 1,335 1,262 1,164	24 8 8 11 6	1,045 0,950 0,913 0,894 -	3 2 2 2 -
TiO <sub>2</sub> (рутгил)	3,24 2,49 2,29 2,19 2,05 1,69 1,62 1,485	80 60 4 30 12 100 30 20	1,449 1,355 1,245 1,170 1,147 1,091 1,040 0,964	20 30 4 8 4 8 8 4	0,903 0,890 0,875 0,843 0,832 0,822 - -	2 8 4 2 4 4 - -
TiO <sub>2</sub> (брекит)	3,46 3,22 2,87	6 10 6	2,45 2,17 1,881	8 4 4	1,681 1,619 1,356	10 6 8
Брауннерит – UTi <sub>2</sub> O <sub>6</sub>	3,42 3,32 2,455	10 6 7	2,276 1,903 1,861	7 8 6	1,623 - -	6 - -

Титанит- CaTi[SiO <sub>4</sub> ]O	3,21 2,97 2,59	9 7 10	1,647 1,498 1,135	8 8 7	1,110 - -	7 - -
Циркелит- CaZrTi <sub>2</sub> O <sub>7</sub>	2,96 2,83	10 3	2,53 1,817	2 3	1,752 -	3 -
Чевкинит- Ce <sub>4</sub> (Fe,Ti) <sub>3</sub> · [TiO <sub>4</sub> ] <sub>2</sub> · [Si <sub>2</sub> O <sub>7</sub> ] <sub>2</sub>	3,156 2,850	8 7	2,702 2,600	10 5	2,163 1,960	8 8
Эвксенит- Y(Nb,Ta,Ti) <sub>2</sub> · (O,OH) <sub>6</sub>	3,66 2,98	5 10	2,43 1,823	4 5	1,723 1,487	5 5
Цирконий — Zr	2,798 2,573 2,459 1,894 1,616 1,463 1,399 1,368 1,350	33 32 100 17 17 18 3 18 12	1,287 1,2296 1,1689 1,0842 1,0588 1,0360 1,0063 0,9783 0,9660	4 4 3 4 2 6 3 2 4	0,9474 0,9327 0,9003 0,8771 0,8577 0,8292 0,8201 - -	2 3 5 3 1 2 2 - -
ZrO <sub>2</sub>	5,1 3,69 3,19 2,85 2,63 2,55 2,34 2,21 2,01 1,85	5 24 100 80 32 16 8 24 16 32	1,81 1,70 1,66 1,62 1,59 1,55 1,51 1,486 1,426 1,363	40 20 24 5 6 24 8 16 16 5	1,330 1,307 1,270 1,219 1,167 1,113 1,036 1,001 - -	8 3 12 5 6 6 4 6 - -
ZrO <sub>2</sub> ·SiO <sub>2</sub>	4,434 3,302 2,650 2,518 2,336 2,217 2,066 1,908 1,751 1,712	45 100 7 45 10 8 20 14 11 40	1,651 1,547 1,495 1,477 1,381 1,362 1,290 1,259 1,248 1,1883	14 4 3 8 10 7 5 8 3 11	1,1672 1,1079 1,1006 1,0682 1,0590 1,0506 1,0442 1,0015 0,9745 0,9713	2 5 5 1 7 7 5 1 5 5

Zr(NO <sub>3</sub> ) <sub>4</sub> 5H <sub>2</sub> O	9,6 6,9 6,1 5,2 4,73 4,21 3,64 3,49 3,25 3,03	100 100 5 10 50 18 20 15 38 10	2,56 2,43 2,33 2,17 2,13 2,07 1,98 1,91 1,81 1,74	18 15 15 15 15 13 13 8 10 8	1,70 1,64 1,59 1,55 1,51 1,476 1,390 1,360 1,295 1,228	5 10 3 5 3 3 3 5 3 3
Гафний – Hf	2,768 2,531 2,428 1,866 1,599 1,440 1,385 1,351	27 34 100 16 14 16 2 16	1,336 1,256 1,214 1,1303 1,0697 1,0464 1,0247 0,9917	12 4 3 3 4 1 6 5	0,9671 0,9502 0,9336 0,8891 0,8668 0,8428 0,8168 0,8060	2 5 3 5 4 1 2 3
HfO <sub>2</sub>	5,07 3,68 3,61 3,15 2,82 2,59 2,52 2,48 2,32 2,196 2,171 2,006 1,981 1,838 1,807 1,794 1,768	20 40 30 100 100 60 50 20 50 60 30 30 40 20 60 30 30	1,684 1,653 1,634 1,600 1,580 1,533 1,501 1,486 1,467 1,439 1,410 1,352 1,318 1,299 1,295 1,263 1,256	50 60 40 40 30 50 40 40 50 30 50 20 40 30 30 20	1,237 1,203 1,172 1,160 1,153 1,143 1,134 1,121 1,108 1,099 1,084 1,070 1,049 1,039 1,025 - -	10 30 10 10 10 10 10 10 10 10 10 10 10 10 10 10 -

HfOCl <sub>2</sub> 8H <sub>2</sub> O	12,1 8,51 7,03 6,03 5,39 4,74 4,57 4,42 4,27 4,138 4,027 3,855 3,818	100 20 65 10 8 2 2 6 2 6 50 12 12	3,676 3,512 3,418 3,444 3,168 3,120 3,068 3,017 2,926 2,842 2,806 2,781 2,736	14 2 18 2 12 30 2 18 6 6 4 2 8	2,712 2,636 2,556 2,542 2,517 2,447 2,412 2,375 2,340 2,325 2,289 2,259 2,242	2 2 4 8 2 4 2 4 4 4 2 10 6
NH <sub>4</sub> F	3,85 3,59 3,39 2,62 2,22	100 60 60 20 60	2,02 1,88 1,490 1,450 1,420	40 16 4 2 2	1,340 1,270 1,240 - -	4 2 4 - -
NH <sub>4</sub> Cl	3,85 2,72 2,22 1,92 1,72	15 100 2 12 8	1,57 1,370 1,288 1,221 1,165	25 5 3 7 1	1,115 1,033 0,912 0,864 -	1 4 1 1 -
NH <sub>4</sub> NO <sub>3</sub>	4,93 3,95 3,09 2,86 2,72 2,47 2,38	40 50 100 5 75 13 10	2,25 2,10 1,97 1,83 1,78 1,73 1,63	75 5 5 5 6 5 9	1,57 1,51 1,495 1,463 1,430 - -	10 10 10 15 5 - -
(NH <sub>4</sub> )HSO <sub>4</sub>	4,75 3,90 3,69 3,15 3,06 2,84 2,61	100 83 100 40 40 40 100	2,43 2,35 2,24 2,18 2,11 2,01 1,95	27 7 13 13 20 7 27	1,87 1,80 1,66 1,62 1,58 1,493 -	7 20 13 13 7 27 -
(NH <sub>4</sub> ) <sub>3</sub> AlF <sub>6</sub>	4,85 4,20 2,969 2,535 2,423 2,100 1,928 1,879	100 66 50 25 83 100 2 3	1,717 1,614 1,485 1,420 1,329 1,269 1,213 1,189	1 83 50 33 17 1 2 33	1,166 1,123 1,093 0,991 0,970 0,940 0,895 -	4 17 17 3 8 3 3 -

$(\text{NH}_4)_2\text{Cr}_2\text{O}_7$	6,6 5,1 3,77 3,37 3,04 2,77	58 100 16 83 40 27	2,48 2,33 2,05 2,00 1,92 1,87	30 18 25 10 10 10	1,82 1,50 1,465 1,425 1,350 1,290	25 10 10 10 7 7
Фосфор-Р-қизил	4,22 3,64	100 60	3,24 2,59	60 60	2,32 -	30 -
Фосфор-Р-қора	5,24 3,36 2,62 2,56 2,25 2,19 2,11 1,80	30 80 60 100 20 10 10 20	1,75 1,640 1,618 1,483 1,400 1,364 1,330 1,300	20 80 70 20 40 10 10 10	1,270 1,249 1,200 1,180 1,156 1,067 1,062 -	10 20 30 10 40 40 50 -
$\text{P}_2\text{O}_5$	5,4 5,2 3,72 3,39 3,27 3,15 3,02 2,57 2,43 2,32 2,24 2,11 2,06	100 53 4 11 33 20 53 8 17 8 33 3 3	2,00 1,95 1,79 1,75 1,69 1,67 1,63 1,59 1,56 1,52 1,485 1,428 1,401	1 23 3 1 1 2 1 1 1 4 5 3 3	1,357 1,335 1,299 1,266 1,252 1,236 1,210 1,185 1,155 1,140 1,124 1,099 1,084	1 3 7 3 3 3 1 3 1 1 2 1 1
$\text{PCl}_5$	6,7 5,8 4,98 4,69 3,98 3,66 3,47 2,95 2,87	3 13 100 75 20 5 15 50 25	2,78 2,44 2,32 2,19 2,08 2,01 1,94 1,86 1,82	100 20 10 10 5 15 13 3 3	1,79 1,67 1,60 1,57 1,472 1,420 1,300 1,212 -	5 3 13 5 5 5 3 3 -

(PNCL <sub>2</sub> ) <sub>4</sub>	7,63 5,25 4,72 4,00 3,83 3,77 3,43 3,23 3,10 2,98	39 26 2 5 55 11 100 8 8 18	2,88 2,71 2,68 2,54 2,47 2,42 2,40 2,35 2,30 2,25	6 9 13 7 3 6 6 5 2 1	2,12 2,04 2,01 1,953 1,910 1,859 1,759 1,713 1,670 1,631	8 2 2 1 1 1 3 13 3 3
Мишъяк - As	3,555 3,180 2,780 2,054 1,891 1,781 1,764 1,662 1,562 1,387	76 100 4 12 8 16 16 48 32 20	1,368 1,286 1,223 1,201 1,182 1,119 1,107 1,088 1,068 1,041	20 28 92 24 84 36 36 56 60 80	1,023 0,998 0,955 0,942 0,929 0,922 0,908 0,891 0,854 -	96 40 64 72 44 44 88 52 68 -
As <sub>2</sub> O <sub>3</sub>	6,3 3,18 2,75 2,53 2,24 2,12	56 100 24 32 8 16	1,95 1,66 1,59 1,54 1,438 1,343	24 16 8 16 8 8	1,301 1,266 1,205 1,064 -	8 8 8 8 -
As <sub>2</sub> O <sub>5</sub>	7,1 5,6 4,88 4,91 3,58 3,40 3,21	30 30 100 10 60 60 20	3,05 2,70 2,62 2,34 2,26 2,18 2,10	50 20 40 10 20 20 10	2,02 1,89 1,84 1,77 1,71 -	10 10 10 10 20 -
As <sub>2</sub> S <sub>3</sub>	4,82 4,42 4,00 3,70 3,19 3,05 2,85	100 7 47 47 20 13 47	2,70 2,55 2,45 2,31 2,12 2,07 2,02	53 7 47 13 13 13 7	1,91 1,85 1,74 1,68 1,64 -	13 13 13 27 7 -

AsI <sub>3</sub>	7,15 5,40 3,578 3,536 3,220 2,538 2,0800	1 12 49 2 100 20 31	1,9880 1,7984 1,7880 1,7477 1,6096 1,6014 1,4986	15 16 2 10 6 5 1	1,4375 1,3558 1,3376 1,2687 1,1914 - -	4 5 6 4 1 - -
Cурма - Sb	3,71 3,10 2,24 2,14 1,86 1,76 1,55	15 100 63 63 15 44 20	1,470 1,410 1,360 1,310 1,258 1,243 1,215	13 20 25 8 15 10 3	1,190 1,120 1,075 1,047 1,031 - -	3 3 10 3 8 - -
Sb <sub>2</sub> O <sub>3</sub>	6,4 3,22 2,78 2,56 1,96 1,68	10 100 30 8 50 50	1,61 1,56 1,450 1,394 1,355 1,283	10 10 2 6 4 15	1,247 1,217 1,184 1,138 1,073 -	10 1 1 4 8 -
Sb <sub>2</sub> O <sub>4</sub>	3,49 3,44 3,07 2,93 2,65 2,46 2,39 2,22 1,990	1 33 100 23 17 3 7 1 2	1,856 1,778 1,719 1,683 1,633 1,568 1,525 1,475 1,428	20 17 27 3 7 1 2 15 12	1,371 1,323 1,251 1,199 1,157 1,112 1,055 1,012 0,995	1 9 8 5 7 15 8 3 4
Sb <sub>2</sub> O <sub>5</sub>	6,0 3,10 2,97 2,58 2,36 1,98	100 80 80 16 4 16	1,82 1,73 1,55 1,480 1,440 1,340	50 16 36 8 8 12	1,180 1,150 1,075 1,075 1,048 0,990	8 4 4 4 4 -

Sb <sub>2</sub> (SO <sub>4</sub> ) <sub>3</sub>	5,4 5,2 4,25 3,45 3,30 3,15 2,90 2,80 2,69 2,61	20 15 100 3 31 50 15 3 20 10	2,46 2,41 2,34 2,27 2,13 2,04 1,97 1,89 1,82 1,78	3 5 10 5 18 31 8 18 15 3	1,70 1,65 1,57 1,51 1,475 1,420 1,370 1,320 1,260 -	5 5 5 3 8 5 5 5 5 -
Висмут – Bi	3,28 2,35 2,27 2,01 1,96 1,86	100 50 50 7 13 30	1,63 1,54 1,490 1,440 1,327 1,180	20 3 20 27 13 3	1,135 1,089 1,073 1,045 1,020 -	10 7 7 3 3 -
Bi <sub>2</sub> O <sub>3</sub>	3,42 3,25 2,69 2,54 2,39 2,03 1,95	5 100 88 5 15 5 25	1,87 1,82 1,75 1,66 1,58 1,490 1,395	15 5 20 10 10 10 5	1,305 1,270 1,225 1,195 1,120 - -	5 5 5 5 5 - -
Bi <sub>2</sub> O <sub>3</sub> ·P <sub>2</sub> O <sub>5</sub>	4,68 4,20 3,52 3,30 3,08 2,87	40 60 20 20 100 100	2,60 2,45 2,33 2,18 2,12 1,95	20 20 20 20 20 20	1,81 1,73 1,58 1,53 - -	40 40 20 40 - -
Bi <sub>2</sub> O <sub>4</sub> ·2H <sub>2</sub> O	3,73 3,20 2,95	17 17 100	2,74 2,14 1,93	33 17 17	1,75 1,62 -	17 33 -
BiO <sub>2</sub> ·CrO <sub>4</sub>	10,5 4,90 3,55 3,20 2,93	50 5 5 100 5	2,80 2,70 2,58 2,40 2,32	5 5 10 5 5	2,05 1,88 1,65 1,58 -	5 5 5 10 -

$\text{Bi}_2(\text{SO}_4)_3$	5,6 5,2 4,30 3,36 3,13 2,94 2,74 2,62	75 75 100 37 50 13 75 25	2,45 2,36 2,17 2,07 1,99 1,91 1,87 1,71	13 13 25 25 13 13 13 13	1,67 1,60 1,53 1,490 1,440 1,360 1,225 -	13 13 13 13 13 13 13 -
Ванадий — V	2,14 1,51 1,236	100 7 20	1,072 0,958 0,875	3 3 1	0,810 0,759 0,714	3 1 1
$\text{V}_2\text{O}_3$	3,65 2,70 2,47 2,32 2,18 2,03 1,83	60 80 60 2 20 2 25	1,69 1,61 1,57 1,470 1,429 1,330 1,235	100 2 3 25 30 10 4	1,218 1,193 1,170 1,125 1,093 1,057 -	2 2 6 3 6 6 -
$\text{V}_2\text{O}_5$	5,7 4,38 4,09 3,39 2,87	33 100 13 83 53	2,76 2,68 2,61 2,18 1,99	13 7 13 7 7	1,92 1,86 1,77 1,65 1,56	13 7 10 7 7
VC	2,40 2,07 1,469 1,251	100 100 50 25	1,199 1,039 0,952 0,929	10 5 5 10	0,849 0,800 -	5 3 -
$\text{VCl}_5$	11,4 5,6 5,2 4,30 4,00 3,68 3,50 3,30 3,11 3,01	100 100 5 25 18 5 10 8 3 3	2,78 2,63 2,52 2,42 2,34 2,24 2,15 2,00 1,93 1,82	75 25 25 3 3 8 8 10 5 5	1,67 1,63 1,55 1,51 1,440 1,390 1,330 1,260 -	10 10 3 8 3 3 3 3 -

(VO) <sub>2</sub> (SO <sub>4</sub> ) <sub>3</sub> 16H <sub>2</sub> O	6,3 5,8 5,4 5,1 4,55 4,35 3,90 3,70 3,51	32 32 32 8 100 50 24 16 50	3,30 3,16 3,04 2,82 2,70 2,64 2,47 2,34 2,18	28 16 28 28 24 28 12 20 20	2,03 1,98 1,92 1,88 1,75 1,64 1,55 1,450 -	8 8 20 8 4 4 4 6 -
Ниобий - Nb	2,33 1,65 1,34	100 20 32	1,16 1,041 0,950	6 10 1	0,879 0,775 0,736	6 2 1
Nb <sub>2</sub> O <sub>5</sub>	5,181 5,049 4,678 4,081 3,955 3,781 3,703 3,571 3,455 3,390 3,322 3,216 3,054	20 50 10 10 10 20 100 100 100 20 50 10 10	2,814 2,747 2,686 2,603 2,518 2,461 2,426 2,306 2,068 2,039 1,986 1,901 1,850	100 100 100 1 50 50 10 50 100 100 10 100	1,811 1,773 1,740 1,728 1,706 1,674 1,646 1,610 1,589 1,575 1,553 1,523 1,511	20 20 50 20 10 100 1 20 100 100 50 50 10
NbCl <sub>5</sub>	8,88 6,19 5,78 5,34 4,95 4,46 4,27 3,61	16 10 100 50 40 40 25 10	3,31 2,93 2,81 2,72 2,61 2,55 2,515 2,456	10 10 10 95 10 10 5 10	2,354 2,123 1,914 1,881 1,779 1,766 -	5 35 15 5 15 25 - -
Nb <sub>2</sub> O <sub>5</sub> · MnO	7,3 3,84 3,694 3,608 2,990 2,881 2,754	20 20 100 40 100 60 40	2,703 2,541 2,501 2,405 2,245 2,221 2,090	100 100 100 40 20 40 60	2,080 2,050 2,000 1,950 1,903 1,845 1,784	10 10 10 10 60 60 60

$\text{Nb}_2\text{O}_5$	4,58	10	2,759	20	2,162	60
$\text{Fe}_2\text{O}_3$	3,740	10	2,497	100	2,045	60
	3,582	100	2,446	60	2,015	40
	2,907	100	2,322	60	1,973	40
	2,806	10	2,196	40	1,864	60
	-	-	-	-	1,788	60
Тантал – Ta	2,33	100	1,346	30	1,042	5
	1,65	20	1,165	5	0,881	5
$\text{Ta}_2\text{O}_5$	6,2	3	2,81	58	1,71	7
	5,7	17	2,61	23	1,66	10
	4,48	3	2,45	3	1,62	27
	3,96	100	2,29	3	1,52	3
	3,49	27	2,15	3	1,470	5
	3,23	23	1,98	42	1,400	5
	3,05	33	1,87	17	1,360	5
	2,95	13	1,77	50	1,322	13
$\text{TaO}_x$	2,374	50	1,399	40	0,962	30
	2,327	100	1,184	10	0,892	30
	1,678	50	1,170	30	0,881	30
	1,626	30	1,058	30	-	-
	1,364	60	1,035	30	-	-
$\text{TaO}_x$	2,411	100	1,415	40	1,014	30
	2,287	50	1,334	60	0,966	30
	1,795	40	1,190	30	0,923	30
	1,627	40	1,143	20	0,896	30
	1,594	40	1,125	20	0,866	30
$\text{TaO}_2$	4,719	60	1,927	50	1,309	30
	2,722	100	1,669	70	1,285	20
	2,521	10	1,572	40	1,261	20
	2,352	60	1,491	10	1,146	30
	2,229	30	1,458	30	1,114	50
	2,112	30	1,423	40	1,084	30
	2,012	20	1,396	20	-	-
(Ta, Co, Ge) O	2,384	100	2,008	80	1,430	50
	2,357	50	1,950	20	1,417	20
	2,270	100	1,826	20	1,278	50
	2,225	50	1,768	20	-	-

Xром-Cr	2,052 1,436 1,172 1,014	100 40 80 50	0,909 0,829 0,768 0,718	60 20 70 10	0,6775 0,6420 0,6120 0,5865	40 30 30 30
CrO <sub>3</sub>	4,20 3,40 2,86 2,36 2,25 2,00 1,96	75 100 25 20 20 7 10	1,84 1,74 1,71 1,68 1,60 1,56 1,54	5 15 3 1 3 1 1	1,50 1,470 1,431 1,405 1,376 - -	5 1 3 5 2 - -
Cr <sub>2</sub> O <sub>3</sub>	3,62 2,67 2,47 2,17 2,03 1,81 1,67	45 70 70 30 4 45 100	1,58 1,465 1,432 1,294 1,236 1,209 1,172	6 30 45 16 6 6 5	1,148 1,123 1,087 1,041 1,025 0,946 -	6 6 12 10 2 6 -
Cr(NO <sub>3</sub> ) <sub>3</sub> ·9H <sub>2</sub> O	6,7 6,3 5,7 4,90 4,51 4,04 3,80 3,63 3,43 3,27 3,13 3,01 -	75 75 5 35 50 100 50 50 10 45 5 45 -	2,92 2,78 2,61 2,54 2,39 2,32 2,25 2,20 2,13 2,09 2,04 1,95 -	15 10 75 30 75 5 15 20 10 35 30 10 -	1,90 1,82 1,78 1,73 1,69 1,62 1,58 1,53 1,490 1,460 1,410 1,367 1,319	40 10 20 5 25 10 10 5 5 10 10 10 10
CrK(SO <sub>4</sub> ) <sub>2</sub> ·12H <sub>2</sub> O	7,0 5,5 4,98 4,31 4,08 3,68 3,26 3,04	12 16 8 100 30 60 35 30	2,87 2,81 2,72 2,59 2,48 2,34 2,25 2,15	2 12 12 6 12 6 6 4	2,03 1,97 1,93 1,85 1,74 1,69 1,63 -	12 6 16 4 4 8 10 -
Молибден-Mo	2,22 1,57 1,281 1,114 0,995	100 56 37 17 23	0,908 0,841 0,787 0,742 0,704	7 23 3 14 11	0,672 0,643 0,617 - -	9 6 14 - -

$\text{Mo}_2\text{O}_3$	3,42 2,42 2,22 2,17 1,84 1,71 1,57 1,53 1,470	100 80 40 3 6 80 6 16 3	1,405 1,350 1,305 1,285 1,211 1,180 1,141 1,114 1,087	20 2 2 24 16 2 6 6 4	1,032 1,015 0,997 0,976 0,955 0,920 0,880 0,857 0,842	2 1 6 2 2 6 2 5 5
$\text{MoO}_2$	4,78 3,41 2,804 2,433 2,420	20 100 30 50 85	2,405 2,398 2,176 2,171 2,147	40 50 30 10 30	1,833 1,718 1,704 1,692 -	35 55 80 50 -
$\text{MoO}_3$	7,0 3,82 3,47 3,44 3,27 3,01 2,707 2,657 2,613	15 85 20 40 100 10 40 70 5	2,528 2,377 2,312 2,277 2,135 1,982 1,965 1,907 1,852	15 30 20 25 25 40 50 5 80	1,822 1,788 1,754 1,735 1,720 1,694 1,666 1,630 -	35 20 5 65 5 40 70 40 -
$\text{Mo}(\text{PO}_3)_3$	5,546 5,379 4,750 3,950 3,752 3,661 3,505 3,350 3,136 3,075	5 40 25 100 10 20 45 20 10 5	3,002 2,927 2,857 2,785 2,690 2,658 2,482 2,438 2,403 2,381	5 5 25 25 5 5 30 5 5 10	2,334 2,299 2,268 2,217 2,140 2,116 2,070 2,011 1,9741 -	15 5 20 5 5 5 15 5 10 -
Вольфрам – W	2,23 1,58 1,290 1,117	100 29 71 17	1,000 0,913 0,846 0,745	29 6 34 11	0,707 0,674 0,622 -	6 6 6 -
$\text{WO}_2$	4,78 3,45 2,828 2,446 2,436 2,428	15 100 20 45 55 20	2,418 2,393 2,181 2,150 1,847 1,827	80 50 15 10 20 20	1,731 1,724 1,709 1,698 -	40 65 45 50 -

$\text{WO}_3$	3,835 3,762 3,642 3,342 3,109 3,076	100 95 100 50 50 50	2,684 2,661 2,617 2,528 2,509 2,172	75 60 90 35 40 50	2,149 2,098 2,038 2,020 2,011 -	60 10 40 30 25 -
$\text{W}_2\text{C}$	2,35 1,77 1,35	70 70 100	1,27 1,26 1,19	20 20 70	1,08 1,00 -	20 100 -
$\text{W}_2\text{Zr}$	4,40 2,69 2,30 2,20 1,90 1,74 1,55	20 10 100 90 30 20 10	1,46 1,35 1,28 1,20 1,16 1,15 1,10	80 80 20 10 50 90 10	1,07 1,02 0,99 0,95 0,93 -	20 10 100 30 10 -
$\text{W}_4\text{H}_2\text{O}_{13}$	5,3 3,48 2,93 2,69 2,60 2,55 2,37 2,31 2,23	50 100 8 5 10 25 10 8 3	2,10 1,97 1,84 1,73 1,69 1,63 1,60 1,50 1,470	3 8 20 15 3 13 8 5 5	1,410 1,305 1,276 1,245 1,215 1,189 1,157 -	5 3 3 3 3 3 5 -
Марганец- $\alpha$ -Mn	2,36 2,22 2,09 1,89 1,81 1,74 1,340 1,283	2 2 100 20 10 16 2 7	1,258 1,210 1,190 1,130 1,048 0,983 0,960 0,936	10 28 2 3 6 2 -	0,834 0,820 0,813 0,801 0,793 0,770 -	2 2 2 2 2 2 -
$\beta$ -Mn	2,81 2,10 2,00 1,90	7 100 66 27	1,68 1,485 1,410 1,237	7 3 3 30	1,170 1,064 1,051 -	20 3 3 -
MnO	2,56 2,22 1,57 1,339	66 100 66 23	1,281 1,110 1,019 0,994	17 7 7 17	0,906 0,853 -	7 3 -

Mn <sub>2</sub> O <sub>3</sub>	3,82 2,68 2,32 1,991 1,836 1,707 1,656	30 100 23 12 17 1 72	1,609 1,520 1,447 1,414 1,383 1,353 1,300	1 3 6 60 6 4 1	1,276 1,252 1,171 1,155 1,139 1,076 1,049	3 1 2 3 1 8 6
MnO <sub>2</sub>	3,11 2,40 2,21 2,12	100 50 4 12	1,98 1,62 1,56 1,440	4 50 12 8	1,390 1,303 1,050 1,001	4 16 4 4
Mn <sub>3</sub> O <sub>4</sub>	4,92 3,08 2,87 2,75 2,56 2,48 2,36 2,22	20 31 8 63 8 100 13 31	2,03 1,79 1,70 1,64 1,57 1,54 1,466 1,438	15 18 5 5 50 50 3 18	1,384 1,340 1,300 1,277 1,237 1,192 1,123 -	4 8 3 13 4 5 4 -
MnAl <sub>2</sub> O <sub>4</sub>	2,92 -	17 -	2,49 -	50 -	2,39 1,398	50 100
MnCO <sub>3</sub>	3,65 2,84 2,36 2,16	30 100 14 12	2,00 1,82 1,76 1,53	12 2 50 6	1,452 1,365 1,298 -	4 4 2 -
Иод – I <sub>2</sub>	3,69 3,09 2,52 2,44 2,33	100 100 8 18 15	2,11 2,02 1,97 1,81 1,76	15 20 30 10 10	1,71 1,51 1,460 1,400 -	20 10 8 5 -
I <sub>2</sub> O <sub>5</sub>	4,03 3,79 3,40 3,28 3,18 2,92 2,83 2,74 2,53	15 50 75 100 15 5 3 5 13	2,44 2,35 2,28 2,18 2,08 2,02 1,96 1,90 1,83	13 5 5 13 10 5 5 5 10	1,79 1,74 1,71 1,66 1,62 1,59 1,56 -	8 5 13 5 3 10 13 -

$\text{HIO}_3$	4,69 4,51 4,035 3,868 3,577 3,233 3,172 2,941 2,790 2,768 2,746 2,608 2,596 2,506 2,462 2,385 2,362 2,340 2,252	15 31 100 9 38 43 53 7 31 16 26 19 32 11 23 9 7 8 2	2,173 2,157 2,104 2,017 1,950 1,934 1,900 1,888 1,838 1,830 1,798 1,788 1,762 1,744 1,718 1,669 1,665 1,603 1,586	2 11 22 3 17 3 7 5 6 30 26 9 14 14 9 5 7 10 4	1,567 1,563 1,561 1,551 1,531 1,490 1,478 1,454 1,450 1,444 1,396 1,369 1,359 1,3476 1,3368 1,3280 1,3161 1,3037 -	5 10 18 4 9 2 3 5 9 10 5 6 8 4 6 6 2 1 -
$\text{I}_3\text{Y}$	6,92 3,752 3,463 3,301 3,095 2,624 2,549	40 30 50 100 20 10 60	2,401 2,309 2,224 2,164 2,117 2,066 2,021	10 20 10 80 10 20 10	2,002 1,971 1,874 1,837 1,809 1,734 1,700	10 50 10 50 50 40 10
Темир- $\alpha$ -Fe	2,0268 1,4332	100 19	1,1702 1,0134	30 9	0,9064 0,8275	12 6
Темир - $\gamma$ - Fe	2,07 1,80	100 50	1,26 1,081	32 32	1,018 -	4 -
FeO	2,47 2,14 1,51	50 100 63	1,293 1,238 1,072	15 8 3	0,984 0,959 0,876	3 5 3
$\text{Fe}_2\text{O}_3$	3,68 2,69 2,51 2,20 1,84 1,69 1,60 1,485	18 100 75 18 63 63 13 50	1,452 1,351 1,308 1,259 1,230 1,190 1,163 1,140	50 3 18 13 3 8 5 13	1,104 1,056 0,962 0,954 0,900 0,881 0,843 -	10 8 10 5 3 5 5 -

$\text{Fe}_3\text{O}_4$	4,85 2,97 2,53 2,42 2,10 1,71 1,61 1,483	6 28 100 11 32 16 64 80	1,326 1,279 1,210 1,121 1,092 1,049 0,970 0,966	6 20 5 10 32 10 16 8	0,940 0,880 0,859 0,853 0,825 0,814 0,809 -	6 10 20 8 2 10 5 -
Магнетит – $\text{Fe Fe}_2\text{O}_4$	4,21 2,99 2,541 1,428 2,098	1 6 10 3 7	1,710 1,612 1,479 1,325 1,277	5 9 9 3 5	1,264 1,174 1,119 1,091 1,047	2 1 4 8 6
$\text{FeSO}_4$	4,78 3,58 3,25 2,56 2,40 2,28 2,23 2,05 -	24 13 100 13 2 13 10 11 -	1,99 1,83 1,78 1,70 1,63 1,59 1,55 1,440 -	20 16 2 3 20 20 10 6 -	1,420 1,361 1,281 1,251 1,200 1,140 1,110 1,014 1,000	2 5 13 2 8 3 2 2 3
$3\text{FeO}\cdot\text{Al}_2\text{O}_3\cdot 3\text{SiO}_2$	2,61 1,84	100 80	1,17	60	1,06	55
Кобальт – $\alpha - \text{Co}$	2,182 1,920 1,490 1,250 1,145	80 100 20 70 30	1,064 1,045 0,953 0,839 0,788	60 30 10 20 20	0,752 0,738 0,717 - -	10 10 10 - -
$\beta - \text{Co}$	2,04 1,77 1,253 1,066	100 44 22 22	1,021 0,886 0,813 0,792	5 3 3 3	0,723 0,682 - -	3 3 - -
$\text{CoO}$	2,45 2,12 1,50 1,281	67 100 100 40	1,227 1,060 0,975 0,951	40 10 10 30	0,869 0,819 - -	20 7 - -
$\text{Co(OH)}_2$	4,40 2,44 2,31 1,80	100 23 83 40	1,50 1,425 1,367 1,215	8 40 27 5	1,196 1,162 1,120 -	1 4 4 -

CoCO <sub>3</sub>	3,64 2,76 2,34	40 100 11	2,12 1,96 1,71	11 11 71	1,50 1,415 1,355	11 11 6
CoB <sub>2</sub> O <sub>4</sub>	2,88 2,53 2,44 2,08 2,03 1,856	75 6 100 3 12 3	1,745 1,649 1,600 1,555 1,427 1,367	6 24 12 75 75 3	1,278 1,232 1,081 1,052 1,010 -	6 12 6 12 4 -
CoFe <sub>2</sub> O <sub>4</sub>	4,89 2,95 2,51 2,41 2,08 1,702	8 40 100 5 15 8	1,608 1,476 1,320 1,275 1,204 1,117	45 65 3 13 3 5	1,087 1,045 0,985 0,965 -	20 40 2 8 -
CoCrO <sub>4</sub>	3,30 3,10 2,89	50 50 50	2,62 2,36 2,04	100 50 25	1,73 1,65 1,55	50 25 50
CoCr <sub>2</sub> O <sub>4</sub>	4,84 2,94 2,83 2,51 2,40 2,07	4 33 5 100 4 27	1,796 1,696 1,652 1,599 1,467 1,312	2 19 1 43 60 3	1,266 1,200 1,110 1,082 1,038 -	10 1 5 23 4 -
Никель - Ni	2,03 1,76 1,244	100 50 32	1,061 1,017 0,808	32 4 8	0,788 0,719 0,678	8 8 8
NiF <sub>2</sub>	3,30 2,55 2,23	100 62 20	1,719 1,650 1,516	62 15 10	1,383 1,257 1,120	15 5 5
Ni(OH) <sub>2</sub>	4,60 2,70 2,33	67 100 67	1,75 1,56 1,48	7 53 33	1,348 1,295 -	7 7 -
NiO	2,40 2,08 1,474 1,258	60 100 60 24	1,203 1,042 0,957 0,933	12 2 4 6	0,852 0,802 -	3 2 -
NiSO <sub>4</sub>	4,30 3,92 3,58 3,33 3,15 2,55 2,33 2,00	40 24 40 24 2 100 40 20	1,96 1,87 1,78 1,67 1,62 1,58 1,55 1,51	6 10 24 14 2 8 3 3	1,480 1,431 1,398 1,350 1,309 1,285 1,219 -	13 6 24 8 11 3 3 -
NiAl <sub>2</sub> O <sub>4</sub>	2,43 -	75 -	2,01 -	75 -	1,55 1,421	13 100

NiMnO <sub>4</sub>	4,85 2,97 2,53 2,41 2,09	12 30 100 25 50	1,71 1,61 1,480 1,280 1,260	8 40 60 8 12	1,207 1,119 1,090 1,048 -	8 4 10 4 -
Ni <sub>3</sub> (PO <sub>4</sub> ) <sub>2</sub> · 8H <sub>2</sub> O	7,8 6,6 4,80 4,47 4,00 3,78 3,58 3,13 2,91	36 100 40 28 20 36 8 32 50	2,66 2,56 2,47 2,37 2,26 2,18 2,14 2,03 1,89	40 12 20 24 20 20 20 16 16	1,856 1,775 1,740 1,634 1,550 1,489 1,450 1,384 1,313	8 8 16 20 20 8 8 4 8
Уран (IV)оксид - UO <sub>2</sub>	3,157 2,735 1,934 1,649	100 48 49 47	1,579 1,368 1,255 1,223	13 9 18 15	1,1163 1,0523 -	13 15 -
Ураноксид - U <sub>3</sub> O <sub>8</sub>	4,10 3,38 2,61 2,06 1,971 1,943 1,782 1,760 1,702	4 10 7 3 5 6 2 8 5	1,673 1,578 1,547 1,501 1,431 1,415 1,376 1,314 1,297	4 4 3 1 2 3 1 2 4	1,277 1,238 1,219 1,134 1,123 1,100 0,991 -	5 4 3 1 2 5 5 -
Кислород - O <sub>2</sub>	3,17 3,04 2,92 2,75	Кз. Ў. Кз. Ки.	2,58 1,91 1,72 1,65	Ки. Ў. Кз. Кз.	1,60 1,46 1,36 -	Ки. Кз. Ў. -
Муз - I - H <sub>2</sub> O	3,92 3,67 3,44 2,68	10 100 20 15	2,26 2,065 1,920 1,516	10 50 10 15	1,368 1,300 1,250 1,167	2 3 3 5
Муз - II - H <sub>2</sub> O	3,8 3,0 2,7 2,19 2,10 1,94	9 10 8 9 9 6	1,85 1,74 1,70 1,59 1,46 1,43	6 6 6 6 6 6	1,34 1,29 1,26 1,18 1,14 -	6 8 6 4 6 -
Муз - III - H <sub>2</sub> O	3,60 3,39 2,90 2,66 2,55 2,28 2,10 2,07	10 8 8 6 8 6 8 8	1,92 1,86 1,79 1,68 1,62 1,58 1,53 1,48	8 6 6 7 4 6 5 6	1,46 1,43 1,38 1,36 1,32 1,28 1,23 1,20	6 6 4 7 4 6 6 6

## **Такрорлаш учун саволлар**

1. Рентген нури қачон ва ким томонидан қашф этилган?
2. Рентген нурларининг тўлқин узунлигини мкм ва ҳар ўлчовида келтиринг.
3. «Қаттиқ» ва «юмшоқ» рентген нурлари деб қандай тўлқин узунлигига эга бўлган нурларга айтилади?
4. Ота-бала Брэгглар томонидан тақдим қилинган рентген нури дифракциясига оид формулани ёзиб беринг.
5. Рентген нури ёрдамида бажариладиган рентгенологик текшириш усуllibарини санаб беринг.
6. Фотоусул ишлари учун мўлжалланган қандай рентгенотузилма таҳлили аппаратларини биласиз?
7. Нурланишни ионизациян қайд этиш таҳлили аппаратларини номи ва русумини келтиринг.
8. Рентген аппаратларининг асосий қисмларининг номлари ва тузилиши ҳақида маълумотлар беринг.
9. Рентген трубкаси рентгенографик аппаратларда қандай ролни бажаради, улар конструктив қандай десталлардан ташкил топган?
10. Кенотрон, чўғланиш реостати, юқори вольтли трансформатор каби рентген аппарати қисмларининг тузилиши ва вазифалари ҳақида маълумотлар келтиринг.
11. РКД-57 камерасининг тузилиши ва асосий қисмлари ҳақида фикрингизни билдиринг.
12. УРС-50И ионизациян рентген қурилмасининг принципиал блок-чизмасини келтиринг.
13. Рентгенографик таҳлилдан фойдаланиш имкониятлари қандай?
14. Рентгенографик таҳлил афзалликларини санаб беринг.
15. Рентгенографик усул камчиликлардан холими?

## ФОЙДАЛАНИЛГАН АДАБИЁТЛАР РЎЙХАТИ

1. Азимов Ш.Ю., Тожиев Ф.Х. Анерганик моддаларнинг физика - кимёвий анализи. -Тошкент: Ўқитувчи, 1977.-132 б.
2. Азимов Ш.Ю., Исматов А.А., Федоров Н.Ф. Апатиты их редкоземельные аналоги.- Ташкент: ФАН, 1990.-116 с.
3. Алексеев А.Г., Варгин В.В. Катализированная регулируемая кристаллизация стекол литиевоалюминосиликатной системы.-М.-Л.: Химия, 1964.-120с.
4. Берг Л.Г. Введение в термографию. -М.: АН СССР, 1961.
5. Берг Л.Г., Бурмистров Н.П., Озерова М.И., Цуриков Г.Г. Практическое руководство по термографии. -Казан: КазанГУ, 1967.
6. Вегман Е.Ф., Руфанов Ю.Г., Федорченко И.Н. Кристаллография, минералогия, петрография и рентгенография. — М.: Металлургия, 1990.- 262 с.
7. Винчелл А.Н., Винчелл Г. Оптические свойства искусственных минералов. — М.: Мир, 1967.-526 с.
8. Васильев Е.К., Кащаева Г.М., Ушаповская З.Ф. Рентгенографический определитель минералов. —М.: Наука, 1974.
9. Горшков В.С., Тимашев В.В., Савельев В.Г. Методы физико-химического анализа вяжущих веществ. — М.: Высшая школа, 1981.-281 с.
10. Драго Р. Физические методы в неорганической химии.-М.: Мир, 1967.
11. Егунов В.П. Введение в термический анализ.- Самара, Самара ГУ, 1996. -270 с.
12. Зинюк Р.Ю., Балыков А.Г., Гавриленко И.В. ИК спектроскопия в исорганической технологии. —Л.: Химия, 1983.
13. Исматов А.А., Сирахиддинов Н.А. Свойства и изоморфизм мелилитов. -Ташкент: ФАН, 1983.-152с.
14. Исматов А.А., Юнусов М.Ю., Максудов Д.И. Полевошпатовое сырье Средней Азии для производства фарфора.-М.: Легпромбытиздат, 1988.-136с.
15. Исматов А.А. Синтез и физико-химическое исследование некоторых классов неорганических соединений. — Дисс. на соис. уч. ст. доктора химических наук.- Л.: ЛТИ, 1972. — 347с.
16. Исматов А.А., Шерназарова М.Т., Якубов Т.Н. Стеновая керамика с использованием палеоглин и лессовых пород. — Ташкент: ФАН, 1993. — 118с.

17. Кристаллография, рентгенография и электронная микроскопия. — М.: Металлургия, 1982.-632с.
18. Козлова О.Г. Морфолого — генетический анализ кристаллов. — М.: МГУ, 1991. — 223 с.
19. Ковба Л.М., Трунов В.К. Рентгенофазовый анализ. — М.: МГУ, 1969-160 с.
20. Лазарев А.Н. Колебательные спектры и строение силикатов. — Л.: Наука, 1968.-347 с.
21. Леонов А.И. Высокотемпературная химия кислородных соединений церия. — Л.: Наука, 1969.-201с.
22. Липовский В.Н., Берёзкин В.Т. Автоматические газовые потоковые хромотографы. — М.: Химия, 1982.
23. Минералогическая энциклопедия. — Л.: Недра, 1985.-512с.
24. Минералогический справочник технолога — обогатителя. —Л.: Недра, 1985.-264с.
25. Миркин Л.И. Справочник по рентгеноструктурному анализу поликристаллов. — М.: Физматгиз, 1961.-863 с.
26. Михеев В.И., Сальдау Э.П. Рентгенофотографический определитель минералов [Т.II]. — Л.: Недра, 1965.-364с.
27. Славин В. Атомно-абсорбционная спектрометрия.- М.: Химия, 1971.
28. Плюснина И. И. Инфракрасные спектры силикатов. - М.: МГУ, 1967.-189с.
29. Плюснина И. И. Инфракрасные спектры минералов. - М.: МГУ, 1977.-174с.
30. Справочник по электротехническим материалам / Под. ред. Корисского Ю.М., Пасынкова В.В., Тарсева Б.М. в 3-х томах. —М.: Энергоатомиздат, 1986 т. 1; 1987 т.2: 1988 т.3
31. Таблица физических величин. Справочник / Под. ред. И.К.Кикоина.- М.: Атомиздат, 1976.-106 с.
32. Торопов Н.А., Барзаковский В.П., Лапин В.В., Курцева Н.Н. Диаграмма состояния силикатных систем. Справочник. Выпуск первый. Двойные системы. — Л.: Наука, 1969. — 822с.
33. Фекличев В.Г. Диагностические спектры минералов.- М.:Недра, 1977.-228с.
34. Юнусов М.Ю., Ильганаев В.Б., Исматов А.А. Мало-и много железистые оксидные стекла.-Ташкент: Узбекистан, 1991.-128 с.
35. Кўшмуродов О.Қ., Зоҳидов К.С. Элементлар геокимёси.-Тошкент: ТДТУ, 1996.-72 бет.

36. Ҳамробоев И.Х., Ражабов Ф.Ш. Петрография асослари.  
-Ташкент: Ўқитувчи, 1984.-184 б.
37. Schaumburg H. (Hrsg.). Keramik. — Stuttgart, B.G.Teubner, 1994. — 654р.

## МУНДАРИЖА

СЎЗ БОШИ..... 3

КИРИШ..... 4

## БИРИНЧИ БОБ. ФИЗИК-КИМЁВИЙ ТАҲЛИЛНИНГ АСОСИЙ УСУЛЛАРИ

1-§. Физик-кимёвий таҳлил усуларини ривожлантиришда жаҳон, Марказий Осиё ва Ўзбекистон олимларининг ҳиссаси.....	7
2-§. Физик-кимёвий таҳлил таърифи .....	8
3-§. Фанда қўлланиладиган асосий тушунчалар.....	10
4-§. Физик-кимёвий таҳдилнинг асосий усуллари.....	11
5-§. Физик-кимёвий, термик ва бошқа таҳлил усуллари ёрдамида аниқланадиган кўрсаткичлар.....	14
Такрорлаш учун саволлар.....	15

## ИККИНЧИ БОБ. МИКРОСКОПИК ТАҲЛИЛ

6-§. Микроскопик текшириш усули аҳамияти ва ривожи.....	16
7-§. Кристаллооптика усули.....	18
8-§. Таҳлилда аниқланадиган асосий хусусиятлар..	19
9-§. Усулдан фойдаланишининг имкониятлари.....	23
10-§. Усулнинг афзаллиги ва камчиликлари.....	24
11-§. Микроскопия усули аппаратлари.....	25
12-§. Микроскоилар учун мосламалар.....	30
13-§. Препаратларни тайёрлаш усуллари.....	32
14-§. Микрофотография намуналари.....	34
15-§. Тупроқ минераллари, баъзи бир оксидлар ва кальций оксиди-кремний оксиди тизимидағи фазаларининг оптик характеристикалари.....	38
16-§. Диагностика мақсадларида фойдаланиладиган микроскопик кўрсаткичлар.....	41
Такрорлаш учун саволлар.....	73

## УЧИНЧИ БОБ. ИНФРАҚИЗИЛ СПЕКТРОСКОПИК ТАҲЛИЛ

17-§. Инфрақизил нурларнинг табиати.....	75
18-§. Моддаларнинг инфрақизил спектрлари.....	77
19-§. Кальцит минералининг инфрақизил спектрлари ҳақида.....	82
20-§. Таҳлил имкониятлари.....	85
21-§. Усулнинг афзаллиги ва камчиликлари.....	93
22-§. Инфрақизил спектроскопия усули апаратлари.....	94
23-§. ИК спектрометрларнинг соддалаштирилган схемаси.....	95
24-§. Препаратларни тайёрлаш усули.....	99
25-§. ИК спектрларни ёзиб олиш.....	100
26-§. Муҳим фазаларнинг ИК спектрлари.....	103
27-§. Инфрақизил спектроскопик таҳлилга оид диагностик маълумотлар.....	107
Такрорлаш учун саволлар.....	112

## ТҮРТИНЧИ БОБ. ТЕРМИК ТАҲЛИЛ

28-§. Термография усули табиати.....	114
29-§. Термик таҳлил.....	116
30-§. Дифференциал термик таҳлил (ДТА).....	119
31-§. Комплекс термик таҳлил.....	120
32-§. Дериватографик таҳлил.....	121
33-§. Усулнинг апаратуралари.....	122
34-§. Дериватограф.....	125
35-§. Тензиметрия, газоволюметрия ва дилатометрия асбоблари.....	127
36-§. Препарат тайёрлаш усуллари.....	128
37-§. Усулнинг имкониятлари, афзаллиги ва камчиликлари.....	129
38-§. Кимёвий жараёнларда содир бўладиган термик эфектларга оид маълумотлар.....	131
Такрорлаш учун саволлар.....	138

## **БЕШИНЧИ БОБ. РЕНТГЕНОГРАФИК ТАҲЛИЛ**

39-§. Рентген нурларининг хоссалари.....	139
40-§. Рентген нурларининг лифракцияси.....	141
41-§. Рентген нурларини олиниши.....	144
42-§. Кристалл панжара тесисликлариаро масофа- ни ҳисоблаш.....	146
43-§. Текнериш усуллари.....	147
44-§. Рентгенографик усул аппаратлари.....	148
45-§. Аппаратларининг асосий қисмлари.....	152
46-§. Фотоусулнинг рентген камсралари.....	157
47-§. Нурланишни ионизацион қайд этиш таҳлили аппаратлари.....	160
48-§. Нурланиш детекторларининг қисқача тавси- фи.....	163
49-§. Фотоусул ишлари учун мўлжалланган аппа- ратларда рентгенограмма олиш усуллари.....	165
50-§. Нурланишни ионизацион қайд этиш таҳлили аппаратларида дифрактограмма олиш усул- лари.....	173
51-§. Рентгенографик таҳлилдан фойдаланиш им- кониятлари.....	174
52-§. Рентгенографик таҳлил афзалиги.....	176
53-§. Усул камчиликлари.....	177
54-§. Кимёвий модда ва бирималарга оил рентге- нографик маълумотлар .....	179
Такрорлаш учун саволлар.....	261
<b>ФОЙДАЛАНИЛГАН АДАБИЁТЛАР РЎЙХАТИ....</b>	<b>262</b>

**А.А.Исматов**

## **Силикат ва зўргасуюлувчан материаллар физик-кимёвий таҳлилиниң замонавий усуллари**

**Тошкент-«Fan va texnologiya» -2006**

Муҳаррир: М.Тожибоева  
Тех.муҳаррир: А.Мойдинов  
Мусахҳиҳ: Қ.Авезбоев

Босишга рухсат этилди 20.01.2006.  
Бичими 60x841/16. Офсет қоғози. Нашр табори 16,75.  
Адиidi 1000. Буюртма №13.  
«Fan va texnologiya» нашриёти, 700003, Тошкент, Олмазор, 171.  
Шартнома № 01-06.

**«Фан ва технологиялар Марказининг» босмахонасида  
чоп этилди. Тошкент, Олмазор, 171.**